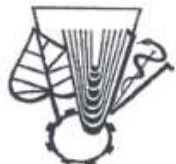


**Česká zemědělská univerzita v Praze**  
Fakulta agrobiologie, potravinových a přírodních zdrojů

**Ústav ekológie lesa Slovenskej akadémie vied**

**Slovenská spoločnosť pre polnohospodárske, lesnícke,  
potravinárske a veterinárske vedy pri SAV v Bratislave**



**VLIV ABIOTICKÝCH A  
BIOTICKÝCH STRESORŮ NA VLASTNOSTI  
ROSTLIN 2018**

(Sborník recenzovaných vedeckých prací)

**INFLUENCE OF ABIOTIC AND BIOTIC STRESSES  
ON PROPERTIES OF PLANTS 2018**  
*(Proceedings of scientific articles)*



**Česká zemědělská univerzita v Praze**

**Ústav ekológie lesa Slovenskej akadémie vied**

**Slovenská spoločnosť pre polnohospodárske, lesnícke,  
potravinárske a veterinárske vedy pri SAV v Bratislave**

**Pořadatelé:**

Ústav ekológie lesa Slovenskej akadémie vied  
Fakulta agrobiologie, potravinových a přírodních zdrojů ČZU v Praze

**VLIV ABIOTICKÝCH A BIOTICKÝCH  
STRESORŮ NA VLASTNOSTI ROSTLIN 2018**

(Sborník recenzovaných vědeckých prací)

Tato publikace neprošla jazykovou úpravou

**Czech University of Life Science Prague**

**Institute of Forest Ecology SAS**

**Slovak Society for the agricultural, forestry, food and  
veterinary science in SAV in Bratislava**

**Organizers:**

Institute of Forest Ecology SAS

Faculty of Agrobiology, Food and Natural Resources

**INFLUENCE OF ABIOTIC AND BIOTIC  
STRESSES ON PROPERTIES OF PLANTS 2018**

(Proceedings of scientific articles)

This publication has not undergone language editing

© Redakčně zpracoval: doc. Ing. František Hnilička, Ph.D.

**Jazyková korektura:** Texty příspěvků neprošly jazykovou úpravou

**Foto na titulní straně:** Laboratorní pokusy, Kontrolní bučina v Obycích

foto: František Hnilička, Ján Kukla

**Odborný garant konference:** František Hnilička (ČZU v Praze)

Margita Kuklová (ÚEL SAV)

**Odborní recenzenti:** *doc. RNDr. Jan Novák, DrSc.*

*RNDr. Božena Šerá, Ph.D.*

**Organizační výbor konference:**

RNDr. Ľubica Ditmarová, Ph.D. (ÚEL SAV)

doc. Ing. František Hnilička, Ph.D. (ČZU v Praze)

Ing. Helena Hniličková, Ph.D. (ČZU v Praze)

Ing. Ján Kukla, CSc. (ÚEL SAV)

Ing. Margita Kuklová, CSc. (ÚEL SAV)

© Česká zemědělská univerzita v Praze, 2018

ISBN: 978-80-213-2863-1

© Ústav ekológie lesa Slovenskej akadémie vied, 2018

ISBN: 978-80-89408-31-3

## OBSAH

Úvodní slovo	.....	1
<i>L. Hájková, V. Kožnarová, T. Vráblík</i>		
Fenologická data polních plodin ze sítě ČHMÚ a možnosti jejich využití	.....	3
<i>D. Fazekašová, J. Fazekaš</i>		
Vplyv alkalickej a metalickej kontaminácie na pôdu a vegetáciu v imisnom poli magnezitového závodu	.....	12
<i>E. Candračková</i>		
Reakcia pestovaných obilnín na stresové faktory	.....	18
<i>J. Lang</i>		
Výroba kvalitní píce v podmírkách sucha. Jaké máme možnosti?	.....	25
<i>M. Molnárová, J. Ružičková, B. Lehotská, A. Filová, A. Fargašová</i>		
Tažké kovy v príhľave dvojdomej ( <i>Urtica dioica</i> ) a netýkavke malokvetej ( <i>Impatiens parviflora</i> ) z lokalít v Malých Karpatoch začažených starou banskou činnosťou	.....	31
<i>T. Salaj, K. Klubicová, M. Perniš, J. Salaj</i>		
Dlhodobé udržiavanie embrygénnych pletív hybridných jedlí v podmírkach <i>in vitro</i>	.....	36
<i>H. Hniličková, F. Hnilička, J. Ježek, T. Vild, Kraus, K.</i>		
Fyziologické charakteristiky chmele pestovaného v režimu ekologického zemědělství	.....	39
<i>P. Kaštier, Y. A. Krasylenko, A. Blehová</i>		
Funkčná analýza cytoskeletu v komplexe vzťahov parazit-hostitel'	.....	43
<i>P. Petrik, A. Petek, A. Konôpková, P. Fleischer, D. Kurjak</i>		
Fenotypová plasticita prieduchových a listových parametrov <i>Fagus sylvatica</i>	.....	47
<i>F. Hnilička, M. Kuklová, J. Kudrna, I. Pivková, H. Hniličková, J. Kukla, K. Sládeková</i>		
Vliv nízkych teplot na výmenu plynů juvenilních rostlin máku setého ( <i>Papaver somniferum L.</i> )	.....	51
<i>M. Golian, O. Paulen, M. Šlosár</i>		
Alternatívne prístupy boja so suchom	.....	57
<i>J. Frydrych, P. Volková, M. Pikulová</i>		
Inovace pěstitelské technologie v travávh na semeno	.....	63
<i>R. Švubová, V. Kročková, J. Renčko, L. Slováková, A. Záhoranová</i>		
Vplyv nízkoteplotnej plazmy na klíčenie hospodársky významných plodín	.....	70
<i>L. Holubová, S. Kyzek, I. Ďurovcová, J. Špačková, V. Medvecká, A. Ševčovičová, E. Gálová</i>		
Interakcia nízkoteplotnej plazmy s rostlinnými bunkami	.....	74
<i>A. Filová, J. Konôpková, D. Bošiaková</i>		
Morfologicko-anatomické zmeny explantátovej kultúry <i>Magnolia x Soulangiana</i> v podmienkach nadbytku iónov $\text{Al}^{3+}$ a $\text{Ca}^{2+}$	.....	78
<i>M. Kysel', J. Žiarovská, V. Štefánová, K. Ražná</i>		
Dĺžkový polymorfizmus retrotranspozónu sukkula v genóme pšenice s rôznou odolnosťou voči suchu	.....	84
<i>V. Vargová, L. Jančová</i>		
Porasty borůvky obyčajnej v rozdielnych nadmořských výškach	.....	88
<i>N. Maximová, M. Saganová, L. Slováková, M. Vaculík</i>		
Akumulácia a fyziologické účinky vybraných ťažkých kovov na rast a vývin brusnice čučoriedkovej ( <i>Vaccinium myrtillus L.</i> )	.....	92
<i>M. Lukáčová, P. Mészáros</i>		
Vplyv rôznych koncentrácií kadmia na aktivitu chitináza vo vybraných odrodách sóje	.....	96
<i>V. Zemanová, M. Pavlík, D. Pavlíková, F. Hnilička, M. Popov, P. Kotrba</i>		
Reakce <i>Pteris cretica</i> na chronický stres arsenem	.....	100

<i>R. Podlipná, T. Zunová, P. Maršík</i>	Pesticidy a stromy pobřežního pásma lesa: biotransformace tebukanazolu.	.....	104
<i>M. Hájková, M. Kummerová, Š. Zezulka, K. Svobodová, J. Šmeringai</i>	Léčivy indukované změny v růstu a morfologii kořenů kukuřice a hrachu	.....	109
<i>L. Langhansová, P. Maršík, K. Motková, P. Landa, R. Podlipná, T. Vaněk</i>	Odezva antioxidačního enzymatického aparátu u <i>Arabidopsis thaliana</i> na stres způsobený kontaminací nesteroidními antiflogistiky	.....	113
<i>L. Svobodníková, Š. Zezulka, M. Kummerová</i>	Interakce diklofenaku s rostlinami na buněčné úrovni: model tabákové suspenze BY-2	.....	118
<i>P. Svoboda, J. Haberle, G. Kurešová</i>	Hloubka kořenů polních plodin a zelenin a stanovení závlahové hloubky	.....	123
<i>E. Chovanček, M. Živčák, M. Brestič, K. Olšovská, L. Botyanszká, M. Kovář</i>	Flavonoidy a produkcia biomasy v podmienkach sucha a mykorízy	.....	127
<i>L. Botyanszká, M. Živčák, M. Brestič, E. Chovanček, P. Hauptvogel</i>	Multispektrálna indukovaná fluorescia využitá pri fenotypizácii stresových účinkov sucha v odrodách pšenice	.....	131
<i>M. Kovář, M. Brestič, M. Živčák, K. Olšovská, O. Sytar, L. Botyanszká, E. Chovanček, V. Bárek</i>	Hyperspektrálne zobrazovanie – nástroj pre nedestrukčné hodnotenie obsahu vody v rastline	.....	135
<i>E. Krivosudska</i>	Vplyv deficitu vody na vybrané fyziologické parametre hrachora siateho	.....	139
<i>A. Žofajová, P. Hauptvogel, M. Švec</i>	Tolerancia voči suchu pri vybraných odrodách pšenice letnej f. ozimnej	.....	143
<i>A. Fargašová</i>	Využitie polnohospodárskych plodín ako objektov na hodnotenie fytotoxicity vyvolanej Cr a Ni	.....	149
<i>H. Ivanová</i>	Biotický stresor listov jaseňa štíhleho – huba <i>Fusarium sp.</i>	.....	154
<i>M. Kubov, B. Schieber, R. Janík</i>	Fenológia vybraných lesných bylín vo vzťahu k meniaci sa klíme	.....	158
<i>M. Kuklová, I. Pivková, F. Hnilička, H. Hniličková, K. Sládeková, J. Kukla</i>	Vplyv rychlosnej cesty na akumuláciu arzénu v lesných ekosystémoch	.....	165
<i>H. Ollerová, A. Zacharová, A. Diviaková, E. Michalková</i>	Obsah Ni, Cr a Hg vo vybraných rostlinných druhov na starej environmentálnej záťaži	.....	169
<i>Ž. Pauková, Z. Jureková</i>	Diverzita prieduchov dvoch taxónov trvácich bioenergetických tráv	.....	173
<i>B. Piršelová, L. Lengyelová, L. Galuščáková, R. Kuna</i>	Hodnotenie vplyvu extraktu výhonkov repy cukrovej na klíčivosť a rast pšenice letnej	.....	178
<i>E. Stehnová, J. Klimešová, H. Středová, T. Středa</i>	Ttrendy fenologických projevů rostlin	.....	183
<i>B. Šerá, A. Zahoranová, M. Šerý</i>	Reakce různých druhů borovic na ošetření chladným plazmatem	.....	187
<i>T. Havel</i>	Nabídka firmy Ekotechnika	.....	193

## JMENNÝ REJSTŘÍK

### B

Bárek	.....	135
Blehová	.....	43
Bošiaková	.....	78
Botyanszká	.....	132, 136, 140
Brestič	.....	132, 136, 140

Jančová	.....	88
Janík	.....	158
Ježek	.....	39
Jureková	.....	173

### C

Candráková	.....	18
------------	-------	----

### D

Diviaková	.....	169
Ďurovcová	.....	74

### F

Fargašová	.....	31, 149
Fazekaš	.....	12
Fazekašová	.....	12
Filová Al.	.....	31
Filová An.	.....	78
Fleischer	.....	47
Frydrych	.....	63

### G

Gálová	.....	74
Galuščáková	.....	178
Golian	.....	57

### H

Haberle	.....	123
Hájková L.	.....	3
Hájková M.	.....	109
Hauptvogel	.....	131, 143
Hnilička	.....	39, 51, 100, 165
Hniličková	.....	39, 51, 165
Holubová	.....	74

### CH

Chovanček	.....	127, 131, 135
-----------	-------	---------------

### I

Ivanová	.....	154
---------	-------	-----

### K

Kaštier	.....	43
Klimešová	.....	183
Klubicová	.....	36
Konôpková A.	.....	47
Konôpková J.	.....	78
Kotrba	.....	100
Kovár	.....	127, 135
Kožnarová	.....	3
Krasylenko	.....	43
Kraus	.....	39
Krivosudská	.....	139
Kročková	.....	70
Kubov	.....	158
Kudrna	.....	51
Kukla	.....	51, 165
Kuklová	.....	51, 165
Kummerová	.....	109, 118
Kuna	.....	178
Kurešová	.....	123
Kurjak	.....	47
Kysel'	.....	84
Kyzek	.....	74

### L

Landa	.....	113
Lang	.....	25
Langhansová	.....	113
Lehotská	.....	31
Lengyelová	.....	178
Lukáčová	.....	96

### M

Maršík	.....	104, 113
Maximová	.....	92
Medvecká	.....	74
Mészáros	.....	96
Michalková	.....	169
Molnárová	.....	31
Mot'ková	.....	113

		Sytar	.....	135
	O		Š	
Ollerová	.....	169	Šerá	.....
Olšovská	.....	127, 135	Šerý	.....
	P		Ševčovičová	.....
Pauková	.....	173	Šlosár	.....
Paulen	.....	57	Šmeringai	.....
Pavlík	.....	100	Špačková	.....
Pavlíková	.....	100	Štefúnová	.....
Perniš	.....	36	Švec	.....
Petek	.....	47	Švubová	.....
Petrík	.....	47		V
Pikulová	.....	63	Vaculík	.....
Piršelová	.....	178	Vaněk	.....
Pivková	.....	51, 165	Vargová	.....
Podlipná	.....	104, 113	Vild	.....
Popov	.....	100	Volková	.....
	R		Vráblík	.....
Ražná	.....	84		Z
Renčko	.....	70	Záhoranová	.....
Ružičková	.....	31	Zacharová	.....
	S		Zemanová	.....
Saganová	.....	92	Zezulka	.....
Salaj J.	.....	36	Zunová	.....
Salaj T.	.....	36		Ž
Schieber	.....	158	Žiarovská	.....
Sládeková	.....	51, 165	Živčák	.....
Slováková	.....	70, 92	Žofajová	.....
Stehnová	.....	183		
Středa	.....	183		
Středová	.....	183		
Svoboda	.....	123		
Svobodníková	.....	118		
Svobodová	.....	109		

## ÚVODNÍ SLOVO

Čas je pojem relativní, neboť pro někoho je rok dlouhá doba, kdežto pro dalšího uběhne velmi rychle. Ta druhá možnost se týká organizování naší společné stresové konference, neboť téměř před rokem jsme se rozcházeli s vidnou dalšího ročníku, která se nyní naplnila.

V letošním roce je tato konference již z pohledu života lidského plnoletá, prošla si určitým vývojem a doufáme, že to byl vývoj pozitivní. Jsme rádi, že se na tomto vývoji podílíte především Vy, kteří se této akce zúčastňujete. Osmnáctý ročník si jistě zaslouží také tcohu bilancování, i když se nejedná o kulaté či půlkulaté jubileum.

Na tomto místě se sluší poděkovat duchovnímu otci a zakladateli této tradice Ing. Ladislavu Bláhovi, CSc., který stál u zrodu této akce a dvanáct let se podílel na jejím organizování. To on dal podnět ke vzájemnému setkávání a předávání zkušeností, informací a nových poznatků mezi námi všemi. Za to mu patří naše poděkování.

Dále bychom chtěli poděkovat všem pracovníkům obou institucí, kteří nám pomáhají s organizováním konference a dohlíží na její řádný průběh. Naše poděkování si jistě zaslouží i paní Ing. Ivana Šafářová, která se nám obětavě již několik let stará o finance. Zároveň bychom chtěli zmínit ještě jednoho obětavého člověka, který nám nezíštně pomáhal, ale bohužel se již tohoto ročníku nedožil. Jedná se o paní doc. Gabrielu Juhásovou.

V rámci letošního ročníku opět zazní mnoho přednášek a plakátových sdělení, které zahrnují nejenom již klasické stresory, kterými bezesporu jsou vodní deficit, rizikové látky v prostředí, ale také biotické faktory, především antropogenní působení. V rámci letošního ročníku bude naše pozornost zaměřena na problematiku vlivu globálních změn klimatu na zemědělskou a lesnickou produkci. Průběh letošního počasí, výskyt sucha, nerovnoměrné či chybějící srážky velmi významně ovlivňuje jak přirozené, tak i uměle vytvořené ekosystémy. Proto studium vlivu změn klimatu, ale i dalších stresorů je nutné sledovat také s ohledem na ekologické aspekty a s ohledem na možné změny biodiverzity, šíření nových druhů rostlin a živočichů, včetně jejich možného invazního působení na naše ekosystémy. Otázkou, která je stále v popředí zájmu je pochopení reakcí rostlin, které vedou k jejich možnému přizpůsobení změnám prostředí. Díky tomuto se do popředí zájmu dostává problematika výběru vhodných genotypů polních plodin, lesních a ovocných dřevin, které by vykazovaly možnou odolnost vůči nepříznivým vlivům vnějšího prostředí, včetně těch krajových.

Obdobně jako v předcházejících letech jsou velmi podnětné příspěvky, které se zaměřují na popis a využití nových metodických postupů a jejich aplikaci ve stresové fyziologii rostlin. Nemůžeme však opomenout i pohled dnes již klasických metod. Je velmi důležitý komplexní pohled na rostlinu, jako na celek, a ne se zaměřovat pouze na určitou, i když významnou problematiku.

Našim přáním je, aby i letošní ročník nebyl pro Vás stresující, ale podnětný.

Organizační výbor konference

## Vyzvané přednášky

## FENOLOGICKÁ DATA POLNÍCH PLODIN ZE SÍTĚ ČHMÚ A MOŽNOSTI JEJICH VYUŽITÍ

### ***PHENOLOGICAL DATA OF FIELD CROPS FROM CHMI PHENOLOGY NETWORK AND POSSIBILITY OF THEIR USE***

Lenka Hájková<sup>1</sup>, Věra Kožnarová<sup>2</sup>, Tomáš Vráblík<sup>1</sup>

<sup>1</sup> Český hydrometeorologický ústav, oddělení biometeorologických aplikací, Na Šabatce 17,  
143 06 Praha 4 Komořany hajkova@chmi.cz

<sup>2</sup> Česká zemědělská univerzita v Praze, FAPPZ, katedra agroekologie a biometeorologie,  
Kamýcká 129, 165 21 Praha 6 – Suchdol, koznarova@af.czu.cz

#### *Summary*

Phenology is the study of the timing of recurring biological events in the animal and plant world. In the paper, selected phenological phases of spring barley (*Hordeum vulgare*) for the period 1985–2010 were statistically from four phenological stations of the Czech Hydrometeorological Institute. The sums of effective air temperatures above 5 °C on the day of phenophase onset in the same period 1985–2010 were processed on the station Strážnice. The results show the serious variability of the phenophase onset in the respective year, and the phenological phases begin gradually, depending on the altitude of the respective station. The highest Pearson correlation coefficient was found in the phenological phase of the first nodus (BBCH 31), the second highest at the heading (BBCH 55). The evaluation of these statistics is important for preparing of data homogenization and subsequently as an input into phenological models. Detailed analysis of individual crops and phases will be used also within the framework of the "Autopollen" research project within the EUMETNET program.

*Key words:* phenology, phenophase, spring barley, effective temperature, CHMI

#### *Souhrn*

Periodicita v životě rostlin a živočichů je pokládána za nepřímý ukazatel periodicity klimatu. Je to dáno tím, že rostliny a živočichové neustále reagují na různé povětrnostní vlivy. Fenologie je vědní disciplína, která se zabývá studiem časového průběhu periodicky se opakujících životních projevů, tzv. fenologických fází, rostlin a živočichů v závislosti na podmírkách vnějšího prostředí, zejména na podnebí a počasí. Příspěvku byly statisticky vyhodnoceny vybrané fenologické fáze ječmene jarního (*Hordeum vulgare*) za období 1985–2010 z dat čtyř fenologických stanic ČHMÚ. Z měření na stanici Strážnice byly též zpracovány sumy efektivních teplot vzduchu nad 5 °C ke dni nástupu fenofáze ve stejném období 1985–2010. Výsledky ukazují na velkou variabilitu časového nástupu v příslušném roce, kdy fenologické fáze nastupují postupně v závislosti na nadmořské výšce příslušné stanice. Nejvyšší hodnota Pearsonova korelačního koeficientu byla zjištěna u fenologické fáze první kolénko (BBCH 31), druhá nejvyšší byla u metání (BBCH 55). Statistická šetření jsou důležitá pro přípravu homogenizace dat a následně pak pro vstup do fenologických modelů. Detailní rozbor jednotlivých plodin a fází poslouží i v rámci výzkumného projektu „Autopollen“ v rámci programu EUMETNET.

*Klíčová slova:* fenologie, fenofáze, ječmen jarní, efektivní teplota, ČHMÚ

## ÚVOD

Periodicita v životě rostlin a živočichů je pokládána za nepřímý ukazatel periodicity klimatu. Je to dáné tím, že rostliny a živočichové neustále reagují na různé povětrnostní vlivy. Fenologie je vědní disciplína, která se zabývá studiem časového průběhu periodicky se opakujících životních projevů, tzv. fenologických fází, rostlin a živočichů v závislosti na podmírkách vnějšího prostředí, zejména na podnebí a počasí /3/.

Počátky pravidelných fenologických pozorování na území dnešní České republiky spadají do 19. století, kdy v roce 1828 Společnost vlasteneckohospodářská zavedla k rozšíření svého meteorologického programu také fenologická pozorování některých rostlin a živočichů, zejména pro zemědělské a lesnické účely. Po vzniku Československa byla fenologická pozorování organizována na širokém celostátním základě Výzkumnými ústavy zemědělskými zásluhou prof. Ing. Dr. Václava Nováka, který vypracoval pro pozorování „Zásadní pravidla“ a návrh jednotného formuláře. Tyto podklady projednala a schválila v r. 1923 Komise pro půdoznařství a zemědělskou meteorologii a následně vznikla rozsáhlá pozorovací síť, do níž bylo zapojeno více než 650 pozorovatelů.

V roce 1939 došlo v Protektorátu Čechy a Morava ke sloučení všech meteorologických služeb do Ústředního meteorologického ústavu pro Čechy a Moravu, od r. 1940 převzala fenologická pozorování česká meteorologická služba s celou sítí (cca 1 000 lokalit) i s archivem údajů od r. 1923. Počet fenologických stanic se tehdy blížil hustotě srážkoměrné sítě. Od té doby až do současnosti tvoří fenologie součást meteorologické služby, začleněné v roce 1954 do Hydrometeorologického ústavu.

Významná změna ve fenologickém pozorování nastala v polovině 80. let, kdy byla síť stanic tzv. všeobecné fenologie postupně rozdělena do tří typů, sledujících polní plodiny, ovocné dřeviny a lesní (volně rostoucí) rostliny. Pro zajištění jednotnosti pozorování byly vydány návody pro pozorovatele, jejichž obrazovým doplňkem se od roku 2005 stal Fenologický atlas /2/. V té době tvořilo pozorovací síť ČHMÚ zhruba 160 stanic. V současné době se fenologická pozorování provádějí na jenom typu stanice – lesní (divoce rostoucí druhy).

Polní plodiny byly sledovány do 31. 12. 2012, z důvodu finančních úspor byla jejich činnost k tomuto datu ukončena. V letech 1985–2012 bylo v provozu cca 80 stanic polních plodin, které naplňovaly pozorovací program podle metodiky ČHMÚ /1/. V metodice je celkem popsáno 25 fenologických fází a do systematického sledování je vybráno 19 druhů polních plodin. Na každé stanici se provádějí pozorování dle možností příslušné stanice např. dle geografických podmínek, aktuálních osevních postupů daného roku a další.

Fenologická data polních plodin mají široké spektrum využití. Výsledky se dají využít např. k objektivní rajonizaci zemědělské výroby, k optimalizaci stanovení agrotechnických lhůt, ve sledování vývoje vegetace ve vztahu k erozi i dalším půdním parametru, k tvorbě agrometeorologických modelů (např. vývoj a kvalita obilovin, působení škůdců), ke specifikaci plodinového sucha a stanovení závlahových dávek, v hodnocení intenzity sucha a jeho dopadů na polní kultury, v modelech a hodnocení vlhkosti půdy, evapotranspirace a vláhové bilance polních kultur a samozřejmě i ve vědě a výzkumu ke sledování a hodnocení závislosti rychlosti vývoje vegetace na aktuálním počasí. Data jsou využitelná i v alergologii, protože pyly mnohých polních plodin (např. obiloviny) jsou řazeny mezi alergeny. V této souvislosti jsou velmi významné informace o fenologické fázi metání, počátku a konci kvetení, které indikují trvání pylové sezony.

Je nesmírně důležité, aby napozorované fenologické údaje byly statisticky vyhodnoceny včetně souvisejících klimatologických charakteristik, mezi které řadíme např. sumy efektivních teplot.

V předkládaném zpracování jsme se vzhledem k omezenému rozsahu příspěvku zaměřili pouze na vyhodnocení vybraných fenologických fází ječmene jarního za období

1985–2010 ze 4 fenologických stanic ČHMÚ. Kromě toho byly na stanici Strážnice též zpracovány sumy efektivních teplot vzduchu nad 5 °C ke dni nástupu fenofáze ve stejném období 1985–2010. V této podobě budou zpracovány i další stanice a plodiny v navazujících studiích.

## MATERIÁL A METODA

Jako plodina vhodná k analýze byl zvolen ječmen jarní (*Hordeum vulgare*). Zpracována byla data ze čtyř fenologických stanic ČHMÚ, které se nacházejí na území České republiky v různých nadmořských výškách (obr. 1 a tab. 1). Z fenologických fází byly vybrány etapy, které významně charakterizují ontogenetický vývoj ječmene jarního během vegetačního období. Jedná se o tyto fenologické fáze:

**Vzcházení:** nad povrch půdy pronikly první nadzemní orgány. U obilovin se jedná o první list, který vyrůstá z koleoptile (BBCH 10).

**Odnožování:** u obilovin jasně viditelný první list první odnože (postranního výhonu) (BBCH 21).

**Počátek prodlužování listových pochev,** který je též označován jako počátek sloupkování: vzdálenost mezi bázemi čepelí dvou nejvyšších listů se začala nápadně zvětšovat (BBCH 30).

**První kolénko, druhé kolénko:** v těchto fázích se od sebe neoddalují jen báze čepelí, ale také kolénka, která oddělují jednotlivé části stébla a z nichž vyrůstají listy (BBCH 31, BBCH 32).

**Naduření pochvy posledního listu:** pochva nejvíše postaveného listu pod vlivem růstu kvetenství plně nadmutá, není však ještě nikde rozevřená, ani z jejího vrcholu zatím nevyčnívají osiny (BBCH 45).

**Metání:** z pochvy praporcového listu vyčnívá právě polovina kvetenství (BBCH 55).

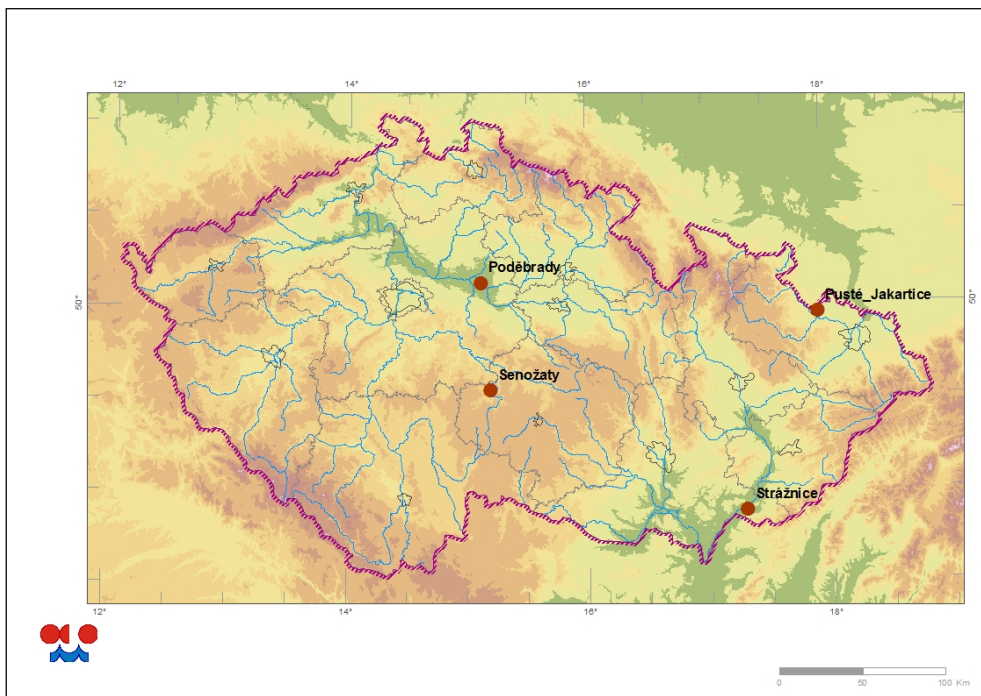
**Zralost mléčná:** všechny obilky jsou zelené. Ty vyvinutější jsou již plně dorostlé, při zmáčknutí uvolňuje mléčně zbarvenou šťávu (BBCH 73).

**Zralost plná:** semena jsou zcela tvrdá a jdou snadno uvolnit z klasu (BBCH 89).

Informace o BBCH je uvedena z důvodu využívání tohoto označení v rámci mezinárodní fenologické spolupráce /6/

Dále bylo vyhodnoceno průměrné trvání mezifázových intervalů ze všech 4 stanic a suma efektivních teplot nad 5 °C ke dni nástupu fenologické fáze vzcházení, první nodus, metání a zralost plná ze stanice Strážnice, která se nachází v nadmořské výšce 177 m. Efektivní teplota vzduchu je průměrná denní teplota zmenšená o biologické minimum teploty. Při dosažení hodnoty biologického minima teploty rostlina začíná, nebo přestává růst, tím, že posiluje, nebo omezuje metabolické procesy a transformaci energie. Zpravidla se jedná o teplotu 5 °C /5/.

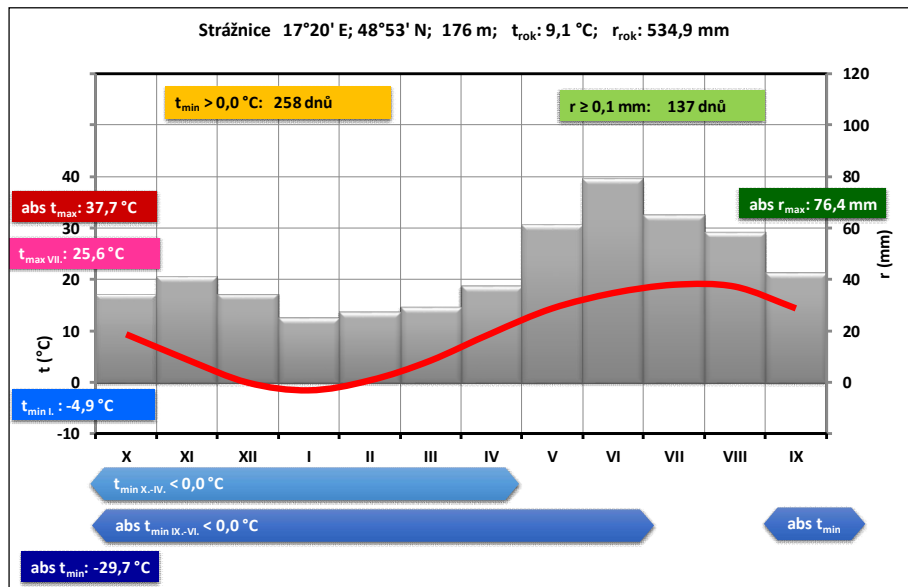
Fenologická data byla exportována z fenologické databáze ČHMÚ FENODATA. Vlastní fenologická pozorování provádějí dobrovolní pozorovatelé dle metodiky ČHMÚ /1, 2/. Průměrná denní teplota vzduchu byla exportována z klimatologické databáze ČHMÚ CLIDATA, do výpočtů sum efektivních teplot vstupovala tzv. technická řada, tj. homogenizovaná časová řada. Pro většinu výpočtů se používají technické datové řady, které vycházejí ze staničních dat ČHMÚ a jsou vypočteny s pomocí geostatistických metod (regionální lineární regrese). Samotný výpočet technických řad vychází z metody IDW (metoda vážených inverzních vzdáleností), kdy použité údaje okolních stanic jsou nejprve standardizovány na nadmořskou výšku bodu, pro který je počítána nová řada /5/ a poté je váženým průměrem spočtena nová hodnota /7/.



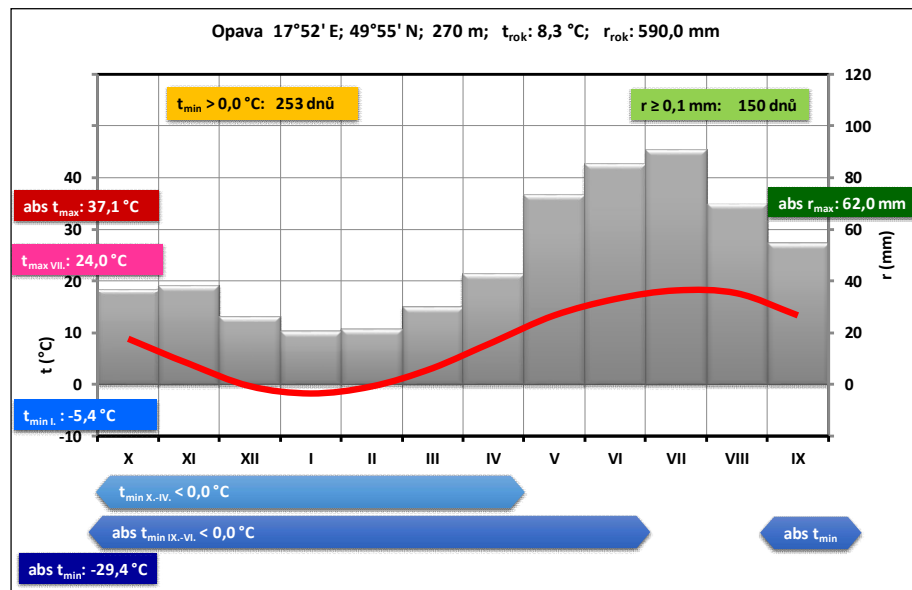
Obr. 1: Vybrané fenologické stanice sítě Českého hydrometeorologického ústavu

Tab. 1: Seznam fenologických a klimatologických stanic

Stanice fenologická			Stanice klimatologická		
	Indikativ	Nadmořská výška		Indikativ	Nadmořská výška
<b>Strážnice</b>	B1STRZ11	177	<b>Strážnice</b>	B1STRZ01	176
<b>Poděbrady</b>	H4PODE11	194	<b>Poděbrady</b>	H3PODE01	198
<b>Pusté Jakartice</b>	O1PUJA11	275	<b>Opava</b>	O1OPAV11	270
<b>Senožaty</b>	P3SENO11	470	<b>Košetice</b>	P3KOSE01	533



Obr. 2: Klimogram podle meteorologické stanice Strážnice



Obr. 3: Klimogram podle meteorologické stanice Opava

**Vysvětlivky:**

všeobecné údaje v záhlaví: zeměpisné souřadnice a nadmořská výška;  $t_{rok}$  = průměrná roční teplota vzduchu;  $r_{rok}$  = roční úhrn srážek;

graf: červená křivka = spojnica průměrné měsíční teploty vzduchu ( $^{\circ}\text{C}$ ); šedé sloupce = měsíční úhrn srážek (mm);

teplotní charakteristiky:  $\text{abs } t_{\text{max}}$  = absolutní maximum teploty vzduchu;  $t_{\text{max VII.}}$  = průměrné denní maximum teploty vzduchu v červenci;  $t_{\text{min I.}}$  = průměrné denní minimum teploty vzduchu v lednu;  $\text{abs } t_{\text{min}}$  = absolutní minimum teploty vzduchu;  $t_{\text{min}} > 0,0 \text{ } ^{\circ}\text{C}$  = počet dnů s denním minimem teploty vzduchu  $> 0,0 \text{ } ^{\circ}\text{C}$ ;

modrý pruh s  $t_{\text{min X.-IV.}} < 0,0 \text{ } ^{\circ}\text{C}$  = měsíce s průměrným měsíčním minimem teploty vzduchu  $< 0,0 \text{ } ^{\circ}\text{C}$ ; modrý pruh s  $\text{abs } t_{\text{min IX.-VI.}} < 0,0 \text{ } ^{\circ}\text{C}$  = měsíce s absolutním minimem teploty vzduchu  $< 0,0 \text{ } ^{\circ}\text{C}$ ;

srážkové charakteristiky:  $r > 0,0 \text{ mm}$  = počet dnů s denním úhrnem srážek  $> 0,0 \text{ mm}$ ;  $\text{abs } r_{\text{max}}$  = absolutní maximum denního úhrnu srážek.

Data byla statisticky vyhodnocena v prostředí Microsoft Excel. Souhrnné vyjádření klimatických poměrů lze např. vyjádřit pomocí klimogramu /4/. Na ukázku uvádíme klimogramy z meteorologické stanice Strážnice (doplňuje fenologickou stanici Strážnice) a meteorologické stanice Opava (doplňuje fenologickou stanici Pusté Jakartice) za období 1961–2010 (obr. 2 a 3) v tzv. agrometeorologickém roce, který začíná 1. říjnem a končí 30. zářím následujícího roku. Tento způsob umožňuje hodnotit chladný půlrok (včetně zimního období jako celek) a teplý půlrok odpovídající přibližně vegetačnímu období většiny u nás rostoucích rostlin. Takto jsou charakterizovány klimatické poměry i na ostatních fenologických stanicích, tyto informace jsou důležité pro celkový popis daných stanic.

## VÝSLEDKY A DISKUSE

V analýze byla vyhodnocena data ze stanic Strážnice, Poděbrady, Pusté Jakartice a Senožaty pro jednotlivé fenologické fáze pomocí standardních charakteristik popisné statistiky: střední hodnota, chyba střední hodnoty, medián, modus, minimum, maximum, směrodatná odchylka, rozptyl, špičatost a šíkmost. Výsledky jsou uvedeny v tab. 2 až 5.

Tab. 2: Statistické výsledky vybraných fází ječmene jarního – stanice Strážnice (177 m n. m.), hladina významnosti 95 %

Statistická charakteristika	vzcházení	odnožování	počátek prodlužování	první kolénko	druhé kolénko	nadouvání pochvy posledního listu	metání	mléčná zralost	plná zralost
<b>Střední hodnota</b>	6. IV.	25. IV.	5. V.	13. V.	20. V.	27. V.	3. VI.	30. VI.	22. VII.
<b>Chyba stř. hodn.</b>	1,94	2,07	1,52	1,39	1,38	1,41	1,29	1,49	1,00
<b>Medián</b>	9. IV.	25. IV.	4. V.	14. V.	19. V.	27. V.	3. VI.	27. VI.	22. VII.
<b>Modus</b>	11. IV.	23. IV.	15. V.	17. V.	25. V.	1. VI.	31. V.	26. VI.	21. VII.
<b>Minimum</b>	12. III.	1. IV.	22. IV.	1. V.	9. V.	10. V.	20. V.	15. VI.	7. VII.
<b>Maximum</b>	22. IV.	11. V.	17. V.	30. V.	8. VI.	17. V.	19. VI.	19. VII.	31. VII.
<b>Směr. odchylka</b>	9,90	10,56	7,78	7,12	7,05	7,23	6,60	7,61	5,11
<b>Rozptyl</b>	98,18	111,57	60,61	50,69	49,81	52,39	43,59	58,02	26,15
<b>Špičatost</b>	0,43	0,08	-1,13	-0,18	0,66	2,34	2,34	-0,43	1,86
<b>Šikmost</b>	-0,91	-0,51	0,01	0,19	0,68	0,50	0,14	0,14	-0,82

Tab. 3: Statistické výsledky vybraných fází ječmene jarního – stanice Poděbrady (190 m n. m.)

Statistická charakteristika	vzcházení	odnožování	počátek prodlužování	první kolénko	druhé kolénko	nadouvání pochvy posledního listu	metání	mléčná zralost	plná zralost
<b>Střední hodnota</b>	13. IV.	1. V.	15. V.	24. V.	30. V.	6. VI.	13. VI.	3. VII.	26. VII.
<b>Chyba stř. hodn.</b>	2,15	2,02	1,47	1,40	1,46	1,36	1,65	1,61	1,55
<b>Medián</b>	12. IV.	2. V.	14. V.	24. V.	30. V.	8. VI.	15. VI.	3. VII.	29. VII.
<b>Modus</b>	11. IV.	10. V.	12. V.	22. V.	4. VI.	10. VI.	20. VI.	24. VI.	31. VII.
<b>Minimum</b>	14. III.	6. IV.	23. IV.	8. V.	16. V.	21. V.	26. V.	16. VI.	7. VII.
<b>Maximum</b>	5. V.	19. V.	26. V.	7. VI.	11. VI.	16. VI.	27. VI.	19. VII.	10. VIII.
<b>Směr. odchylka</b>	10,98	10,31	7,51	7,18	7,46	6,97	8,45	8,22	7,95
<b>Rozptyl</b>	120,73	106,30	56,52	51,64	55,75	48,66	71,51	67,69	63,22
<b>Špičatost</b>	1,41	0,83	1,33	-0,48	-1,13	-0,19	-0,49	-0,48	0,54
<b>Šikmost</b>	-0,61	-0,86	-0,57	-0,20	-0,14	-0,57	-0,44	0,11	-0,72

Na základě těchto zjištění lze konstatovat, že:

- fenologická fáze vzcházení nastává v průměru na těchto vybraných stanicích mezi 6. až 17. dubnem, fenofáze odnožování mezi 25. dubnem až 5. květnem, počátek prodlužování mezi 5. až 21. květnem, první kolénko mezi 13. až 29. květnem, druhé kolénko mezi 20. květnem až 4. červnem, nadouvání pochvy posledního listu mezi 27. květnem až 12. červnem, metání mezi 3. až 18. červnem, zralost mléčná mezi 30. červnem až 8. červencem a zralost plná mezi 22. červencem až 7. srpnem.

- Fenologické fáze nastupují postupně v závislosti na nadmořské výšce příslušné stanice. Rozdíl mezi minimem a maximem u mnohých stanic činí i více než měsíc. To dokazuje velkou variabilitu v časovém nástupu fáze v daném roce.
- Směrodatné odchylky jsou na všech stanicích velmi podobné, nabývají hodnot 5,10 až 10,98.
- Špičatost a šikmost nabývají záporných či kladných hodnot v závislosti na rozdělení příslušného datového souboru.

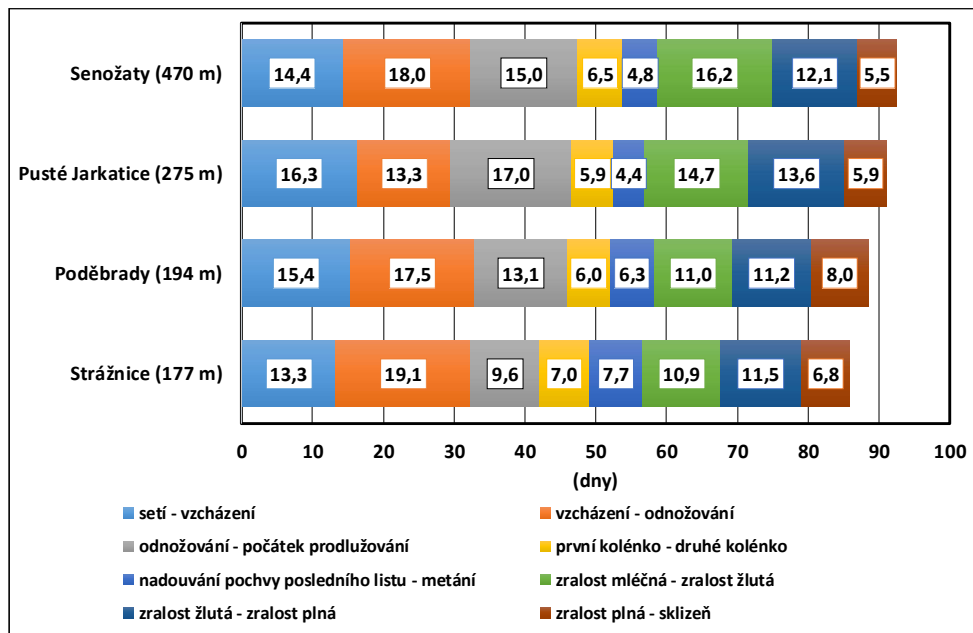
Tab. 4: Statistické výsledky vybraných fází ječmene jarního – stanice Pusté Jarkatice (275 m n. m.)

Statistická charakteristika	vzcházení	odnožování	počátek prodlužování	první kolénko	druhé kolénko	nadouvání pochvy posledního listu	metání	mléčná zralost	plná zralost
<b>Střední hodnota</b>	16. IV.	30. IV.	17. V.	24. V.	30. V.	6. VI.	11. VI.	1. VII.	30. VII.
<b>Chyba stř. hodn.</b>	1,80	1,48	1,64	1,47	1,30	1,42	1,57	1,51	1,60
<b>Medián</b>	18. IV.	17. V.	17. V.	23. V.	31. V.	7. VI.	12. VI.	29. VI.	30. VII.
<b>Modus</b>	21. IV.	3. V.	14. V.	30. V.	25. V.	3. VI.	5. VI.	24. VI.	1. VIII.
<b>Minimum</b>	28. III.	14. IV.	30. IV.	11. V.	18. V.	27. V.	27. V.	17. VI.	12. VII.
<b>Maximum</b>	1. V.	3. VI.	3. VI.	10. VI.	14. VI.	25. VI.	25. VI.	17. VII.	15. VIII.
<b>Směr. odchylka</b>	9,19	7,58	8,37	7,50	6,63	7,28	8,05	7,73	8,19
<b>Rozptyl</b>	84,48	57,52	70,17	56,33	44,01	53,04	64,88	59,87	67,09
<b>Špičatost</b>	-0,55	-0,24	0,01	-0,51	-0,52	-0,40	-0,64	-0,73	0,01
<b>Šikmost</b>	-0,54	-0,42	-0,13	0,28	0,08	-0,33	-0,03	0,40	0,01

Tab. 5: Statistické výsledky vybraných fází ječmene jarního – stanice Senožaty (470 m n. m.)

Statistická charakteristika	vzcházení	odnožování	počátek prodlužování	první kolénko	druhé kolénko	nadouvání pochvy posledního listu	metání	mléčná zralost	plná zralost
<b>Střední hodnota</b>	17. IV.	5. V.	21. V.	29. V.	4. VI.	12. VI.	18. VI.	8. VII.	7. VIII.
<b>Chyba stř. hodn.</b>	1,73	1,42	1,42	1,91	1,73	1,49	1,58	1,52	1,60
<b>Medián</b>	18. IV.	4. V.	22. V.	29. V.	4. VI.	13. VI.	19. VI.	10. VII.	7. VIII.
<b>Modus</b>	30. IV.	3. V.	24. V.	31. V.	7. VI.	16. VI.	20. VI.	11. VII.	5. VIII.
<b>Minimum</b>	31. III.	20. IV.	2. V.	5. V.	5. V.	26. V.	29. V.	20. VI.	17. VII.
<b>Maximum</b>	5. V.	18. V.	9. VI.	22. V.	22. VI.	1. VII.	6. VII.	23. VII.	24. VIII.
<b>Směr. odchylka</b>	8,86	7,26	8,87	9,77	8,83	7,63	8,09	7,75	8,16
<b>Rozptyl</b>	78,64	52,74	78,71	95,48	78,04	58,35	65,60	60,10	66,65
<b>Špičatost</b>	-0,48	-0,52	0,01	1,47	1,25	1,05	0,85	0,42	1,09
<b>Šikmost</b>	0,20	0,01	0,01	0,01	0,39	0,17	-0,04	-0,08	-0,28

Průměrné trvání mezifázových intervalů je uvedeno na obr. 4.



Obr. 4: Průměrné trvání mezifázových intervalů (dny)

Mezifázový interval (obr. 4) setí-vzcházení trvá v průměru 13,3 až 16,3 dnů; vzcházení-odnožování 13,3 až 19,9 dnů; odnožování-počátek prodlužování 9,6 až 17,0 dnů; první kolénko-druhé kolénko 5,9 až 7,7 dnů; nadouvání pochvy posledního listu-metání 4,4 až 7,7 dnů; zralost mléčná-zralost žlutá 10,9 až 16,2 dnů; zralost žlutá-zralost plná 11,2 až 13,6 dnů. Nejkratší interval je mezi fázemi nadouvání pochvy posledního listu a metání, nejdelší mezi fázemi vzcházení a odnožování.

Statistické výsledky analýzy sumy efektivních teplot jsou uvedeny v tab. 6.

Tab. 6: Statistické výsledky sumy efektivních teplot

Statistická charakteristika	$\Sigma t_{ef > 5^\circ C}$ do vzcházení	$\Sigma t_{ef > 5^\circ C}$ do prvního kolénka	$\Sigma t_{ef > 5^\circ C}$ do metání	$\Sigma t_{ef > 5^\circ C}$ do plné zralosti
Střední hodnota	80,4	325,5	540,8	1187,4
Chyba stř. hodn.	6,7	16,3	15,2	18,2
Medián	78,2	326,7	532,9	1173,3
Minimum	14,7	174,3	371,1	1050,6
Maximum	174,9	472,6	683,7	1386,8
Směr. odchylka	34,3	83,2	77,4	92,8
Rozptyl	1181,8	6926,1	5993,1	8605,1
Špičatost	1,76	-0,61	-0,28	-0,47
Šíkmost	0,81	0,08	0,01	0,49

Tab. 7: Závislost sumy efektivních teplot a nástupu fenologické fáze

Pearsonův korelační koeficient	vzcházení	první kolénko	metání	plná zralost
	0,276	0,786	0,522	0,417

Suma efektivních teplot nad 5 °C ke dni nástupu fenologické fáze vzcházení činí 80,4 °C; u prvního kolénka 325,5 °C; u metání 540,8 °C a u plné zralosti 1187,4 °C. Pro zjištění korelační závislosti mezi sumou efektivních teplot nad 5 °C a datem nástupu

fenologické fáze byl použit Pearsonův korelační koeficient (tab. 7). Nejvyšší hodnota výše uvedeného korelačního koeficientu byla zjištěna u fenologické fáze první kolénko (BBCH 31), druhá nejvyšší byla u metání (BBCH 55).

## ZÁVĚR

V příspěvku byly analyzovány vybrané fenologické fáze ječmene jarního ze čtyř fenologických stanic ČHMÚ a sumy efektivní teploty ke dni nástupu fenologické fáze ze stanice Strážnice z období 1985 až 2010.

Fenologická data jsou široce využívána v řadě oborů a také v mnoha činnostech souvisejících s posláním ČHMÚ. Jejich statistické hodnocení je důležité pro přípravu na homogenizaci dat a následně pak jako vstup do různých fenologických modelů. Výsledky provedeného šetření vegetačního období ječmene jarního ukazují na velkou variabilitu časového nástupu v jednotlivých letech. Fenologické fáze nastupují postupně v závislosti na nadmořské výšce příslušné stanice. Nejvyšší hodnota Pearsonova korelačního koeficientu byla zjištěna u fenologické fáze první kolénko (BBCH 31), druhá nejvyšší byla u metání (BBCH 55). Detailní rozbor dalších plodin a jejich fenologických fází může posloužit i v rámci výzkumného projektu „Autopollen“ v programu EUMETNET.

Na závěr nezbývá než konstatovat, že současná pozorování v rámci sítě ČHMÚ na omezeném počtu stanic (resp. pouze tzv. „lesní fenologie“ volně rostoucích rostlin) poskytují jen nedostatečné množství dat. Při řešení stávajících problémů souvisejících se změnou povětrnostních a tím i klimatických podmínek projevujících se např. v rozdelení srážek je důležité využít databázi historických fenologických pozorování a zároveň obnovit pozorovací síť fenologických stanic na území ČR. Reakce rostlin v kontextu s meteorologickými faktory je jedním ze základních indikátorů pro predikci ekonomických dopadů. Dalším významným argumentem pro revitalizaci fenologických pozorování v ČR je celosvětový trend využívání fenologických dat ve všech oblastech uvedených výše. Absence aktuálních fenologických dat tak omezuje i mezinárodní spolupráci v různých oblastech – zejména pak agrometeorologie a biometeorologie.

## LITERATURA

- /1/ Anonymus: Metodický předpis č. 2 „Návod pro činnost fenologických stanic - polní plodiny“. ČHMÚ, Praha, 2009..
- /2/ Coufal L. et al.: Fenologický atlas. Praha, 2004: 263 s.
- /3/ Hájková L., et al.: Atlas fenologických poměrů Česka. ČHMÚ Praha a UP Olomouc, 2012: 311 s.
- /4/ Hájková, L., Kožnarová, V., Sulovská, S., Nekovář, J.: Fenologické charakteristiky vybraných lesních bylin v Česku, ČHMÚ. Praha, 2013: 90 s.
- /5/ Hájková, L., Kožnarová, V., Hnilička, F.: Vyhodnocení vybraných agroklimatických charakteristik ve vegetačním období na území ČR za období 1961–2010. Vliv abiotických a biotických stresorů na vlastnosti rostlin 2017 (Sborník recenzovaných vědeckých prací) Influence of abiotic and biotic stresses on properties of plants 2017 (Proceedings of scientific articles) Česká zemědělská univerzita v Praze, 2017 ISBN: 978-80-213-2767-2, 2017: 3–11.
- /6/ Meier U. (ed.): Growth stages of mono- and dicotyledonous plants. BBCH Monograph (2. ed.). Federal Biological Research Centre for Agriculture and Forestry, Berlin (<https://www.politicheagricole.it/flex/AppData/WebLive/Agrometeo/MIEPFY800/BBCHEngl2001.pdf> 25. 6. 2018), 2001.
- /7/ Štěpánek, P. et al.: Interpolation techniques used for data quality control and calculation of technical series: an example of Central European daily time series. Időjárás, 115, 1–2, 2011: 87–98.

## Poděkování

Příspěvek vznikl s institucionální podporou Českého hydrometeorologického ústavu a Programu pro dlouhodobý koncepční rozvoj výzkumné instituce poskytovaného Ministerstvem školství, mládeže a tělovýchovy České republiky.

# VPLYV ALKALICKEJ A METALICKEJ KONTAMINÁCIE NA PÔDU A VEGETÁCIU V IMISNOM POLI MAGNEZITOVÉHO ZÁVODU

## ***IMPACT OF ALKALINE AND METALLIC CONTAMINATION ON SOIL AND VEGETATION IN THE EMISSION FIELD OF MAGNESIUM FACTORY***

Danica Fazekašová, Juraj Fazekaš

Prešovská univerzita v Prešove, Fakulta manažmentu, Katedra environmentálneho manažmentu,  
Konštantínova 16, 08001 Prešov, danica.fazekasova@unipo.sk

### ***Summary***

The studied area Jelšava-Lubeník (Slovakia) is one of the most degraded regions of Slovakia. The free magnesium oxide ( $MgO$ ) particles have strongly influenced soil, diversity and vegetation cover. Research has shown that the studied areas were mostly strongly alkaline, the Cr, Mn and Mg contents were above the toxicity limit, while the measured Pb and Zn values did not exceed the limits. Heavy metal values, which were measured well above the set limit, indicate contamination, which can be considered harmful and toxic. In the studied plant species *Agrostis stolonifera*, *Elytrigia repens* and *Phragmites australis*, we found above-limit Pb and Zn content and the toxic content of Mg and Mn.

*Key words:* magnesium, manganese, soil reaction, *Phragmites australis*, *Elytrigia repens*, *Agrostis stolonifera*.

### ***Súhrn***

Skúmaná oblasť Jelšava-Lubeník (Slovensko) je jednou z najviac zdevastovaných regiónov Slovenska. Úletové častice voľného oxidu horečnatého ( $MgO$ ) silne ovplyvnili reakciu pôdy, diverzitu a vegetačnú pokrývku. Výskum ukázal, že skúmané miesta boli väčšinou silne alkalické, obsahy Cr, Mn a Mg boli nad hranicou toxicity, zatiaľ čo namerané hodnoty Pb a Zn neprekročili limity stanovené zákonom. Hodnoty ďalších kovov, ktoré sme namerali výrazne nad stanoveným limitom, ukazujú kontamináciu, ktorú možno považovať za škodlivú a toxickú. V sledovaných rastlinných druhoch *Agrostis stolonifera*, *Elytrigia repens* a *Phragmites australis* sme zistili nadlimitný obsah Pb a Zn a toxický obsah Mg a Mn.

*Klúčové slová:* horčík, mangán, pôdná reakcia, *Phragmites australis*, *Elytrigia repens*, *Agrostis stolonifera*.

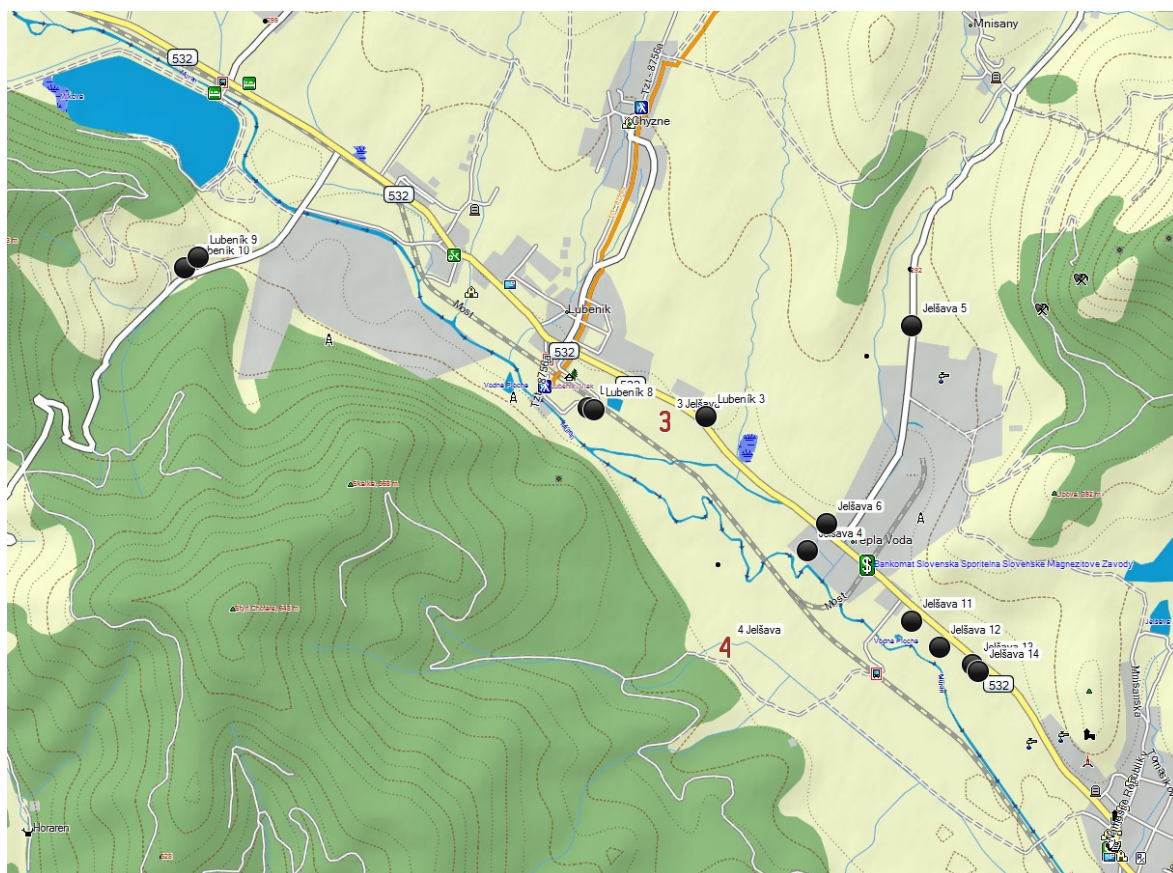
## **ÚVOD**

Oblast' Jelšava – Lubeník, so špecifickými zásaditými imisiami, je jednou z najviac zdevastovaných oblastí Slovenska a s alarmujúcim stupňom poškodenia životného prostredia. Spracovanie magnezitovej suroviny a výroba magnezitových slinkov v Slovenských magnezitových závodoch (SMZ) v Jelšave a Lubeníku sprevádzala enormná emisia prašných častíc  $MgO$  do ovzdušia. Podľa environmentálnej regionalizácie Slovenskej republiky /7/ sa skúmané územie Jelšava a Lubeník nachádza v Revúckom regióne, ktoré predstavuje územie 2. environmentálnej kvality, t.j. región s mierne narušeným prostredím. V rámci uvedeného regiónu sa skúmané územie nachádza v Jelšavsko-lubeníckom okrsku so značne narušeným prostredím.

Cieľom práce bolo zistiť stupeň kontaminácie pôdy a vegetácie v imisnom poli magnezitových závodov Jelšava a Lubeník (Slovensko).

## MATERIÁL A METODIKA

Odber pôdnych vzoriek bol uskutočnený v roku 2017 v letnom období. Vzorky pôdy boli odobraté z A horizontu (0,15 – 0,20 m) za účelom stanovenia celkového obsahu ťažkých kovov a pôdnej reakcie. Odberové miesta boli situované na trvalých trávnych porastoch (TTP). Celkový obsah ťažkých kovov (Hg, Cd, Pb, Cr, Zn, Cu, Mn, Mg) bol stanovený v akreditovanom laboratóriu metódou AAS (atómová absorpčná spektrometria) a RFS (röntgenfluorescenčná spektrometria) /4/. Pre stanovenie ťažkých kovov v rastlinách boli odobraté nadzemné orgány rastlinných druhov *Phragmites australis*, *Elytrigia repens*, *Agrostis stolonifera*. Vo vzorkách bol stanovený obsah ťažkých kovov Cd, Pb, Zn, Cr, Mn, Mg. Vzorky boli analyzované v akreditovanom laboratóriu metódami AAS (atómová absorpčná spektrometria), RFS (röntgenfluorescenčná spektrometria) podľa metodiky Fialu a kol. /4/. Z chemických vlastností pôdy bolo stanovené výmenné pH/KCl potenciometricky. Lokalizácia odberových miest je uvedená na obrázku 1.



Obr. 1: Lokalizácia odberových miest na území Jelšavy a Lubeníka

Kontaminácia pôdy bola vyhodnotená pomocou kontaminačného faktora a stupňa znečistenia podľa Hakansona /5/:

$$C_f^i = \frac{c_i}{c_n^i}$$

kde  $C_i$  je priemerná koncentrácia ľažkých kovov a  $C^i_n$  je pozadová koncentrácia ľažkých kovov pre pôdy Slovenskej republiky /3/.

Stupeň celkovej kontaminácie životného prostredia  $C_d$  je definovaný ako súčet všetkých  $C_f^i$ :

$$C_d = \sum_{i=1}^n C_f^i,$$

Výsledky kontaminačného faktora  $C_f^i$ , stupeň kontaminácie  $C_d$  boli hodnotené podľa klasifikácie uvedenej v tabuľke 1.

Tab. 1: Klasifikácia kontaminačného faktora  $C_f$  a stupeň kontaminácie  $C_d$  podľa Hakansona /5/.

Kontaminačný faktor	Stupeň kontaminácie	Klasifikácia
$C_f < 1$	$C_d < 8$	Nízky
$1 \leq C_f < 3$	$8 \leq C_d < 16$	Mierny
$3 \leq C_f < 6$	$16 \leq C_d < 32$	Značný
$C_f > 6$	$C_d > 32$	Veľmi vysoký

## VÝSLEDKY A DISKUSIA

Spracovanie magnezitovej suroviny a výroba magnezitových slinkov v Slovenských magnezitových závodoch v Jelšave a Lubeníku sprevádzala enormná emisia prašných častíc MgO do ovzdušia, ako aj únik plynných zlúčenín, najmä SO<sub>2</sub> a NO<sub>x</sub>. V prašných časticach sa nachádzajú aj ľažké kovy, najmä Cd, Pb, Zn, Mn, Cr. Naše výskumy ukázali, že v pôdach skúmanej oblasti sa nachádza nadlimitný obsah Cr, Mn a Mg, obsah Cd, Pb a Zn je pod úrovňou toxicity. Obsah chrómu v pôde na skúmanom území bol v rozsahu 83 až 1055 mg.kg<sup>-1</sup> (Tabuľka 2). Stredná úroveň chrómu v pôdach Slovenskej republiky je 85 mg.kg<sup>-1</sup> v horizonte A /9/.

V sledovanej oblasti sme zistili významnú kontamináciu horčíka pôdou s hodnotami v rozmedzí 7000 až 197000 mg.kg<sup>-1</sup>, ktorá je v priemere 18 až 493 krát vyššia ako prahový limit. Najvyššie koncentrácie Mg prekročili vysoký obsah tohto prvku 493 krát, čo je porovnatelné s Wangom et al. /11/. Hodnoty obsahu dostupného horčíka sú v hornej vrstve poľnohospodárskej pôdy na Slovensku v rozmedzí 200-400 mg.kg<sup>-1</sup>Mg, čo predstavuje vysoký obsah tohto prvku v pôde /8/.

Namerané obsahy mangánu vykazujú podobný priebeh a boli zistené obsahy v rozmedzí 220 až 2300 mg.kg<sup>-1</sup> (Tabuľka 2). Priemerný obsah mangánu v pôde Slovenskej republiky je v rozpätí od 0,85 do 112,90 mg.kg<sup>-1</sup>, čo naznačuje významnú priestorovú heterogenitu prvkov, avšak prevláda stredná zásoba tohto prvku v pôde. Kabata-Pendias /6/ uvádza hodnotu 1500 mg.kg<sup>-1</sup>, pri ktorej sa prejavujú symptómy toxicity mangánu. Výrazne prekročenie Cr, Mn a Mg poukazuje na kontaminovanosť, pri ktorej môžeme rátať so škodlivosťou a toxicitou.

Prachové častice silne ovplyvnili dynamické vlastnosti pôd, najmä pH. Kontinuálna magnezitová krusta pokrýva časť pôdy a ovplyvnila ekologicky dôležité funkcie pôdy čo potvrdzujú vo svojej práci aj Wang et al. /11/. Pôdná reakcia v oblasti Jelšavy a Lubeníka sa pohybovala v rozmedzí 6,50 až 9,15. Rozsah hodnôt pôdnej reakcie naznačuje, že pôda je slabo kyslá až silne alkalická (Tabuľka 5).

Pôdy v oblasti Jelšavy a Lubeníka boli na základe priemerných hodnôt faktora kontaminácie klasifikované ako mierne kontaminované Hg, Cd, Pb, Cr, Zn a Cu. Hodnoty stupňa kontaminácie sa pohybovali od 22,06 (JL 08) do 6,91 (JL 10). Na základe klasifikácie podľa Hakansona /5/ sme v oblasti Jelšavy a Lubeníka zistili nízky stupeň kontaminácie ( $C_d < 8$ ) na mieste odberu JL 10, značný stupeň kontaminácie ( $16 \leq C_d < 32$ ) na mieste odberu JL

08 a na ostatných miestach bol stupeň kontaminácie mierny ( $8 \leq C_d < 16$ ), (Tabuľka 3). Klasifikácia kontaminačného faktora a stupeň kontaminácie sú uvedené v tabuľke 1.

Tab. 2: Namerané hodnoty ľažkých kovov ( $\text{mg} \cdot \text{kg}^{-1}$ ) v pôde v oblasti Jelšavy a Lubenika vyjadrené popisou štatistikou

Parameter	Priemer	Min	Max	Smerodajná odchýlka	Limit*
<b>Hg</b>	0,08	0,04	0,10	0,03	0,50
<b>Cd</b>	0,50	0,50	0,50	0,00	0,70
<b>Pb</b>	32,42	17,00	45,00	8,16	70,00
<b>Cr</b>	231,08	83,00	1055,00	279,49	150,00
<b>Zn</b>	88,33	48,00	108,00	15,17	150,00
<b>Cu</b>	23,08	11,00	44,00	9,40	60,00
<b>Mn</b>	1410,00	220,00	2300,00	607,62	-
<b>Mg</b>	49841,67	7000,00	197000,00	59039,25	-
pH/KCl	7,99	6,50	9,15	0,98	-

\*Zákon č. 220/2004

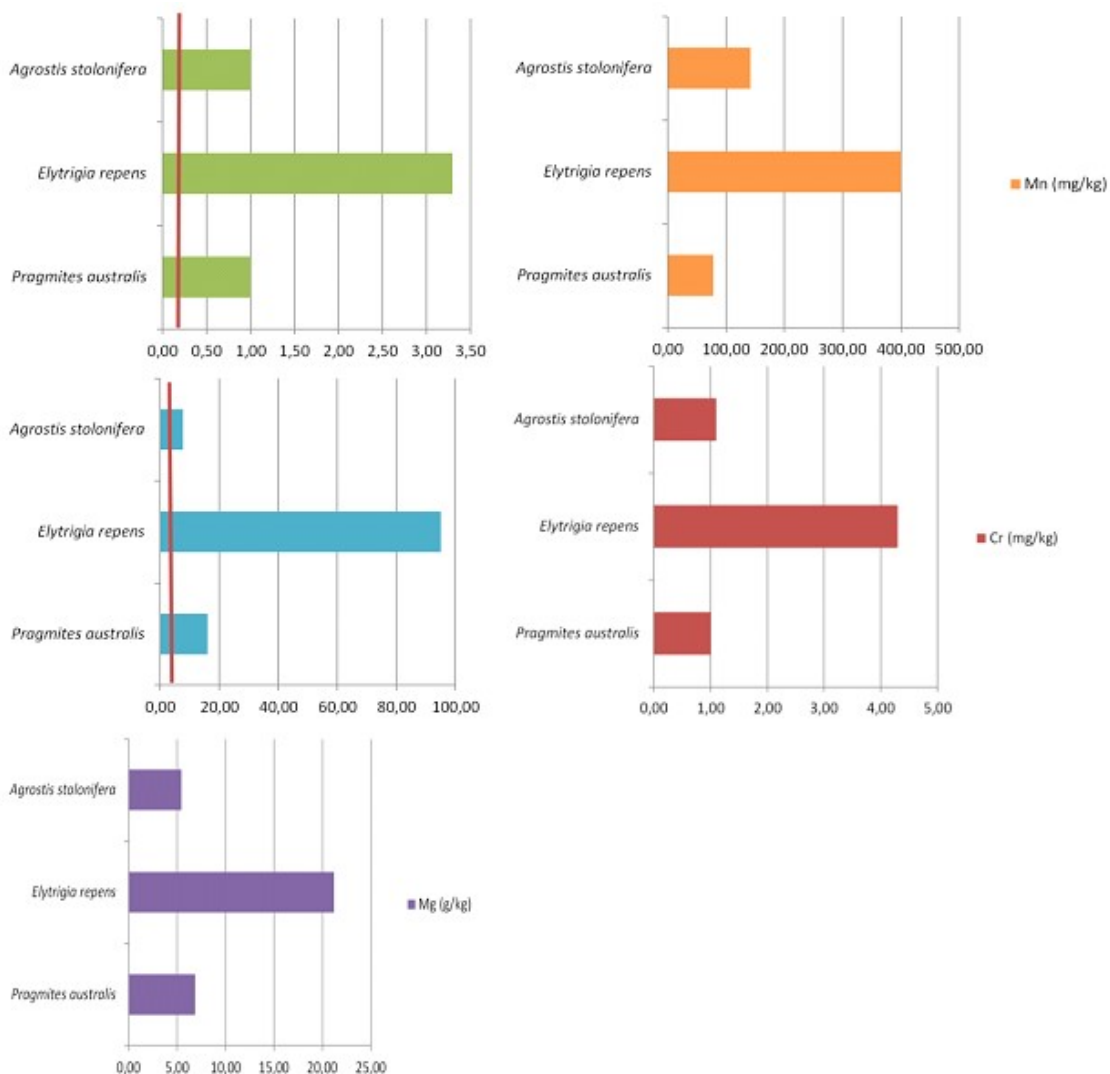
Tab. 3: Kontaminačný faktor  $C_f^i$  a stupeň kontaminácie pôdy Cd v oblasti Jelšavy Lubenika

Miesto odberu	Hg	Cd	Pb	Cr	Zn	Cu	$C_d$
	$C_f^i$						
JL 01	2,17	2,00	2,44	1,11	2,31	1,23	11,26
JL 02	1,50	3,00	1,58	1,71	1,33	0,95	10,07
JL 03	0,67	3,00	1,91	1,12	2,31	1,75	10,76
JL 04	1,11	3,00	1,96	1,91	2,12	1,06	11,16
JL 05	0,83	3,00	1,47	2,00	1,09	0,76	9,15
JL 06	1,00	3,00	1,42	2,42	1,26	0,76	9,86
JL 07	0,89	3,00	1,48	5,54	1,96	1,25	14,11
JL 08	0,89	3,00	1,61	12,41	2,40	1,75	22,06
JL 09	0,44	3,00	1,09	1,67	1,96	2,75	10,91
JL 10	0,44	3,00	0,74	0,98	1,07	0,69	6,91
JL 11	1,33	3,00	1,52	1,86	2,07	1,69	11,47
JL 12	1,00	3,00	1,22	1,00	1,96	2,13	10,30
<b>Priemer</b>	<b>1,02</b>	<b>2,92</b>	<b>1,54</b>	<b>2,81</b>	<b>1,82</b>	<b>1,40</b>	<b>11,50</b>

Na siedmich skúmaných lokalitách v oblasti Jelšavy a Lubeníka sme zistili alkalickú až silne alkalickú pôdnú reakciu. To značne ovplyvnilo variabilitu druhov. Na trvalých trávnych porastoch boli prítomné charakteristické voľne rastúce rastliny ako *Elytrigia repens*, *Chenopodium album*, *Equisetum arvense*. Trvalé trávne porasty boli reprezentované druhmi typickými pre mokré a podmáčené miesta, ako sú *Alopecurus pratensis*, *Lychnis flos-cuculi*, *Cirsium rivulare*, *Acetosa pratensis*, *Archangelica officinalis*, *Agrostis stolonifera* a konkurenčne silný druh *Elytrigia repens* a *Phragmites australis*.

Na hodnotenie kontaminácie vegetácie boli vybrané druhy na základe ich významnosti na skúmaných lokalitách. V nadzemných rastlinných orgánoch boli analyzované Pb, Zn, Cr, Mn a Mg. Najvyššia kontaminácia v porovnaní s limitnými hodnotami sa zistila v prípade *Elytrigia repens*, kde obsah zinku prekročil limit 47 krát a obsah olova 33 krát. Nadlimitné hodnoty zinku sa nachádzali aj v sušine *Phragmites australis* (obrázok 2).

Koncentrácia horčíka v testovaných rastlinách vykazovala veľmi vysoký obsah (Obrázok 2). Najvyšší obsah horčíka sme zistili v *Elytrigia repens* ( $21\ 208\ \text{mg}.\text{kg}^{-1}$ ) > *Phragmites australis* ( $6\ 860\ \text{mg}.\text{kg}^{-1}$ ) > *Agrostis stolonifera* ( $5\ 419\ \text{mg}.\text{kg}^{-1}$ ). Vysoká koncentrácia mangánu sa vyskytovala aj v *Elytrigia repens* ( $400\ \text{mg}.\text{kg}^{-1}$ ) > *Agrostis stolonifera* ( $142\ \text{mg}.\text{kg}^{-1}$ ) > *Phragmites australis* ( $78\ \text{mg}.\text{kg}^{-1}$ ). Väčšina rastlín je ovplyvnená obsahom Mn nad  $400\ \text{mg}.\text{kg}^{-1}$ . Akumulácia nad  $1000\ \text{mg}.\text{kg}^{-1}$  bola zistená pre niekoľko ďalších rezistentných druhov. Hyperakumulačné rastliny (*Phytolacca americana* L.) absorbovali Mn z kontaminovanej zeminy až do  $13\ 400\ \text{mg}.\text{kg}^{-1}$  v listoch /6/. Nadmerné množstvo horčíka spôsobuje príznaky toxicity. Rastliny, ktoré dostali  $10\ 000\ \text{mg}\ \text{Mg}^{2+}.\text{kg}^{-1}$ , odumreli 20. deň po aplikovaní toxickej dávky a rastliny, ktoré dostali  $5\ 000\ \text{mg}\ \text{Mg}^{2+}.\text{kg}^{-1}$ , odumreli na 45. deň /10/.



Obr. 2: Obsah ďalžkých kovov v rastlinných druchoch (*Phragmites australis*, *Elytrigia repens*, *Agrostis stolonifera*) v skúmanej oblasti Jelšava a Lubeník

*Phragmites australis* môže tolerovať mnoho typov biotopov a rastie v oblastiach so širokou ekologickou amplitúdou vrátane mokradí a pôdy. Mnohé štúdie uvádzajú *Phragmites australis* ako jeden z najlepších rastlinných organizmov na detekciu a adsorpciu ďalžkých kovov /15/. Často sa využíva na zniženie koncentrácie kovov v pôde, sedimentoch a vodách

/1/. *Phragmites australis* sa používa aj na identifikáciu prítomnosti Cd, Cu, Pb a Zn v ústiach riek, čo naznačuje, že môže byť použitý ako bioindikátor /2/.

## LITERATÚRA

- /1/ Bragato, C., Brix, H., Malagoli, M.: Accumulation of nutrients and heavy metals in *Phragmites australis* (Cav.) Trin. ex Steudel and *Bolboschoenus maritimus* (L.) Palla in a constructed wetland of the Venice lagoon watershed. Environ. Pollut., 144, 2006: 967-975.
- /2/ Cicero-Fernandes, D., Peña-Fernández, M., Expósito-Camagro, J.A., Antizar-Ladislao, B.: Long term (two annual cycles) phytoremediation of heavy metal-contaminated estuarine sediments by *Phragmites australis*. New Biotechnology, 38, 2017: 56-64.
- /3/ Čurlík, J. Šefčík, P.: Geochemický atlas Slovenskej republiky. Bratislava: MŽP SR, 1999, 185 s.
- /4/ Fiala, K., Barančíkova, G., Brečkova, V., Burik, V., Houškova, B., Chomaničova, A., Kobza, J., Litavec, T., Makovníkova, L., Pechová, B., Varadiova, D.: Záväzné metódy rozborov pôd. Čiastkový monitorovací systém – pôda. Výskumný ústav pôdoznalectva a ochrany pôdy v Bratislave, Edičné stredisko VÚPOP, 1999, 142 s. ISBN 80-85361-55-8.
- /5/ Hakanson, L.: An Ecological Risk Index for Aquatic Pollution Control: A Sedimentological Approach, Water Res., 14, 1980: 975–1001,
- /6/ Kabata-Pendias, A.: Trace Elements in Soil and Plants. 4th edition. London: CRC Press, 2011.
- /7/ Klinda J., Mičík, T., Némethová, M., Slámková, M.: Environmentálna regionalizácia Slovenskej republiky. Bratislava: MŽP SR, 2016: 134 s.
- /8/ Kobza, J. a kol.: Monitoring a hodnotenie vlastnosti pôd SR a potenciálov ich vývoja. Bratislava: VÚPOP, 2010: 142 s.
- /9/ Šefčík, P.: Distribúcia rizikových prvkov v pôdach Slovenska. Agriculture, 52(2), 2006: 57-62.
- /10 Venkatesan, S., Jayaganesh, S.: Characterisation of Magnesium Toxicity, its Influence on Amino Acid Synthesis Pathway and Biochemical Parameters of Tea. Research Journal of Phytochemistry, 4, 2010: 67-77.
- /11/ Wang, L., Tai, P., Jia, Ch., Li, X., Li, P., Xiong, X.: Magnesium Contamination in Soil at a Magnesite Mining Region of Liaoning Province, China. Bull Environ Contam Toxicol, 95, 2015: 90–96.

## Poděkovanie

Uvedená práca vznikla za finančnej podpory výzkumného projektu VEGA 1/0127/16 a KEGA 011PU-4/2016.

# REAKCIA PESTOVANÝCH OBILNÍN NA STRESOVÉ FAKTORY

## ***THE RESPONSE OF CULTIVATED CEREALS ON STRESS FACTORS***

Eva Candráková

Slovenská poľnohospodárska univerzita v Nitre, FAPZ, katedra rastlinnej výroby, Tr. A. Hlinku 2, 949 76 Nitra, Eca:Candrakova@uniag.sk

### ***Summary***

The field experiment with winter wheat and spring barley was carried out in 2014 - 2016. Influence of year, 2 soil cultivation ways (tillage to 0,24 m, disc tillage to 0,12 m) and 3 fertilization variants (control, industrial fertilizers, industrial fertilizers + forecrop harvest remains) on grain yield and quality was investigated. Yield and quality of both cereals were high significantly influenced by year. The best results were achieved in 2014 (grain yield of wheat  $7,17 \text{ t.ha}^{-1}$  and barley  $6,98 \text{ t.ha}^{-1}$ ). Wheat also achieved the best qualitative indicators in this year. Variants of fertilization increased grain yield of both cereals high significantly. The prevailing warm and dry weather conditions during spring months did not allow plants to fully utilize nutrients from the fertilizer because their release was slow and insufficient. Minimized soil preparation achieved better results in comparison to conventional technology.

*Key words:* winter wheat, fertilization, soil cultivation, yield, crude protein

### **Súhrn**

V rokoch 2014 – 2016 sme skúmali vplyv podmienok pestovania, spôsobov obrábania pôdy O1 (orba do 0,24 m), O2 (tanierové náradie do 0,12 m) a variantov hnojenia H1 (kontrola), H2 (priemyselné hnojivá), H3 (priemyselné hnojivá + pozberové zvyšky predplodiny na úrodu a kvalitu zrna pšenice a jačmeňa. Predplodinou pre pšenicu bola ďatelina lúčna a jačmeň bol zasiaty po kukurici na zrno. Úroda a kvalita zrna obidvoch obilnín bola vysokopreukazne ovplyvnená ročníkom. Najlepšie výsledky boli dosiahnuté v roku 2014 s úrodou zrna pšenice  $7,17 \text{ t.ha}^{-1}$  a jačmeňa  $6,98 \text{ t.ha}^{-1}$ . V tomto roku dosiahla pšenica aj najlepšie kvalitatívne ukazovatele (HTZ 52,20 g a obsah bielkovín 13,11 %). Pre jačmeň siaty jarný lepšie vyhovovali podmienky ročníka 2015 (HTZ 48,21 g). Vplyvom variantov hnojenia sa vysokopreukazne zvýšila úroda zrna obidvoch obilnín. Pri obrábaní pôdy prevládol pozitívny vplyv minimalizačného spôsobu prípravy pôdy s použitím iba tanierového náradia nad konvenčnou technológiou.

*Klúčové slová:* pšenica, hnojenie, obrábanie pôdy, úroda, bielkoviny

## **ÚVOD**

Obilníny sú najvýznamnejšou skupinou poľných plodín. Na Slovensku sa v rokoch 2014 až 2016 pestovali na ploche 786 – 757 tis. ha (vrátane kukurice na zrno a ostatných obilnín). V roku 2016 zaberali z ornej pôdy 53,8 %. Z pestovaných obilnín bol podiel pšenice asi 48,3 % a jačmeňa 17,7 % /6/.

Množstvo a kvalita úrody zrna závisí od genotypu, prostredia a ich interakcií, pričom sa nedá presne určiť, ktorý z týchto faktorov je najdôležitejší /2, 10, 13/.

K najvýznamnejším faktorom, determinujúcim výšku a kvalitu úrody, patrí hnojenie rastlín /9/.

Veľmi dôležitú úlohu má technologický systém prípravy pôdy. Klasické spôsoby sú nahradzované minimalizačnými a bezborbovými technológiami, ktoré šetria spotrebú pohonných hmôt a zvyšujú výkonnosť strojov a náradí.

Cieľom príspevku je posúdiť vplyv spôsobov obrábania pôdy, hnojenia a faktorov prostredia na úrodu a kvalitu zrna pšenice letnej formy ozimnej a jačmeňa siateho jarného.

## MATERIÁL A METÓDY

Poľný polyfaktorový pokus bol založený na Výskumno-experimentálnej báze Fakulty agrobiológie a potravinových zdrojov SPU v Nitre v lokalite Dolná Malanta v nadmorskej výške 170 m. Územie spadá do teplého, veľmi suchého, nízinného klimatického regiónu. Zeminy z orníc sú prachovito-hlinité s objemovou hmotnosťou  $1500 - 1680 \text{ kg.m}^{-3}$  /14/.

V stabilnom osevnom postupe sa striedajú plodiny: d'atelina lúčna, pšenica letná f. ozimná, hrach siaty, kukurica siata, jačmeň siaty jarný. Pre hodnotenie sme vybrali jačmeň siaty jarný odrodu Kangoo a pšenicu letnú formu ozimnú odrodu Bertold.

Odroda Kangoo (2009) je stredne skorá, vyššieho typu (0,75 m), s dobrou odolnosťou proti poliehaniu. Odroda Bertold je stredne skorá s dobrým zdravotným stavom a potravinárskou kvalitou A.

Pokus bol založený metódou dlhých pásov s kolmo delenými blokmi. Veľkosť pokusnej plochy variantu bola  $20 \text{ m}^2$  (10 x 2) s tromi opakovami.

V práci boli skúmané spôsoby obrábania pôdy:

K - konvenčné obrábanie pôdy (orba do hĺbky 0,20 - 0,25 m),

M - minimálne obrábanie pôdy (tanierovanie do hĺbky 0,10 - 0,12 m).

V rámci obrábania pôdy boli tri varianty hnojenia usporiadane náhodne s cieľom eliminovať heterogenitu pôdy:

H1 - kontrola bez hnojenia, H2 - racionálne hnojenie priemyselnými hnojivami,

H2 - racionálne hnojenie priemyselnými hnojivami,

H3 - racionálne hnojenie priemyselnými hnojivami so zapravením rastlinných zvyškov predplodiny.

Termín sejby pšenice: 9.10.2013; 12.10.2014, 18. 10. 2015. Termín zberu pšenice: 26.6.2014, 22.7.2015, 20.7.2016.

Termín sejby jačmeňa: 6. 3. 2014; 21. 3. 2015; 15. 3. 2016. Termín zberu jačmeňa: 11. 7. 2014; 28. 7. 2015; 29. 7. 2016

Dávky priemyselných hnojív boli určené na základe analyticky zisteného obsahu prístupných živín v pôde, v hĺbke 0,60 m, na plánovanú úrodu zrna pšenice  $6 \text{ t.ha}^{-1}$ , jačmeňa  $5 \text{ t.ha}^{-1}$  a príslušného množstva slamy /3/. Normatív odberu živín pre pšenicu: 25 kg N, 5,7 kg P, 21,0 kg K. Normatív odberu živín pre jačmeň: 24 kg N, 5,0 kg P, 20,0 kg K. Porasty boli ošetrené proti burinám.

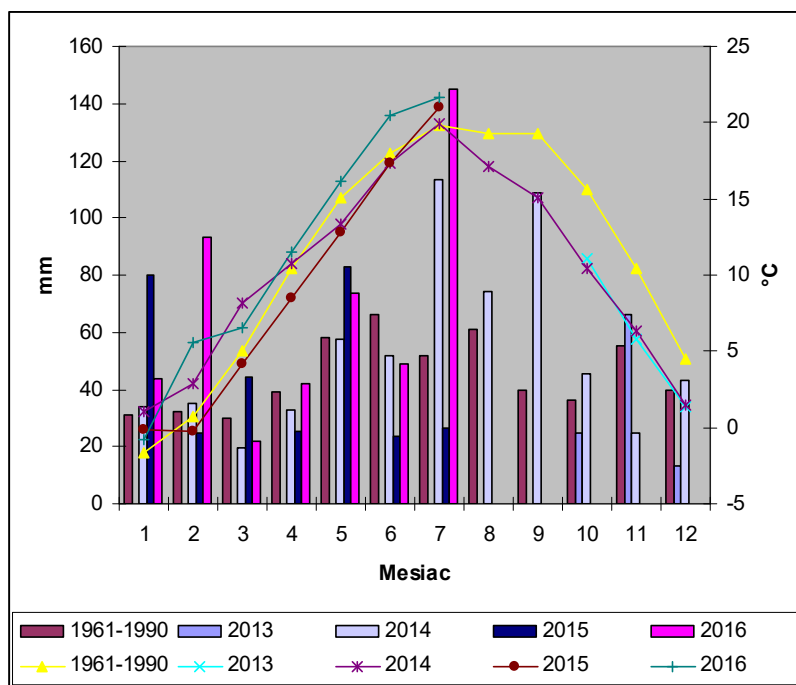
V zrne pšenice a jačmeňa bol stanovený obsah látok na prístroji Amatsek. Získané výsledky boli vyhodnotené štatistickým softwarom Statgraphics Plus. Pre vyhodnotenie významnosti jednotlivých faktorov na sledované parametre bola použitá viacfaktorová analýza rozptylu (ANOVA). Rozdiely medzi variantmi boli posúdené Tukey testom s minimálnou hladinou významnosti  $\alpha = 0.05$  a  $\alpha = 0.01$ .

Cieľom pokusu bolo zistiť vplyv spôsobov obrábania pôdy a variantov hnojenia na úrodu a kvalitu zrna pšenice letnej formy ozimnej a jačmeňa siateho jarného.

## VÝSLEDKY A DISKUSIA

Produkčný proces poľných je cieľavedome realizovaný výrobný systém, pri ktorom sa využívajú podmienky vonkajšieho prostredia pri racionálnej a ekologicky únosnej technológií

pestovania cez vyššie produkčné potenciály odrôd s toleranciou voči nepriaznivým a meniacim sa faktorom prostredia /8/.



Graf 1: Teplotné a vlahové podmienky v rokoch 2014 – 2016 a dlhodobý normál 1961 - 1990

Rozhodujúcimi faktormi v produkčnom procese je množstvo vody a teplota v kritických obdobiah rastu. Pri obilninách je to obdobie klíčenia a vzchádzania, aby sa založil kompletnejší porast, ale oveľa dôležitejším je obdobie kvitnutia a naliievania zŕn, od čoho závisí hmotnosť zŕn.

Zimné obdobie na prelome rokov 2013/2014 sa vyznačovalo teplým až mimoriadne teplým počasím s výnimkou suchého marca. Priebeh poveternostných podmienok dokumentuje Graf 1. Úhrn zrážok za obdobie január – jún zodpovedal dlhodobému normálu, čo sa priaznivo prejavilo na úrode zrna pšenice, ktorá bola z hodnotených ročníkov najvyššia ( $7,17 \text{ t.ha}^{-1}$ ). Vysokými hodnotami sa vyznačovala aj HTZ (52,20 g) a vysoký bol aj obsah bielkovín v zrne (13,11 %). Preukazne najnižšia úroda zrna pšenice ( $5,46 \text{ t.ha}^{-1}$ ) bola v roku 2015, ktorý sa vyznačoval veľmi teplými a suchými podmienkami v jarných mesiacoch (tab. 1). Zodpovedala tomu aj najnižšia HTZ (48,31 g). Obsah bielkovín v zrne bol oproti roku 2014 nižší o 0,18 %. V roku 2016 boli podmienky podobné, okrem mesiaca máj, ktorý bol teplotne normálny a vlhký. Zrážky prekročili normálne hodnoty o 33,6 %. Oproti roku 2015 sa úroda zvýšila o  $0,33 \text{ t.ha}^{-1}$  a HTZ s hodnotou 52,56 g. bola vyššia ako v roku 2014. V zrne s vyššou HTZ, sa znížil obsah bielkovín v zrne na 12,00 %, čo spôsobil veľmi teplý a suchý jún.

Obsah bielkovín, ako aj HTZ, sú vo veľkej miere ovplyvnené prostredím a konkrétnymi podmienkami /4, 7, 16/.

Obiliny vo všeobecnosti patria medzi plodiny, ktoré majú dobré schopnosti využívať na tvorbu úrody agrometeorologické faktory prostredia. Vzhľadom k zložitým vzťahom medzi množstvom vody v rastline a v okolitej prostredí, vrátane pôdy, nie je možné zaviesť jednoduché kritérium, podľa ktorého by bolo možné objektívne hodnotiť ako veľkému stresu z nedostatku vody je rastlina vystavená /12/.

Z výsledkov vyplýva, že ročník pôsobil vysokopreukazne na úrodu zrna pšenice a s tým súvisiacu aj HTZ a kvalitu zrna, ktorá je hodnotená vo forme obsahu bielkovín. Tie majú

výrazný vplyv na ďalšie ukazovatele kvality zrna, ako je lepok, Zelenyho test a pádové číslo, ktoré sú rozhodujúce pre využívanie zrna pšenice na potravinárske účely. Potvrdili sa poznatky, že teplotné a vlahové podmienky v mesiaci máj, sú pre úrodu zrna rozhodujúce.

*Tab. 1: Úroda zrna pšenice letnej f. ozimnej, HTZ a obsah bielkovín v rokoch 2014 - 2016*

Faktor		Úroda (t.ha <sup>-1</sup> )	HTZ (g)	Bielkoviny (%)
Rok	2014	7,17c	52,20b	13,11b
	2015	5,46a	48,31a	12,93b
	2016	5,79b	52,56b	12,00a
Obrábanie	K	6,10a	50,66a	12,73a
	M	6,18a	51,45a	12,63a
Hnojenie	H1	5,01a	51,05ab	12,35a
	H2	6,62b	50,42a	12,84b
	H3	6,79b	51,71b	12,86b

*Rok a hnojenie: P 0,05=0,3248; P 0,01=0,4156; obrábanie pôdy: P 0,05=0,2195; P 0,01=0,2961*

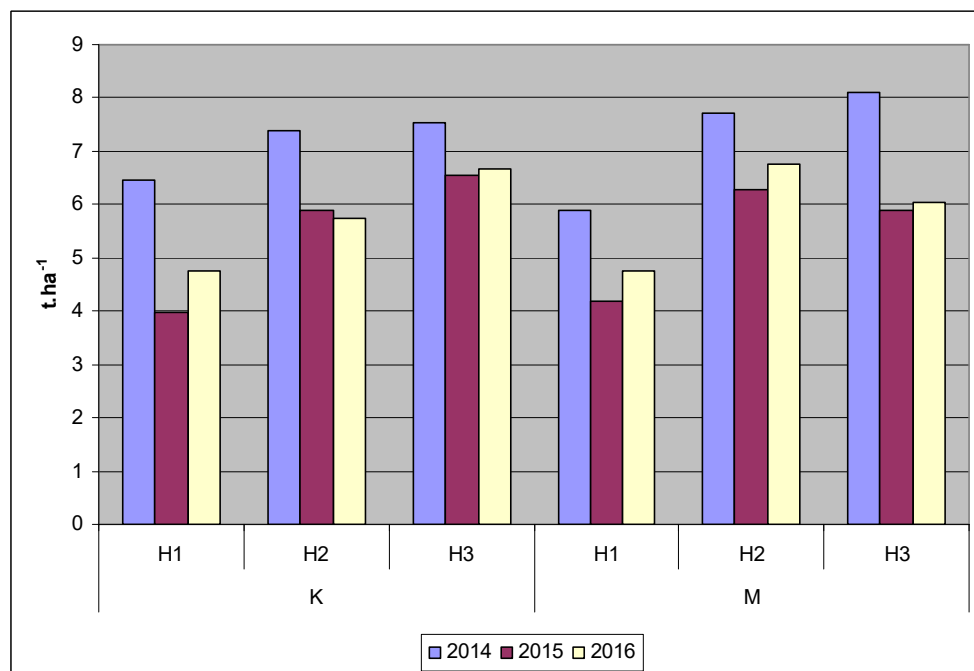
*HTZ: rok a hnojenie: P 0,05=1,0136; P 0,01=1,2970; obrábanie pôdy: P 0,05=0,6850; P 0,01=1,9240*

*Bielkoviny: rok a hnojenie: P 0,05=0,3222; P 0,01=0,4123 obrábanie pôdy: P 0,05=0,2177; P 0,01=0,2937*

Pre zabezpečenie vysokej a kvalitnej úrody zrna obilních musia mať rastliny k dispozícii potrebné množstvo živín. Po zbere predplodiny boli z vrstvy pôdy 0 – 0,3 m odobraté vzorky pôdy pre potreby určenia dávok priemyselných hnojív. Obsah prístupného fosforu podľa Mehlicha III bol vyhovujúci až dobrý, obsah draslíka dobrý až vysoký a obsah horčíka dobrý až veľmi vysoký. Pôdná reakcia bola slabo kyslá až neutrálna. Na pšenicu bola použitá regeneračná dávka dusíka vo forme LAV v množstve 30 kg.ha<sup>-1</sup> čistých živín vo variantoch H2 a H3. Jačmeň siaty jarný bol prihnojený LAV v dávke 30 kg.ha<sup>-1</sup> čistých živín dusíka vo variantoch H2 a H3 na konci odnožovania. Vplyv variantov hnojenia a spôsobov obrábania pôdy na úrodu zrna pšenice letnej znázorňuje Graf 2.

Aplikovanie priemyselných hnojív vo variante H2, spolu s pozberovými zvyškami vo variante H3, pôsobili na úrodu zrna pšenice a na obsah bielkovín vysokopreukazne. Vyššie hodnoty boli na variante H3. Podobne pôsobil variant H3 aj na HTZ, ale najnižšia HTZ (50,42 g) bola vo variante H2 po aplikácii priemyselných hnojív. Bolo to spôsobené menšou využiteľnosťou živín v dôsledku nedostatku vlahy.

Jačmeň siaty jarný má kratšie vegetačné obdobie a citlivejšie reaguje na podmienky pestovania. Pre lepšie porovnanie sme zvolili na hodnotenie rovnaké parametre. Priaznivé teplotné a vlahové podmienky v roku 2014 pôsobili aj na jačmeň pozitívne. Úroda zrna bola v tomto roku preukazne najvyššia (6,98 t.ha<sup>-1</sup>). Vplyvom teplého júna a júla poklesla HTZ na 42,03 g a bola vysokopreukazne najnižšia v porovnaní s rokmi 2015 (48,21 g) a 2016 (48,15 g). Obsah bielkovín v zrne jačmeňa sa v roku 2014 udržal na priaznivej úrovni (11,08 %). Najvyšší obsah bielkovín v zrne jačmeňa bol v roku 2015, až na úrovni 12,45 %, čím zrno nespĺňalo kritériá na výrobu sladu (Tab. 2). Priaznivejší obsah bielkovín v zrne jačmeňa bol v roku 2016 (11,20 %) aj keď mierne prevýšil požiadavky podľa STN (11,00 %).



Graf 2: Úroda zrna pšenice letnej f. ozimnej v rokoch 2014 – 2016 podľa variantov hnojenia (H, H2, H3) a spôsobov obrábania pôdy (O1, O2)

Tab. 2: Úroda zrna jačmeňa siateho jarného, HTZ a obsah bielkovín v rokoch 2014 – 2016

Faktor		Úroda (t.ha⁻¹)	HTZ (g)	Bielkoviny (%)
Rok	2014	6,98b	42,03a	11,08a
	2015	4,26a	48,21b	12,45b
	2016	4,06a	48,15b	11,20a
Obrábanie	K	4,48a	46,28a	11,63a
	M	5,06b	45,98a	11,52a
Hnojenie	H1	4,47a	46,42a	11,48a
	H2	4,84b	46,00a	11,43a
	H3	5,00b	45,97a	11,81a

Úroda: rok a hnojenie:  $P_{0,05}=0,2572$ ;  $P_{0,01}=0,3292$  obrábanie pôdy:  $P_{0,05}=0,1738$ ;  $P_{0,01}=0,2345$ ; HTZ: rok a hnojenie:  $P_{0,05}=1,3566$ ;  $P_{0,01}=1,7359$ ; obrábanie pôdy:  $P_{0,05}=0,9167$ ;  $P_{0,01}=1,2367$ ; Bielkoviny: rok a hnojenie:  $P_{0,05}=0,3441$ ;  $P_{0,01}=0,4403$  obrábanie pôdy:  $P_{0,05}=0,2325$ ;  $P_{0,01}=0,3441$

Vysokopreukazné rozdiely, v dôsledku použitých variantov hnojenia v hodnotenom období, vznikli pri úrode zrna. Najvyššia úroda zrna jačmeňa bola vo variante H3 ( $5,00 \text{ t.ha}^{-1}$ ) a vo variante H2 ( $4,84 \text{ t.ha}^{-1}$ ). Dusík sa z pozberových zvyškov bôbovitych uvoľňuje postupne a k dispozícii je v období tvorby zrna /5/. Predplodinou pšenice bola ďatelina lúčna. Preukazne najnižšia úroda zrna bola na nehnojenom variante ( $4,47 \text{ t.ha}^{-1}$ ).

Na hodnotách HTZ a obsahu bielkovín sa varianty hnojenia neprejavili. Priemyselné hnojivá boli aplikované v pevnej forme a prevládajúce teplé a suché počasia, v skúmaných ročníkoch počas jarných mesiacov, neumožnilo efektívne využitie živín rastlinami (tab. 2).

Pri pestovaní poľných plodín je dôležitá aj kvalitná príprava pôdy. V súčasnosti sa pri pestovaní obilnín uprednostňuje minimalizačný spôsob obrábania pôdy, hlavne z dôvodu šetrenia finančných nákladov. Racionalizáciu dodatkových vkladov do výrobného procesu v súvislosti s obrábaním pôdy uvádzajú aj /9, 15/. Nami zvolené a porovnané dva spôsoby

obrábania pôdy, konvenčný s orbou a minimalizačný bez orby, sa na skúmaných výsledkoch pšenice neprejavili. Rozdiely v úrode zrna, HTZ a v obsahu bielkovín v zrne boli štatisticky nepreukazné. Mierne vyššia úroda zrna ( $6,18 \text{ t.ha}^{-1}$ ) bola zistená po minimalizačnom obrábaní pôdy v porovnaní s konvenčným spôsobom ( $6,10 \text{ t.ha}^{-1}$ ).

Pri jačmeni siatom jarnom vznikol štatisticky preukazný rozdiel v úrode zrna medzi spôsobmi obrábania pôdy v prospech minimalizačnej prípravy ( $5,06 \text{ t.ha}^{-1}$ ) s rozdielom  $+0,58 \text{ t.ha}^{-1}$  oproti konvenčnej. Podobné výsledky po tanierovaní zistili aj autori /1, 11/. Na hmotnosti tisíc zrn ani na obsahu bielkovín sa spôsob obrábania pôdy neprejavil.

*Tab. 3: Smerodajné odchýlky vo vybratých faktoroch obilníň*

Ukazovateľ	Pšenica letná f. ozimná			Jačmeň siaty jarný		
	Rok	Obrábanie pôdy	Varianty hnojenia	Rok	Obrábanie pôdy	Varianty hnojenia
Úroda ( $\text{t.ha}^{-1}$ )	$\pm 2,32$	$\pm 1,28$	$\pm 2,32$	$\pm 1,72$	$\pm 1,88$	$\pm 1,23$
HTZ (g)	$\pm 24,71$	$\pm 24,96$	$\pm 24,71$	$\pm 22,33$	$\pm 7,01$	$\pm 22,33$
Bielkoviny (%)	$\pm 5,42$	$\pm 5,65$	$\pm 5,42$	$\pm 4,88$	$\pm 5,11$	$\pm 4,88$

Zo smerodajných odchýlok vyplýva, že na podmienky ročníka a varianty hnojenia výraznejšie reagovala úrodou zrna pšenica letná f. ozimná ako jačmeň siaty jarný. V porovnaní s jačmeňom siatym jarným, väčšia smerodajná odchýlka bola pri pšenici v obsahu bielkovín v závislosti od podmienok ročníka. Jačmeň siaty jarný najmenej reagoval na spôsoby obrábania pôdy pri HTZ (Tab. 3).

## LITERATÚRA

- /1/ Cadráková, E., Hanáčková, E., Žembery, J., Illéš, L., Ondrišík, P., Urminská, J.: Pestovanie poľných plodín vo využívanom osevnom postupe. Vedecká monografia. Slovenská poľnohospodárska univerzita v Nitre, 2015: 145 s.
- /2/ Carson, G. R., Edwards, N. M.: Criteria of wheat and flour quality. In: Khan, K. – Shewrz, P. R. (Eds.), Wheat: Chemistry and Technology, fourth ed. AACC International, Inc, St. Paul, MN, USA, 2009: 97-118.
- /3/ Fecenko, J., Ložek, O.: Výživa a hnojenie poľných plodín. Nitra : SPU a Duslo, a.s., Šala, 2000: 442 s, ISBN 80-7137-777-5.
- /4/ Hanáčková, E., Cadráková, E.: Možnosti uplatnenia pestovateľských systémov jačmeňa siateho jarného v udržateľnom poľnohospodárstve. 1. vyd. Nitra : Slovenská poľnohospodárska univerzita, 2013: 119 s. ISBN 978-80-552-1133-6
- /5/ Hřivna, L.: Výživa a hnojení porostu pšenice ozimej a kvalita produkce. Družstvo vlastníku odrůd : Šlechtitelské listy, Podzim 2012. Dostupné z: [http://www.druvod.cz/files/aktuality/vyziva\\_a\\_hnojeni\\_porostu\\_psenice\\_ozimej\\_a\\_kvalita\\_produkce.pdf](http://www.druvod.cz/files/aktuality/vyziva_a_hnojeni_porostu_psenice_ozimej_a_kvalita_produkce.pdf), 2012
- /6/ Jamborová, M.: Obilníny. Situačná a výhľadová správa k 31. 12. 2015. NPPC-VÚEPP, 2016
- /7/ Kong, L., Si, J., Zhang, B., Feng, B., Li, S., Wang, F.: Environmental modification of winter wheat grain protein accumulation and associated processing quality a case study of China. Aust. J. Crop Sci. 7, 2013: 173-181.
- /8/ Kostrej, A. et al.: Ekofyziológia produkčného procesu porastu a plodín. SPU v Nitre. 1998: 187 s. ISBN 80-7137-528-4
- /9/ Kováč, K., Macák, M.: The influence of forecrop, cultivation intensity of wetter condition on the yield of winter wheat and yield components. Scientia Agriculture Bohemica, 1, 2004: 12-20.
- /10/ Muchová, Z. 2001. Faktory ovplyvňujúce technologickú kvalitu pšenice a jej potravinárske využitie. Nitra, SPU, 2001, 112 s. ISBN 80-7137-923-9
- /11/ Ānaršanská, M., Galuščáková, L., Ondrišík, P., Porhajašová, J., Urminská, J.: Analýza vplyvu pestovateľských zásahov na zmeny anorganického dusíka v pôde pri pestovaní jačmeňa siateho f. jarnej (*Hordeum vulgare*). In Agrochémia, roč. XIII. (49), č. 1/2009, 2009: 11-15.
- /12/ Procházka, S. et al.: Fyziologie rostlin. Praha : Academia, 1998: 484 s.
- /13/ Smith, G. P., Gooding: Models of wheat grain quality considering climate, cultivar and nitrogen effects.in: Agr. For. Meteorol. 94, 1999: 159-170.

- /14/ Tobiášová, E., Šimanský, V.: Kvantifikácia pôdnych vlastností a ich vzájomných vzťahov ovplyvnených antropickou činnosťou. 1. wydanie. Nitra: SPU., 2009: 114. ISBN 978-80-552-0196-2
- /15/ Vavera, R.: Ovlivnení kvalitatívnych parametrov zrna ozimé pšenice. In Agrotechnika, 13, 7, 2007: 12- 14.
- /16/ Yong, Z., Zhonghu, H., YE, G., Aimin, Z., Van Ginkel, M.: Effect of environment and genotype on breadmaking quality of spring.sown spring wheat cultivars in China. Euphytica , 139, 2004: 75-83

### **Poděkovanie**

Práca vznikla za finančnej podpory projektu VEGA: 1/0359/14 Racionalizácia pestovateľských systémov hlavných druhov polných plodín vo vzťahu k výslednej produkcií a jej kvalite. Doba riešenia: 01/2014-12/ 2016.

## VÝROBA KVALITNÍ PÍCE V PODMÍNKÁCH SUCHA. JAKÉ MÁME MOŽNOSTI?

### ***PRODUCTION OF HIGH QUALITY FORAGE IN DRY CONDITIONS. WHAT ARE OUR OPTIONS?***

Jaroslav Lang

Zemědělský výzkum, spol. s r.o., Troubsko, Zahradní 1, 664 41 Troubsko, lang@vupt.cz

#### ***Summary***

The work was focused on the yield and quality of forage crops on arable land in dry condition. Meta-analysis of these data was performed in this paper. It was found, that for dry conditions alfalfa and alfalfa-grass mixtures are the best. Grasses have high demand for water, but there are some species, like Felina hybrid and orchardgrass, that require less water and are suitable for mixtures for dry conditions. Alone grasses, red clover and clover-grass mixtures are not suitable for dry conditions. Maize tolerates the short term droughts, but long-term droughts decrease yield and forage quality.

*Key words:* drought, alfalfa, red clover, orchardgrass, Felina, yield, forage quality

#### ***Souhrn***

V článku byla provedena metaanalýza dat se zaměřením na produkci pícnin na orné půdě v podmínkách sucha. Bylo zjištěno, že do takových podmínek je vhodná vojtěška a vojtěškotravní směsi. Samotné trávy, jetel luční a jetelotravní směsi jsou do podmínek sucha nevhodné. Travní komponent do směsi je potřeba volit velmi opatrně s ohledem na vyšší potřebu vody. Vhodné travní druhy do směsi jsou hybrid Felina a pozdní odrůdy srhy laločnaté. Silážní kukuřice snáší střednědobé příšušky, dlouhodobé sucho snižuje výnosy a kvalitu krmiva.

*Klíčová slova:* sucho, vojtěška, jetel, srha, Felina, výnos, kvalita píce

## ÚVOD

Základem krmné dávky býložravých hospodářských zvířat jsou jaderná a objemná krmiva. Mezi jaderná krmiva patří například obiloviny, luštěniny olejniny a vyznačují se vysokou koncentrací energie na jednotku sušiny. Mezi objemná krmiva patří jeteloviny a trávy, buď v čerstvém, nebo konzervovaném stavu. Objemná krmiva jsou zdrojem mnoha živin využitelných přímo skotem a zajišťují především proces správného přežvykování mechanickým drážděním stébel v bachoru. Vyznačují se nižším obsahem energie v jednotce sušiny a jsou důležité pro svůj obsah stravitelné (celulóza, hemicelulóza) i nestavitelné vlákniny (ligninu). Pro přežvýkavce i pro býložravá monogastrická zvířata představuje vláknina významný zdroj energie, protože početné mikroorganismy, které se u nich nacházejí v předžaludku nebo ve slepém a tlustém střevě, dokáží složky vlákniny účinně štěpit. Ustálená rovnováha mikroorganismů je důležitá pro správnou činnost trávícího traktu a nedostatek objemných pícnin v krmných dávkách vede k fyziologickým poruchám a k onemocnění zvířat. U mladých pícních porostů obvykle převažuje stravitelná vláknina (důležitá je hemicelulóza, která je prekurzorem mléčného tuku a ovlivňuje kvalitu mléka), se stárnutím rostlin se poměr mění ve prospěch vlákniny nestavitelné. Zvláštní postavení má silážní kukuřice, která je ceněna pro svoji vysokou energetickou hodnotu, obsah vláknin a

pro vysoké hektarové výnosy. Kukuřičná siláž nemůže nahradit klasickou objemnou pícninu s vysokým obsahem vlákniny, protože obsahuje vysoké množství rychle degradovatelného škrobu, který u přežvýkavců, ve vyšších dávkách, vyvolává acidózy. Zatímco s výrobou jadrných krmiv v suchých letech, nebo v letních příslušcích nebývá velký problém, s výrobou objemných krmiv je situace horší. Pícní trávy a jetele jsou náročné na přísun vody a při jejím nedostatku se podstatným způsobem snižuje výnos hmoty. Rostliny dříve stárnou a sklizená píce bývá vlivem nárůstu nestravitelné vlákniny a poklesu nutričních látek (cukry, dusíkaté látky) nekvalitní /4/. V suchých letech klesají výnosy a kvalita i u vojtěšky seté /2/, která se běžně používá do suchých oblastí. Při výrobě objemné píce se s výhodou používají jetelovinotrvaní směsi, které usnadňují procesy konzervace a jsou pro zvířata zdrojem jak dusíkatých látek z jetelovin, tak zdrojem cukrů z trav. Směsi jsou při teplotních a vláhových výkyvech stabilnější tím, že travní komponent zajistí výnos v chladnějších obdobích zejména na jaře a vojtěška zajistí výnos v teplých obdobích většinou s nedostatkem vody, kdy dochází k utlumení růstu pícných trav /3/. Také snižují riziko nízkých výnosů tím, že jsou troj až čtyřsečné a případný nízký výnos u nosné první sklizně, může být doplněn ze sklizní následných, což není možné u plodin jednosečných.

## MATERIÁL A METODA

V této publikaci je provedena metaanalýza dat z vědeckých článků zabývající se produkcí a kvalitou jednoletých a víceletých pícnin pěstovaných na orné půdě v podmírkách sucha na lokalitě Troubsko. Lokalita Troubsko patří do řepařské výrobní oblasti, s nadmořskou výškou 270 m, průměrnou roční teplotou 8,6 °C, ve vegetaci (duben – září) 14,8 °C. Roční suma srážek činí 547 mm, ve vegetaci 346 mm. Teplotní a srážkové hodnocení bylo provedeno podle doporučení WMO pro popis klimatologických podmínek /5/.

## VÝSLEDKY A DISKUSE

Článek publikovaný v roce 2011 se zabývá výnosem a kvalitou dvou travních hybridů Felina (festucoidní hybrid) a Perseus (loloidní hybrid), pěstovaných na orné půdě, ve dvou systémech aplikace a třemi úrovněmi dávek dusíkatých hnojiv. Přestože se článek přímo nezabývá výnosy hybridů v návaznosti na agroekologické podmínky, lze po doplnění klimatického hodnocení lokality zjistit reakce hybridů ve výnosech na sucho. Výnos sušiny, vypočtený jako průměr pokusných variant bez ohledu na systémy hnojení a dávky dusíku (rozdíly v systému hnojení a v dávkách dusíku mezi hybridy nebyly statisticky průkazné) v 1. užitkovém roce (2008) byl u hybridu Felina 12,84 t.ha<sup>-1</sup>, u hybridu Perseus 12,26 t.ha<sup>-1</sup>. Ve výnosech mezi hybridy nebyl zjištěn statistický rozdíl.

Tento půlrok byl ve vegetaci (duben – září) hodnocený jako silně teplý a srážkově normální v téměř všech hodnocených měsících, s výjimkou dubna, který byl silně vlnhký. Oba hybridy byly v tomto roce nadprůměrně výnosné a z výsledků je patrné, že vyšší teplota s dostatkem hlavně jarních srážek oběma hybridům svědčí. Ve druhém užitkovém roce (2009) výnos u obou hybridů výrazně klesl, u hybridu Felina byl 7,03 t.ha<sup>-1</sup> a u hybridu Perseus 4,48 t.ha<sup>-1</sup>. Rozdíl ve výnosech hybridů je průkazný.

Tento vegetační půlrok byl hodnocen jako mimořádně teplý a srážkově normální. Jestliže se ale zaměříme na hodnocení jednotlivých měsíců, zjistíme, že měsíc duben byl mimořádně teplý a mimořádně suchý, napršelo 11 % srážkového normálu. Špatné podmínky na začátku vegetace se odrazily v nízkém výnosu v první sklizni. Další měsíce byly teplotně i srážkově místy nadprůměrné a druhá sklizeň ve výšce výnosu nahradila sklizeň první. V měsících srpnu a září spadlo zhruba 40 % srážkového normálu, což se opět za spolupůsobení teplot odrazilo ve špatném výnosu třetí sklizně. Podobné závěry lze vycítit i z druhého cyklu pokusu sklízeného v letech 2009 a 2010, zejména z prvního užitkového roku 2009 /6/ neboť rok 2010 byl ve vegetaci silně vlnhký.

Z těchto závěrů vyplývá, že festucoidní hybrid je do suchých poloh vhodnější, protože se dokáže lépe vyrovnat s nedostatkem vody než hybrid loloidní. Tyto závěry podporují doporučení šlechtitelské firmy, že hybrid Felina je vhodný do sušších a teplých poloh /1/. Jiná práce z této lokality se zabývá zkoušením srhy laločnaté a je také zaměřena na výnosy v podmínkách sucha. Jako kontrola byl zvolen hybrid Felina.

Pokusy byly založeny v roce 2011 a zkoušené trávy byly pěstovány samostatně a ve směsích s vojtěškou nebo jetelem. Rok 2012 byl prvním rokem sklizňovým. Jarní měsíce v tomto roce byly mimořádně až silně suché, letní měsíce teplé, až silně teplé. Průběh počasí ovlivnil výnos a z výsledků vyplývá, že je vhodné v takových klimatických podmínkách pěstovat buď samostatnou vojtěšku s celkovým výnosem  $9,33 \text{ t.ha}^{-1}$  nebo vojtěškotravní směsi s výnosem  $8,19 - 9,33 \text{ t.ha}^{-1}$ . Jetel luční dal výnos  $3,44 \text{ t.ha}^{-1}$ , směsi jetele s travami  $3,55 - 4,72 \text{ t.ha}^{-1}$ . Srha laločnatá poskytla výnos  $1,25 \text{ t.ha}^{-1}$  a hybrid Felina  $1,11 \text{ t.ha}^{-1}$ .

Ze závěru je jasné, že samostatné trávy, jetel luční a jeho směsi s travami nejsou do suchých podmínek vhodné, protože mají nízký hospodářský výnos. Pro srovnání jsou zde uvedeny výnosy vojtěšky a vojtěškotravných směsí se stejněho pokusu z roku 2013, který byl teplotně normální, a s výjimkou mimořádně suchého července byly vegetační měsíce vlhké.

Celkový výnos vojtěšky byl  $18,60 \text{ t.ha}^{-1}$ , výnos vojtěškotravných směsí byl v průměru  $17 \text{ t.ha}^{-1}$ . Výnos jetele byl  $8,59 \text{ t.ha}^{-1}$ , výnos jetelotrváčích směsí v různém zastoupení komponent se pohyboval od  $7,95 - 9,11 \text{ t.ha}^{-1}$ . To jsou běžné výnosy v normálních letech, ale zařazením jetelotrváčích směsí do osevních postupů nelze riskovat nízké výnosy v letech suchých /9/.

O rapidním snížení výnosů sortimentu jetelů lučních v suchém roce 2012 podrobne podávají zprávu i jiní autoři ve své práci z výsledků pokusů na troubské lokalitě /13/. Další výsledky z výše uvedeného pokusu, které hodnotí konkurenceschopnost trav a zastoupení jednotlivých komponent ve směsích s vojtěškou nebo jetelem v návaznosti na sucho uvádí, že srha laločnatá je, podobně jako hybrid Felina, vhodná do vojtěškotravných směsí v suchých lokalitách /7/.

Z jiné publikace, která se zabývá hodnocením vytrvalosti směsí a jednotlivých komponent v tomto pokusu je patrné, že jetel luční, vlivem nedostatku vody, z porostu mizí a do směsí s travami do suchých lokalit nepatří. Vojtěškotravy v suchých oblastech, pokud nejsou pravidelně přihnojovány základními živinami (NPK), je vhodné je pěstovat na jednom stanovišti maximálně po tři užitkové roky. Potom dochází k zaplevelení a úbytku na výnosech /10/. Další výsledky tohoto pokusu doplňují nevhodnost jetelotrváčích směsí do suchých oblastí na základě kvality sklizené píce. Jetel luční, vlivem nedostatku vody dříve stárne a nevhodně zvyšuje podíl vlákniny ve sklizené píci. Ten může navíc zvyšovat i hybrid Felina svým přirozeně zvýšeným obsahem vlákniny.

Zhoršená kvalita píce se projevila na parametru NEL (netto energie laktace) [ $\text{MJ.kg}^{-1}$ ], kdy došlo k průkaznému snížení obsahu energie u jetelotrváčích směsí /11/. Na rozdílné klimatické podmínky svými výnosy a kvalitou píce zásadním způsobem reagují i hybrydy silážních kukuřic. Z prvních výsledků z pokusů v roce 2012 na lokalitě Troubsko, kde bylo hodnoceno 22 hybridů kukuřic, je vidět propad ve výnosech. Autoři uvádějí, že se jedná, vlivem mimořádně až silně suchých a teplých jarních měsíců, o nejnižší výnosy za posledních deset let. Průměrný výnos řezanky všech hybridů byl  $13,21 \text{ t.ha}^{-1}$  při jednotné sušině  $\pm 32\%$ . Srážkově normální (ale silně teplé) letní měsíce již nedokázaly vyrovnat způsobené ztráty v produkci nadzemní biomasy.

Identické pokusy byly založeny na lokalitě Praha – Uhříněves s normálním srážkovým úhrnem a s teplým průběhem jarních i letních měsíců. Průměrný výnos řezanky všech hybridů byl  $25,66 \text{ t.ha}^{-1}$  při uvedené sušině. Kvalita řezanky v důležitých parametrech (obsah cukru, škrobu a stravitelnost neutrálně detergentní vlákniny) je na troubské lokalitě horší než v Praze, což se prakticky projeví u dojnic na produkci mléka. Při příjmu 10 kg sušiny takovéto

řezanky dojde k poklesu produkce mléka o 1 l /8/. V jiném zdroji autoři uvádějí, že na lokalitě v Praze – Uhříněvsi jsou výnosy rekordní a je patrné, že mírně nadnormální teploty s dostatkem srážek kukuřici svědčí.

Rok 2013 byl na lokalitě Troubsko ve srovnání s rokem 2012 srážkově i teplotně vyrovnanější, kromě měsíce července, který byl silně teplý a mimořádně suchý. S tímto výkyvem se dokázaly hybrydy vyrovnat a průměrné výnosy byly na obou lokalitách srovnatelné na úrovni 19 t.ha<sup>-1</sup> sušiny i přesto, že na lokalitě Praha spadlo od května do srpna o 124,6 mm více dešťových srážek než na lokalitě Troubsko /12/.

V roce 2014 měl průběh počasí na troubské lokalitě velmi kolísavý charakter a výnosy jednotlivých hybridů se od sebe výrazně lišily. Výnosy sušiny se pohybovaly v intervalu od 17,1 do 23,0 t.ha<sup>-1</sup>. Úspěch ve výnosu silážních kukuřic v nevyrovnaných klimatických podmírkách závisí na dobré volbě hybryda. Vzhledem ke značnému množství měnících se hybridů na trhu s osivy je pěstitel odkázán na znalost a doporučení osivářů, popřípadě na své zkušenosti.

## ZÁVĚR

Objemné pícniny jsou nezastupitelné ve výživě skotu, protože výrazným způsobem ovlivňují proces trávení a kvalitu mléka. Sucho ale výrobu kvalitní objemné píce komplikuje, protože ne každá jetelovina a pícní tráva snáší nepříznivé podmínky. Do suchých oblastí je vhodná z bílkovinných pícnin vojtěška. Samotná se ale těžko senážuje, protože obsahuje vysoké množství dusíkatých látek, které proces konzervace brzdí. Navíc po pokosení pomalu zavadá a dochází ke ztrátám živin prodýcháním. Proto je vhodné přidat do porostu vojtěšky travní komponent. Pícní trávy jsou náročné na přísun vody, ale přesto se v nabídce osivářských firem najdou druhy, které jsou schopny se lépe vyrovnat s nedostatkem vody. Jedná se například o kostřavovitý hybrid Felina, nebo o srhu laločnatou. Srha je ranějšího charakteru a proto je potřeba do směsi s vojtěškou využít pozdní odrůdy, aby se fáze optimální pro sklizeň obou komponent setkaly v jednom čase a dosáhlo se kvalitní píce. V suchých obdobích má vojtěška na trávu synergický účinek projevující se tak, že hustý porost vojtěšky zadržuje vyšší vlhkost, čehož dokáže využít travní komponent a dosahuje vyšších výnosů, než samostatně rostoucí. Výnosy vojtěškotravných směsí jsou v období sucha nižší, stále však hospodářsky významné. Jetel, ani jetelotravní směsi do sucha nepatří, protože nedávají dobré výnosy a jetel vlivem sucha z porostu rychle mizí. Víceleté pícniny na orné půdě jsou víceročné, což může zvyšovat ekonomické náklady na sklizně, ale zároveň mohou snížit riziko nízkého výnosu jako je tomu u jednosečných pícnin, kam patří například silážní kukuřice. Ta poměrně dobře snáší přísušky a do suchých oblastí může být vhodná. Je citlivá na dlouhodobější nedostatek vody hlavně v období dlouživého růstu do kvetení lat. Vhodnost je dána výběrem správného hybryda, protože ne každý hybrid poskytne v suchých podmírkách dobrý výnos a kvalitní krmivo. Kukuřice je důležitou energetickou složkou krmných dávek, ale nemůže nahradit klasické objemné pícniny s dostatkem obsahu vlákniny.

## LITERATURA

- /1/ DLF Hladké Životice: Naše odrůdy [on-line] 2013. [cit. 2013-09-05]. Dostupné z: <[http://www.dlf.cz/upload/fl\\_-\\_felina.pdf](http://www.dlf.cz/upload/fl_-_felina.pdf)>
- /2/ Hakl, J., Fuksa, P., Konečná, J., Pacek, L., Tlustoš, P.: Effect of applied cultivation technology and environmental conditions on lucerne farm yield in the Central Europe. Plant, Soil and Environment Vol. 60, 2014, No. 10: 475–480. ISSN 1214-1178.
- /3/ Houdek, I.: Jak nejlevněji vyrobit kvalitní píci pro dojnice ke konzervaci. Náš chov 3, 2009, str. 54, 55. Praha: ProfiPress, 2009.
- /4/ Kohoutek A., Komárek P., Nerušil P., Odstrčilová V., Němcová P.: Kvalita píce trav, jetelovin a jetelovinotravných směsek z obnovených TTP v letech 2009–2010. In: Kvalita píce z travních porostů a

- chov skotu. Sborník z celostátní vědecké konference, s. 37-50. Výzkumný ústav rostlinné výroby, v.v.i., Praha 6-Ruzyně, Výzkumná stanice Jevíčko 2010. ISBN: 978-80-7427-043-7.
- /5/ Kožnarová, V., Klabzuba, J.: Doporučení WMO pro popis meteorologických, resp. Klimatologických podmínek definovaného období. Rostlinná výroba 2002: roč. 48, č. 4, s. 190 – 192.
- /6/ Lang, J., Novosádová I.: A comparison of different nitrogen application systems for intergenic grass hybrids with regard to forage production and quality. In: sborník 15th Conference on Environment and Mineral Processing & Exhibition. VSB – Technical University of Ostrava, 8.6. 2011.
- /7/ Lang, J.: Srha laločnatá v jetelovinotravných směsích. Úroda 12, 2013 vědecká příloha, s. 86-91. ISSN 0139-6013
- /8/ Lang, J., Jambor, V., Vosynková, B., Nedělník, J., Loučka, R., Třináctý, J., Kučera J., Tyrolová, Y.: Hodnocení výnosů a kvality silážních hybridů kukuřice. Zpravodaj Svazu chovatelů českého strakatého skotu 1/2013, s. 10-13. ISSN: 1214-8016.
- /9/ Lang, J.: Výnosy jetelovinotravných směsí pěstovaných na orné půdě ve srážkově rozdílných letech. Vliv abiotických a biotických stresorů na vlastnosti rostlin. Sborník mezinárodní konference pořádané Ústavem ekologie lesa Slovenskej akadémie vied, Zvolen, 10-11.9.2014, ISBN 978-800-89408-17-7
- /10/ Lang, J.: Vytrvalost jetelovinotravných směsí na orné půdě v teplotně a srážkově nevyrovnaných podmínkách Jižní Moravy. Úroda 12-2015, vědecká příloha, s. 93-98. ISSN 0139-6013.
- /11/ Lang, J.: Kvalita píce jetelovinotravných směsí na orné půdě ve srážkově rozdílných letech. In: Vliv abiotických a biotických stresorů na vlastnosti rostlin 2015. Praha, 16-17.9.2015, ISBN 978-80-813-2567-8. s. 258-261.
- /12/ Nedělník, J., Lang, J., Jambor, V., Tyrolová, Y., Třináctý, J., Kučera J.: Hybridy kukuřice a kvalita siláže. Agromanuál 11-12, s. 45-52. ISSN 1801-7673
- /13/ Pelikán, J., Knotová, D., Raab, S.: Výnosy zelené hmoty a sena českých a slovenských odrůd diploidního jetele lučního. Úroda 12, 2013 vědecká příloha. Praha 2013. s. 174-177. ISSN 0139-6013.

### Poděkování

Výsledek vznikl za podpory Ministerstva zemědělství, institucionální podpora MZE-RO1718.

## Přednášky

**ŤAŽKÉ KOVY V PŘHLÁVE DVOJDOMEJ (*URTICA DIOICA*) A  
NETÝKAVKE MALOKVETEJ (*IMPATIENS PARVIFLORA*)  
Z LOKALÍT V MALÝCH KARPATOCH ZAŤAŽENÝCH STAROU  
BANSKOU ČINNOSŤOU**

***HEAVY METALS IN COMMON NETTLE (*URTICA DIOICA*) AND SMALL BALSAM  
(*IMPATIENS PARVIFLORA*) FROM LOCATIONS IN MALÉ KARPATY MOUNTAINS  
LOADED WITH MINING ACTIVITY***

Marianna Molnárová<sup>1</sup>, Jana Ružičková<sup>1</sup>, Blanka Lehotská<sup>2</sup>, Alexandra Filová<sup>1</sup>, Agáta Fargašová<sup>1</sup>

<sup>1</sup> Univerzita Komenského v Bratislave, Prírodovedecká fakulta, Katedra environmentálnej ekológie, Mlynská dolina, Ilkovičova 6, 842 15 Bratislava 4, Slovenská republika, molnarova@fns.uniba.sk, ruzickova@fns.uniba.sk, filova32@uniba.sk, fargasova@fns.uniba.sk

<sup>2</sup> Univerzita Komenského v Bratislave, Prírodovedecká fakulta, Katedra krajinnej ekológie, Mlynská dolina, Ilkovičova 6, 842 15 Bratislava 4, Slovenská republika, lehotska@fns.uniba.sk

***Summary***

Due to the extensive mining activity in the Malé Karpaty Mts., there are old mining sites near Pernek and Pezinok, where antimony was mined in the past. Also higher content of arsenic and lead in the geological base were observed and could represent environmental hazard for biota. In this work, we studied the presence of toxic (As, Cd, Pb and Sb) and essential (Cu and Zn) metals in common nettle (*Urtica dioica*), small balsam (*Impatiens parviflora*), and respectively Indian balsam (*I. glandulifera*). These plants we harvested on the upper and lower streams of the streams of Trniansky, Stoličný and Gidra. For the increased concentrations of arsenic, antimony and lead measured in the nettle leaves, it is not appropriate to collect this plant in the Gidra basin and upper Trniansky stream for consumption or its use in traditional medicine.

*Key words:* heavy metals, old mines near Pezinok, accumulation, plants, translocation index (Ti)

***Súhrn***

V dôsledku rozsiahlej banskej činnosti v Malých Karpatoch sa v okolí Perneku a Pezinku nachádzajú staré banské diela, v ktorých sa v minulosti tăžil antimón. Tiež sa v geologickom podloží nachádza zvýšený obsah arzénu a olova a môžu predstavovať environmentálne riziko pre biotu. V práci sme študovali prítomnosť toxických (As, Cd, Pb a Sb) a esenciálnych (Cu a Zn) prvkov v pŕhlave dvojdomej (*Urtica dioica*), netýkavke malokvetej (*Impatiens parviflora*), resp. netýkavke žliazkatej (*I. glandulifera*). Tieto rastliny sme zbierali na hornom a dolnom toku potokov Trniansky, Stoličný a Gidra. Pre zistené zvýšené koncentrácie arzénu, antimónu a olova v listoch pŕhlavy nie je vhodné zbierať túto rastlinu v povodí Gidry a na hornom toku Trnianskeho potoka na konzumáciu, prípadne na jej využitie v tradičnej medicíne.

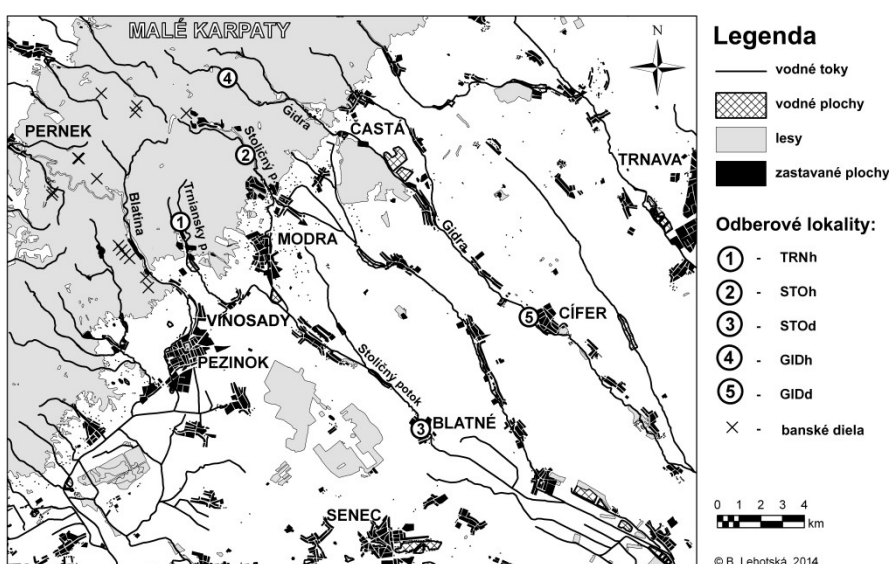
*Kľúčové slová:* tăžké kovy, staré bane pri Pezinku, akumulácia, rastliny, translokačný index (Ti)

## ÚVOD

Pezinok a Pernek sa nachádzajú v Malých Karpatoch na území so zvýšenými koncentráciami As, Cd, Sb, Pb, ako aj pre rastliny esenciálnymi prvkami – Cu a Zn, ktoré sa nachádzajú prirodzene v geologickom podloží, pôde i sedimentoch /1/. Na týchto lokalitách sú viaceré už nevyužívané banské diela (napr. Kolársky Vrch so štôlňou Sirková) /2, 3/, kde ešte pred druhou svetovou vojnou prebiehala intenzívna ťažba antimónu /4/. Uvedené banské diela preto predstavujú potenciálne environmentálne riziko pre organizmy na týchto lokalitách. Významné znečistenie arzénom a antimónom sa potvrdilo niekoľko kilometrov pozdĺž potoka Blatina (obr. 1), ktorý tečie v okolí Pezinka /4/. Z týchto prvkov práve arzén zostáva v pôde dlho (až 3000 rokov), pričom pravidelne obohacuje vrchný pôdný horizont prostredníctvom vegetácie, zrážok a pod. /5, 6/. Študovali sme tri lokality priamo v pohorí Malých Karpát (horný tok potokov Trniansky, Stoličný a Gidra) a dve lokality na ich dolných tokov blízko obcí Blatné a Cífer (obr. 1). Keďže v blízkosti prameňa Stoličného potoka je nepomenovaná štôlňa č. 8 (krížik na mape na obr. 1), predpokladáme na tejto lokalite vyššiu akumuláciu As a Sb v rastlinách.

## MATERIÁL A METÓDA

V Malých Karpatoch sme študovali lokality v blízkosti potokov Trniansky, Stoličný a Gidra (obr. 1).



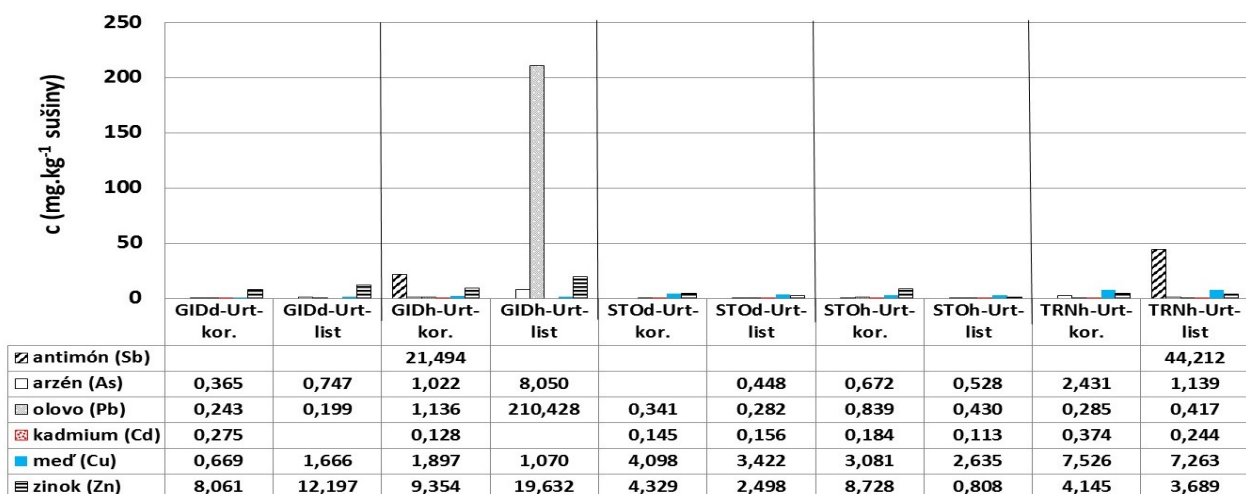
Obr. 1: Mapa odberových miest v Malých Karpatoch. Legenda: ① TRNh – horný tok Trnianskeho potoka v Kučišdorskej doline blízko Pezinka, ② STOh – horný tok Stoličného potoka pri Modre-Harmónii, ③ STOd – dolný tok Stoličného potoka pri Blatnom, ④ GIDh – horný tok Gidry pri Pile, a ⑤ GIDd – dolný tok Gidry pri Cíferi.

Trniansky potok sa za obcou Vinosady vlieva do Stoličného potoka, kde sa na jeho dolnom toku nachádza ďalšie odberové miesto (STOd). Podobne sme sledovali aj dolný tok rieky Gidry pri obci Cífer (GIDd). Z miestnej vegetácie sme v júni 2011 vybrali rastliny, ktoré sa nachádzajú na všetkých lokalitách: pŕhľava dvojdómá (*Urtica dioica* L.) a netýkavka malokvetá (*Impatiens parviflora* DC.). Na lokalite dolného toku Gidry (GIDd) sme našli iba netýkavku žliazkatú (*Impatiens glandulifera* Royle). Po zbere boli rastliny prenesené v chlade do laboratória, umyté vo vodovodnej a destilovanej vode, a po oddelení koreňov a listov usušené pri 55 °C. Minimálne 11 mg sušiny sa rozkladalo v 5 ml konc.  $\text{HNO}_3:\text{H}_2\text{O}_2$  (4:1) cez noc pri laboratórnej teplote. Na ďalší deň sa vzorka v autoklávoch ZA-1 (Česká

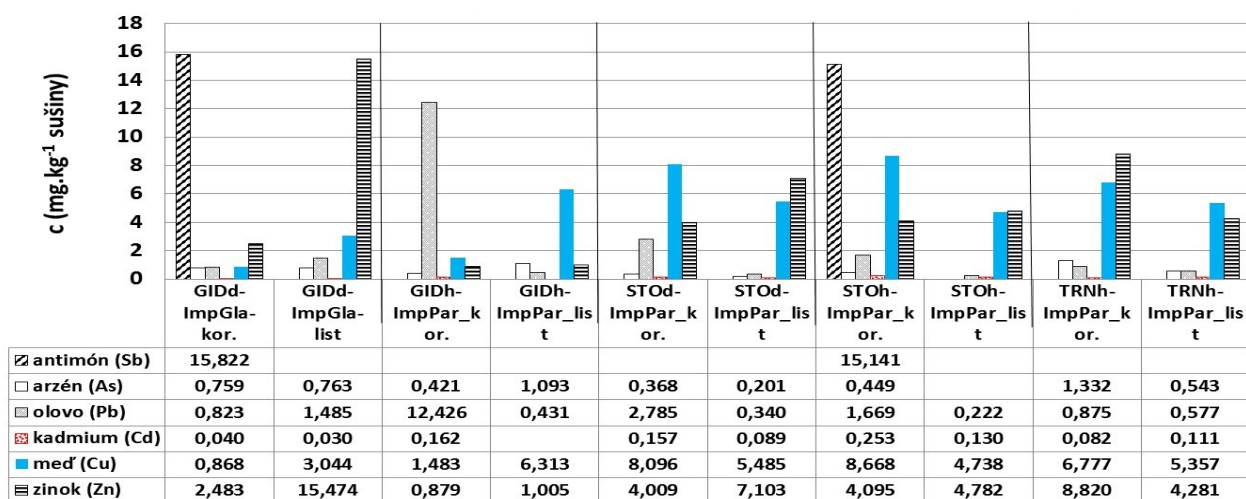
republika) mineralizovala pri 180 °C po dobu 1 hod /7/. Po ochladení sa zmes doplnila na objem 25 ml destilovanou vodou a obsah vybraných kovov sa elektrochemicky zmeral na prístroji EcaFlow 150 GLP (Istran, Slovenská republika). Táto metóda je porovnateľná s metódou AAS /8/. Translokáciu kovov z koreňov do výhonkov sme vyjadrili tzv. *translokačným indexom* (Ti) /9/:  $Ti = (\text{koncentrácia kovu v liste}) / (\text{koncentrácia kovu v korení})$ .

## VÝSLEDKY A DISKUSIA

Prítomnosť Sb sme potvrdili len v *U. dioica* v koreňoch na GIDh (obr. 2) a v listoch na TRNh (obr. 2). V koreňoch netýkavky sa Sb akumuloval iba na lokalite GIDd a STOh (obr. 3). Predpoklad o zvýšenej koncentrácií Sb na základe prítomnosti štôlne č. 8 pri pramene Stoličného potoka nemal teda negatívny dopad na jeho akumuláciu v listoch príhľavy, kým As sa akumuloval rovnakou mierou ako v koreňoch tak aj listoch tejto rastliny (obr. 2).



Obr. 2: Koncentrácia študovaných kovov v koreňoch (kor.) a listoch (list) *U. dioica* (Urt) na sledovaných lokalitách ( $n = 3$ ). Legenda: ako na obr. 1.



Obr. 3: Koncentrácia študovaných kovov v koreňoch (kor.) a listoch (list) *Impatiens* sp. na sledovaných lokalitách ( $n = 3$ ). Legenda: ako na obr. 1; ImpPar – *I. parviflora*, ImpGla – *I. glandulifera*.

I keď najvyššia koncentrácia Pb bola na hornom toku Gidry stanovená v listoch príhľavy (obr. 2), v netýkavke z tej istej lokality bola najvyššia koncentrácia Pb stanovená v koreňoch

(obr. 3). Najvyššie koncentrácie Cd a Cu sa pozorovali v koreňoch príhľavy na TRNh (obr. 2), kým v koreňoch netýkavky boli tieto hodnoty najväčšie na rastlinách rastúcich na STOh (obr. 3). I keď sme spomedzi všetkých sledovaných lokalít namerali najvyššie koncentrácie As v koreňoch netýkavky na TRNh (obr. 3), zároveň sme v tomto prípade zistili aj najvyššiu koncentráciu Zn, ktorý je súčasťou viacerých reparačných aj antioxidačných enzýmov, čo môže poukazovať na zvýšenú toxicitu As pre rastlinu na tejto lokalite.

V tab. 1 sme tučným písmom zvýraznili hodnoty vyššie ako 1,00; ktoré predstavujú zvýšenú translokáciu sledovaného prvku z koreňa do výhonku a jeho akumuláciu v listoch. Pb zostávalo v koreňoch netýkavky najmä na lokalitách GIDh, STOh a STOd, TRNh (tab. 1).

Tab. 1: Translokačné indexy (Ti) pre študované kovy v rastlinach na sledovaných lokalitách

rastlina	<i>Urtica dioica</i>					<i>Impatiens parviflora (GIDd - I. glandulifera)</i>				
	GIDd	GIDh	STOd	STOh	TRNh	GIDd	GIDh	STOd	STOh	TRNh
<b>Ti (As)</b>	<b>2,05</b>	<b>7,88</b>	-	0,79	0,47	1,01	<b>2,60</b>	0,55	-	0,41
<b>Ti (Pb)</b>	0,82	<b>185,24</b>	0,83	0,51	<b>1,47</b>	<b>1,80</b>	0,03	0,12	0,13	0,66
<b>Ti (Cd)</b>	-	-	<b>1,08</b>	0,61	0,65	0,77	-	0,56	0,52	<b>1,36</b>
<b>Ti (Cu)</b>	<b>2,49</b>	0,56	0,84	0,86	0,97	<b>3,51</b>	<b>4,26</b>	0,68	0,55	0,79
<b>Ti (Zn)</b>	<b>1,51</b>	<b>2,10</b>	0,58	0,09	0,89	<b>6,23</b>	<b>1,14</b>	<b>1,77</b>	<b>1,17</b>	0,49

Vyrovnana koncentrácia As sa zistila v netýkavke na GIDd (tab. 1, obr. 3). *Urtica* sp. a *Impatiens* sp. obsahujú fenolové zložky a flavonoidy /10, 11/, ktoré ich môžu svojím antioxidačným účinkom chrániť pred škodlivým účinkom ďalších kovov vyvolávajúcich priamo či nepriamo poškodenia prostredníctvom zvýšeného oxidačného stresu. Zvýšené koncentrácie As a Pb sa pozorovali v listoch príhľavy na oboch sledovaných lokalitách rieky Gidry (tab. 1, obr. 2), čo poukazuje na ich výraznú akumuláciu a preto by nebolo vhodné v povodí rieky Gidra túto rastlinu zbierať pre konzumáciu alebo na jej využitie v ľudovej medicíne. Z esenciálnych prvkov lepšie akumulovala Zn v listoch netýkavka na všetkých sledovaných lokalitách okrem TRNh (tab. 1), kým Cu len na lokalitách toku Gidry. Vyššia akumulácia Cd v listoch bola potvrdená na TRNh v netýkavke (Ti = 1,36 v tab. 1) ako aj príhľavy na STOd lokalite (tab. 1, obr. 2, 3).

## LITERATÚRA

- /1/ Veselský, J., Forgáč, J., Mejeed, S.Y.: Kontaminácia pôdy a aktívnych riečnych sedimentov Malých Karpát (oblasť Pezinok – Pernek). Mineralia Slovaca, 28, 1996: 209 – 218.
- /2/ Cambel, B.: Hydrotermálne ložiská v Malých Karpatoch, mineralogia a geochémia rúd. Acta Geologica et Geographica Universitatis Comenianae: Geologica, 3, 1959: 1 – 348.
- /3/ Fláková, R., Ženíšová, Z., Sracek, O., Krčmár, O., Ondrejková, I., Chovan, M., Lalinská-Voleková, B., Fendeková, M: The behavior of arsenic and antimony at Pezinok mining site, southwestern part of the Slovak Republic. Environmental Earth Sciences, 66, 2012: 1043 – 1057.
- /4/ Majzlan, J., Lalinská, B., Chovan, M., Jurkovič, L., Milovská, S., Göttlicher, J.: The formation, structure, and ageing of As-rich hydrous ferric oxide at the abandoned Sb deposit Pezinok (Slovakia). Geochimica et Cosmochimica Acta, 71, 2007: 4206 – 4220.
- /5/ Bowen, H.J.M.: Environmental Chemistry of the Elements. Academic Press: London, UK, 1979: 1 – 348.

- /6/ Alloway, B.J.: Heavy Metals in Soils, Chapman and Hall: Glasgow, UK, 1990: 7 – 28.
- /7/ Molnárová, M., Fargašová, A.: Relationship between various physiological and biochemical parameters activated by cadmium in *Sinapis alba* L. and *Hordeum vulgare* L. Ecological Engineering, 49, 2012: 65 – 72.
- /8/ Beinrohr, E.: Prietokové elektroanalytické metódy v praxi. 2 THETA: Český Těšín, Česká republika, 2013: 1 – 112.
- /9/ Chandra, R., Azeez, P.A.: Bioaccumulation of metals in different parts of weed species at proposed bauxite mines. Advanced Materials Research, 71-73, 2009: 609 – 612.
- /10/ Carvalho, A.R., Costa, G., Figueirinha, A., Liberal, J., Prior, J.A.V., Lopes, M.C., Cruz, M.T., Batista, M.T.: *Urtica* spp.: Phenolic composition, safety, antioxidant and anti-inflammatory activities. Food Research International, 99, 2017: 485 – 494.
- /11/ Szewczyk, K., Zidron, C., Biernasiuk, A., Komsta, Ł., Granica, S.: Polyphenols from *Impatiens (Balsaminaceae)* and their antioxidant and antimicrobial activities. Industrial Crops and Products, 86, 2016: 262 – 272.

### **Podčakovanie**

Výskum bol podporený VEGA 1/0332/18, KEGA 029UK-4/2016 a Grantom UK/4/2018.

## DLHODOBÉ UDRŽIAVANIE EMBRYOGÉNNYCH PLETÍV HYBRIDNÝCH JEDLÍ V PODMIENKACH *IN VITRO*

### **LONG-TERM MAINTENANCE OF HYBRID FIRS EMBRYOGENIC TISSUES UNDER *IN VITRO* CONDITIONS**

Terézia Salaj, Katarína Klubicová, Miroslav Perniš, Ján Salaj

Plant Science and Biodiversity Centre SAS, Institute of Plant Genetics and Biotechnology,  
Akademická 2, Nitra

#### **Summary**

Embryogenic tissues of hybrid firs (*Abies alba* x *A. cephalonica*, *Abies alba* x *A. numidica*) have been initiated from juvenile explants on nutrient medium supplemented with benzyladenine (4.4 µM) as sole plant growth regulator. The tissues have been maintained under *in vitro* condition by regular transfers in 3 weeks intervals for more than 20 years. The present work describes the tissues characteristics in respect of their growth, structural aspects of somatic embryos as well as maturation capacity.

*Key words:* somatic embryogenesis, cell lines, *Abies alba* x *A. cephalonica*, *Abies alba* x *A. numidica*

#### **Súhrn**

U hybridných jedlí (*Abies alba* x *A. cephalonica*, *Abies alba* x *A. numidica*) embryogénne pletivá sa indukovali z juvenilných explantátov na živnom médiu s obsahom 4.4 µM benzyladenínu ako jediného rastového regulátora. Pletivá sa udržiavalí v *in vitro* podmienkach po dobu viac ako 20 rokov. Predložená práca podáva charakteristiku pletív ako je rast, štruktúra somatických embryí a ich maturácia.

*Klíčová slova:* somatická embryogenéza, bunkové línie, *Abies alba* x *A. cephalonica*, *Abies alba* x *A. numidica*

## **INTRODUCTION**

In recent years somatic embryogenesis has become a valuable method for *in vitro* vegetative propagation of conifer trees and in many studies it was demonstrated this system is available for biotechnological studies as well as application. The *in vitro* system of somatic embryogenesis involves several steps, as initiation of embryogenic tissues, maintenance of tissues, maturation and plantlet (somatic seedling) regeneration. The advantage of somatic embryogenesis is the mass production of plants in short time and the regenerated somatic seedling are capable of growth and development in soil.

Somatic embryogenesis has also been initiated in hybrids *Abies alba* x *A. cephalonica* and *Abies alba* x *A. numidica* [6]. The embryogenic tissues have been maintained under *in vitro* conditions and some of initiated cell lines survived long period of maintenance, more than 20 years. The objective of this study was characterization of survived cell lines in respect of growth, structural features and maturation capacity.

## MATERIAL AND METHODS

*Initiation and maintenance:* For the initiation of embryogenic tissues in hybrid firs *Abies alba* x *A. cephalonica* and *Abies alba* x *A. numidica* juvenile explants have been used /details in 6/. SH medium /7/ supplemented with 6-benzyladenine (4.4 µM BA) as a sole plant growth regulator has been used. The long-term *in vitro* cultivation of embryogenic tissues occurred on Medium DCR /2/ with 4.4 µM BA. In experiments cell lines AC2, AC4, AC13 (*Abies alba* x *A. cephalonica*) and AN72 (*Abies alba* x *A. numidica*) have been included.

*Growth characteristics:* fresh and dry mass of tissues have been investigated at day 0 and 14 of growth as follows: at day 8 of growth cycle 0.5 g of fresh mass has been transferred to fresh media. After 14 days of cultivation the fresh mass of tissues was recorded and the tissues were dried in an oven until the constant dry mass was reached.

*Structural observation:* small pieces of well growing tissues have been placed on glass and stained with acetocarmine (2%), squashed and investigated under light microscope Axioplan 2 (Carl Zeiss, Germany).

*Maturation of somatic embryos:* 1 g of well growing tissues has been resuspended in DCR medium (without organic compounds) and aliquote of 100-120 mg of tissue has been pipetted on filter paper disc to absorb the liquid. The filter paper discs with cell were transferred to maturation medium. Basal DCR maturation in medium containing abscisic acid (ABA 38 µM) and 7.5% polyethylene glycol-4000 (PEG) has been used.

The tissues were growing in culture room at 23 °C in dark. Transfer of proliferating tissues to fresh media occurred regularly in 3-weeks intervals.

## RESULTS AND DISCUSSION

The investigated cell lines have been initiated from juvenile explants as immature zygotic embryos (cell line AN72, *Abies alba* x *A. numidica*), mature zygotic embryos (AC2, AC4 *Abies alba* x *A. cephalonica*) or from cotyledon explants (AC13 *Abies alba* x *A. cephalonica*). Their long-term maintenance occurred by regular transfers in 3-week intervals on medium DCR containing BA (4.4 µM) as sole plant growth regulator. After the long period of *in vitro* growth the tissues show features typical for conifer embryogenic tissues as mucilaginous consistence and white color (Fig. 1). Fresh mass increase at day 14 of growth cycle reached 404 to 492% depending on cell line. At day 0 the dry mass of tissues reached values 19.75 to 24.11 mg and at day 14 the dry mass increased to 66.51-75.67 mg.

The proliferating tissues were characterized by various cell compositions. Bipolar structures -somatic embryos, characterized by meristematic embryonal part and long suspensor - were present in all the investigated cell lines (Fig. 2). Besides these structures also huge polyembryonal complexes were also observable.

The maturation of somatic embryos is being tested on medium containing ABA and PEG-4000. Preliminary results suggest the maturation is limited in some extent. Precotyledonary somatic embryos developed in cell lines AC4, but their further development toward cotyledonary stage has been stopped. Cell lines AN72 and AC13 produced fully developed cotyledonary somatic embryos but abnormally shaped structures e.g. with fused cotyledons were also frequently observed. In cell line AC2 no developing embryos were observable.

Somatic embryogenesis in *Abies* species or hybrids has been initiated mostly from immature zygotic embryos /1, 3, 4/. An interesting feature of initiation in *Abies* is the production of embryogenic tissues on nutrient medium containing cytokinin as sole plant hormone. It is explained by sufficient production of auxins necessary for initiation and subsequent growth of tissues /4/. The *in vitro* long-term maintenance of embryogenic tissues holds the risk of genetic changes (somaclonal variation). In embryogenic tissues of *Abies alba*

trisomy associated with loss of maturation capacity has been observed /5/. In the light of these observations, investigation on genetic background of our cell lines maintained under *in vitro* conditions is also necessary. The limited maturation capacity or its loss could be the consequence of long-term *in vitro* cultivation. On the other hand two cell lines are still producing cotyledonary somatic embryos. These investigations indicated the cell line dependent behavior of hybrid firs embryogenic tissues during long-term *in vitro* culture.

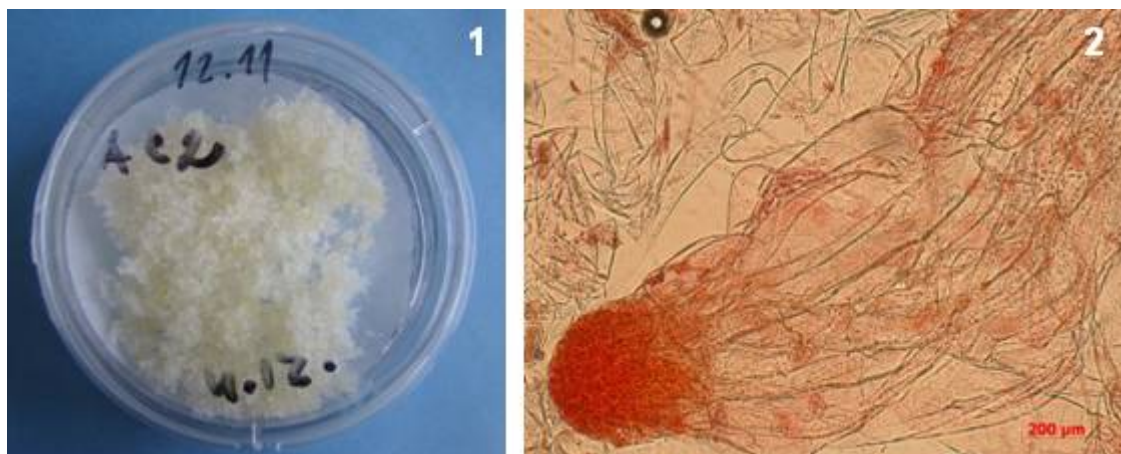


Fig. 1: Embryogenic tissue (cell line AC2). Fig. 2: Bipolar somatic embryo observable in proliferating embryogenic tissues (cell line AN72).

#### LITERATURE

- /1/ Gajdošová, A., Vooková, B., Kormuťák, A., Libiaková, G., Doležel, J.: Induction, protein composition and DNA ploidy level of embryogenic calli of silver fir and its hybrids. Biologia Plantarum 37, 1995: 169-176.
- /2/ Gupta, P.K., Durzan, D.J.: Shoot multiplication from mature trees of Douglas fir (*Pseudotsuga menziesii*) and sugar pine (*Pinus lambertiana*). Plant Cell Reports 4, 1985: 177-179.
- /3/ Krajňáková, J., Gömöry, D., Häggman, H.: Somatic embryogenesis in Greek fir. Canadian Journal of Forest Research 38, 2008: 760-769.
- /4/ Nørgaard, J.V., Krogstrup, P.: Cytokinin induced somatic embryogenesis from immature embryos of *Abies nordmanniana*. Plant Cell Reports 9, 1991: 509-513.
- /5/ Roth, R., Ebert, I., Schmidt, j.: Trisomy associated with loss of maturation capacity in a long-term embryogenic culture of *Abies alba*. Theoretical and Applied Genetics 95, 1997: 353-358.
- /6/ Salajová, T., Salaj, J., Jásik, J., Kormuťák, A., Hakman, I.: Embryogenic culture initiation and somatic embryo development in hybrid firs (*Abies alba* x *Abies cephalonica* and *Abies alba* x *Abies numidica*). Plant Cell Reports 15, 1996: 527-530.
- /7/ Schenk, R.U., Hildebrandt, A.C.: Medium and techniques for induction and growth of monocotyledonous and dicotyledonous plant cell cultures. Canadian Journal of Botany 50, 1972: 199-204.

#### Acknowledgement

This work was supported by Slovak Grant Agency VEGA, project No. 2/0056/18.

## FYZIOLOGICKÉ CHARAKTERISTIKY CHMELE PĚSTOVANÉHO V REŽIMU EKOLOGICKÉHO ZEMĚDĚLSTVÍ

### THE PHYSIOLOGICAL CHARACTERISTICS OF HOPS GROWN IN ORGANIC AGRICULTURE

Helena Hniličková<sup>1</sup>, František Hnilička<sup>1</sup>, Josef Ježek<sup>2</sup>, Tomáš Vild<sup>1</sup>, Kamil Kraus<sup>1</sup>

<sup>1</sup> Česká zemědělská univerzita v Praze, Katedra botaniky a fyziologie rostlin, Kamýcká 129, 165 21 Praha 6 – Suchdol, Česká republika, hnilickova@af.czu.cz

<sup>2</sup> Chmelařský institut s.r.o., Kadaňská 2525, Žatec 438 46, Česká republika

#### *Summary*

At present, there is an increasing demand for organic farming products, where this trend has not been avoided even with hop cones. The effect of cultivation mode on the rate of photosynthesis  $F_v/F_m$  and chlorophyll content was monitored. The results show the influence of the year, especially the rate of photosynthesis, when higher average values were measured in 2014 for conventional plants ( $16.1 \mu\text{mol CO}_2 \text{ m}^{-2} \text{ s}^{-1}$ ) and 2015 for organically grown plants ( $5.3 \mu\text{mol CO}_2 \text{ m}^{-2} \text{ s}^{-1}$ ). Differences were observed for  $F_v/F_m$  and pigment content where higher values were established for conventional plants. Higher yields were in both years for conventionally grown plants.

*Key words:* *Humulus lupulus L., organic farming, photosynthesis, chlorophyll content, chlorophyll fluorescence*

#### *Souhrn*

V současné době se zvyšuje poptávka po produktech z ekologického zemědělství, kdy tento trend se nevyhnul ani chmelovým hlávkám. Byl sledován vliv režimu pěstování na rychlosť fotosyntézy,  $F_v/F_m$  a obsah chlorofylu. Z výsledků je patrný vliv ročníku, především rychlosť fotosyntézy, kdy vyšší průměrné hodnoty byly naměřeny v roce 2014 u konvenčních rostlin ( $16,1 \mu\text{mol CO}_2 \text{ m}^{-2} \text{ s}^{-1}$ ) a v roce 2015 u ekologicky pěstovaných rostlin ( $5,3 \mu\text{mol CO}_2 \text{ m}^{-2} \text{ s}^{-1}$ ). Rozdíly byly u  $F_v/F_m$  a obsahu pigmentů, kdy vyšší hodnoty byly stanoveny u konvenčních rostlin. Vyšší výnosy byly dosaženy v obou letech u konvenčně pěstovaných rostlin.

*Klíčová slova:* *Humulus lupulus L., ekologické zemědělství, fotosyntéza, obsah chlorofylů, fluorescence chlorofylů*

## ÚVOD

Pěstování chmele má v našem zemědělství významné postavení. Česká republika patří tradičně mezi největší světové producenty chmele a v současné době zaujímá čtvrtou pozici. Chmel patří mezi nejnáročnější technické plodiny, pěstované v našem zemědělství. Zároveň jsou na něj, jako na vývozní plodinu a pivovarskou surovinu, kladený značné požadavky. Tyto nároky se daří v současné době plnit díky propracované agrotechnice, letitým zkušenostem, široké nabídce prostředků na ochranu rostlin před škodlivými činiteli a výživových prostředků. Dá se tedy říci, že intenzivní pěstování chmele má již vcelku propracovaný systém hospodaření. Ne příliš prozkoumané je však pěstování chmele v ekologickém režimu hospodaření. V České republice se chmel pěstuje ekologicky teprve od roku 2009 a poptávka po informacích o chmelu vypěstovaném v ekologickém zemědělství neustále roste.

Cílem této práce je přinést nové poznatky o případných rozdílech ve fyziologických parametrech v závislosti na režimu hospodaření.

## MATERIÁL A METODA

Experiment se uskutečnil na chmelnících úcelového hospodářství Stekník u Žatce. Pokusnými rostlinami se staly rostliny chmele (*Humulus lupulus L.*) pěstované na certifikované ekologické chmelnici o rozloze 1,29 ha. Kontrolní měření bylo provedeno na chmelnici v konvenčním režimu hospodaření o rozloze 2,09 ha. Pokusným rostlinným materiálem byla odrůda Premiant. Rostlina chmele odrůdy premiant jsou mohutného vzrůstu válcovitého tvaru. Aroma je definováno jako přijemné chmelové. Odrůda je středně odolná k padlí chmelovému (*Podosphaera macularis*) a středně odolná k perenospoře chmelové (*Pseudoperenospora humuli*).

Měřeny byly základní fyziologické ukazatele: rychlosť fotosyntézy, fluorescence a obsah chlorofylů v listech. Pokus probíhal ve 4 etapách ontogeneze (1. pazochování, 2. kvetení, 3. tvorba osýpky a 4. zrání chmelových hlávek) v roce 2014 a 2015.

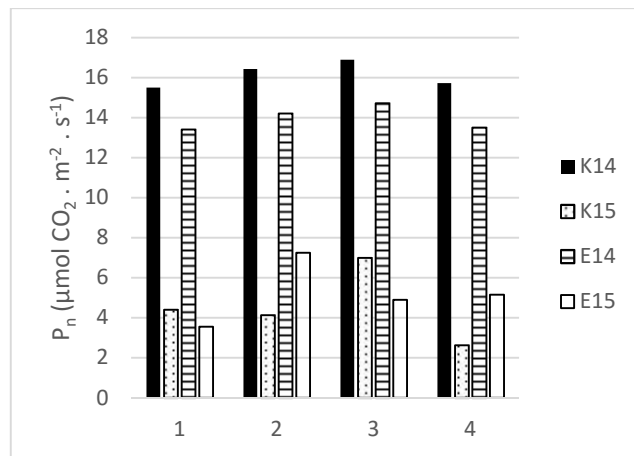
K měření rychlosti fotosyntézy byl použit přenosný přístroj LCpro+ (ADC BioScientific Ltd.). Měření se uskutečnilo na vybraném listu 3 různých chmelových rostlin z ekologické a 3 rostlin z konvenční chmelnice po 15 opakování na každém listu. Teplota komůrky se během měřících cyklů pohybovala kolem  $28^{\circ}\text{C} \pm 2^{\circ}\text{C}$  a hustota ozářenosti byla  $565 \mu\text{mol m}^{-2} \text{s}^{-1}$ . Parametry fluorescence chlorofylů byly měřeny přenosným fluorometrem s technologií pulzní modulace ADC:OSI 1 FL (Opti-Sciences Inc.). Sledovaným parametrem byl poměr  $F_v/F_m$  ( $F_m - F_0/F_v$ ). Měření se uskutečnilo pomocí listové komůrky po 20 min. temnotní adaptace na listech stejných 3 chmelových rostlin z každé chmelnice, na kterých probíhalo měření rychlosti výměny plynů. Obsah fotosyntetických pigmentů byl stanoven pomocí ručního chlorofylmetru Opti-Sciences CCM-200 (Opti-Sciences, Inc.).

## VÝSLEDKY A DISKUSE

Graf č. 1 znázorňuje průběh rychlosti fotosyntézy sledovaných rostlin na ekologické i konvenční chmelnici ve vybraných ontogenetických fázích. Byly naměřeny průkazné rozdíly v rychlosti fotosyntézy u sledovaných led, kdy v roce 2014 bylo dosaženo vyšších hodnot. Průměrné hodnoty  $P_n$  v roce 2014 na konvenční ploše byly  $16,1 \mu\text{mol CO}_2 \text{ m}^{-2} \text{ s}^{-1}$  a na ekologické  $13,9 \mu\text{mol CO}_2 \text{ m}^{-2} \text{ s}^{-1}$  (HSD;  $p=0,01$ ), v roce 2015 byla průměrná rychlosť fotosyntézy na konvenční ploše  $4,7 \mu\text{mol CO}_2 \text{ m}^{-2} \text{ s}^{-1}$  a na ekologické  $5,3 \mu\text{mol CO}_2 \text{ m}^{-2} \text{ s}^{-1}$  (HSD;  $p=0,01$ ). V obou pokusných letech byly rozdíly mezi variantami statisticky průkazné.

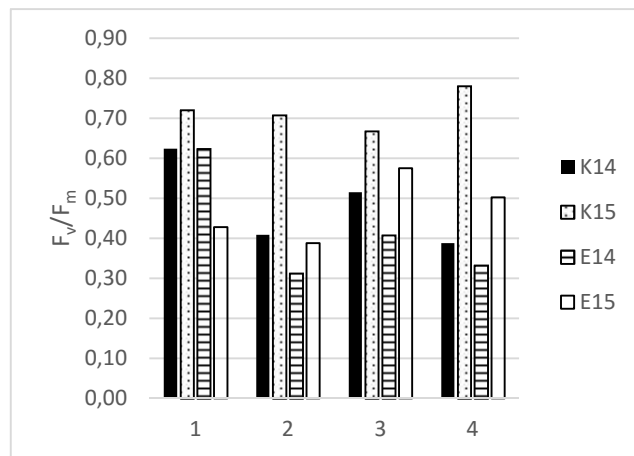
Maximální hodnoty rychlosti fotosyntézy byly naměřeny v období tvorby osýpky u obou variant v roce 2014 a konvenční varianty 2015, u ekologického porostu v tomto roce již ve fázi kvetení. V období zrání hlávek již fotosyntéza klesá, stejně tak na počátku ontogeneze jsou měřeny nižší hodnoty rychlosti fotosyntézy. Postupné zvyšování rychlosti fotosyntézy od zavedení chmelových rostlin až do období kvetení a její pokles směrem k technologické a biologické zralosti rovněž uvádí Hniličková et al. (2008)/1/. Hodnoty rychlosti fotosyntézy v polních podmínkách pro chmel jsou uváděny v průměru  $16,2 \mu\text{mol CO}_2 \cdot \text{m}^{-2} \cdot \text{s}^{-1}$ /2/,  $4,9 - 8,59 \mu\text{mol CO}_2 \cdot \text{m}^{-2} \cdot \text{s}^{-1}$ /3/ a  $4,35 - 7,95 \mu\text{mol CO}_2 \cdot \text{m}^{-2} \cdot \text{s}^{-1}$ /4/.

Hodnoty maximálního kvantového výtěžku PSII  $F_v/F_m$  jsou považovány za obecný indikátor stresových faktorů, přičemž za stresový faktor lze považovat výživové nedostatky, napadení chorobami a škůdci apod. Eliminace těchto faktorů může být do určité míry rozdílná v konvenčním a ekologickém režimu pěstování.



Graf 1: Rychlosti fotosyntézy ( $\mu\text{mol CO}_2 \cdot \text{m}^{-2} \cdot \text{s}^{-1}$ ) v závislosti na termínu měření (K14, K15 – konvenční plocha; E14, E15 – ekologická plocha ve sledovaných letech)

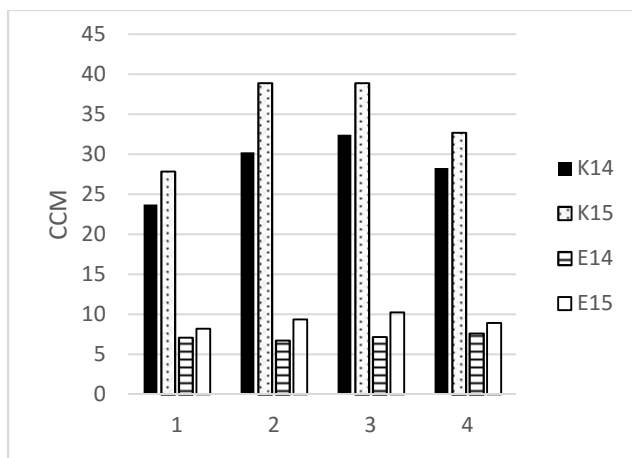
Obecně za optimální hodnotu je uváděn poměr  $F_v/F_m$  na úrovni cca 0,8. V grafu 2 jsou uvedeny hodnoty  $F_v/F_m$  ve vybraných ontogenetických fázích. V obou letech byly v průměru naměřeny vyšší hodnoty  $F_v/F_m$  u konvenčních rostlin. V roce 2014 s neprůkaznými rozdíly u konvenčně 0,44 a u ekologicky pěstovaných rostlin 0,42 (HSD,  $p=0,01$ ). V roce 2015 byly hodnoty průkazně rozdílné u konvenčně 0,72 a u ekologicky pěstovaných 0,47 (HSD,  $p=0,01$ ).



Graf 2: Maximální kvantový výtěžek fotosystému PSII v závislosti na termínu měření (K14, K15 – konvenční plocha; E14, E15 – ekologická plocha ve sledovaných letech)

Hodnoty obsahu celkového chlorofylu v listech sledovaných rostlin na ekologické a konvenční chmelnici jsou uvedeny na grafu 3. Průměrné hodnoty obsahu celkového chlorofylu byly v roce 2014 na konvenční ploše 28,9 a na ekologické 7,1 (HSD;  $p=0,01$ ), v roce 2015 na konvenční ploše 34,6 a na ekologické 9,2 (HSD;  $p=0,01$ ). V obou pokusných letech byly rozdíly mezi variantami statisticky průkazné.

U konvenčně pěstovaných rostlin se obsah chlorofylů zvyšoval během ontogeneze, s maximem v období květu a tvorby osýpky chmelových hlávek, tj. období maximální rychlosti fotosyntézy. U ekologicky pěstovaných rostlin obsah chlorofylu stagnoval během celého vegetačního období.



Graf 3: Obsah celkového chlorofylu ( $\mu\text{g.ml}^{-1}$ ) v závislosti na termínu měření

Rozdíly mezi formou hospodaření byly dosaženy rovněž ve výnosu hlávek. V roce 2014 byl v ekologickém režimu výnos hlávek  $1,36 \text{ t.ha}^{-1}$ . V konvenčním režimu hospodaření dosáhl výnos hlávek hodnoty  $2,40 \text{ t.ha}^{-1}$ . Rozdíl ve výnosech obou variant byl o  $1,0 \text{ t.ha}^{-1}$ . Na ekologické chmelnici bylo tedy dosaženo výnosu o 42,4 % nižšího než na chmelnici konvenční. Uvedené hodnoty jsou za rok 2014. Stejný trend byl i v roce 2015, kdy v ekologickém režimu byl výnos hlávek  $0,62 \text{ t.ha}^{-1}$  a v konvenčním režimu  $1,97 \text{ t.ha}^{-1}$ . Nižší výnosy v tomto roce byly zapříčiněny vysokými teplotami a nízkým úhrnem srážek.

Z uvedených výsledků je patrný vliv ročníku na základní fyziologické parametry, především rychlosť fotosyntézy, což je výrazná polyfaktoriální charakteristika. Přičemž její měření v polních podmírkách a zvláště u rostlin chmel (vysoký habitus rostliny) je velmi komplikované. Rozdíly mezi režimem pěstování byly zaznamenány u parametru  $F_v/F_m$  a obsahu pigmentů, kdy vyšší hodnoty byly stanoveny u konvenčních rostlin. Nicméně jednoznačné konstatování faktoru, který tyto rozdíly zapříčinil, by vyžadovalo další sledování. Výrazný výnosový rozdíl je tak základní prvek, který zároveň rozhoduje o ekonomice pěstování chmele, eliminace tohoto faktoru pro pěstitele je možná pouze poptávkou pivovarníků a konzumentů.

## LITERATURA

- /1/ Hniličková H., Hnilička F., Krofta K.: The effect of weather on the hops's photosynthesis and transpiration rate. Cereal Research Communications, 36, 2008: 887-890.
- /2/ Kenny S. T.: Photosynthetic measurements in hop (*Humulus*). Acta Horticulturae, 668, 2005: 241-247.
- /3/ Pokorný J., Pulkrábek J., Štranc P., Bečka D.: Photosynthetic activity of selected genotypes of hops (*Humulus lupulus L.*) in critical periods for yield formation. Plant Soil and Environment, 57, 2011: 264-270.
- /4/ Hejnák V., Hniličková H., Hnilička F.: Effect of ontogeny, heterophylly and leaf position on the gas exchange of the hop plant. Plant Soil and Environment, 60, 2014: 525-530.

## Poděkování

Příspěvek byl podpořen S projektem MŠMT ČR.

# FUNKČNÁ ANALÝZA CYTOSKELETU V KOMPLEXE VZŤAHOV PARAZIT-HOSTITEĽ

## FUNCTIONAL ANALYSIS OF THE CYTOSKELETON IN THE PARASITE-HOST INTERACTION

Peter Kaštier<sup>1</sup>, Yuliya A. Krasylénko<sup>2</sup>, Alžbeta Blehová<sup>1</sup>

<sup>1</sup> Fyziológia rastlín, Prírodovedecká fakulta, Univerzita Komenského v Bratislave, Mlynská dolina, Ilkovičova 6, 842 15 Bratislava, kastier.peter@gmail.com

<sup>2</sup> Buněčná biologie, Centrum regionu Haná pro biotechnologický a zemědělský výzkum, Šlechtitelů 241/27, 783 71 Olomouc

### Summary

Dodders (*Cuscuta* spp.), common holoparasitic weeds, are completely dependent on a host for support and photosynthetic assimilates. Generally, this is the first report about the organization of microtubules and actin cytoskeleton in parasitic plants during germination, without the contact with the host, but also during the formation of prehaustorium. It is shedding more light on dodder attachment to the host, and to the penetration mechanics. In contrast to shoot apical meristem, in root-like structure, a temporary anchorage organ, no mitotic arrays were found during early germination. Practical impact of our results is a better understanding of the cellular and cytoskeletal rearrangements leading haustoria formation, which could be helpful in the development of efficient and low-cost control measures for *Cuscuta*.

**Key words:** *actin filaments, Cuscuta, microtubules, prehaustorium, root-like structure, shoot apical meristem*

### Súhrn

Kukučiny (*Cuscuta* spp.), bežné holoparazitické rastliny, sú kompletne závislé od hostiteľa a príjmu fotosyntetických asimilátov. Táto práca je zameraná na štúdium organizácie mikrotubulov a aktínových filamentov v parazitických rastlinách nie len počas klíčenia ale aj pri vývine prehaustória. Vnáša viac svetla na mechanizmus prichytenia parazitickej rastliny a jej penetrácie do hostiteľa. Na rozdiel od apikálneho meristému stonky, v dočasnom orgáne koreňu podobnej štruktúry sme nepozorovali žiadne mitoticky aktívne bunky. Praktickým dôsledkom našich výsledkov je lepšie porozumenie bunkových a cytoskeletárnych reorganizácií pri vývine haustória, ktoré by mohli pomôcť pri vývoji účinných a lacných stratégii v boji proti parazitickým rastlinám rodu *Cuscuta*.

**Kľúčová slová:** *aktínové filamenty, apikálny meristém stonky, Cuscuta, koreňu podobná štruktúra, mikrotubuly, prehaustórium*

## ÚVOD

Stonkové parazity rodu *Cuscuta* predstavujú z hľadiska devastácie kultúrnych plodín významný ekonomický faktor. Preventívne opatrenia ako striedanie plodín, výsadba rezistentných a geneticky modifikovaných rastlín nie sú účinné. Preto je nevyhnutné študovať nie len anatómiu a morfológiu týchto druhov parazitických rastlín, ale spolu s molekulárnymi štúdiami a štúdiom organizácie a funkcie cytoskeletu v ich bunkách, môže prispieť k vypracovaniu efektívnych stratégii na ich elimináciu.

Dynamika mikrotubulov a aktínových filamenot je jednou z hlavných vlastností cytoskeletu, nevyhnutou pre delenie, predlžovanie a diferenciáciu buniek /1/ ako aj v reakcii rastlín na biotický stres /2/. Cytoskelet sa svojou funkciou a schopnosťou reorganizácie podieľa pri prichytení a tvorbe infekčných/symbiotických štruktúr /3/. Hoci cytoskelet v parazitických rastlinách ešte neboli opísané, predpokladá sa, že mikrotubuly a aktínové filamenty budú vo veľkej miere zapojené do imunitných odpovedí hostiteľa /4/. Preto sme sa zamerali na vizualizáciu zložiek cytoskeletu v skorých ontogenetických štádiach vývinu klíčnych rastlín a pri formovaní prehaustória v *C. europaea* a *C. monogyna* pomocou imunohistochemických techník.

## MATERIÁL A METÓDY

Úlohu cytoskeletu v klíčnych rastlinách *C. europaea* L. a *C. monogyna* Vahl. sme sledovali pri aplikácii cytoskeletárnych jedov taxolu (10 µM), oryzalínu (10 µM), latrunkulínu B (10 µM) a cytochalazínu D (100 µM) v podmienkach *in vitro* po dobu 7 dní (Sigma-Aldrich). Kontrolný variant neobsahoval v ½ MS médiu (Murashige & Skoog) žiadne prídavné látky. Na vplyv cytoskeletárnych jedov pri vývine prehaustória sme použili 5 dňové klíčne rastlinky (4–5 cm), ponorené do ½ tekutého MS média s rovnakou koncentráciou jedov, ako v experimente vyššie, a umiestnili v blízkosti kompatibilného hostiteľa *Nicotiana benthamiana* Domin. po dobu 2 dní.

Nepriamou imunofluorescenčnou technikou sme vizualizovali mikrotubulovú a aktínovú zložku cytoskeletu v klíčnych rastlinách kukučín a pri vývine prehaustória. Na značenie α-tubulíneovej zložky mikrotubulov sme použili „whole mount“ techniku (upravené podľa /5/), a aktínovej zložky pomocou Atto 488 faloidín (Sigma-Aldrich) /6/. Prehaustória sme fixovali a zalievali do Steedmanovho vosku (upravené podľa /7/). Rezy hrubé 40 µm sme inkubovali v primárnych protilátkach rat anti-α-tubulín (YOL 1/34, Serotec) a rabbit anti-aktín (AS16, Agrisera) a v sekundárnych protilátkach FITC-anti-rat a Alexa-Fluor 555 (Invitrogen). Vzorky sme skenovali pomocou konfokálneho mikroskopu LSM710 (Carl Zeiss, Jena, Germany).

## VÝSLEDKY A DISKUSIA

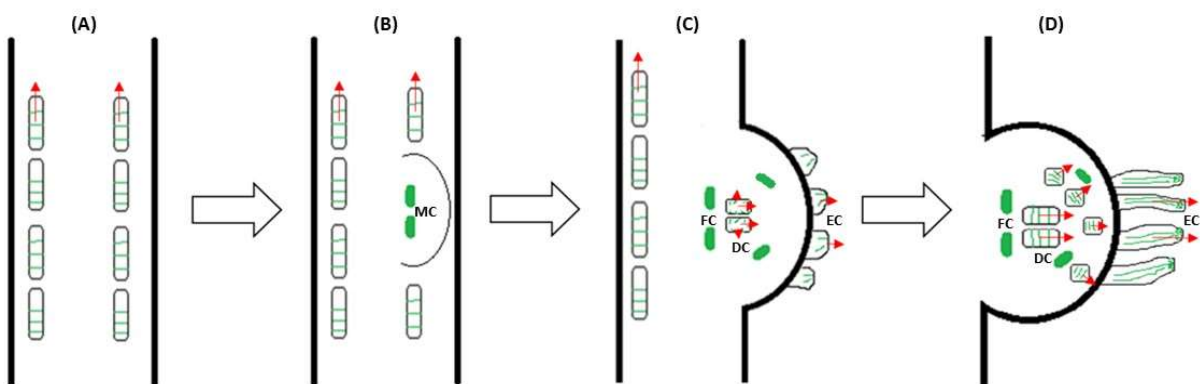
Cytoskelet predstavuje integrovaný vnútrobunkový systém, ktorý sa dynamicky mení v jednotlivých fázach ontogenetického vývinu parazitických rastlín. Je odlišný v bunkách rudimentálneho koreňa od aktívne sa deliacich buniek apikálneho meristému stonky (SAM). V mitoticky aktívnych bunkách (SAM) ale aj v predĺžených bunkách stonky klíčnych rastlín, je zastúpená tak kortikálna ako aj endocytoplazmatická zložka cytoskeletu, pričom ich vzájomný pomer a organizácia varírujú v závislosti od fázy bunkového cyklu /8/. Jednotlivé zložky cytoskeletu v bunkách, ktoré sa práve nedelia, sú organizované do štruktúr typických pre interfázne bunky /8/.

Z našich doterajších pozorovaní je zrejmé, že senescencia koreňu podobnej štruktúry v prípade *C. europaea* začína už na tretí deň od klíčenia a ku kompletnej degradácii celej štruktúry dochádza na 14. deň /9/. Napriek absencii mitotických mikrotubulov boli v koreňových bunkách prítomné priečne kortikálne siete predtým, ako začali degradovať. Po 3. dni mikrotubuly menili svoju organizáciu a spolu s ich fragmentáciu a následnou depolymerizácou sme v posledný deň kultivácie nepozorovali žiadne vlákna. Tieto výsledky korešpondujú aj s prácou, kde zaznamenali nízku hladinu α-tubulínu v koreni *C. pentagona* v porovnaní so stonkou /10/. Súčasne v prvých štádiach vývinu tejto štruktúry (1.–4. deň po klíčení) cytoplazma kortikálnych buniek obsahovala hustú sieť F-aktínových zväzkov. V priebehu niekoľkých nasledujúcich dní sa aktínová sieť fragmentovala a degradovala zároveň s bunkami koreňovej štruktúry. Destabilizácia cytoskeletu vedie k zníženej

schopnosti kontrolovať delivý a predlžovací rast, a preto táto štruktúra v skorých fázach klíčenia hrubne a postupne degraduje /10/.

Sadu cytoskeletálnych jedov, ovplyvňujúcich mikrotubuly a aktínové filamenty, sme použili pri sledovaní morfológických zmien a organizáciu cytoskeletu v klíčnych rastlinách obidvoch druhov kukučín. Väčšina z nich spôsobila výrazné zhrubnutie nie len koreňovej štruktúry ale aj rastového vrcholu stonky, pretože napríklad taxol narúša predlžovanie buniek a podporuje ich vakuolizáciu /11/, čo vysvetluje ich gul'ovitý tvar a umiestnenie jadra na ich periférii. Tento opuch neboli taký výrazný po ošetrení cytochalazínom D ako pri použití taxolu a oryzalínu, čo sa odzrkadilo aj na čiastočnom zablokovaní fyziologických vývinových zmien spojených s degradáciou koreňovej štruktúry. Navyše, v prípade taxolu boli kortikálne mikrotubuly čiastočne stabilizované v apikálnom meristéme stonky a vo fyziologicky plazmolizovaných bunkách koreňa boli mikrotubuly stále prítomné aj na 7. deň kultivácie, v porovnaní s kontrolou. Aktínové filamenty boli po ošetrení cytochalazínom D depolymerizované v SAM a v bunkách stonky výrazne fragmentované. Narušenie aktínových filamenotov súvisí so zníženým predlžovacím rastom buniek a vedie tak k tzv. „bonsajovému“ fenotypu rastlín /12/, ktorý sme nepozorovali ani v jednom variante pri depolymerizácii aktínovej zložky cytoskeletu. Možným vysvetlením slabého účinku napríklad latrunkulínu B, ktorý sme pozorovali na kukučinách, môže byť druhovo špecifický, pričom aj rôzne fyziologické procesy v rámci jednej rastliny môžu vyžadovať odlišnú koncentráciu.

Vplyv cytoskeletárnych jedov sme pozorovali aj pri vývine prehaustória *C. europaea*. Zatiaľ čo v neošetrených klíčnych rastlinách sa na miestach kontaktu s hostiteľskou stonkou začali formovať prehaustória počas prvých 24 hodín, pri ošetrení cytoskeletármi jedmi, kukučiny neboli schopné navinutia okolo hostiteľa o 360 °. Okrem toho, taxol a oryzalín spôsobili výrazne zhrubnutie rastového vrcholu stonky, čím inhibovali jeho rast. Tento fakt bol v súlade s inhibíciou rastu klíčnych rastlín.



Obr. 1: Model vývinu prehaustória *C. europaea* ( $\uparrow$  označuje smer rastu), s orientáciou mikrotubulov (zelenou farbou) v stonke (A) a prehaustóriu (B–D). MC – meristematické centrum, FC – „file cells“, DC – „digitate cells“, EC – epidermálne bunky.

Stonky kukučín vykazujú veľkú mieru plasticity v dôsledku prítomnosti funkčného apikálneho meristému a neskôr endogénne sa zakladajúceho diskovitého meristému (obr. 1B), ktorého mitotická aktivita je potrebná pre diferenciáciu haustória /13/. Za aktívne deliacimi sa meristematickými bunkami „file cells“ nasledujú predĺžené „digitate cells“ s prominentnými jadrami /13/. V prípade vyvíjajúceho sa prehaustória kukučiny sa bunky, lokalizované distálne od cievnych zväzkov stonky parazita, delili ojedinele. Rozhodujúcim faktorom, ktorý určoval smer ich delenia, bol pravdepodobne tlak expandujúcich „digitate cells“ (obr. 1 C, D).

V predlžujúcich sa bunkách prehaustória boli kortikálne mikrotubuly orientované paralelne k vodivým elementom kukučiny. V neskorších štádiach prevažovala transverzálna organizácia pre rýchle predlžovanie buniek podobne ako v rastovom vrchole koreňa neparazitických rastlín /12/. Aktínové filamenty vytvárali silné perinukleárne zväzky okolo jadier „digitate cells“. Takúto organizáciu aktínovej zložky cytoskeletu spájame s výraznou syntetickou a sekrečnou aktivitou týchto buniek. V tom istom čase, v mieste kontaktu parazit-hostiteľ, sa epidermálne bunky prehaustória začali výrazne predlžovať (obr. 1D), pričom organizácia cytoskeletu v týchto bunkách bola usporiadaná podobne ako v bunkách s vrcholovým rastom /11/. Tieto bunky by mohli byť prekurzormi vyhľadávajúcich hýf, dôležitých v poslednej fáze vývinu haustória, ktorých pôvod sa pripisoval bunkám „digitate cells“ /14/.

## LITERATÚRA

- /1/ Wasteneys, G. O., Ambrose, J. Ch.: Spatial organization of plant cortical microtubules: close encounters of the 2D kind. *Trends in Cell Biology*, 19, 2009: 62–71.
- /2/ Takemoto, D., and Hardham, A. R.: The cytoskeleton as a regulator and target of biotic interactions in plants. *Plant Physiol*, 136, 2009: 3864–3876.
- /3/ Lapin, D., and Van den Ackerveken, G.: Susceptibility to plant disease: more than a failure of host immunity. *Trends Plant Science*, 18, 2013: 546–554.
- /4/ Yoder, J. I., and Scholes, J. D.: Host plant resistance to parasitic weeds; recent progress and bottlenecks. *Current Opinion in Plant Biology*, 13, 2010: 478–484.
- /5/ Šamajová, O., Komis, G., and Šamaj, J.: Immunofluorescent localization of MAPKs and colocalization with microtubules in *Arabidopsis* seedling whole-mount probes, in *Plant MAP Kinases Methods in Molecular Biology*. Humana Press, New York, NY, 2014: 107–115.
- /6/ Panteris, E., Apostolakos, P., and Galatis, B.: Cytoskeletal asymmetry in *Zea mays* subsidiary cell mother cells: A monopolar prophase microtubule half-spindle anchors the nucleus to its polar position. *Cell Motility and the Cytoskeleton*, 63, 2006: 696–709.
- /7/ Vitha, S., Baluška, F., Jasik, J., Volkmann, D., and Barlow, P. W.: Steedman's wax for F-actin visualization, in *Actin: A Dynamic Framework for Multiple Plant Cell Functions Developments in Plant and Soil Sciences*. Springer, Dordrecht, 2000: 619–636.
- /8/ Baluška, F., Šamaj, J., Volkmann, D., and Barlow, P. W.: Impact of taxol-mediated stabilization of microtubules on nuclear morphology, ploidy levels and cell growth in maize roots. *Biology of the Cell*, 89, 1997: 221–231.
- /9/ Kaštier, P., Martinčová, M., Fiala, R., and Blehová, A.: Transient expression of green fluorescent protein in parasitic dodder as a tool for studying of cytoskeleton. *Nova Biotechnologica et Chimica*, 16, 2017: 20–25.
- /10/ Sherman, T. D., Bowling, A. J., Barger, T. W., and Vaughn, K. C.: The vestigial root of dodder (*Cuscuta pentagona*) seedlings. *International Journal of Plant Sciences*, 169, 2008: 998–1012.
- /11/ Bibikova, T. N., Blancaflor, E. B., and Gilroy, S.: Microtubules regulate tip growth and orientation in root hairs of *Arabidopsis thaliana*. *The Plant Journal for Cell and Molecular Biology*, 17, 1999: 657–665.
- /12/ Baluška, F., Jasik, J., Edelmann, H. G., Salajová, T., and Volkmann, D.: Latrunculin B-induced plant dwarfism: plant cell elongation is F-actin-dependent. *Developmental Biology*, 231, 2001: 113–124.
- /13/ Svoboda, R., Lukacova, Z., Kastier, P., and Blehová, A.: New aspects of dodder–tobacco interactions during haustorium development. *Acta Physiologiae Plantarum*, 39, 2017: 66.
- /14/ Alakonya, A., Kumar, R., Koenig, D., Kimura, S., Townsley, B., Runo, S., Garces, H. M., Kang, J., Yanez, A., David-Schwartz, R. et al.: Interspecific RNA interference of Shoot Meristem-Like disrupts *Cuscuta pentagona* plant parasitism. *The Plant Cell*, 24, 2012: 3153–3166.

## Podčakovanie

Táto práca bola podporovaná Agentúrou na podporu výskumu a vývoja na základe Zmluvy č. APVV-16-0051 a grantom Univerzity Komenského pre mladých vedeckých pracovníkov č. UK/213/2018.

## **FENOTYPOVÁ PLASTICITA PRIEDUCHOVÝCH A LISTOVÝCH PARAMETROV *FAGUS SYLVATICA***

### ***PHENOTYPIC PLASTICITY OF STOMATA AND LEAF PARAMETERS OF FAGUS SYLVATICA***

Peter Petrik, Anja Petek, Alena Konôpková, Peter Fleischer, Daniel Kurjak

Technická Univerzita vo Zvolene, Katedra integrovanej ochrany lesa a krajiny, T. G. Masaryka 24,  
96001 Zvolen, peterpetrik94@gmail.com

#### ***Summary***

Is the original genotype creating static normative morphology or are individual provenances responsive and plastic to the new environment? In this paper, we measured variety of stomatal and leaf characteristics: stomatal density (SD), length of guard cell (LA), width of guard cell (WA), Stomatal Pore Index (SPI), leaf area (Sleaf), dry mass of leaf (mleaf), specific leaf area (SLA). We are evaluating data from two provenance sites located in Slovakia and Czech Republic. The relations between leaf parameters and climatic values of provenance origin places were examined. The final part was assessment of phenotypic plasticity of individual provenances. We used Phenotypic Plasticity Index (PIv) and Relative Distance Plasticity Index (RDPI).

*Key words:* European beech, *Fagus sylvatica*, provenance, stomatal traits, leaf traits, phenotypic plasticity

#### ***Súhrn***

Vytvára pôvodný genotyp statické normatívne morfologické znaky, alebo jednotlivé proveniencie reagujú plasticky na nové prostredie? V tejto práci sme stanovovali listové a prieduchové parametre: hustota prieduchov (SD), dĺžka zatváratej bunky (LA), šírka zatváratej bunky (WA), prieduchový index (SPI), plocha listu (Sleaf), sušina listu (mleaf), špecifická plocha listu (SLA). Analyzovali sme dátá pochádzajúce z dvoch provenienčných plôch, ktoré sa nachádzajú v Slovenskej republike a v Českej republike. Skúmali sme možný vplyv klimatických faktorov v mieste pôvodu provenienčí na merané parametre. Poslednou časťou práce je určenie fenotypovej plasticity meraných parametrov jednotlivých provenienčí. Použili sme index fenotypovej plasticity (PIV) a index plasticity so zakomponovanou relatívnou vzdialenosťou (RDPI).

*Kľúčové slová:* buk lesný, *Fagus sylvatica*, proveniencia, prieduchové parametre, listové parametre, fenotypová plasticita

## **ÚVOD**

Buk lesný je najrozšírenejšou drevinou v strednej Európe /1/ a taktiež najzastúpenejšou drevinou na území Slovenskej republiky /2/. Klimatické modely pre strednú Európu predpovedajú zvýšenie priemerných teplôt, ktoré následne vyvolajú intenzívne letné suchá /3/. Kombinácia teplotného stresu a stresu zo sucha môže zapríčiniť zníženie stability lesných ekosystémov. Populácie buka lesného, ktoré majú listové a prieduchové parametre zvyšujúce odolnosť voči teplotnému stresu a stresu zo sucha, budú mať teda evolučnú výhodu /4/. Jedným zo spôsobov ako zmierniť vplyv globálnej klimatickej zmeny, môže byť použitie nepôvodných provenienčí v lesníckej praxi. Analýza meraných parametrov nám poskytne

informácie, z ktorých môžeme určiť, do akej miery sú jednotlivé provenienie potenciálne odolné voči stresu zo sucha.

## MATERIÁL A METÓDA

Vzorky boli odoberané na dvoch klimaticky kontrastných provenienčných plochách buka lesného (*Fagus sylvatica* L.): Tále v Slovenskej republike ( $48^{\circ}38' S\ddot{S}$ ,  $19^{\circ}02' VD$  810 m n.m.) a Zbraslav v Českej republike ( $49^{\circ}57' S\ddot{S}$ ,  $14^{\circ}22' VD$ , 360 m n.m.). Pre každú provenieniu sme odoberali listy z troch jedincov v dvoch blokoch a urobili dva otlačky na jedinca, čo je spolu dvanásť otlačkov na provenieniu. Z každého otlačku sme urobili 12 fotografií pomocou mikroskopu Motic BA210 s integrovanou kamerou (Motic Electric, Austria). Taktiež sme merali plochu a hmotnosť sušiny listov. Z nameraných parametrov boli odvodené parametre: prieduchový index /5/, SLA, a indexy plasticity /6, 7/.

Na štatistickú analýzu sme použili softvérové štatistické produkty Statistica 12 (Stat Soft. Inc, USA), R (R Core Team) a XLstat (Addinsoft). Na dvojfaktorovú analýzu variancie bol použitý softvér R. Vzťahy meraných parametrov a klimatických faktorov v mieste pôvodu boli modelované pomocou analýzy hlavných komponentov (PCA) v programe Statistica. Analýza hlavných komponentov bola urobená z kovariančných matíc. Táto matica bola vytvorená z transformovaných dát pomocou plug-inu XLstat. Nakoniec sme vyhodnotili cluster analýzu vychádzajúcu z euklidovskej vzdialenosť pre plasticitu proveniení v softvéri Statistica.

## VÝSLEDKY A DISKUSIA

Výsledky dvojfaktorovej analýzy variancie sú uvedené v tabuľke 1. V tejto analýze sú faktormi provenienie, provenienčné plochy a ich kombinovaný vplyv (interakcia). Vo všetkých prípadoch sa u meraných parametrov preukázali štatisticky významné rozdiely medzi provenieniami a aj provenienčnými plochami. Potvrdil sa teda vplyv dedičnosti testovaných znakov, ktoré formovali podmienky pôvodu, ako aj aklimácia stromov na rozdielne podmienky v mieste výsadby.

Prostredie s nižšou vlhkosťou indukuje zníženie hustoty prieduchov u listov a tvorbu kratších zatváracích buniek prieduchov /8, 9, 10/. Potvrdili sme podobné výsledky pri porovnaní proveniení zo slovenskej aj českej provenienčnej plochy. Vo všetkých prípadoch bola hustota prieduchov a dĺžka zatváracích buniek nižšia u proveniení rastúcich na českej ploche.

Tab. 1: Výsledky dvojfaktorovej analýzy variancie

faktor	parameter	L <sub>A</sub>	SD	W <sub>A</sub>	S <sub>leaf</sub>	m <sub>leaf</sub>
Proveniencia	F	57,95	17,65	6,19	10,83	3,79
	P	***	***	***	***	**
Plocha	F	1771,5	457,4	204,16	21,58	31,348
	P	***	***	***	***	***
Proveniencia × Plocha	F	18,09	4,642	29,23	3,92	2,72
	P	***	***	***	***	*

označenie významnosti vzťahu: \*\*\* = 0,001; \*\* = 0,01; \* = 0,05

Vstupným dátovým súborom pre analýzu hlavných komponentov bola kovariačná matica 74 faktorov a štyroch hlavných parametrov (LA, SD, SPI, SLA). Náš model s tromi hlavnými komponentami kumulatívne vysvetľuje 97,06% variancie. Hlavnými zložkami týchto vektorov sú: suma zrážok počas vegetačnej sezóny, minimálna teplota počas vegetačnej sezóny, priemerná teplota počas vegetačnej sezóny, zemepisná dĺžka, izothermalita

a sezónnosť teplôt. Všetky komponenty sú štatisticky významné vo vzťahu ku modelovaným parametrom (Tab. 2). Dostupnosť vody je podľa /11/ hlavný selekčný faktor u buka lesného a pôdne a geo-topografické faktory nehrajú u buka tak významnú rolu pri selekcii ako pôdna vlhkosť. Význam sumy zrážok za vegetačné obdobie pre formovanie priduchových charakteristík sa potvrdil aj v našej štúdii.

Tab. 2: *Vlastné hodnoty (eigenvalues) a hodnota variancie, ktorú komponenty vysvetľujú*

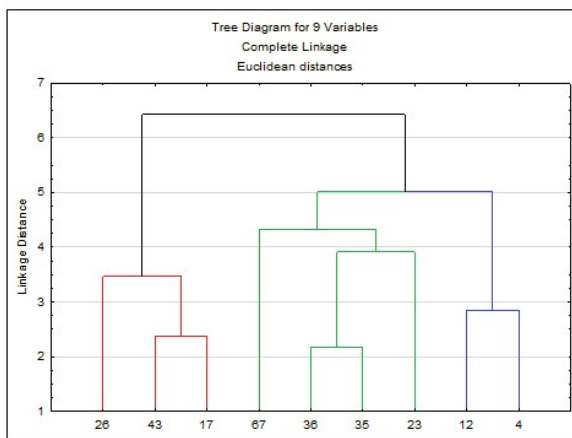
	<b>komponent 1</b>	<b>komponent 2</b>	<b>komponent 3</b>
<b>Eigenvalue</b>	0,519571	0,075959	0,016106
<b>Variancia %</b>	82,45729	12,05483	2,55609
<b>Cumulatívna variancia %</b>	82,45729	94,51212	97,06821
<b>Signifikancia</b>	S	S	S

Tab. 3: *Indexy plasticity vypočítané z rozdielov medzi hodnotami parametrov zo slovenskej a českej provenienčnej plochy*

<b>prov.</b>	<b><math>PI_{LA}</math></b>	<b><math>PI_{SD}</math></b>	<b><math>PI_{SPI}</math></b>	<b><math>PI_{SLA}</math></b>	<b><math>RDPI_{LA}</math></b>	<b><math>RDPI_{SD}</math></b>	<b><math>RDPI_{SPI}</math></b>	<b><math>RDPI_{SLA}</math></b>
<b>FR4</b>	0,18	0,34	0,55	0,34	0,10	0,21	0,38	0,68
<b>LUX12</b>	0,18	0,18	0,45	0,24	0,10	0,18	0,32	0,50
<b>GB17</b>	0,14	0,30	0,48	0,25	0,07	0,10	0,27	0,15
<b>SWE23</b>	0,09	0,25	0,38	0,39	0,15	0,25	0,35	0,17
<b>DEN26</b>	0,10	0,14	0,30	0,28	0,05	0,07	0,18	0,17
<b>AU35</b>	0,12	0,34	0,48	0,07	0,06	0,20	0,32	0,08
<b>AU36</b>	0,11	0,38	0,50	0,36	0,06	0,23	0,35	0,18
<b>PL43</b>	0,14	0,19	0,40	0,01	0,07	0,11	0,24	0,02
<b>PL67</b>	0,06	0,32	0,39	0,49	0,03	0,19	0,24	0,38

$PI_{LA}$  – index plasticity dĺžky zatváracích buniek,  $PI_{SD}$  – index plasticity hustoty prieduchov,  $PI_{SPI}$  – index plasticity prieduchového indexu,  $PI_{SLA}$  – index plasticity špecifickej listovej plochy,  $RDPI_{LA}$  – Index plasticity so zakomponovanou relatívnou vzdialenosťou dĺžky zatváracích buniek,  $RDPI_{SD}$  – Index plasticity so zakomponovanou relatívnou vzdialenosťou hustoty prieduchov,  $RDPI_{SPI}$  – Index plasticity so zakomponovanou relatívnou vzdialenosťou prieduchového indexu,  $RDPI_{SLA}$  – Index plasticity so zakomponovanou relatívnou vzdialenosťou špecifickej listovej plochy

Cluster analýza rozdelila proveniencie do troch samostatných skupín. Proveniencie GB17, DEN26 a PL43 z prvej skupiny sú mierne plastické iba v parametri prieduchový index a vykazujú nízku plasticitu v ostatných parametroch. Proveniencie SWE23, AU35, AU36 a PL67 z druhej skupiny sú mierne plastické vo viacerých parametroch, menovite: prieduchový index, hustota prieduchov a špecifická listová plocha. Proveniencie FR4 a LUX12 z tretej skupiny sú vysoko plastické v parametri špecifická listová plocha a mierne plastické pri hustote prieduchov a prieduchovom indexe. Žiadna proveniencia nebola plastická v dĺžke zatváracích buniek (Tab. 3, Obr. 1). Podobné výsledky plasticity sa nachádzajú aj v práci ktorá analyzuje proveniencie na srbskej provenienčnej ploche /5/.



Obr. 1 Diagram cluster analýzy pre fenotypovú plasticitu

## LITERATÚRA

- /1/ Ellenberg, H.: Vegetation Mitteleuropas mit den Alpen, 5, 1996: 1095–1097
- /2/ Kovats, R.S., Valentini R., Bouwer L.M., Georgopoulou E., Jacob D., Martin E., Rounsevell M., Soussana F.: Climate Change 2014: Impacts, Adaptation, and Vulnerability. Part B: Regional Aspects. Fifth Assessment Report of the Intergovernmental Panel on Climate Change, 2015: 1267–1326
- /3/ Moravčík, M., Kovalčík, M., Bednárová, D., Halvoň, L., Kaštík, P., Kunca, A., Longauerová, V., Miková, A., Oravec, M., Pajtík, J., Pavlenda, P., Sarvašová, Z., Schwarz, M.: Stav a vývoj lesov. Zelená správa, 2017: 10–11
- /4/ Geßler, A., Keitel, C., Kreuzwieser, J., Matyssek, R., Seiler, W., and Rennenberg, H.: Potential risks for European beech (*Fagus sylvatica* L.) in a changing climate. Trees, 21, 2006: 1–11
- /5/ Stojnić, S., Orlović, S., Trudić, B., Živković, U., von Wuehlisch, G., and Miljković, D.: Phenotypic plasticity of European beech (*Fagus sylvatica* L.) stomatal features under water deficit assessed in provenance trial. Dendrobiology 73, 2015: 163–173
- /6/ Valladares, F., Wright, S.J., Lasso, E., Kitajima, K., and Pearcy, R.W.: Plastic phenotypic response to light of 16 congeneric shrubs from a panamanian rainforest. Ecology, 81, 2000: 1925–1936
- /7/ Valladares, F., Sanchez-Gomez, D., and Zavala, M.A.: Quantitative estimation of phenotypic plasticity: bridging the gap between the evolutionary concept and its ecological applications. Journal of Ecology, 94, 2006: 1103–1116
- /8/ Bakker, J.C.: Effects of humidity on stomatal density and its relation to leaf conductance. Scientia Horticulturae, 48, 1991: 205–212
- /9/ Casson, S., and Gray, J.E.: Influence of environmental factors on stomatal development. New Phytologist, 178, 2008: 9–23
- /10/ Jordan, G.J., Carpenter, R.J., Koutoulis, A., Price, A., and Brodribb, T.J.: Environmental adaptation in stomatal size independent of the effects of genome size. New Phytologist, 205, 2015: 608–617
- /11/ Frank, A., Pluess, A.R., Howe, G.T., Sperisen, C., and Heiri, C.: Quantitative genetic differentiation and phenotypic plasticity of European beech in a heterogeneous landscape: Indications for past climate adaptation. Perspectives in Plant Ecology, Evolution and Systematics, 26, 2017: 1–13

## Poděkovanie

Uvedená práce vznikla za finančnej podpory APVV-0135-12 a APVV-0744-12.

## VLIV NÍZKÝCH TEPLIT NA VÝMĚNU PLYNŮ JUVENILNÍCH ROSTLIN MÁKU SETÉHO (*PAPAVER SOMNIFERUM* L.)

### ***THE CHANGES OF GAS EXCHANGE BY JUVENILIE PLANST OF OPIUM POPPY (*PAPAVER SOMNIFERUM* L.) UNDER LOW TEMPERATURE STRESS***

František Hnilička<sup>1</sup>, Margita Kuklová<sup>2</sup>, Jiří Kudrna<sup>1</sup>, Ivica Pivková<sup>2</sup>, Helena Hniličková<sup>1</sup>, Ján Kukla<sup>2</sup>, Katarína Sládeková<sup>2</sup>

<sup>1</sup> Česká zemědělská univerzita v Praze, Katedra botaniky a fyziologie rostlin, Kamýcká 129, 165 21 Praha 6 – Suchdol, Česká republika, hnilicka@af.czu.cz

<sup>2</sup> Ústav ekológie lesa SAV, L. Štúra 2, 960 53 Zvolen, SR, kuklova@ife.sk

#### *Summary*

The object of this thesis is to study the effect of low temperatures, gas exchange in a selected range of 18 varieties of opium poppy. Plants were grown under controlled conditions in grow chamber Conviron E8. Before starting the experiment and after regeneration, the temperature was at 10 °C during day and 5 °C over night. The experiment was initiated in phase of rosette development. At this developmental stage were the plants exposed to temperatures -5 °C over night and 10 °C during the day. The obtained results show that the influence of low temperature causes increase of rate of gas exchange. The genotypes Buddha and Opex non significant reduced the rate of photosynthesis, but the genotypes Orbis and Akvarel significant reduced photosynthesis rate under low temperature. The genotypes Tatranský, Maraton and Albín reduced the transpiration rate under low temperature stress. Control winter-crop variety Zeno increased the gas exchange under stress conditions. After regeneration were affected all genotypes of poppy increased the rate exchange. Most sensitive to low temperature were varieties Orfeus, Postomi, Akvarel, Orbis, Sokol and Marianne. As less sensitive to stress caused by low temperature seems to be spring varieties Opex, Buddha, Korneuburger Weisser, Albín.

**Key words:** opium poppy; *Papaver somniferum*; genotype; low temperature; photosynthesis; transpiration

#### *Souhrn*

Cílem práce bylo studium vlivu mrazové teploty (mrazové) na rychlosť výmeny plynov u 18 odrôd máku setého. Rostliny boli pestované v riadených podmienkach klimabodu Conviron E8. Pred začatím experimentu a v dobe regenerácie bola teplota v deň 10 °C a v noci 5 °C. Pokus bol zahájen v fáze podzemnej rôzice listov. V tejto vývojovej fáze boli rostliny vystavené teplotám -5 °C v noci a 10 °C v deň. Ze získaných výsledkov vyplýva, že vlivom pôsobenia nízké teploty dochádzí u všetkých jarých odrôd máku k sníženiu výmeny plynov. Nepríkazne snížily rychlosť fotosyntézy odrôdy Budha a Opex. Naopak príkazne sníženie rychlosť fotosyntézy bolo stanovené u odrôd Orbis a Akvarel. Sníženie transpirácie bolo zaznamenané u odrôd Tatranský, Maraton a Albín. V prípade ozimé odrôdy Zeno sa rychlosť výmeny plynov i v nízkych teplotách zvyšovala. Na regeneráciu reagovaly všetky odrôdy zvýšením fotosyntézy a transpirácie, pričom u odrôd, ktoré citlivé reagovaly na nízkou teplotu, nebylo dosaženo hodnot z počiatku pokusu. Jako tolerantné na nízkou teplotu sa jeví odrôdy Albín, Opex, Budha, Korneuburger Weisser a ozimá odrôda máku Zeno a ako citlivé odrôdy Orfeus, Marianne, Postomi, Orbis, Akvarel a Sokol.

*Klíčová slova: mák setý; Papaver somniferum; genotypy; nízká teplota; fotosyntéza; transpirace*

## ÚVOD

Mák setý (*Papaver somniferum* L.) je starou kulturní rostlinou, která se pěstuje nejenom jako farmaceuticky významná plodina, ale také jako potravinářská plodina. V produkci makového semene patří Česká republika společně s Čínou, Indií a Tureckem k největším světovým producentům /1, 2/, i přestože pěstování máku je regulováno legislativními opatřeními /3/. Podle /4/ se totiž v České republice spotřebuje ročně cca 3,5 tisíce tun makového semene, přičemž roční produkce se pohybuje kolem 17 tisíc tun.

V České republice se smí pěstovat jen odrůdy se sníženým obsahem morfinu (cca 0,5 % morfinu v sušině tobolek), přičemž se jedná především o jařiny, neboť v sortimentu povolených odrůd jsou ozimy zastoupeny pouze odrůdami Zeno a Zeno plus. Vzhledem k tomu, že se mák poměrně brzy vysévá, tak existuje reálný předpoklad odolnosti juvenilních rostlin k nízkým teplotám. Vašák a kol. (2010) /5/ uvádí, že do nástupu rychlého růstu snáší jarní mák nízké teploty. Během vzcházení rostlinky máku krátkodobě odolávají teplotám -6 °C až -8 °C.

Poté dle /6/ zvyšují rostliny svou odolnost proti nízkým teplotám. Toto období trvá do fáze vytvoření listové růžice, vývinu 8 - 10 listů. Jakmile však začne dlouživý růst lodyhy, což bývá po 45-60 dnech od vzejtí, tato odolnost se velmi výrazně snižuje a rostliny hynou již při -2 až -3 °C.

Na základě těchto údajů bylo cílem této práce stanovit nejenom vliv genotypu na změnu rychlosti výměny plynů juvenilních rostlin máku po působení nízkou teplotou, ale také stanovit její vliv na tyto fyziologické parametry.

## MATERIÁL A METODIKA

Jako pokusný materiál bylo zvoleno 18 odrůd máku setého (*Papaver somniferum* L.) s rozdílným obsahem morfinu a rozdílnou barvou semen: Akvarel, Albín, Aplaus, Buddha, Florián, Korneuburger Weisser, Lazur, Major, Maratón, Marianne, Opál, Opex, Orbis, Orfeus, Postomi, Sokol, Tatranský a Zeno. Osivo sledovaných odrůd máku bylo dodáno z GB Oseva Pro s r.o., o. z. VÚO Opava a z firmy Český mák.

Rostliny máku setého byly po jedné pěstovány v nádobách o velikosti 7,5 x 7,5 cm, jako pěstební medium byla zvolena směs zahradního substrátu A s křemičitým pískem v poměru 2:1. Pěstební nádoby byly umístěny do řízených podmínek klimaboku Conviron E8.

Před zahájením pokusu byla teplota ve dne 10 °C a v noci 5 °C. Při zahájení pokusu, když byly rostliny ve fázi tvorby přízemní růžice listů, byla nastavena teplota v noci na -5 °C a ve dne na 10 °C. Vlivu mrázové teplotě byly rostliny vystaveny po dobu jednoho týdne. Po uplynutí této doby byla teplota v noci opět zvýšena na +5 °C. Světelný režim (fotoperioda) po celou dobu pokusu byl 13 hodin světla a 11 hodin tmy. Maximální hodnota ozářenosti byla 800 µmol.

U juvenilních rostlin máku byla ve dvou denních intervalech měřena rychlosť fotosyntézy a transpirace. Rychlosť výměny plynů byla měřena přenosným infračerveným analyzátem plynů LCpro+ (ADC BioScientific Ltd.). Teplota v měřící komůrce byla během měřících cyklů 15 °C ± 2 °C a hustota ozářenosti 800 µmol m<sup>-2</sup> s<sup>-1</sup>.

Statistická analýza dat se uskutečnila pomocí softwaru STATISTICA, verze 11 (StatSoft Inc.).

## VÝSLEDKY A DISKUSE

V tabulce 1 je uvedena rychlosť vybraných odrôd máku setého v závislosti na pôsobení nízké teploty. Z uvedené tabuľky vyplývajú rozdiely v rychlosti fotosyntézy jednotlivých odrôd máku setého. Príkazne nejnižšia rychlosť fotosyntézy ze sledovaných odrôd máku setého v juvenilnej fáze vývoja vykazovaly napr. odrôdy Marianne ( $4,48 \text{ } \mu\text{mol CO}_2 \text{ m}^{-2} \text{ s}^{-1}$ ), Buddha ( $4,51 \text{ } \mu\text{mol CO}_2 \text{ m}^{-2} \text{ s}^{-1}$ ) a Opál ( $4,70 \text{ } \mu\text{mol CO}_2 \text{ m}^{-2} \text{ s}^{-1}$ ). Naopak najvyššia průměrná fotosyntéza bola zjištěna u odrôd Florián ( $5,68 \text{ } \mu\text{mol CO}_2 \text{ m}^{-2} \text{ s}^{-1}$ ), Orfeus ( $5,70 \text{ } \mu\text{mol CO}_2 \text{ m}^{-2} \text{ s}^{-1}$ ) a Zeno ( $6,65 \text{ } \mu\text{mol CO}_2 \text{ m}^{-2} \text{ s}^{-1}$ ). Rozdiely v rychlosti fotosyntézy v závislosti na genotypu uvádzajú napr. /7/ pro rýži, /8/ pro pšenici, /9/ pro řepku.

Pred začatím pokusu bola fotosyntéza juvenilných rostlin máku nejnižšia u odrôd Buddha ( $4,61 \text{ } \mu\text{mol CO}_2 \text{ m}^{-2} \text{ s}^{-1}$ ) a Marianne ( $4,88 \text{ } \mu\text{mol CO}_2 \text{ m}^{-2} \text{ s}^{-1}$ ), zatiaľco u odrôd Zeno ( $6,26 \text{ } \mu\text{mol CO}_2 \text{ m}^{-2} \text{ s}^{-1}$ ) a Orfeus ( $6,06 \text{ } \mu\text{mol CO}_2 \text{ m}^{-2} \text{ s}^{-1}$ ) najvyššia. Po dnech pôsobení teploty  $-5^\circ\text{C}$  bolo u väčšiny sledovaných odrôd máku zaznamenané sníženie fotosyntézy v porovnaní s predchádzajúcim märením v průměru o  $0,21 \text{ } \mu\text{mol CO}_2 \text{ m}^{-2} \text{ s}^{-1}$  (3,93 %).

Nepríkazné zvýšenie rychlosť fotosyntézy po dnech pôsobení nízké teploty bolo zaznamenané u odrôdy Zeno a u odrôdy Opex se rychlosť fotosyntézy nesnížila. U zbyvajúcich odrôd se naopak rychlosť fotosyntézy snížila. Nejnižšie sníženie fotosyntézy vykazovaly odrôdy Buddha a Lazur, u nichž bola rychlosť fotosyntézy  $4,52 \text{ } \mu\text{mol CO}_2 \text{ m}^{-2} \text{ s}^{-1}$  a  $4,95 \text{ } \mu\text{mol CO}_2 \text{ m}^{-2} \text{ s}^{-1}$ . Najvyššie sníženie fotosyntézy bolo stanovené u odrôd Marianne ( $4,49 \text{ } \mu\text{mol CO}_2 \text{ m}^{-2} \text{ s}^{-1}$ ) a Opál ( $4,69 \text{ } \mu\text{mol CO}_2 \text{ m}^{-2} \text{ s}^{-1}$ ), jak dokladá tab. 1.

Tab. 1.: Rychlosť fotosyntézy ( $\mu\text{mol CO}_2 \text{ m}^{-2} \text{ s}^{-1}$ ) juvenilných rostlin máku setého v závislosti na dĺžke pôsobení mrazové teploty  $-5^\circ\text{C}$  a následné regeneraci.

odrôda	Den pokusu			
	0. den	2. den	6. den	11. den
Orfeus	$6,06 \pm 0,25$	$5,70 \pm 0,21$	$5,21 \pm 0,33$	$5,82 \pm 0,40$
Marianne	$4,88 \pm 0,19$	$4,49 \pm 0,18$	$4,15 \pm 0,27$	$4,39 \pm 0,31$
Postomi	$5,66 \pm 0,25$	$5,38 \pm 0,25$	$4,98 \pm 0,43$	$5,32 \pm 0,41$
Orbis	$5,38 \pm 0,33$	$5,06 \pm 0,27$	$4,47 \pm 0,37$	$4,90 \pm 0,43$
Akvarel	$5,36 \pm 0,24$	$5,24 \pm 0,24$	$4,40 \pm 0,29$	$4,77 \pm 0,19$
Sokol	$5,57 \pm 0,25$	$5,46 \pm 0,17$	$4,85 \pm 0,26$	$5,12 \pm 0,28$
Tatranský	$5,69 \pm 0,16$	$5,00 \pm 0,15$	$5,29 \pm 0,29$	$5,41 \pm 0,33$
Maraton	$5,15 \pm 0,28$	$5,15 \pm 0,28$	$4,74 \pm 0,18$	$4,84 \pm 0,52$
Aplaus	$5,24 \pm 0,25$	$4,98 \pm 0,24$	$4,77 \pm 0,35$	$4,82 \pm 0,34$
Lazur	$5,05 \pm 0,21$	$4,95 \pm 0,21$	$4,70 \pm 0,39$	$4,75 \pm 0,23$
Major	$5,36 \pm 0,26$	$5,04 \pm 0,24$	$4,82 \pm 0,29$	$4,93 \pm 0,42$
Opál	$5,10 \pm 0,19$	$4,69 \pm 0,18$	$4,44 \pm 0,40$	$4,59 \pm 0,38$
Florián	$5,47 \pm 0,26$	$5,31 \pm 0,21$	$5,09 \pm 0,44$	$6,84 \pm 0,43$
Albín	$5,52 \pm 0,36$	$5,46 \pm 0,29$	$5,30 \pm 0,44$	$5,41 \pm 0,21$
Opex	$4,89 \pm 0,24$	$4,89 \pm 0,31$	$4,79 \pm 0,31$	$4,79 \pm 0,27$
Buddha	$4,61 \pm 0,26$	$4,52 \pm 0,19$	$4,43 \pm 0,37$	$4,47 \pm 0,53$
Korneuburger Weisser	$4,95 \pm 0,32$	$4,80 \pm 0,14$	$4,70 \pm 0,43$	$4,85 \pm 0,24$
Zeno	$6,26 \pm 0,36$	$6,32 \pm 0,24$	$6,57 \pm 0,35$	$7,45 \pm 0,51$

Z ní ďalej vyplýva, že na konci mrazového obdobia sa ďalej rychlosť fotosyntézy u väčšiny sledovaných odrôd snížovala. Výnimku tvorí ozimá odrôda Zeno, u ktoréj sa naopak rychlosť fotosyntézy v porovnaní s začiatkom pokusu zvýšila o  $0,31 \text{ } \mu\text{mol CO}_2 \text{ m}^{-2} \text{ s}^{-1}$ . Z testovaného sortimentu odrôd nepríkazné snížily rychlosť fotosyntézy odrôdy Buddha a Opex. Naopak príkazné sníženie rychlosť fotosyntézy bolo stanovené u odrôd Orbis a Akvarel.

Na regeneraci reagovaly všechny odrůdy zvýšením fotosyntézy, přičemž u odrůd, které citlivě reagovaly na nízkou teplotu, nebylo dosaženo hodnot z počátku pokusu. Pouze u odrůd Florián a Zeno se rychlosť fotosyntézy průkazně zvýšila na hodnoty  $6,84 \text{ } \mu\text{mol CO}_2 \text{ m}^{-2} \text{ s}^{-1}$  a  $7,45 \text{ } \mu\text{mol CO}_2 \text{ m}^{-2} \text{ s}^{-1}$ . Snížení rychlosť fotosyntézy v závislosti na působení nízkou teplotou v důsledku poklesu vodního potenciálu a následně uzavíráním průduchů /10/. Podle /11, 12/ je rychlosť fotosyntézy ovlivněna teplotou. Tento závěr byl potvrzen, neboť u mrazové teploty bylo zaznamenáno snížení fotosyntézy ve srovnání s teplotou nad bodem mrazu. Shodně s výsledky /13/ je možné konstatovat, že velmi důležitá je také doba, po kterou nízká teplota působí. Rozdílná reakce rostlin na stres je potvrzena pracemi /14, 15/. Podle /13/ se fotosyntéza vrátí na původní úroveň tím dříve, čím kratší dobu byly rostliny vystaveny nízkým teplotám. Tento závěr nebyl potvrzen.

Změny rychlosť transpirace juvenilních rostlin máku v závislosti na působení nízké teploty a následné regenerace jsou zaznamenány v tabulce 2. Z uvedené tabulky je patrné, že transpirace se na počátku pokusu pohybovala v intervalu hodnot od  $0,29 \text{ mmol H}_2\text{O m}^{-2} \text{ s}^{-1}$  (Zeno) do  $0,56 \text{ mmol H}_2\text{O m}^{-2} \text{ s}^{-1}$  (Tatranský), přičemž průměrná hodnota transpirace je  $0,41 \text{ mmol H}_2\text{O m}^{-2} \text{ s}^{-1}$ .

*Tab. 2.: Rychlosť transpirace ( $\text{mmol H}_2\text{O m}^{-2} \text{ s}^{-1}$ ) juvenilních rostlin máku setého v závislosti na délce působení mrazové teploty  $-5^\circ\text{C}$  a následné regeneraci.*

odrůda	Den pokusu			
	0. den	2. den	6. den	11. den
Orfeus	$0,42 \pm 0,03$	$0,36 \pm 0,04$	$0,43 \pm 0,08$	$0,47 \pm 0,06$
Marianne	$0,34 \pm 0,02$	$0,30 \pm 0,02$	$0,22 \pm 0,04$	$0,44 \pm 0,03$
Postomi	$0,38 \pm 0,06$	$0,32 \pm 0,03$	$0,29 \pm 0,02$	$0,35 \pm 0,04$
Orbis	$0,42 \pm 0,03$	$0,31 \pm 0,04$	$0,28 \pm 0,07$	$0,37 \pm 0,03$
Akvarel	$0,44 \pm 0,05$	$0,41 \pm 0,03$	$0,28 \pm 0,03$	$0,29 \pm 0,03$
Sokol	$0,41 \pm 0,02$	$0,31 \pm 0,06$	$0,29 \pm 0,02$	$0,35 \pm 0,05$
Tatranský	$0,56 \pm 0,04$	$0,44 \pm 0,18$	$0,29 \pm 0,06$	$0,38 \pm 0,02$
Maraton	$0,45 \pm 0,05$	$0,28 \pm 0,06$	$0,21 \pm 0,04$	$0,31 \pm 0,04$
Aplaus	$0,43 \pm 0,16$	$0,29 \pm 0,02$	$0,26 \pm 0,03$	$0,35 \pm 0,12$
Lazur	$0,46 \pm 0,11$	$0,30 \pm 0,06$	$0,25 \pm 0,19$	$0,36 \pm 0,02$
Major	$0,32 \pm 0,04$	$0,28 \pm 0,13$	$0,26 \pm 0,03$	$0,29 \pm 0,18$
Opál	$0,32 \pm 0,13$	$0,29 \pm 0,04$	$0,24 \pm 0,16$	$0,26 \pm 0,03$
Florián	$0,47 \pm 0,05$	$0,45 \pm 0,04$	$0,31 \pm 0,09$	$0,43 \pm 0,03$
Albín	$0,52 \pm 0,06$	$0,33 \pm 0,12$	$0,28 \pm 0,16$	$0,31 \pm 0,05$
Opex	$0,39 \pm 0,08$	$0,31 \pm 0,16$	$0,27 \pm 0,03$	$0,29 \pm 0,03$
Buddha	$0,35 \pm 0,02$	$0,31 \pm 0,09$	$0,29 \pm 0,11$	$0,26 \pm 0,08$
Korneuburger Weisser	$0,38 \pm 0,04$	$0,30 \pm 0,04$	$0,30 \pm 0,02$	$0,26 \pm 0,04$
Zeno	$0,29 \pm 0,03$	$0,42 \pm 0,05$	$0,44 \pm 0,06$	$0,65 \pm 0,06$

Po dvou dnech působení mrazové teploty  $-5^\circ\text{C}$  bylo u všech sledovaných odrůd zaznamenáno statisticky průkazně snížení rychlosť transpirace ve srovnání s předcházejícím termínem měření. Nejvýraznější snížení transpirace bylo zjištěno např. u odrůd: Orbis (snížení o  $0,11 \text{ mmol H}_2\text{O m}^{-2} \text{ s}^{-1}$ ), Sokol (snížení o  $0,10 \text{ mmol H}_2\text{O m}^{-2} \text{ s}^{-1}$ ) a Tatranský (snížení o  $0,12 \text{ mmol H}_2\text{O m}^{-2} \text{ s}^{-1}$ ). Na straně druhé nejnižší pokles transpirace na počátku působení nízké teploty bylo naměřeno u odrůd Florián ( $0,45 \text{ mmol H}_2\text{O m}^{-2} \text{ s}^{-1}$ ), Akvarel ( $0,41 \text{ mmol H}_2\text{O m}^{-2} \text{ s}^{-1}$ ) a Marianne ( $0,30 \text{ mmol H}_2\text{O m}^{-2} \text{ s}^{-1}$ ). Výjimku z tohoto trendu vykazuje odrůda Zeno, u níž se naopak rychlosť transpirace zvýšila o  $0,13 \text{ mmol H}_2\text{O m}^{-2} \text{ s}^{-1}$  na hodnotu  $0,42 \text{ mmol H}_2\text{O m}^{-2} \text{ s}^{-1}$ . Obdobně jako v případě rychlosť fotosyntézy byl

potvrzen genotypový rozdíl také v rychlosti transpirace. Uvedený závěr potvrzuje např. práce /16, 17/, /18/ pro čiroky a /8/ pro pšenice.

Z tabulky 2 je dále patrné, že na konci působení mrazové teploty (6. den) se rychlosť transpirace u téměř všech sledovaných odrůd máku snížovala. U odrůd Zeno a Orfeus se rychlosť transpirace zvýšila o  $0,07 \text{ mmol H}_2\text{O m}^{-2} \text{ s}^{-1}$  a  $0,02 \text{ mmol H}_2\text{O m}^{-2} \text{ s}^{-1}$ . Uvedené zvýšení bylo průkazné pouze u odrůdy Orfeus. Průkazné snížení rychlosťi transpirace bylo zjištěno u odrůd Tatranský, Maraton a Albín. Po opětovném navození teploty  $5^\circ\text{C}$  se rychlosť transpirace zvýšovala, ale nedosáhla hodnot na počátku pokusu. Pouze u odrůd Orfeus, Marianne a Zeno byla transpirace na konci pokusu vyšší nežli na jeho počátku, jak dokládá tab. 2. Vliv teploty na rychlosť transpirace potvrzuje např. /11, 16/. Tento závěr byl potvrzen, neboť u mrazové teploty bylo zaznamenáno snížení transpirace v porovnání s teplotami vyššími. Obdobně jako v případě fotosyntézy dochází ke snížení transpirace vlivem poklesu vodního potenciálu v buňkách a následnému postupnému uzavírání průduchů /10/. Rozdílná reakce rostlin na stres je potvrzena pracemi /15, 17/. Obdobně jako v případě fotosyntézy je návrat transpirace na původní úroveň závislý na délce působení stresu, jak uvádí /13/. Tento závěr opět nebyl potvrzen, neboť většina sledovaných odrůd máku měla rychlosť transpirace v době regenerace nižší než na počátku pokusu. Pouze u odrůd Orfeus, Marianne a Zeno byla transpirace vyšší.

Závěrem je možné konstatovat, že jako tolerantní na nízkou teplotu se jeví odrůdy Albín, Opex, Buddha, Korneuburger Weisser a ozimá odrůda máku Zeno. Naopak jako citlivé na nízkou teplotu se jeví odrůdy Orfeus, Marianne, Postomi, Orbis, Akvarel a Sokol.

## LITERATURA

- /1/ Özcan, M., M., Atalay, C.: Determination of seed and oil properties of some poppy (*Papaver somniferum* L.) varieties. *Grasas y aceites*. 57, 2006: 169-174.
- /2/ FAO, 2014: dostupné z [www.faostat3.fao.org](http://www.faostat3.fao.org)
- /3/ Zákon č. 167/1998 Sb. – Zákon o návykových látkách a o změně některých dalších zákonů. 1998.
- /4/ Cihlář, P., Vašák, J., Kosek, Z.: Technologie máku setého pro dvoutunové výnosy. In: Bechyně, M., Vincenc, J. (Eds.) Řepka, Mák, Hořčice, 2003: 134-141
- /5/ Vašák, J. a kol.: Mák. Praha. Powerpoint s.r.o., 2010: 352 s. ISBN 978-80-904011-8-1
- /6/ Fábry, A. a kol.: Olejiny. Praha. Mze ČR, 1992: 420 s. ISBN 80-7084-043-9.
- /7/ Ohsumi, A., Hamasaki, A., Nakagawa, H., Yoshida, H., Shiraiwa, T., Horie, T.: A Model Explaining Genotypic and Ontogenetic Variation of Leaf Photosynthetic Rate in Rice (*Oryza sativa*) Based on Leaf Nitrogen Content and Stomatal Conductance. *Annals of Botany*, 99, 2007: 265-273.
- /8/ Hnilička, F., Petr, J., Hniličková, H., Bláha, L.: The effect of abiotic stresses on rate of photosynthesis and formation of dry matter in winter wheat plants. *Scientia Agriculturae Bohemica*. 36, 2005: 1-9.
- /9/ Prášil, I., Zámečník, J.: The use of a conductivity measurement method for assessing freezing injury. I. Influence of leakage time, segment number, size and shape in a sample on evaluation of the degree of injury. Elsevier, 40, 1998: 1-10.
- /10/ Ashraf, M., Harris, P.: Abiotic stresses: plant resistance through breeding and molecular approaches. Food Products Press. New York. Crop science, 2006: 725 s.
- /11/ Larcher, W.: Physiological plant ecology: ecophysiology and stress physiology of functional groups. Springer. Berlin, 2003: 513 s.
- /12/ Kirschbaum, M. U. F.: Direct and indirect climate change effects on photosynthesis and transpiration. *Plant Biology*, 6, 2004: 242-253
- /13/ Hasselt van P. R., Wijk van C. K.: Plant-Breeding and Seed Science. 1997: 41.
- /14/ Sharkey, T. D., Seemann, J. R.: Mild water stress effects on carbon-reduction-cycle intermediates, ribulose bisphosphate carboxylase activity, and spatial homogeneity of photosynthesis in intact leaves. *Plant Physiology*, 89, 1989: 1060-1065.
- /15/ Munns, R.: Comparative physiology of salt and water stress. *Plant, Cell and Environment*, 25, 2002: 239-250.
- /16/ Siosemardeh, A., Ahmadi, A., Poustini, K., Ebrahimzadeh, H.: Stomatal and nonstomatal limitations to photosynthesis and their relationship with drought resistance in wheat cultivars. *Iranian Journal of Agricultural Sciences*, 35, 2004: 93-106.

- /17/ Flexas, J., Bota, J., Loreto, F., Cornic, G., Sharkey, T. D.: Diffusive and metabolic limitations to photosynthesis under drought and salinity in C3 plants. *Plant Biology*, 6, 2004: 269-279.
- /18/ Choudhary, S., Sinclair, T. R.: Hydraulic conductance differences among sorghum genotypes to explain variation in restricted transpiration rates. *Functional Plant Biology*, 41, 2013: 270-275.

### **Poděkování**

Uvedená práce vznikla za finanční podpory S grantu MŠMT ČR.

## ALTERNATÍVNE PRÍSTUPY BOJA SO SUCHOM

### ***ALTERNATIVE APPROACH TO THE FIGHT AGAINST DROUGHT***

Marcel Golian<sup>1</sup>, Oleg Paulen<sup>2</sup>, Miroslav Šlosář<sup>1</sup>

<sup>1</sup> Slovenská poľnohospodárska univerzita v Nitre, FZKI, Katedra zeleninárstva, Tr. Andreja Hlinku 2, 949 76 Nitra, Slovenská republika, marcel.golian1@gmail.com, +421 915 158 677

<sup>2</sup> Slovenská poľnohospodárska univerzita v Nitre, Katedra ovocinárstva vinohradníctva a vinárstva, Tr. Andreja Hlinku 2, 949 76 Nitra, Slovenská republika

#### ***Summary***

The work summarizes scientific knowledge about drought as continuously increasing problem in cultivation of agricultural crops. Less used though notorious knowledge about alternative possibilities and approaches to fight drought are presented that may contribute a lot keeping productive growths in satisfying condition.

*Key words:* *drought, agriculture, rhizobacteria*

#### ***Súhrn***

Práca sumarizuje vedecké poznatky o suchu, ako stále narastajúcemu problému pri pestovaní poľnohospodárskych plodín. Prezentuje známe, avšak málo používané poznatky o alternatívnych možnostiach a prístupoch boja proti suchu, ktoré môžu do značnej miery pomôcť udržať produkčné porasty v postačujúcej kondícii.

*Kľúčové slová:* *sucho, poľnohospodárstvo, rizobaktéria*

## **ÚVOD**

Sucho je popri iných, jedným z hlavných limitujúcich obmedzení poľnohospodárskej produkcie na celom svete a pravdepodobne bude ďalej narastať. Rôzne druhy rizobaktérií podporujúcich rast rastlín (PGPR) by mohli hrať významnú úlohu pri zmierňovaní stresu rastlín spôsobeného suchom. Tieto užitočné mikroorganizmy kolonizujú rizosféru / endorizosféru rastlín a podporujú toleranciu voči suchu tým, že produkujú exolysacharidy (EPS), fytohormóny, deaminázu 1-aminocyklopropán-1-karboxylátu (ACC), prchavé zlúčeniny indukujúce akumuláciu osmolytot, antioxidantov, regulujú prebúdzanie alebo zhásanie génov reagujúcich na stres a spôsobujú zmeny koreňovej morfológie pri získavaní tolerancie voči suchu. Termín indukovaná systémová tolerancia (IST) bol vytvorený pre fyzikálne a chemické zmeny indukované mikroorganizmami v rastlinách, vedúce k zvýšeniu tolerancie voči stresu zo sucha /1/. Rizobaktérie podporujúce rast rastlín zvyčajne uľahčujú ich rast bud' priamo formou získavania živín (dusík, fosfor a základné minerály), produkciou rastlinných hormónov alebo nepriamo znížením inhibičných účinkov rôznych patogénov na rast a vývoj rastlín. Užitočné rizobaktérie môžu znížiť globálnu závislosť od nebezpečných poľnohospodárskych chemikalií, ktoré destabilizujú agroekosystémy /2/.

## **MATERIÁL A METÓDA**

Príspevok je rešeršou aktuálnych vedeckých poznatkov z oblasti alternatívnych prístupov pri riešení problémov so stále sa zvyšujúcim vodným deficitom.

## VÝSLEDKY A DISKUSIA

Autori /3, 4/ uvádzajú, že mikroorganizmy obývajúce koreňovú zónu rastlín formujú zložitú ekologickú komunitu. Zmeny v rozložení baktérií boli pozorované pri endosfére (vo vnútri koreňa), rizosfére a okolitej pôde v porovnaní s neobrábanou pôdou pri pestovaní papriky (*Capsicum annuum* L.) citlivej na sucho v púštnych podmienkach. Skutočnosť naznačuje selektívny tlak na štruktúru mikrobiálneho spoločenstva určený aktivitou rastliny. V podobnej štúdii vykazovali rastliny papriky inokulované bakteriálnymi izolátmi z púšti vyššiu toleranciu k nedostatku vody v porovnaní s kontrolou. Očkovanie spôsobilo nárast objemu koreňového systému (až o 40%), čo zlepšilo schopnosť rastlín absorbovať vodu /5/. Zistilo sa, že táto interakcia medzi rastlinou a mikróbom je iba obmedzene špecifikovaná druhovo a baktérie podporujúce rast rastlín fungujú aj pri iných druhoch ako bol druh z ktorého koreňovej sféry boli izolované. Baktérie izolované z pôd s vyššou salinitou preukázali toleranciu proti rôznym druhom stresu a boli schopné rôznymi vzťahmi podporovať rast rastlín. To naznačuje že majú potenciál podporovať rast rastlín aj v zasolených pôdach a podmienkach stresu zo sucha /6/.

Stres so sucha je vážnym environmentálnym obmedzením poľnohospodárskej produktivity. Interakcia medzi rastlinou a PGPR v podmienkach sucha ovplyvňuje nielen rastlinu, ale tiež mení vlastnosti pôdy. Vývoj odrôd plodín odolných voči suchu prostredníctvom genetického inžinierstva a šľachtenia rastlín je nevyhnutný, ale je to časovo náročný proces, zatial čo inokulácia PGPR na zmiernenie stresu v rastlinách otvára novú kapitolu v aplikácii mikroorganizmov v poľnohospodárstve suchých pôd. Vzhľadom na to, že sú k dispozícii súčasné vedecké informácie, je potrebný zosúladený budúci výskum, pokial' ide o identifikáciu správneho druhu mikroorganizmov a riešenie otázky systémov dodávania a vyhodnocovania potenciálnych organizmov v teréne /1/.

Mechanizmy pôsobenia mikroorganizmov na korene s cieľom zmierňovania stresu rastlín sú rôzne. Priamo podporujú príjem mikroelementov a ovplyvňujú hormonálnu rovnováhu rastliny (produkcia kyseliny abscisovej (ABA), kyseliny giberelovej, kyseliny indolylooctovej), nepriamo stimulujú odolnosť proti fytopatogénom, rozkladajú prekurzor etylénu ACC čím znižujú hladinu etylénu v koreňoch stresovaných rastlín (aj v iných častiach), indukujú systémovú toleranciu rôznymi zlúčeninami produkciami exopolysacharidov /7, 8, 9, 10, 11/. Vybrané druhy baktérií (*Acinetobacter*, *Pseudomonas*) v podmienkach stresu zo sucha podporili aktivitu letorastov, biomasy listov a fotosyntetickú aktivitu. PGR sú schopné prenikať cez kôru koreňa do cievnych zväzkov, ktorými sú rozvádzané do rôznych častí rastliny a žijú ako endofyty /12/. Baktérie stimulujú rast rastlín mobilizáciou živín v pôde, produkujú rad regulátorov rastu rastlín, chránia rastliny pred fytopatogénmi tým, že ich kontrolujú alebo inhibujú, zlepšujú štruktúru pôdy a bioremediujú znečistené pôdy izoláciou toxických skupín ľažkých kovov a degradovaním xenobiotických zlúčenín (napr. pesticídy) /13, 14, 15, 16/. V súčasnosti získavajú biologické prístupy na zlepšenie pestovania plodín silné postavenie medzi agronómami a ekológmi. V tejto súvislosti existuje celosvetový prebiehajúci výskum s cieľom preskúmať širokú škálu rizobaktérií, ktoré majú nové vlastnosti ako detoxikačné činitele ľažkých kovov /17, 18/, degradácia/tolerancie pesticídov /19/, tolerancia zasolenosti /20/21/, biologická kontrola patogénov a hmyzu /22, 23/ súčasne s normálnymi vlastnosťami podporujúcimi rast rastlín a teda produkujú látky ako sú fytohormóny /24, 25/, siderofor /26, 27/, 1-aminocyklopropan-1-karboxylovej kyseliny, kyanovodík (HCN), amoniak /28/ a tiež fosfáty rozpúšťajúcich baktérií /29/ a ďalšie. Práve z tohto dôvodu sú rozmanité symbiotické (*Rhizobium*, *Bradyrhizobium*, *Mesorhizobium*) a nesymbiotické baktérie (*Pseudomonas*, *Bacillus*, *Klebsiella*, *Azotobacter*, *Azospirillum*, *Azomonas*) a rizobaktérie po celom svete používané ako biopreparáty na podporu rastu a vývoja rastlín.

Je známe, že chemikálie, ktoré sú vylučované koreňmi rastlín do pôdy, sú všeobecne nazývané ako koreňové exudáty. Exudácia širokého spektra chemických zlúčenín upravuje chemické a fyzikálne vlastnosti pôdy a tak reguluje štruktúru pôdnej mikrobiálnej komunity v bezprostrednej blízkosti koreňového povrchu /30/. V skutočnosti niektoré exudáty pôsobia ako repellenty proti mikroorganizmom, zatiaľ čo iné pôsobia ako ich atraktanty. Zloženie týchto exudátov závisí od fyziologického stavu a druhu rastlín a mikroorganizmov /31/. Navyše tieto exudáty podporujú symbiotické interakcie medzi rastlinami a inhibujú rast konkurenčných rastlinných druhov /1, 32/.

Endofytické baktérie indukujú odolnosť až toleranciu abiotického stresu, a to nielen stresu zo sucha, ale aj chladového stresu a stresu so zvýšenej salinity prostredia /33/. Trojité mutualistická symbióza zahrnujúca vírus, endofytickú hubu a kolonizovanú rastlinu pri vyvolaní tolerancie vysokých teplôt ukázala, že keď bola huba zbavená vírusu nebola schopná vyvolať teplotnú toleranciu, ale po opäťovnom introdukovaní vírusu sa znova dostavila tolerancia vysokej teploty /34/.

### **Mechanizmy PGPR zmierňujúce toleranciu stresu zo sucha**

- PGPR sú schopné syntetizovať hormóny stimulujúce rast a delenie buniek a rastliny sú vďaka tomu tolerantné proti environmentálnym stresom. IAA pochádzajúca z PGPR podporuje tvorbu koreňov a koreňových vláskov /35/
- Tvorba prchavých látok nastáva, keď sú rastliny vystavené veľkému množstvu stresov /36, 37/. Tieto sú signálmi pre spustenie primárnych a systémových reakcií v rámci tej istej ale aj v susedných rastlín, ktoré ich majú chrániť pred stresom – napríklad zmenšiť straty vody uzatvorením prieduchov /38, 39, 40/.
- Rizobaktérie produkujú látky upravujúce elasticitu bunkových stien a zlepšujúce stabilitu membrán buniek aktiváciou antioxidačného obranného systému. Uvedeným sa zvyšuje tolerancia na rastlín na sucho /41/.
- Za stresových podmienok rastlinný hormón etylén endogénne reguluje úroveň homeostázy, čo vedie k zniženiu rastu koreňov a výhonkov. Prekurzor etylénu ACC sa zachytáva a degraduje pomocou baktérií produkujúcich ACC deaminázu aby sa umožnilo zásobovanie dusíkom a energiou /42/. Baktérie tak znižujú škodlivý účinok etylénu, zmierňujú stres rastlín a podporujú ich rast. Rizobaktérie pochádzajúce z miest, kde sa opakujú suché obdobia sú pravdepodobne viac prispôsobené stresu a viac podporujú rast rastlín ako baktérie izolované z miest s dostačkom vláhy.
- Adaptácia rastlín na stres zo sucha je spojená s metabolickými zmenami, ktoré vedú k hromadeniu niekoľkých kompatibilných solí / osmolytov, ako je prolín, cukry, polyamíny, betaíny, kvartérne amóniové zlúčeniny, viacmocné alkoholy a ďalšie aminokyseliny a vodné stresové proteíny) /43/. PGPR vylučujú osmolity v reakcii na stres zo sucha, ktoré pôsobia synergicky s rastlinnými produktmi a stimulujú rast rastlín /44/. Všeobecne zvýšená akumulácia rozpustných látok vyvoláva reakciu rastlín, ktorá ich chráni proti strate vody spôsobenej osmotickým stresom.
- Produkcia exolysacharidov (EPS) mikróbmi ich chráni pred nehostinnými podmienkami a umožňuje ich prežitie /45/. EPS sa uvoľňujú do pôdy ako kapsulárne a slizové materiály, vytvárajú ochranné kapsuly okolo agregátov pôdy /46, 47/. Tvoria mikroprostredie, ktoré zadržiava vodu a vysychá pomalej ako okolité prostredie, čím chráni baktérie a korene rastlín. V rizosfére slnečnice inokulovanej rizóbnym kmeňom produkujúcim EPS, v podmienkach sucha bol pozorovaný významný nárast príťavosti pôdy ku koreňom, čo vedie k zvýšenému príjmu vody a živín z pôdy
- Molekulárne štúdie na zmierňovanie stresu sucha zo strany PGPR - na základe pokusov sa predpokladá, že bakteriálna inokulácia môže aktivovať signalizačné gény závislé od kyseliny abscisovej, ktoré poskytujú rezistenciu proti suchu /48/.

Mikrobiálna syntéza fytohormónového auxínu (kyselina indolyl-3-octová / kyselina indolyl-octová / IAA) je známa už dlho. Uvádzsa sa, že 80% mikroorganizmov izolovaných z rhizosféry rôznych plodín má schopnosť syntetizovať a uvoľňovať auxíny ako sekundárne metabolity /49/. Táto IAA vyuľcovaná rhizobaktériami zasahuje do mnohých rastlinných vývinových procesov. IAA zohráva veľmi dôležitú úlohu v interakciách medzi rizobaktériami a rastlinami. Súvisí tiež s obrannými mechanizmami rastlín proti množstvu fytopatogénnych baktérií /50/.

## LITERATÚRA

- 1/ Vurukonda, S.S.K.P, Vardharajula, S., Shrivastava, M., Skz, A.: Enhancement of drought stress tolerance in crops by plant growth promoting *Rhizobacteria*. Microbiological Research, Volume 184, 2016, Pages 13-24, ISSN 0944-5013, <https://doi.org/10.1016/j.micres.2015.12.003>.
- 2/ Ahemad, M., Kibret, M.: Mechanisms and applications of plant growth promoting *Rhizobacteria*: Current perspective. Journal of King Saud University - Science, 2014, Volume 26, Issue 1, Pages 1-20, ISSN 1018-3647, <https://doi.org/10.1016/j.jksus.2013.05.001>.
- 3/ Lugtenberg, B., Kamilova, F.: Plant-growth-promoting rhizobacteria, 2009, doi:10.1146/annurev.micro.62.081307.162918
- 4/ Schmidt, M., Janse Van Rensburg, P. J., De Meyer, H., Meyer, W. E., Auret, F. D.: Observation of low-temperature annealing of a primary defect in gallium nitride. Physica B: Condensed Matter, 2004, 439, 64-66. doi:10.1016/j.physb.2003.11.008
- 5/ Marasco R, Rolli E, Ettoumi B, Vigani G, Mapelli, F.: A Drought Resistance-Promoting Microbiome Is Selected by Root System under Desert Farming. 2012, PLOS ONE 7(10): e48479. <https://doi.org/10.1371/journal.pone.0048479>.
- 6/ Mapello, F., Marasco, R., Rolli, E., Barbato M., Chérif, H., Gues, H.: Potential for plant growth promotion of rhizobacteria associated with *Salicornia* growing in Tunisian hypersaline soils. Biomed. Res. Int., 248078 (2013).
- 7/ Yang, J., Kloepper, J. W., Ryu, C.: Rhizosphere bacteria help plants tolerate abiotic stress. Trends in Plant Science, 2009, 14(1), 1-4. doi:10.1016/j.tplants.2008.10.004
- 8/ Dimpka, C. , Weinand, T., Asch, F.: Plant–rhizobacteria interactions alleviate abiotic stress conditions. Plant, Cell & Environment, 2009, 32: 1682-1694. doi:10.1111/j.1365-3040.2009.02028.x
- 9/ Timmus, S., Nevo, E.: Plant root associated biofilms. Bacteria in Agrobiology, 2011, 3, 285-300
- 10/ Kim, Y.C, Glick, B., Bashan, Y., Ryu, C.: Enhancement of plant drought tolerance by microbes. *R. aroca* (Ed.), Plant Responses to Drought Stress. 2013, Springer Verlag, Berlin,.
- 11/ Timmus, S., El-Daim, I.A., Copolovici, L., Tanilas, T., Kännaste, A.: Drought-Tolerance of Wheat Improved by Rhizosphere Bacteria from Harsh Environments: Enhanced Biomass Production and Reduced Emissions of Stress Volatiles. 2014, PLOS ONE 9(5): e96086. <https://doi.org/10.1371/journal.pone.0096086>
- 12/ Rolli, E. , Marasco, R. , Vigani, G. , Ettoumi, B. , Mapelli, F. , Deangelis, M. L., Gandolfi, C. , Casati, E. , Previtali, F. , Gerbino, R. , Pierotti Cei, F. , Borin, S. , Sorlini, C. , Zocchi, G., Daffonchio, D.: Root bacteria protect plants from drought. 2015, Environ Microbiol, 17: 316-331. doi:10.1111/1462-2920.12439
- 13/ Ahemad, M., Malik, A.: Bioaccumulation of heavy metals by zinc resistant bacteria isolated from agricultural soils irrigated with wastewater. 2011, Bacteriol J, 2(1), 12-21.
- 14/ Hayat, R., Ali, S., Amara, U., Khalid, R., Ahmed, I.: Soil beneficial bacteria and their role in plant growth promotion: A review. Annals of Microbiology. 2010, 60(4), 579-598. doi:10.1007/s13213-010-0117-1
- 15/ Rajkumar, M., A. N., Prasad, M. N. V., Freitas, H.: Potential of siderophore-producing bacteria for improving heavy metal phytoextraction. Trends in Biotechnology. 2010, 28(3), 142-149. doi:10.1016/j.tibtech.2009.12.002
- 16/ Braud, A., Jézéquel, K., Bazot, S., Lebeau, T.: Enhanced phytoextraction of an agricultural cr- and pb-contaminated soil by bioaugmentation with siderophore-producing bacteria. Chemosphere. 2009, 74(2), 280-286. doi:10.1016/j.chemosphere.2008.09.013
- 17/ Ma, Y., Rajkumar, M., Luo, Y., Freitas, H. : Inoculation of endophytic bacteria on host and non-host plants-effects on plant growth and ni uptake. Journal of Hazardous Materials. 2011, 195, 230-237. doi:10.1016/j.jhazmat.2011.08.034
- 18/ Wani, P. A., Khan, M. S.: Bacillus species enhance growth parameters of chickpea (*Cicer arietinum* L.) in chromium stressed soils. Food and Chemical Toxicology. 2010, 48(11), 3262-3267. doi:10.1016/j.fct.2010.08.035

- 19/ Ahemad, M., Khan, M. S.: Ecological assessment of biotoxicity of pesticides towards plant growth promoting activities of pea (*Pisum sativum*)-specific rhizobium sp. strain MRP1. Emirates Journal of Food and Agriculture. 2012, 24(4), 334-343.
- 20/ Tank, N., Saraf, M.: Salinity-resistant plant growth promoting rhizobacteria ameliorates sodium chloride stress on tomato plants. Journal of Plant Interactions. 2010, 5(1), 51-58. doi:10.1080/17429140903125848
- 21/ Mayak, S., Tirosh, T., Glick, B. R.: Plant growth-promoting bacteria confer resistance in tomato plants to salt stress. Plant Physiology and Biochemistry. 2004, 42(6), 565-572. doi:10.1016/j.plaphy.2004.05.009
- 22/ Hynes, R. K., Leung, G. C. Y., Hirkala, D. L. M., Nelson, L. M.: Isolation, selection, and characterization of beneficial rhizobacteria from pea, lentil, and chickpea grown in western Canada. Canadian Journal of Microbiology. 2008, 54(4), 248-258. doi:10.1139/W08-008
- 23/ Murphy, J. F., Zehnder, G. W., Schuster, D. J., Sikora, E. J., Polston, J. E., Kloepper, J. W.: Plant growth-promoting rhizobacterial mediated protection in tomato against tomato mottle virus. Plant Disease. 2008, 92(7), 779-784. doi:10.1094/PDIS.2000.84.7.779
- 24/ Ahemad, M., Khan, M. S.: Evaluation of plant-growth-promoting activities of rhizobacterium *Pseudomonas putida* under herbicide stress. Annals of Microbiology. 2008, 62(4), 1531-1540. doi:10.1007/s13213-011-0407-2
- 25/ Tank, N., Saraf, M.: Salinity-resistant plant growth promoting rhizobacteria ameliorates sodium chloride stress on tomato plants. Journal of Plant Interactions. 2010, 5(1), 51-58. doi:10.1080/17429140903125848
- 26/ Jahanian, A., Chaichi, M. R., Rezaei, K., Rezayazdi, K., Khavazi, K.: The effect of plant growth promoting rhizobacteria (pgpr) on germination and primary growth of artichoke (*Cynara scolymus*). Int J Agri Crop Sci. 2012, 4, 923-929.
- 27/ Tian, F., Ding, Y., Zhu, H., Yao, L., Du, B.: Genetic diversity of siderophore-producing bacteria of tobacco rhizosphere. [Diversidade genética de Bactérias de rizosfera de tabaco produtoras de sideróforos] Brazilian Journal of Microbiology. 2009, 40(2), 276-284. doi:10.1590/S1517-83822009000200013
- 28/ Khan, A. G.: Role of soil microbes in the rhizospheres of plants growing on trace metal contaminated soils in phytoremediation. Journal of Trace Elements in Medicine and Biology. 2005, 18(4), 355-364. doi:10.1016/j.jtemb.2005.02.006
- 29/ Ahemad, M., Khan, M. S.: Evaluation of plant-growth-promoting activities of *Rhizobacterium pseudomonas putida* under herbicide stress. Annals of Microbiology. 2012, 62(4), 1531-1540. doi:10.1007/s13213-011-0407-2
- 30/ Dakora, F. D., Phillips, D. A.: Root exudates as mediators of mineral acquisition in low-nutrient environments. Plant and Soil. 2002, 245(1), 35-47. doi:10.1023/A:1020809400075
- 31/ Kang, B. G., Kim, W. T., Yun, H. S., Chang, S. C.: Use of plant growth-promoting rhizobacteria to control stress responses of plant roots. Plant Biotechnology Reports. 2010, 4(3), 179-183. doi:10.1007/s11816-010-0136-1
- 32/ Nardi, S., Concheri, G., Pizzeghello, D., Sturaro, A., Rella, R., Parvoli, G.: Soil organic matter mobilization by root exudates. Chemosphere. 2000, 41(5), 653-658. doi:10.1016/S0045-6535(99)00488-9
- 33/ Theocharis, A., Bordiec, S., Fernandez, O., Paquis, S., Dhondt-Cordelier, S., Baillieul, F., Barka, E. A.: Burkholderia phytofirmans PsJN primes *Vitis vinifera* L. and confers a better tolerance to low nonfreezing temperatures. Molecular Plant-Microbe Interactions. 2012, 25(2), 241-249. doi:10.1094/MPMI-05-11-0124
- 34/ Márquez, L. M., Redman, R. S., Rodriguez, R. J., Roossinck, M. J.: A virus in a fungus in a plant: Three-way symbiosis required for thermal tolerance. Science. 2007, 315(5811), 513-515. doi:10.1126/science.1136237
- 35/ Cassán, F., Maiale, S., Masciarelli, O., Vidal, A., Luna, V., Ruiz, O.: Cadaverine production by *Azospirillum brasiliense* and its possible role in plant growth promotion and osmotic stress mitigation. European Journal of Soil Biology. 2009, 45(1), 12-19. doi:10.1016/j.ejsobi.2008.08.003
- 36/ Loreto, F., Schnitzler, J.: Abiotic stresses and induced BVOCs. Trends in Plant Science. 2010, 15(3), 154-166. doi:10.1016/j.tplants.2009.12.006
- 37/ Holopainen, J. K., Gershenson, J.: Multiple stress factors and the emission of plant VOCs. Trends in Plant Science. 2010, 15(3), 176-184. doi:10.1016/j.tplants.2010.01.006
- 38/ Heil, M., Bueno, J. C. S.: Within-plant signaling by volatiles leads to induction and priming of an indirect plant defense in nature. Proceedings of the National Academy of Sciences of the United States of America. 2007, 104(13), 5467-5472. doi:10.1073/pnas.0610266104
- 39/ Choudhary, D. K., Johri, B. N., Prakash, A.: Volatiles as priming agents that initiate plant growth and defence responses. Current Science. 2008, 94(5), 595-604.
- 40/ Niinemets, U.: Mild versus severe stress and BVOCs: Thresholds, priming and consequences. Trends in Plant Science. 2010, 15(3), 145-153. doi:10.1016/j.tplants.2009.11.008

- 41/ Creus, C. M., Sueldo, R. J., Barassi, C. A.: Water relations and yield in azospirillum-inoculated wheat exposed to drought in the field. Canadian Journal of Botany. 2004, 82(2), 273-281. doi:10.1139/b03-119
- 42/ Glick, B. R.: Bacterial ACC deaminase and the alleviation of plant stress. 2004, doi:10.1016/S0065-2164(04)56009-4
- 43/ Close, T. J.: Dehydrins: Emergence of a biochemical role of a family of plant dehydration proteins. Physiologia Plantarum. 1996, 97(4), 795-803. doi:10.1034/j.1399-3054.1996.970422.x
- 44/ Paul, M. J., Primavesi, L. F., Jhurreea, D., Zhang, Y.: Trehalose metabolism and signaling. 2008, doi:10.1146/annurev.arplant.59.032607.092945
- 45/ Konnova, S. A., Brykova, O. S., Sachkova, O. A., Egorenkova, I. V., Ignatov, V. V.: Protective role of the polysaccharide-containing capsular components of azospirillum brasiliense. Microbiology. 2001, 70(4), 436-440. doi:10.1023/A:1010434227671
- 46/ Tisdall, J. M., Oades, J. M.: Organic matter and water-stable aggregates in soils. Journal of Soil Science. 1982, 33(2), 141-163. doi:10.1111/j.1365-2389.1982.tb01755.x
- 47/ Sandhya, V., Z., A. S., Grover, M., Reddy, G., Venkateswarlu, B.: Alleviation of drought stress effects in sunflower seedlings by the exopolysaccharides producing *Pseudomonas putida* strain GAP-p45. Biology and Fertility of Soils. 2009, 46(1), 17-26. doi:10.1007/s00374-009-0401-z
- 48/ Belimov, A. A., Dodd, I. C., Hontzeas, N., Theobald, J. C., Safronova, V. I., Davies, W. J.: Rhizosphere bacteria containing 1-aminocyclopropane-1-carboxylate deaminase increase yield of plants grown in drying soil via both local and systemic hormone signalling. New Phytologist. 2009, 181(2), 413-423. doi:10.1111/j.1469-8137.2008.02657.x
- 49/ Patten, C. L., Glick, B. R., Bacterial biosynthesis of indole-3-acetic acid. Canadian Journal of Microbiology. 1996, 42(3), 207-220. doi:10.1139/m96-032
- 50/ Spaepen, S., Vanderleyden, J.: Auxin and plant-microbe interactions Cold Spring Harb. Perspect. Biol., 2011, 0.1101/cshperspect.a001438

### Poděkovanie

Uvedená práca vznikla za finančnej podpory výskumného projektu VEGA 1/0087/17

## INOVACE PĚSTITELSKÉ TECHNOLOGIE V TRAVÁCH NA SEMENO

### INNOVATION OF TECHNOLOGY IN GROWING GRASSES FOR SEED

Jan Frydrych, Pavla Volková, Milena Pikulová

OSEVA vývoj a výzkum s. r. o., Hamerská 698, 756 54 Zubří, frydrych@oseva.cz

#### ***Summary***

Innovation of technology in growing grasses for seed and the transfer of new research results into farming practice allows growers to achieve stable seed yields and the required seed quality in current growing technologies. At the site in 2015 and 2016 in Zubří, field trials with *Lolium multiflorum* subsp. *italicum* in the following variants of soil technology: 1 – classic preparation (control), 2 – reduced preparation (discing, soil preparation + sowing) and 3 – non-ploughing sowing were established. Both in the years 2015 and 2016, the experiment was influenced by the meteorological conditions, especially in the autumn of the experimental period, the emergence and involvement of the growth of *Lolium multiflorum* subsp. *italicum*. The highest seed yield of *Lolium multiflorum* subsp. *italicum* and straw yield in the two harvesting years 2016 and 2017 the variant was based on classical ploughing technology. Variants based on reduced soil preparation and in particular the by the non-ploughing sowing, have been strongly influenced by metrological conditions. The results confirm as an optimal variant for the establishment of a *Lolium multiflorum* subsp. *italicum* for seed through soil preparation technology.

**Key words:** innovation, grasses grown for seed, *Lolium multiflorum* subsp. *italicum*, soil utilization technology, seed yield

#### ***Souhrn***

Inovace pěstitelské technologie v travách na semeno a předávání nových výsledků výzkumu do zemědělské praxe umožňuje pěstitelům dosahovat stabilní výnosy semene a požadovanou kvalitu osiva v současných pěstitelských technologiích. Na stanovišti v letech 2015 a 2016 v Zubří byly založeny polní pokusy s jílkem mnohokvětým v následujících variantách technologie zpracování půdy: 1 – klasická příprava (kontrola), 2 – redukovaná příprava (diskování, příprava půdy + setí) a 3 – bezorebné setí. V obou letech 2015 a 2016 byl pokus ovlivněn meteorologickými podmínkami zejména na podzim v období po zasetí pokusu, vzejtí a zapojení porostu jílku mnohokvětého. Nejvyšší výnos semen jílku mnohokvětého a výnos slámy dosáhla ve dvou sklizňových letech 2016 a 2017 varianta jílku založená klasickou technologií orbou. Varianty založené redukovanou přípravou půdy a zejména bezorebným setím byly silně ovlivněny meteorologickými podmínkami. Výsledky potvrzují jako optimální variantu pro zakládání jílku mnohokvětého na semeno technologii přípravy půdy orbou.

**Klíčová slova:** inovace, trávy pěstované na semeno, jílek mnohokvětý *Lolium multiflorum* subsp. *italicum*, technologie zpracování půdy, výnos semen

## ÚVOD

V současnosti řeší OSEVA vývoj a výzkum s.r.o. v Zubří společně se Zemědělským výzkumem, spol s r.o. v Troubsku, Mendelovou zemědělskou univerzitou v Brně a Sdružením

pěstitelů travních a jetelových semen v Zubří projekt Inovace postupů zakládání, ošetřování a ochrany semenářských porostů víceletých pícnin. Projekt řeší problematiku semenářství víceletých pícnin, které jsou nepostradatelné pro udržitelný rozvoj zemědělství. Osiva trav a jetelovin jsou významným exportním artiklem, který snižuje zápornou bilanci českého agrárního obchodu se zahraničím. V současnosti se plochy trav a jetelovin snižují. Příčinou je nižší konkurenčeschopnost ve srovnání s hlavními tržními plodinami (obiloviny, řepka) a nevyřešené postupy ochrany vůči aktuálnímu spektru škodlivých činitelů. Projekt je navržen tak, aby řešil aktuální problematiku travního a jetelového semenářství a aby praxe dostala odpověď na otázky, které kladou výzkumným pracovníkům při polním poradenství a na seminářích pro odbornou veřejnost. Cílem projektu je navrhnout optimální postup při zakládání víceletých pícnin a dále navrhnout či zlepšit některé stávající prvky integrované ochrany víceletých pícnin na orné půdě a na trvalých travních porostech. Řešení projektu bude zaměřeno především na moderní rostlinolékařská opatření vedoucí ve svém důsledku ke zvýšení kvality sklizených produktů (osivo, objemné krmivo) při vyšší ekonomickej efektivitě pro konečného uživatele. Inovace pěstitelské technologie v travách na semeno umožňuje řešit slabé články technologických postupů s tím, že výsledky výzkumu jsou předávány do zemědělské praxe a umožňují pěstitelům dosahovat stabilní výnosy semene a požadovanou kvalitu osiva v současných pěstitelských technologiích. V současných tržních podmínkách s důrazem na ekonomiku je velký zájem o získávání a uplatňování nových poznatků výzkumu promítajících se zejména do snižování finančních nákladů prostřednictvím zlepšování technologie pěstování trav na semeno. Výzkum nových prvků v ochraně rostlin a pěstitelské technologii k tomuto aspektu ekonomiky jednoznačně přispívá. Výsledky jsou pěstiteli žádány a realizovány. V současnosti, kdy se mění podmínky hospodaření na půdě a vznikají nové technologie, vznikají také nové skutečnosti a problémy z toho vyplývající v návaznosti na pěstitelské postupy. Otázka minimalizačních technologií nabývá na významu u všech plodin. V travách na semeno nebyly minimalizační metody alespoň u nás dostatečně propracovány, a proto je zatím pěstitelům nelze doporučit. Tyto metody vyžadují zvýšenou chemickou ochranu, která má u trav jako minoritních plodin svá omezení. Při současně vysokých nárocích na kvalitu produkce, by je bylo možno použít pouze ve výjimečných případech, na pozemcích prostých trávovitých a vytrvalých plevelů a po dvouděložných předplodinách. Cílem výzkumu v letech 2015 a 2016 bylo ověřit možnosti zakládání jílku mnohokvětého minimalizačními technologiemi.

## MATERIÁL A METODA

Na stanovišti v letech 2015 a 2016 v Zubří byly založeny polní pokusy s jílkem mnohokvětým. Pokus obsahoval následující varianty: 1 – klasická příprava (kontrola), 2 – redukovaná příprava (diskování, příprava půdy + setí), 3 – bezorebné setí. Hnojení a ošetřování pokusných ploch bylo u všech variant technologie zpracování půdy stejné. Pokusy byly založeny po stejně předplodině (ozimé pšenici). Byly vyhodnoceny tyto parametry: polní vzcházivost, zapojenosť, zaplevelení, výnos semen a výnosotvorné prvky (počet plodných stébel, počet obilek v klase, HTS). Na stanovišti v Zubří byl založen polní pokus s různými způsoby založení semenářských porostů jílku mnohokvětého odrůdy Lolita. Jílek byl založen na přelomu srpna a září v letech 2015 a 2016. Před setím bylo hnojeno dávkou 400 kg NPK na hektar (40 kg dusíku na hektar). Na jaře byl jílek přihnojen dávkou 80 kg dusíku na hektar. V průběhu vegetace byl jílek ošetřen přípravkem Moddus v dávce 0,8 l na hektar ve fázi BBCH 31 proti poléhání a přípravkem Amistar v dávce 1 l.ha<sup>-1</sup> ve fázi BBCH 32 proti listovým skvrnitostem v letech 2016 i 2017. Pokusy s jílkem mnohokvětým byly sklizeny v červenci 2016 a 2017. Pokusy byly sklízeny parcelní sklízecí mlátičkou Wintersteiger přímou sklizní. Vymlácené osivo bylo dosušeno na standardní vlhkost 14 %. Po vysušení bylo osivo nejprve předčištěno a poté vyčištěno na soustavě laboratorních čističek.

Byl stanoven hrubý a čistý výnos semen osiva z parcely. Z osiva byly odebrány vzorky na HTS. Před přímou sklizní parcel byly z každé parcely odebrány rostlinné vzorky ( $0,25 \text{ m}^2$ ). U rostlinných vzorků byla stanovena hmotnost celého vzorku v g z  $0,25 \text{ m}^2$ , hmotnost celého vzorku v g, délka stébla po klas v cm, délka klasu, počet fertilních stébel na  $0,25 \text{ m}^2$  a  $1 \text{ m}^2$ , hmotnost semen na  $0,25 \text{ m}^2$  a  $1 \text{ m}^2$ , počet semen na  $0,25 \text{ m}^2$  a počet semen na latu. Výnos slámy byl stanoven z rostlinného vzorku. Velikost jedné pokusné parcely pro sklizeň byla  $10 \text{ m}^2$ .

## VÝSLEDKY A DISKUSE

### Jílek mnohokvětý založený 1. 9. 2015

Stav jílku mnohokvětého byl nejhorší na parcelách založených bezorebně (stav 5-7), zde byl také nejnižší zápoj porostu (77,5 %). U klasické a redukované přípravy byl stav porostu hodnocen hodnotou 8 a zapojení bylo 90-95 %.

Tab. 1: Stav a zapojenost porostů jílku mnohokvětého 20. 11. 2015

Stanoviště	Způsob založení	Stav porostu (9-1)	Zápoj (%)
Zubří	1 – klasická příprava	8	92,50
	2 – redukovaná příprava	8	91,25
	3 – bezorebné setí	6	77,50

Na jaře 23. 3. 2016 byl nejlepší stav porostu u jílku mnohokvětého (8,5) a nejlepší zápoj 95,75 % u klasické přípravy, u redukované přípravy byl stav porostu (8) a zápoj 93,75 %. Nejhorší stav porostu (7) a zápoj (86,25 %) byl u bezorebné přípravy půdy.

Tab. 2: Stav a zapojenost porostů jílku mnohokvětého 23. 3. 2016

Stanoviště	Způsob založení	Stav porostu (9-1)	Zápoj (%)
Zubří	1 – klasická příprava	8,5	95,75
	2 – redukovaná příprava	8	93,75
	3 – bezorebné setí	7	86,25

Tab. 3: Výnos semene jílku mnohokvětého a slámy 7. 7. 2016

Stanoviště	Způsob založení	Výnos semene $\text{kg} \cdot \text{ha}^{-1}$	Výnos slámy $\text{t} \cdot \text{ha}^{-1}$
Zubří	1 – klasická příprava	1711	10,97
	2 – redukovaná příprava	1385	8,61
	3 – bezorebné setí	1073	6,93

Nejlepších průměrných hodnot u výnosu semene v  $\text{kg} \cdot \text{ha}^{-1}$  a výnosu slámy v  $\text{t} \cdot \text{ha}^{-1}$  (Tab. 3) dosáhla varianta založená klasickým způsobem přípravy půdy. Nižší hodnoty sledovaných znaků byly u redukované přípravy půdy a nejnižší výsledky byly u bezorebného způsobu setí jílku mnohokvětého.

### Jílek mnohokvětý založený 29. 8. 2016

Pokus v Zubří byl založen 29. 8. 2016. Jílek vzešel 6. 9. 2016. Dva dny po zasetí napršelo 10,6 mm srážek a 5. 9. 2016 a 6. 9. 2016 spadlo 45,1 mm srážek. Dostatek vláhy po zasetí příznivě ovlivnil vzejítí porostu jílku mnohokvětého u všech variant založení semenářského pokusu.

*Tab. 4: Stav a zapojenost porostů jílku mnohokvětého 21. 11. 2016*

Stanoviště	Způsob založení	Stav porostu (9-1)	Zápoj (%)
Zubří	1 – klasická příprava	8,00	93,75
	2 – redukovaná příprava	7,25	91,25
	3 – bezorebné setí	7,00	90,00

Stav i zapojení porostu jílku mnohokvětého (Tab. 4) bylo v roce 2016 vyrovnané rovněž u všech zkoušených variant. Zapojení bylo nejnižší u varianty s bezorebným setím 90 %. V roce 2015 bylo zapojení u klasické přípravy 92,5 %, redukované přípravy 91,25 % a bezorebné přípravy 77,5 %. Stav porostu před zimou dosahoval u klasické přípravy hodnoty 8, redukované přípravy hodnoty 8 a bezorebné přípravy hodnoty 6. Na jaře roku 2017 (Tab. 5) byl nejlepší stav porostu u jílku mnohokvětého 7,25 a nejlepší zápoj 95,75 % u klasické přípravy, u redukované přípravy byl stav porostu 6,75 a zápoj 93,75 %. U bezorebné přípravy byl stav porostu 6,5 a zápoj 92,50 %. Na jaře v roce 2017 nebyly tak významné rozdíly mezi jednotlivými způsoby založení porostů jako v roce 2016. Nejnižší zapojení i stav porostu byl na variantě založené bezorebným setím, v roce 2017 byly všechny varianty vyrovnanější.

*Tab. 5: Stav a zapojenost porostů jílku mnohokvětého 13. 3. 2017*

Stanoviště	Způsob založení	Stav porostu (9-1)	Zápoj (%)
Zubří	1 – klasická příprava	7,25	95,75
	2 – redukovaná příprava	6,75	93,75
	3 – bezorebné setí	6,50	92,50

*Tab. 6: Výnos semene jílku mnohokvětého a slámy 10. 7. 2017*

Stanoviště	Způsob založení	Výnos semene kg.ha <sup>-1</sup>	Výnos slámy t.ha <sup>-1</sup>
Zubří	1 – klasická příprava	1509	9,60
	2 – redukovaná příprava	1366	8,27
	3 – bezorebné setí	1463	8,66

V roce 2017 byl dosažen u jílku mnohokvětého nejvyšší výnos semene u varianty založené orbou 1509 kg na hektar. V roce 2016 byl rovněž nejvyšší výnos dosažen u klasické přípravy orbou u jílku mnohokvětého 1711 kg na hektar. Nejnižší výnos u jílku mnohokvětého byl zaznamenán v roce 2016 u bezorebné přípravy a to 1073 kg na hektar, u redukované přípravy byl výnos 1385 kg na hektar. Nejnižší výnos semen byl zaznamenán v roce 2017 u redukované přípravy 1366 kg na hektar. Výnosy slámy byly nejvyšší v roce

2017 u klasické přípravy orbou  $9,60 \text{ t.ha}^{-1}$ , potom u bezorebného setí  $8,66 \text{ t.ha}^{-1}$  a redukované přípravy  $8,27 \text{ t.ha}^{-1}$ .

*Tab. 7: Statistické vyhodnocení výnosu semene jílku mnohokvětého v letech 2016 a 2017*

Stanoviště	Způsob založení	Výnos kg.ha <sup>-1</sup> semene v roce 2016 – průkaznost	Výnos kg.ha <sup>-1</sup> semene v roce 2017 – průkaznost
Zubří	1 – klasická příprava	1711	
	2 – redukovaná příprava	1385	--
	3 – bezorebné setí	1073	--

*Rok 2016 – ANOVA md 0,05: 145,274* *md 0,01: 219,987*

*Rok 2017 – ANOVA md 0,05: 278,866* *md 0,01: 422,282*

-- – vysoce průkazný rozdíl 00 – neprůkazný rozdíl

Nejvyššího výnosu semen v roce 2016 i 2017 dosáhla varianta jílku mnohokvětého založená klasickým způsobem orbou. V roce 2016 měly varianty s redukovanou přípravou půdy a s bezorebným setím vysoce průkazně nižší rozdíl ve výnosu semene oproti variantě založené klasickou přípravou orbou. V roce 2017 byl mezi variantami neprůkazný rozdíl vlivem meteorologických podmínek na podzim v roce založení jílku 2016, kdy porosty byly ovlivněny srážkami zejména v měsíci říjnu 118,8 mm oproti dlouhodobému normálu 50,3 mm.

#### **Vliv meteorologie v období zakládání pokusů na vývoj a zapojení porostů u jednotlivých variant technologii přípravy půdy jílku mnohokvětého**

Pokusy byly ovlivněny meteorologickými vlivy zejména na podzim v období založení v obou letech 2015 i 2016. Podzimní měsíce roku 2015 září, říjen a listopad jsou charakterizovány vyšší průměrnou teplotou vzduchu (září – skutečnost  $14,8^{\circ}\text{C}$ , normál  $13^{\circ}\text{C}$ , říjen – skutečnost  $8,5^{\circ}\text{C}$ , normál  $8,4^{\circ}\text{C}$ , listopad – skutečnost  $5,5^{\circ}\text{C}$ , normál  $3,3^{\circ}\text{C}$ ) a nižšími srážkami oproti dlouhodobému normálu (září – skutečnost 57,4 mm, normál 62,5 mm, říjen – skutečnost 23 mm, normál 50,3 mm, listopad – skutečnost 49,8 mm, normál 66,2 mm). První sníh napadl 29. listopadu a sněhová pokrývka trvala jeden den. Měsíc prosinec byl bez sněhové pokrývky s množstvím srážek 25,1 mm oproti dlouhodobému normálu 58,3 mm a průměrné teplotě vzduchu  $3,3^{\circ}\text{C}$  oproti dlouhodobému normálu  $-0,9^{\circ}\text{C}$ . V roce 2016 v měsíci září byla suma srážek 58,9 mm oproti normálu 62,5 mm. Průměrná teplota vzduchu za měsíc září byla  $16,2^{\circ}\text{C}$  oproti normálu  $13^{\circ}\text{C}$ . V měsíci říjnu byly srážky nadnormální 118,8 mm oproti dlouhodobému normálu 50,3 mm za měsíc říjen. Průměrná teplota byla  $8^{\circ}\text{C}$  o  $0,4^{\circ}\text{C}$  nižší oproti dlouhodobému normálu  $8,4^{\circ}\text{C}$ . V listopadu byly srážky 49,9 mm oproti normálu 66,2 mm a teplota vzduchu  $4,5^{\circ}\text{C}$  vyšší o  $1,2^{\circ}\text{C}$  oproti dlouhodobému normálu  $3,3^{\circ}\text{C}$ . Srážky byly v prosinci roku 2016 podnormální 31,3 mm oproti normálu 58,3 mm. Teplota vzduchu  $-0,7^{\circ}\text{C}$  byla vyšší oproti normálu  $-0,9^{\circ}\text{C}$ . První sníh napadl 10. listopadu 2016. Počet dnů se souvislou sněhovou pokrývkou v listopadu 2016 byl 8. Průměrná pokrývka za dny se souvislou sněhovou pokrývkou byla 1,4 cm. Počet dnů se souvislou sněhovou pokrývkou byl v prosinci 9 a průměrná sněhová pokrývka za dny se souvislou sněhovou pokrývkou byla 2,2 cm. Podzim v roce 2015 byl charakterizován nižšími srážkami v měsících září, říjen a listopad. V tomto období vzcházení a zapojování porostu u jílku mnohokvětého se více projevily rozdíly mezi jednotlivými variantami zakládání porostu různými technologiemi orbou, redukovanou přípravou a bezorebným setím. Rozdíly se projevily zejména při zapojení a stavu porostu již na podzim 2015 i při jarním hodnocení stavu a zápoje porostu. Tento stav i zapojení porostu ovlivnil i výnos semen u jednotlivých

variant v roce 2016 a významné rozdíly mezi variantami zejména variantou založenou orbou a bezorebným setím. V roce 2016 na podzim výrazně ovlivnily porosty jílku mnohokvětého srážky zejména v měsíci říjnu. V měsíci říjnu byly srážky nadnormální 118,8 mm oproti dlouhodobému normálu 50,3 mm za měsíc říjen. Průměrná teplota byla 8 °C o 0,4 °C nižší oproti dlouhodobému normálu 8,4 °C. Na podzim 2016 a na jaře 2017 nebyly již tak významné rozdíly mezi jednotlivými variantami založení v zapojení a stavu porostu jako v roce 2015 a 2016. V roce 2017 se neprojevil výrazný rozdíl ve výnosu semen mezi variantou založenou orbou a bezorebným setím jako v roce 2016. Nejvýnosnější varianta byla v roce 2017 varianta založená orbou a bezorebným setím, nejmenší výnos byl u varianty založené redukovanou přípravou půdy.

## ZÁVĚR

Inovace pěstitelské technologie v travách pěstovaných na semeno a nové poznatky ve výzkumu výrazně ovlivňují ekonomiku pěstování trav se zaměřením na zvýšení výnosu a kvality výsledného osiva. Výsledky výzkumu jsou předávány prostřednictvím poradenství pěstitelům přímo v zemědělské praxi při jarních prohlídkách porostů. Výzkum minimalizační technologie v jílku mnohokvětém založeném v roce 2015 a 2016 se sklizní v letech 2016 a 2017 prokázal nejvyšší výnos semene a slámy u varianty založené klasickou přípravou tzn. orbou. Pokus byl výrazně ovlivněn meteorologickými vlivy v roce 2015 i 2016 při zakládání jílku mnohokvětého. Varianty založené redukovanou přípravou půdy a zejména bezorebným setím byly silně ovlivněny meteorologickými podmínkami. Výzkum prokázal možnosti založení semenářských porostů trav pěstovaných na semeno minimalizační technologií a bezorebným způsobem setí, která je výrazně ovlivněna meteorologickým podmínkami v době založení porostu.

## LITERATURA

- /1/ Cagaš, B. et al.: Trávy pěstované na semeno. 1. vyd. Olomouc: Vydavatelství Ing. Petr Baštan, 2010. 276 s.  
ISBN 978-80-87091-11-1.
- /2/ Hůla, J., Procházková, B. et al: Minimalizace zpracování půdy. 1. vyd. Praha. Vydavatelství Profi Press, s.r.o., 2008. 248 s. ISBN 978-80-86726-28-1.

## Poděkování

Publikace je realizována na základě podpory projektu NAZV ČR QJ1510121 Inovace postupů zakládání, ošetřování a ochrany semenářských porostů víceletých pícnin.

## Postery

## VPLYV NÍZKOTEPLOTNEJ PLAZMY NA KLÍČENIE HOSPODÁRSKY VÝZNAMNÝCH PLODÍN

### **EFFECT OF LOW-TEMPERATURE PLASMA ON GERMINATION OF AGRICULTURALLY IMPORTANT CROPS**

Renáta Švubová<sup>1</sup>, Valéria Kročková<sup>1</sup>, Ján Renčko<sup>1</sup>, Ľudmila Slováková<sup>1</sup>, Anna Záhoranová<sup>2</sup>

<sup>1</sup> Katedra fyziologie rastlín, Prírodovedecká fakulta, Univerzita Komenského v Bratislave, Ilkovičová 6, 842 15 Bratislava, Slovenská republika

<sup>2</sup> Katedra experimentálnej fyziky, Fakulta matematiky, fyziky a informatiky, Univerzita Komenského v Bratislave, Mlynská dolina F1, 842 48 Bratislava, Slovenská republika

#### *Summary*

Seed germination is the first and really critical time in the life cycle of each plant. It is heavily influenced by external factors, whether abiotic (eg. temperature, water) or biotic (eg. colonization of testa by pathogenic microorganisms). Our results show that the influence of low-temperature plasma on germination and further development of young seedlings is highly species-specific. While maize grains are relatively well suited even at high doses of NTP, germination of barley and pea is negatively affected.

*Key words:* barley, corn, germination, low-temperature plasma, pea

#### *Súhrn*

Klíčenie semien je prvým a naozaj kritickým obdobím v životnom cykle každej rastliny. Je vo veľkej miere ovplyvnené faktormi vonkajšieho prostredia, či už abiotickými (teplota, voda), tak aj biotickými (napr. kolonizácia osemenia patogénnymi mikroorganizmami). Z našich výsledkov vyplýva, že vplyv nízkoteplotnej plazmy na klíčenie a ďalší vývin klíčnych rastlín je výrazne druhovo špecifický. Kým zrná kukurice relatívne dobre klíčia aj pri vysokých dávkach NTP, klíčenie jačmeňa a hrachu je negatívne ovplyvnené.

*Kľúčové slová:* hrach, jačmeň, klíčenie, kukurica, nízkoteplotná plazma

## ÚVOD

S narastajúcou populáciou obyvateľstva na svete a znižujúcimi sa zdrojmi potravín narastá dopyt po nových prístupoch v poľnohospodárstve. Zdá sa, že jednou zo slúbných metód by mohlo byť využitie nízkoteplotnej plazmy (NTP) v poľnohospodárskej praxi. Bežne sa používa pri úprave vzduchu, odpadových vôd, palív, pri výrobe vodíka alebo aktiváciu povrchu a úprave rôznych materiálov. NTP má tiež veľký potenciál v biomedicínskej sfére a v oblasti plazmovej medicíny, napr. pri bakteriocídnej sterilizácii a sterilizácii termolabilných materiálov /1, 2/. NTP nachádza svoje uplatnenie aj v potravinárskom a obalovom priemysle /3/. Aplikácie NTP v poľnohospodárstve sa v súčasnosti venuje veľká pozornosť. Z dostupných prác môžno konštatovať, že plazma v priamom kontakte s osivom môže stimulovať jeho klíčenie a rast klíčnych rastlín /4, 5, 6, 7/ a tým výrazne zvýšiť celkovú produkciu /8/. Je známe, že spôsobuje zmeny v enzymatických aktivitách pri klíčení semien /9, 10/ a inaktivuje a eliminuje fytopatogénnu mikroflóru, ktorá bežne kolonizuje povrch semien /11/. Plazma modifikuje povrch semien a tým výrazne mení ich afinitu k vode, čo môže byť veľmi prospešné. Napríklad, NPT generovaná vo vzduchu výrazne oplyvnila, v dôsledku oxidácie povrchu, zmáčavosť a rýchlosť imbibície zrn pšenice, ovsy, šošovice a fazule /12/, čo viedlo k signifikantnému urýchleniu klíčenia. Je však veľmi dôležité poznat'

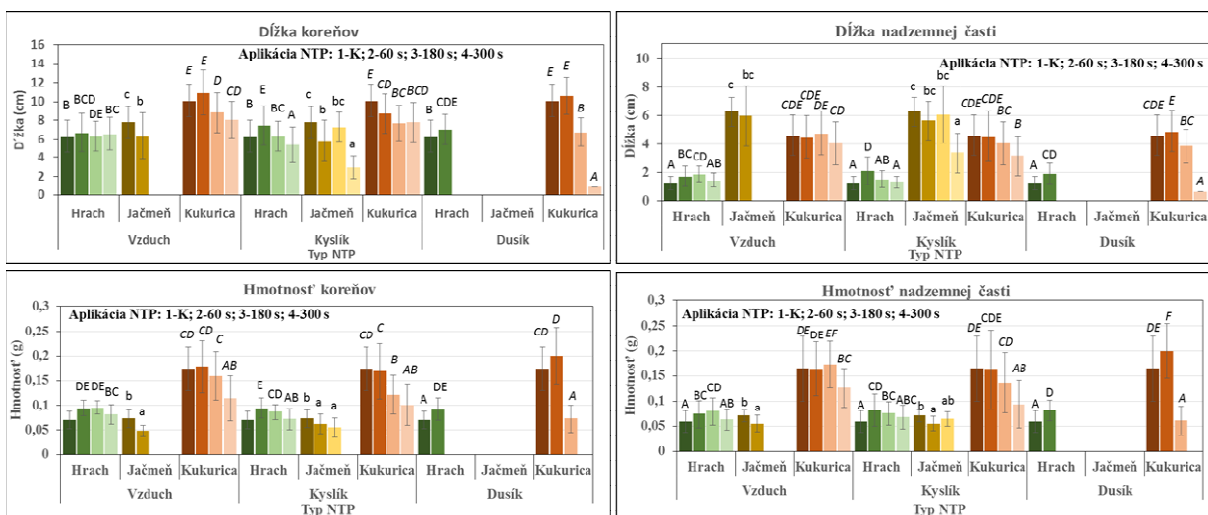
správny čas expozície plazmy, pretože dlhšia expozícia môže viesť k inhibícii a môže negatívne ovplyvniť klíčenie a ďalší vývin klíčnych rastlín /7/.

## MATERIÁL A METÓDA

Ako rastlinný materiál sme používali semená hrachu (*Pisum sativum* L., kultivar Prophet) a zrná kukurice (*Zea may* L., hybrid Ronaldino) a sladovníckeho jačmeňa (*Hordeum sativum* L., odrôda Malz). Osivo na experimenty nám poskytol Ústredný kontrolný a skúšobný ústav poľnohospodársky v Bratislave (ÚKSÚP). Suché semená hrachu a zrná kukurice a jačmeňa (50 ks pre každý variant) sme pred založením experimentu ošetrili nízkoteplotnou plazmou (NTP) generovanou v rôznych typoch plynov (vzduch, kyslík, dusík) po dobu 60 s, 180 s a 300 s. Ako zdroj plazmy nám slúžil difúzny, koplanárny, povrchový barierový výboj (Diffuse Coplanar Surface Barrier Discharge - DCSBD). Následne sme sledovali vplyv NTP generovanej v rôznych typoch plynov, ako aj dĺžku aplikačnej dávky (expozičnej doby) na klíčenie semien hrachu a zrn kukurice a jačmeňa ako aj rastové parametre klíčnych rastlín a výsledky sme porovnávali s kontrolou (t.j. osivo bez ošetrenia NTP). Klíčivosť sme počítali na 3., 4. a 5. deň od zabalenia semien a zŕn do roliek. Následne sme odvážili hmotnosť koreňov a nadzemných časti, merali sme dĺžky nadzemných častí a koreňov a údaje sme použili na výpočet indexu vitality zrn/semien a klíčencov (%) ako aj index dĺžky klíčencov (%). Experimenty sme opakovali 3x a výsledky sme štatisticky vyhodnotili s použitím štatistického programu Statgraphics Centurion XV.I.

## VÝSLEDKY A DISKUSIA

Z výsledkov našich experimentov vyplýva, že klíčivosť semien hrachu a zrn kukurice a jačmeňa je výzrazne ovplyvnená atmosférou, v ktorej je NTP generovaná a tiež dĺžkou jej pôsobenia. Môžeme konštatovať, že aplikačná dávka 300 s (tab. 1, O300, V300, N300) negatívne ovplyvnila, prípadne úplne inhibovala klíčenie semien hrachu a zrn kukurice a jačmeňa v porovnaní s kontrolou.



Graf 1: Priemerná dĺžka a hmotnosť primárnych seminálnych koreňov/koreňov a priemerná dĺžka a hmotnosť nadzemnej časti klíčnych rastlín hrachu, kukurice a pšenice po ovplyvnení NTP generovanou vo vzduchu, kyslíku alebo dusíku. Poradie stĺpcov pre každý variant je: kontrola, ošetrenie po dobu 60 s, ošetrenie po dobu 180 s, ošetrenie po dobu 300 s. Rozdielne písmená nad stĺpcami poukazujú na hladiny významnosti rozdielov pri  $p < 0.05$ .

Tieto výsledky korelujú s predchodzími zisteniami /10/. Po kratšej aplikácii (60 a 180 s) zrná kukurice a jačmeňa klíčili porovnatelne s kontrolou (neošetrené zrná). V prípade semien hrachu sme zaznamenali vyššie % klíčivosti, index klíčivosti a index vitality semien a klíčencov pri ošetrení plazmou generovanou v atmosfére vzduchu a dusíka. Stimulačný efekt plazmy, generovanej v rôznom prostredí, na klíčenie semien a následný vývin klíčencov sa potvrdil aj pri iných hospodársky významných plodinách /7, 11/.

*Tab. 1: Vplyv rôznych aplikačných dávok (60 s, 180 s, 300s) NTP generovanej v rôznych plynach (vzduch: V60, 180, 300; kyslík: O60, 180, 300; dusík: N60, 180, 300) na klíčenie semien hrachu a zrín kukurice a jačmeňa.*

	Aplikácia NTP (s)	Klíčivosť (%)	Potenciál klíčivosti (%)	Index klíčivosti (%)	Index vitality zrín (semie %)	Index vitality klíčencov (%)	Index dĺžky klíčencov (%)
HRACH	K	83,82	79,77	9,68	77,50	0,114	83,09
Atm. O <sub>2</sub>	O60	83,82	79,77	9,68	82,82	0,140	88,03
	O180	83,66	79,62	9,55	77,62	0,142	68,63
	O300	55,06	44,89	5,53	39,20	0,068	44,33
Atm. vzduch	V60	87,14	82,39	10,07	92,06	0,145	83,28
	V180	85,16	83,12	9,77	87,76	0,151	89,87
	V300	66,06	57,79	7,28	46,50	0,095	53,17
Atm. N <sub>2</sub>	N60	86,48	83,12	9,92	85,13	0,158	89,65
	N180	0,00	0,00	0,00	0,00	0,000	0,00
	N300	0,00	0,00	0,00	0,00	0,000	0,00
<hr/>							
JAČMEŇ	K	97,50	98,00	13,64	130,15	0,142	177,96
Atm. O <sub>2</sub>	O60	86,50	66,00	8,58	75,13	0,075	93,91
	O180	24,50	16,00	2,00	16,02	0,000	20,03
	O300	15,00	10,00	1,25	5,73	0,000	7,16
Atm. vzduch	V60	39,50	34,00	5,25	49,91	0,029	62,38
	V180	11,33	6,00	0,75	0,00	0,000	0,00
	V300	8,00	9,00	1,38	0,00	0,000	0,00
Atm. N <sub>2</sub>	N60	0,00	0,00	0,00	0,00	0,000	0,00
	N180	0,00	0,00	0,00	0,00	0,000	0,00
	N300	0,00	0,00	0,00	0,00	0,000	0,00
<hr/>							
KUKURICA	K	96,31	94,95	11,96	143,85	0,313	178,43
Atm. O <sub>2</sub>	O60	93,97	92,31	11,67	124,44	0,297	154,23
	O180	67,00	67,00	8,38	78,51	0,168	98,13
	O300	66,00	63,67	8,13	73,92	0,111	90,77
Atm. vzduch	V60	94,33	93,00	11,79	145,66	0,308	182,08
	V180	68,77	68,10	8,54	94,61	0,210	117,46
	V300	48,33	46,25	5,92	58,02	0,125	70,91
Atm. N <sub>2</sub>	N60	93,94	87,22	11,58	148,38	0,390	182,46
	N180	66,00	63,00	8,25	70,02	0,117	87,52
	N300	27,84	20,88	3,50	5,76	0,000	7,20

Priemerné hmotnosti ako aj dĺžky koreňov a nadzemných častí korelovali s % klíčivosti semien/zrín (graf. 1). S využitím plazmy, generovanej v rôznom prostredí, sa mnohým

autorským kolektívom podarilo dosiahnuť stimulačný efekt na klíčenie, ďalší vývin mladých klíčencov a produkciu biomasy v prípade rôznych hospodársky významných plodín /5, 6, 10, 12/. Mnohí autori sa však zhodujú v názore, že fyziologická odpoveď na ošetrenie plazmou je ovplyvnená nie len konkrétnym druhom, ale dokonca aj odrodou, hybridom, či kultivarom a dôležitým faktorom je zvoliť vhodnú aplikačnú dávku a typ plazmy. Naše výsledky tieto zistenia jednoznačne potvrdzujú a dopĺňajú (tab. 1, graf 1).

## LITERATÚRA

- /1/ Sharma, P., Jha, A.B., Dubey, R.S. et al.: Reactive Oxygen Species, Oxidative Damage, and Antioxidative Defense Mechanism in Plants under Stressful Conditions. *Journal of Botany*, 2012.
- /2/ Matés, M.J., Pérez-Gómez, C., Núñez De Castro, I.: Antioxidant enzymes and human diseases. *Clinical Biochemistry*, 32, 1999: 595-603.
- /3/ Mohammed, A.E.: Antioxidant enzymes. Croatia: InTech, 2013. ISBN 978-953-51-0789-7.
- /4/ Qujeq, D., Rezvani, T.: Catalase (antioxidant enzyme) activity in streptozotocin-induced diabetic rats. *International Journal of Diabetes and Metabolism*, 15, 2007: 22-24.
- /5/ Navrot, N., Collin, V., Gualberto, J. et al.: Plant glutathione peroxidases are functional peroxiredoxins distributed in several subcellular compartments and regulated during biotic and abiotic stresses. *Plants Physiology*, 142, 2006: 1364-1379.
- /6/ El-Tayeb, M.A.: Differential response of two *Vicia faba* cultivars to drought: growth, pigments, lipid peroxidation, organic solutes, catalase and peroxidase activity. *Acta Agronomica Hungarica*, 54, 2006: 25-37.
- /7/ Kováčik, J.: Stresová fyziológia rastlín (Návody na cvičenia). Košice: UPJŠ v Košiciach. 2012, 50 s.
- /8/ El-Beltagi, H.S., Mohamed, A.A., Rashed, M.M.: Response of Antioxidative Enzymes to Cadmium Stress in Leaves and Roots of Radish (*Raphanus sativus* L.). *Notulae Scientia Biologicae*, 4, 2010: 76-82.
- /9/ Muradoglu, F., Gundogdu, M., Ercisli, S. et al.: Cadmium toxicity affects chlorophyll a and b content, antioxidant enzyme activities and mineral nutrient accumulation in strawberry. *Biological research*, 48, 2015: 11.
- /10/ Lin, A., Zhang, X., Chen, M. et al.: Oxidative stress and DNA damages induced by cadmium accumulation. *Journal of Environmental Sciences*, 19, 2006: 596-602.
- /11/ Dixit, V., Pandey, V., Shyam, R.: Differential antioxidative responses to cadmium in roots and leaves of pea (*Pisum sativum* L. cv. Azad). *Journal of Experimental Botany*, 52, 2001: 1101-1109.

## Poděkovanie

Uvedená práca bola podporená agentúrou na podporu výskumu a vývoja, grantovým projektom č. APVV-16-0216.

# INTERAKCIA NÍZKOTEPLOTNEJ PLAZMY S RASTLINNÝMI BUNKAMI

## *INTERACTION OF NON-THERMAL PLASMA WITH PLANT CELLS*

Ľudmila Holubová<sup>1</sup>, Stanislav Kyzek<sup>1</sup>, Ivana Ďurovcová<sup>1</sup>, Jana Špačková<sup>1</sup>, Veronika Medvecká<sup>2</sup>, Andrea Ševčovičová<sup>1</sup>, Eliška Gálová<sup>1</sup>

<sup>1</sup> Univerzita Komenského v Bratislave, Prírodovedecká fakulta, Katedra genetiky, Mlynská dolina, 842 15 Bratislava, Slovenská republika; ludka.holub@gmail.com

<sup>2</sup> Univerzita Komenského v Bratislave, Fakulta matematiky, fyziky a informatiky, Katedra experimentálnej fyziky, Mlynská dolina, 842 48 Bratislava, Slovenská republika

### *Summary*

Non-thermal plasma (NTP) has a potential to be used in a wide variety of areas, for example in industry, medicine and also in agriculture. We confirmed that treatment of maize seeds with NTP has beneficial effects on germination, especially for exposure time 30 and 60 s. Longer treatment times (120 and 180 s) led to the loss of this effect. We also observed that level of Hsp70 protein in 3-days old seedlings increased with increasing exposure time of NTP treatment, which means that the effect of plasma is visible even four days after the treatment. Amount of Hsp70 after additional heat stress was higher in NTP-treated seedlings than that in non-treated seedlings. This suggest that NTP treatment could elicit adaptive response.

*Key words:* maize, non-thermal plasma, Hsp70, heat stress

### *Súhrn*

Nízkoteplotná plazma (NTP) má potenciálne široké využitie v rôznych oblastiach, od priemyslu cez poľnohospodárstvo až po medicínu. V poľnohospodárstve by bolo možné NTP využívať na ošetrenie semien pred klíčením ako náhradu chemického morenia. V tejto práci sme potvrdili, že ošetrenie semien kukurice NTP má pozitívny účinok na klíčenie, a to v dávkach 30 a 60 s. Pri vyšších expozičných časoch sa pozitívny efekt strácal. So zvyšujúcou sa dávkou NTP stúpal aj množstvo proteínu Hsp70 v trojdňových klíčencoch kukurice. Efekt ošetrenia NTP je teda viditeľný aj minimálne po štyroch dňoch. Po pôsobení ďalšieho, teplotného stresu bolo množstvo Hsp70 vyššie v klíčencoch ovplyvnených NTP v porovnaní s neovplyvnenými. To naznačuje, že NTP mohla vyvolať adaptívnu odpoved.

*Kľúčové slová:* kukurica, nízkoteplotná plazma, Hsp70, teplotný stres

## ÚVOD

Plazma je jedno zo štyroch skupenstiev hmoty. Za normálnych podmienok sa na zemskom povrchu prirodzene nevyskytuje často, ale predpokladá sa, že je to najrozšírenejšia forma hmoty vo vesmíre. S umelo vytvorenou plazmou sa stretávame častejšie, či už v podobe neónových svetiel alebo plazmových televízorov. Vo väčšine prípadov sa využíva nízkoteplotná plazma (NTP), ktorá vzniká elektrickým výbojom v plyne /1/.

NTP obsahuje zmes reaktívnych neutrálnych častic, nabitych častic (ióny, elektróny), elektrické pole a UV žiarenie. Presnejšie zloženie plazmy varíruje v závislosti od plynu, ktorý je použitý na jej generovanie, od podmienok ošetrenia a v neposlednom rade od typu

prístroja, ktorý plazmu generuje. Mieru vplyvu NTP na živé organizmy určuje zloženie plazmy, dĺžka pôsobenia a podmienky, pri ktorých vzniká plazma. Zvyčajne sa však v NTP vyskytujú reaktívne formy kyslíka a dusíka (RONS) /2/.

Tento reaktívny potenciál NTP má za dôsledok rôzne efekty pri interakcii so živými organizmami. Čo sa týka interakcie so semenami rastlín, viaceré práce poukazujú na rýchlejšie klíčenie a rast rastlín ovplyvnených NTP v porovnaní s kontrolnými rastlinami. Mikroskopické analýzy odhalili jemné praskliny na povrchu semien po ovplyvnení NTP. Tiež dochádza k inaktivácii mikroorganizmov na povrchu semien /3, 4, 5/.

NTP nemá efekt len na povrchu ošetrených vzoriek, ale pôsobí aj v bunkách a organizmoch, kde spôsobuje rôzne zmeny, ktoré súvisia so stresom /4, 6/. Miera vzniknutého stresu je závislá od dávky NTP. S menším stresom si väčšinou vedia organizmy poradiť, dokonca to môže mať pre nich pozitívny efekt v podobe adaptívnej odpovede (*priming-u*), keď sú pripravené čeliť ďalšiemu stresoru. Princípom *priming-u* je, že pôsobenie miernej dávky stresu, ktorú organizmus dokáže zvládnuť, „pripraví“ tento organizmus na prípadné ďalšie, silnejšie pôsobenie stresu, ktoré by mal prekonáť s menšími následkami ako „nepripravené“ organizmy. Pravdepodobne najlepší účinok *priming* vyvoláva v ranných štádiach vývinu /7/.

Pri súčasnom trende zvyšovania priemernej teploty bude nevyhnutné pestovať rastliny odolné voči zvýšeným teplotám. Vyššie spomínaný *priming* semien by mohol byť jednou z možností, ako tento problém riešiť. Preto sme sa rozhodli otestovať, aký vplyv má predovplyvnenie semien kukurice NTP na následný teplotný stres, a to sledovaním hladiny *heat-shock* proteínu Hsp70.

## MATERIÁL A METÓDA

Pri práci sme používali zrná kukurice (*Zea mays* L., odrôda Ronaldino), ktoré boli ošetrené NTP generovanou zo vzduchu počas 30, 60 a 120 sekúnd pri príkone 400W, použitím koplanárneho povrchového bariérového výboja. Výbojka bola umiestnená na trepačke s rotačnou rýchlosťou 270 ot./min, ktorá zabezpečovala otáčanie semien a ich rovnometerné opracovanie plazmou.

Zrná sme po 24 hodinách od ošetrenia NTP nechali päť hodín imbibovať, následne sme ich vysadili na Petriho misky a nechali ich klíčiť v tme pri 23 °C. Trojdňové klíčence sme podrobili teplotnému stresu pri 42 °C počas dvoch hodín. Následne sme izolovali proteíny. Po dvoch hodinách, kedy sa klíčence zotavovali pri teplote 23 °C, sme znova izolovali proteíny. Hladiny proteínu Hsp70 sme získali pomocou Western blotu.

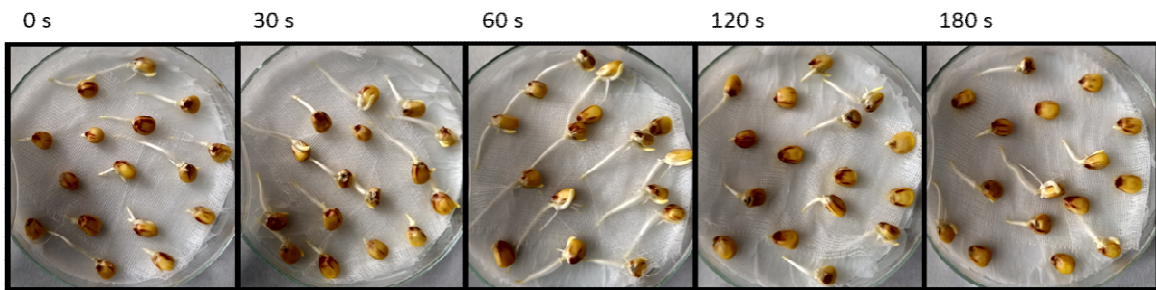
## VÝSLEDKY A DISKUSIA

Podobne ako vo viacerých publikáciách sme pozorovali, že zrná ošetrené NTP mali v porovnaní s negatívnou kontrolou (0 s) zlepšené klíčenie. To vidíme na obrázku 1, hlavne pri časoch ošetrenia 30 a 60 s. Pozitívny efekt NTP na klíčenie sa však vytráca so stúpajúcou dávkou NTP ako vidíme pri čase 120 s a 180 s (Obr. 1). V porovnaní s *Pisum sativum*, však na *Z. mays* vyššie dávky NTP (nepublikované výsledky) pôsobia inhibujúco. Dôvodom môže byť tvar a veľkosť semena, a tiež poloha embrya v rámci semena.

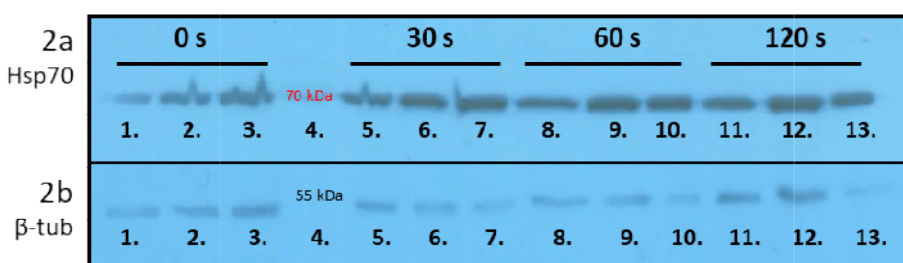
Hsp70 majú v bunke veľa funkcií, od skladania proteínov, transportu proteínov cez membrány, regulácie degradácie proteínov až po prevenciu agregácie proteínov /8/ a z toho vyplýva ich dôležitá funkcia pri strese, hlavne však pri teplotnom strese.

Vo vzorkách, ktoré boli ošetrené NTP (Obr. 2, dráhy 5, 8 a 11) je zvýšené množstvo proteínu Hsp70 v porovnaní so vzorkou bez ošetrenia NTP (Obr. 2, dráha 1). Na obrázku 2 si môžeme všimnúť aj mierne sa zvyšujúce množstvo Hsp70, ktoré koreluje so zvyšujúcou sa dávkou NTP (30, 60 a 120 s). To naznačuje, že pôsobenie plazmy je možné pozorovať aj štyri dni po ovplyvnení zrnr NTP, a tiež, že veľkosť tohto stresu je závislá od dávky plazmy.

Teplotný stres počas 2 h pri 42 °C, ktorému boli trojdňové klíčence vystavené, spôsobil, že hladina Hsp70 výrazne stúpla (Obr. 2). Intenzita bandov prisľúchajúcich Hsp70 sa zvyšuje úmerne so zvyšujúcou sa dávkou NTP. To však súvisí s hladinou proteínu pred pôsobením teplotného stresu, ktorú sme spomínali v predchádzajúcim odseku.



Obr. 1: Trojdňové klíčence *Z. mays* zo zŕn ovplyvnených NTP počas 30 – 180 s alebo neovplyvnených NTP (0 s).



Obr. 2: Detekcia množstva proteínu Hsp70 (2a) v koreňoch 3-dňových klíčencov kukurice, ktorých semená boli predovplyvnené NTP počas 30, 60 a 120 s alebo neboli predovplyvnené (0 s). Množstvo Hsp70 bolo sledované pred teplotným stresom (bez HS) dráhy 1, 5, 8 a 11; bezprostredne po ňom (HS+0 h) dráhy 2, 6, 9 a 12; a 2 h po strese (HS+2 h) dráhy 3, 7, 10 a 13. Kontrola nanášky bola vykonaná detekciou  $\beta$ -tubulínu (2b). Dráhy: 0 s: 1. bez HS, 2. HS+0, 3. HS+2; 4. proteínový marker; 30 s: 5. bez HS, 6. HS+0, 7. HS+2; 60 s: 8. bez HS, 9. HS+0, 10. HS+2; 120 s: 11. bez HS, 12. HS+0, 13. HS+2.

Zvýšené množstvo Hsp70 vo vzorkách predovplyvnených NTP by mohlo zodpovedať teórii o adaptívnej odpovedi, keď väčšie množstvo Hsp70 by mohlo rýchlejšie eliminovať riziko spojené s akumuláciou poškodených proteínov.

## LITERATÚRA

- /1/ Piel, A.: Plasma physics: An introduction to laboratory, space and fusion plasmas. Springer International Publishing AG, 2017, ISBN 978-3-319-63427-2.
- /2/ Chen, C., Liu, D. X., Liu, Z. C., Yang, A. J., Chen, H. L., Shama, G., Kong, M. G.: A model of plasma-biofilm and plasma-tissue interactions at ambient pressure. *Plasma Chemistry and Plasma Processing*, 34, 2014: 403-441.
- /3/ Zahoranová, A., Henselová, M., Hudecová, D., Kaliňáková, B., Kováčik, D., Medvecká, V., Černák, M.: Effect of cold atmospheric pressure plasma on the wheat seedlings vigor and on the inactivation of microorganisms on the seeds surface. *Plasma Chemistry and Plasma Processing*, 2015, DOI 10.1007/s11090-015-9684-z.
- /4/ Henselová, M., Slováková, L., Martinka, M., Zahoranová, A.: Growth, anatomy and enzyme activity changes in maize roots induced by treatment of seeds with low-temperature plasma. *Biologia*, 67, 2012: 490-497.
- /5/ Ling, L., Jiafeng, J., Jiangang, L., Minchong, S., Xin, H., Hanliang, S., Yuanhua, D.: Effects of cold plasma treatment on seed germination and seedling growth of soybean. *Scientific Reports*, 4, 2014: 5859, DOI: 10.1038/srep05859.

- /6/ Zhou, R., Zhou, R., Zhang, X., Zhuang, J., Yang, S., Bazaka, K., Ostrikov, K.: Effects of atmospheric-pressure N<sub>2</sub>, He, air and O<sub>2</sub> microplasmas on mung bean seed germination and seedling growth. *Scientific Reports*, 6, 2016: 32603, DOI: 10.1038/srep32603.
- /7/ Bateson, P., Barker, D., Clutton-Brock, T., Deb, D., D'Udine, B., Foley, R. A., Gluckman, P., Godfrey, K., Kirkwood, T., Lahr, M. M., McNamara, N. B., Monaghan, P., Spencer, H. G., Sultan, S. E.: Developmental plasticity and human health. *Nature*, 430, 2004: 419-421.
- /8/ Su, P-H., Li, H.: Arabidopsis stromal 70-kD heat shock proteins are essential for plant development and important for thermotolerance of germinating seeds. *Plant Physiology*, 146, 2008: 1231-1241.

### **Poděkovanie**

Táto práca bola realizovaná vďaka grantom APVV-16-0216 a VEGA 1/0410/18.

**MORFOLOGICKO-ANATOMICKÉ ZMENY EXPLANTÁTOVEJ  
KULTÚRY *MAGNOLIA X SOULANGIANA* V PODMIENKACH  
NADBYTKU IÓNOV  $Al^{3+}$  A  $Ca^{2+}$**

***MORPHOLOGICAL-ANATOMIC CHANGES OF EXPLANTATE CULTURE  
OF MAGNOLIA X SOULANGIANA IN CONDITIONS OF ELEVATED  $Al^{3+}$  AND  $Ca^{2+}$***

Angela Filová, Jana Konôpková, Dominika Bošiaková

Ústav ekologie lesa, Slovenská akadémia vied, Arborétum Mlyňany, Vieska nad Žitavou 178, 951 52 Slepčany, Slovensko, angela.filova@savba.sk

***Summary***

The study of reactions and changes in the structure of plant organs grown under adverse conditions has always been based on the knowledge of the basic physiological characteristics of the organs. The aim of this work was the screening of culture media, identification of a concentration gradient of 5, 10, 20 mg  $Al^{3+} \cdot l^{-1}$  and 400, 800 and 1200 mg  $Ca^{2+} \cdot l^{-1}$  for detecting the primary effects of ions on the morphogenesis of explante culture *Magnolia x soulangiana* possibly eliminating the toxic effects of aluminum on calcium. Aluminum ions effect the morphological-anatomical and physiological responses of explante culture *Magnolia x soulangiana* heterogeneous. We have confirmed that calcium, which we consider to be an aluminum antagonist. The concentration of 400 and 800 mg.l<sup>-1</sup>  $Ca^{2+}$  stimulates the growth and weight of the terminals, the number of leaves and the state of health of the top explants. Aluminum retardation effects on the growth and development of explants can be eliminated with  $Ca^{2+}$  ( $10 \text{ mg.l}^{-1} Al^{3+} + 800 \text{ mg.l}^{-1} Ca^{2+}$ ), with positive and ameliorating effects in prolongation and mass growth, acceleration of organogenesis and improvement in explant health.

**Key words:** *Magnolia x soulangiana* Soul.-Bod., phytotoxicity,  $Al^{3+}$ ,  $Ca^{2+}$ , *in vitro* conditions

***Súhrn***

Štúdium reakcií a zmien štruktúry orgánov rastlín pestovaných v nepriaznivých podmienkach sa vždy opieralo o poznanie základných fyziologických charakteristík orgánov. Cieľom práce bol screening kultivačných médií, identifikácia koncentračného gradientu 5, 10, 20 mg  $Al^{3+} \cdot l^{-1}$  a 400, 800 a 1200 mg  $Ca^{2+} \cdot l^{-1}$  pre detekciu primárnych účinkov iónov na morfogenézu explantátov *Magnolia x soulangiana* s možnou elimináciou toxicických účinkov hliníka vápnikom. Ióny hliníka ovplyvňujú morfológicko-anatomické ako aj fyziologické reakcie explantátov *Magnolia x soulangiana* Soul.-Bod. heterogénne. Potvrdilo sa, že vápnik, ktorý považujeme za antagonista hliníka v koncentráciách 400 a 800 mg.l<sup>-1</sup>  $Ca^{2+}$  stimuluje rast a hmotnosť terminálov, počet listov a zdravotný stav vrcholových explantátov. Retardačné účinky hliníka na rast a vývin explantátov je možné eliminovať iónmi  $Ca^{2+}$  ( $10 \text{ mg.l}^{-1} Al^{3+} + 800 \text{ mg.l}^{-1} Ca^{2+}$ ), pričom pozitívne efekty sa prejavujú v predĺžovacom a hmotnostnom raste, v urýchlení organogenézy a zlepšení zdravotného stavu explantátov.

**Kľúčové slová:** *Magnolia x soulangiana* Soul.-Bod., fytotoxicita,  $Al^{3+}$ ,  $Ca^{2+}$ , *in vitro* podmienky

## ÚVOD

Medzi negatívne abiotické stresy, ktoré výrazne znižujú kvalitu poľnohospodárskych a lesníckych pôd, patrí kyslá pôdna reakcia a s ňou súvisiaci zvýšený obsah voľných iónov  $\text{Al}^{3+}$ , ktoré sa v týchto podmienkach z pôdnich štruktúr uvoľňujú. Okysľovanie pôd najmä vplyvom neustáleho pôsobenia tzv. kyslých dažďov a fyziologicky kyslo pôsobiacich priemyselných hnojív je neustále pokračujúcim procesom. Na Slovensku je viac ako 30 % kyslých pôd s hodnotou pôdnej reakcie pH pod 5,5. Uvedené výmery sú dostatočným dôvodom na to, aby sa hľadali cesty ako čeliť týmto negatívnym faktorom prostredia /3/.

Pri mnohých druhoch drevín dochádza vplyvom zhoršeného životného prostredia a antropickej činnosti k poklesu ich adaptačnej a reprodukčnej schopnosti. V posledných rokoch sa venuje preto veľká pozornosť využitiu *in vitro* metód v rozmnrození kriticky ohrozených taxónov drevín, resp. i okrasných drevín ako sú napr. magnolie a rododendrony. Podmienky *in vitro* sú originálnym prostredím pre štúdium pôsobenia negatívnych faktorov na rast, diferenciáciu, regeneráciu, či morfogenézu. Systém umožňuje vytvoriť modelové prostredie pre jednotlivé stupne rastového a vývinového procesu a hľadať možnosti ich regulácie. *In vitro* metódy sa zaoberejú špecifickou problematikou minerálnej výživy rastlín, ktoré poskytujú nové metodické možnosti pre štúdium príjmu a distribúcie látok v rastline.

Do rodu *Magnolia* zaradujeme skupinu veľmi atraktívnych drevín, o pestovaní ktorých je v súčasnosti veľký záujem. *Magnolia x soulangiana*, významný zástupca tohto druhu, už čoskoro na jar púta pozornosť veľkými bielužovými kvetmi. Jej vegetatívne rozmnrozenie sa stretáva so značnými problémami. Z hľadiska efektívnosti pestovania možno považovať za veľmi perspektívne využitie metód *in vitro*. Predpokladáme, že tieto metódy budú mať uplatnenie aj pri množení ďalších dekoratívnych hybridov alebo kultivarov magnolií, vhodných na vysádzanie do záhrad a parkov. V prirodzenom prostredí sú druhy rodu *Magnolia* L. vystavené mnohým stresovým faktorom, z ktorých najmä prítomnosť ľažkých kovov obmedzuje ich základné fyziologické funkcie. Magnolie sa považujú za dreviny odolné voči znečisteniu prostredia, hoci sú náročné na pôdne podmienky /6/. Prítomnosť dvoj a trojmocných katiónov kovov limituje príjem makro a mikroelementov, mení pH, brzdí delenie a predĺžovanie buniek. Každá reakcia bunky, štruktúrna aj funkčná, je podmienená jej snahou ubrániť sa pred škodlivým účinkom stresu. Keď sú však všetky ochranné možnosti a energia na ich zabezpečenie vyčerpané, dochádza k poškodeniu štruktúrnych komponentov a ich funkcií v bunke. Pod iónovým stresom sa rozumie aktivita iónu, ktorého priamym účinkom je akákoľvek zmena normálnej iónovej rovnováhy živej bunky /2/. Môže sa realizovať na povrchu bunky – na membránach, alebo preniká do cytoplazmy. Podobne ako pri iných stresoch, aj pod iónový stres môžeme zahrnúť stres z nadbytku aj nedostatku iónov. Abdel-Basset et al. /1/, Horst /5/ a Chen /4/ dokumentujú, že prítomnosť iónov kovov mení rýchlosť biosyntézy rastových hormónov, ich distribúciu a závislosť tvorby endogénneho etylénu na koncentračnom gradiente iónov  $\text{Ca}^{2+}$ . Princíp tolerancie rastlín k iónom  $\text{Al}^{3+}$  nie je doposiaľ známy. Predpokladá sa, že primárne účinky  $\text{Al}^{3+}$  sa spájajú s redukciami akumulácie  $\text{Ca}^{2+}$  (s porušením symplastickej homeostázy iónov  $\text{Ca}^{2+}$ ).

Štúdium reakcií a zmien štruktúry orgánov rastlín pestovaných v nepriaznivých podmienkach sa vždy opieralo o poznanie základných fyziologických charakteristík orgánov. Cieľom práce bol screening kultivačných médií, identifikácia koncentračného gradientu  $\text{Al}^{3+}$  a  $\text{Ca}^{2+}$  pre detekciu primárnych účinkov iónov na morfogenézu explantátov *Magnolia x soulangiana* Soul.-Bod. s možnou elimináciou toxických účinkov hliníka vápnikom.

## MATERIÁL A METÓDA

Kultivačné médium (WPM) podľa Lloyd - Mc Cowna /7/, ktoré je určené pre mikropropagáciu magnolií sme modifikovali prítomnosťou chloridu hlinitého ( $\text{AlCl}_3$ ) s rôznou koncentráciou 5, 10, 20 mg  $\text{Al}^{3+}$ . Ďalej prítomnosťou iónov  $\text{CaCl}_2$  v nasledovných

koncentráciách : 400, 800 a 1200 mg Ca<sup>2+</sup>. l<sup>-1</sup>. Treťou modifikáciou bol sledovaný účinok Al<sup>3+</sup> a Ca<sup>2+</sup> v určitom pomere pri zachovaní vyššie uvedených koncentrácií. Kontrolné prostredie pozostávalo zo základného média bez prítomnosti iónov Al<sup>3+</sup> a Ca<sup>2+</sup>. Pokus bol rozdelený do dvoch etáp morfogenézy. Kultúru kontinuálne tvoriacu axilárne výhonky možno dlhodobo pestovať na multiplikačnom médiu s 0,3 mg.l<sup>-1</sup> BAP a 0,1 mg . l<sup>-1</sup> NAA, 20 000 mg.l<sup>-1</sup> sacharózy, a 7 000 mg.l<sup>-1</sup> agaru. Na stimuláciu rizogenézy médium obsahovalo polovičnú dávku koncentrácie makrosolí, obohatené o stimulačnú látku IBA (kyselina idolyl-3-maslová) v koncentrácií 4 mg. l<sup>-1</sup> a 0,3 % aktívneho uhlia. Doba medzi jednotlivými pasážovaniami (prenesenie explantátu na nové kultivačné médium) bola 35 dní ( 4 - 6 týždňov). V prvej etape sme pre našu prácu použili primárne explantáty *Magnolia x soulangiana* Soul.-Bod. odobraté zo stabilnej sterilnej kultúry, pričom sme odobrali nodusy stoniek a vrcholové meristémy vo vynikajúcom zdravotnom stave. Segmenty sme prenesli na modifikované kultivačné médium obohatené o jednotlivé prvky. Tieto sme si zvolili za účelom stimulácie tvorby axilárnych výhonov. Do každého experimentu sme zaradili po 20-30 explantátov v 10 opakovaniach. V druhej etape pokusu sme si zvolili ako materiál nodusy stoniek explantátov magnolie odobraté zo sterilnej kultúry za účelom stimulácie rizogenézy. Po 4 týždňoch pestovania sme pri vyhodnocovaní pozorovali vznik koreňov. Podmienky kultivácie boli zvolené nasledovne: teplota 22°C / deň a 20°C / noc, hustota ožiarenia pri tvorbe axilárnych výhonov 35 – 40 µmol. m<sup>-2</sup>. s<sup>-1</sup> so 16 hodinovou fotoperiódou, biele svetlo, hustota ožiarenia pri stimulácii rizogenézy 15–30 µmol. m<sup>-2</sup>. s<sup>-1</sup> so 16 hodinovou fotoperiódou. V týždenných intervaloch v jednotlivých variantoch sme vizuálne hodnotili tieto ukazovatele: priemerná dĺžka explantátu, celkový zdravotný stav explantátov, počet novovytvorených púčikov na explantáte, počet novovytvorených výhonov, koreňov, prítomnosť fenolov v médiu (kvalitatívne hodnotenie), stupeň infekcie.

Stanovenie etylénu sme determinovali plynovým chromatografom CHROM 5 so sklenenou kolónou (1500x 3,2 mm) naplnenou PORAPAK N (100/120 mesh), nitrogenovým nosičom, plameň ionizačného detektora (FID), s teplotou 50°C, a detektor s teplotou 70°C. Množstvo etylénu sme vyjadrili v ml.g<sup>-1</sup>. h<sup>-1</sup> čerstvej hmoty explantátu. Všetky získané výsledky boli vyhodnotené metódami popisnej štatistiky a analýzy rozptylu.

## VÝSLEDKY A DISKUSIA

Ióny hliníka (Al<sup>3+</sup>) ovplyvňujú morfológicko-anatomické ako aj fyziologické reakcie explantátov *Magnolia x soulangiana* Soul.-Bod. heterogénne. Nízke koncentrácie hliníka (5 mg.l<sup>-1</sup> Al<sup>3+</sup>) stimulujú predlžovací a hmotnostný rast orgánov a pozitívne vplývajú na zdravotný stav explantátov, bez ohľadu na ich pôvod. Koncentrácia 10 mg.l<sup>-1</sup> Al<sup>3+</sup> inhibuje rastové reakcie, najmä predlžovací rast orgánov, mení morfológický tvar nadzemných orgánov a koreňov, spôsobuje nekrózy a odumieranie listov. Koncentrácia 20 mg.l<sup>-1</sup> Al<sup>3+</sup> retarduje rast a vývin explantátov, spôsobuje zmeny tvaru rizodermálnych buniek koreňa a ich poškodenie. V konečnom dôsledku viedie k deformáciám tvarov orgánov a k poškodeniu kultúr.

Potvrdilo sa, že vápnik (Ca<sup>2+</sup>), ktorý považujeme za antagonista hliníka, ak je prítomný v koncentračnej škále 400– 800 mg.l<sup>-1</sup>Ca<sup>2+</sup>, ovplyvňuje rast orgánov *Magnolia x soulangiana* špecificky, v závislosti od pôvodu explantátu. Koncentrácia 400 mg.l<sup>-1</sup>Ca<sup>2+</sup> výrazne stimuluje predlžovací rast explantátov. Koncentrácia 800 mg.l<sup>-1</sup>Ca<sup>2+</sup> výrazne stimuluje predlžovací a hmotnostný rast nodusov, počet výhonkov a listov, a zdravotný stav nodálnych explantátov. Koncentrácia 400 a 800 mg.l<sup>-1</sup>Ca<sup>2+</sup> stimuluje rast a hmotnosť terminálov, počet listov a zdravotný stav vrcholových explantátov (tabuľka 1).

Tab. 1: Morfologicko-anatomické parametre explantátovej kultúry *Magnolia x soulangiana* Soul.-Bod. ovplyvnené zvýšenou koncentráciou iónov  $Al^{3+}$  a  $Ca^{2+}$  v kultivačnom médiu v procese multiplikácie

<i>Variant</i>	<i>dĺžka výhonku (mm)</i>	<i>počet výhonkov</i>	<i>počet listov</i>	<i>čerstva hmotnosť (mg)</i>	<i>hmotnosť sušiny (mg)</i>
<b>KONTROLA</b>	21.5±1.5b	5.5±0.5a	10.5±0.6d	275±1.1d	105±0.5b
<b>WPM + 5 mg <math>Al^{3+} \cdot I^{-1}</math></b>	25.5±0.5a	4.5±1.5b	12.5±0.4d	308±0.8c	115±0.5b
<b>WPM + 10 mg <math>Al^{3+} \cdot I^{-1}</math></b>	15.3±1.9b	3.1±0.5a	8.8±0.2a	227±0.7c	104±0.6c
<b>WPM + 20 mg <math>Al^{3+} \cdot I^{-1}</math></b>	10.5±1.5b	1.5±0.9c	4.5±0.5e	186±1.9d	85±0.2a
<b>WPM + 400 mg <math>Ca^{2+} \cdot I^{-1}</math></b>	22.2±1.5b	6.5±0.2a	9.9±0.3b	283±0.5b	125±0.5b
<b>WPM + 800 mg <math>Ca^{2+} \cdot I^{-1}</math></b>	23.5±0.5a	7.9±0.4a	13.1±0.4d	321±0.8d	119±0.6b
<b>WPM + 1200 mg <math>Ca^{2+} \cdot I^{-1}</math></b>	20.0±1.4b	5.9±0.9c	10.1±0.4d	214±0.4b	108±0.5b
<b>WPM+ 5 mg <math>Al^{3+} \cdot I^{-1} + 400 mg Ca^{2+} \cdot I^{-1}</math></b>	23.3±1.2b	6.1±0.5a	10.0±0.6d	242±0.4b	95±0.5b
<b>WPM+ 10 mg <math>Al^{3+} \cdot I^{-1} + 800 mg Ca^{2+} \cdot I^{-1}</math></b>	24.6±1.8b	5.9±0.4a	8.0±0.6d	255±0.9d	80±0.9c
<b>WPM+ 20 mg <math>Al^{3+} \cdot I^{-1} + 1200 mg Ca^{2+} \cdot I^{-1}</math></b>	15.4±1.1b	4.9±0.6c	6.5±1.1d	204±1.2d	75±0.5b

Rozdiely v hodnotách označených rovnakými písmenami(a) – (d) v rovnakom stĺpci, nie sú štatisticky preukazné na 95 % hladine významnosti (Duncanov test)

Retardačné účinky hliníka na rast a vývin explantátov je možné eliminovať iónmi  $Ca^{2+}$  ( $10 \text{ mg.l}^{-1} Al^{3+} + 800 \text{ mg.l}^{-1} Ca^{2+}$ ), pričom pozitívne efekty sa prejavujú v predlžovacom a hmotnostnom raste, v urýchlení organogenézy a zlepšení zdravotného stavu explantátov. Reakcie explantátov sú závislé na pôvode primárneho explantátu. Počet multiplikovaných výhonkov pri jednotlivých variantoch pokusu potvrdilo nás predpoklad, že nízke koncentrácie  $Al^{3+}$  a  $Ca^{2+}$  pozitívne ovplyvnia multiplikáciu axilárnych výhonkov magnólie a vyššie dávky vápnika (800, a 1200 mg  $\cdot l^{-1} Ca^{2+}$ ) eliminujú fytotoxický účinok  $Al^{3+}$ .

Potvrdili sa tiež interakčné účinky iónov  $Al^{3+}$  na poškodenie orgánov a produkciu fytohormónu etylén. Jeho množstvo je závislé od koncentrácie  $Al^{3+}$  v kultivačnom médiu a je v korelácii so stupňom poškodenia explantátov. Interakčné účinky boli zistené v procese multiplikácie výhonkov, aj v procese rizogenézy (tabuľka 2).

Príčina toxicity hliníka spočíva v rade faktorov. Časť tohto prvku sa dostáva do cytoplazmy, kde sa viaže na nukleové kyseliny, v dôsledku čoho sa znižuje delenie buniek v apikálnom meristéme koreňa, čím je inhibovaný rast a rozvoj koreňovej sústavy/. V konečnom dôsledku sa tento toxický vplyv hliníka prejaví skracovaním a hrubnutím koreňov, čím sa obmedzuje možnosť prijímať živiny a tiež vodu a rastliny viac trpia i na sucho/3/.

V prostredí s vápnikom, sme závislosť tvorby etylénu na jeho koncentrácií v kultivačnom médiu zaznamenali len v procese rizogenézy (tabuľka 3). Vplyv  $Al^{3+}$  na tvorbu etylénu je možné eliminovať iónmi vápnika najúčinnejšie v kombinácii:  $5 \text{ mg.l}^{-1} Al^{3+} + 400 \text{ mg.l}^{-1} Ca^{2+}$ , menej účinné v kombinácii  $20 \text{ mg.l}^{-1} Al^{3+} + 1200 \text{ mg.l}^{-1} Ca^{2+}$ . Morfologické symptómy poškodenia koreňov magnólie Soulangovej vyvolané stúpajúcimi koncentráciami iónov  $Al^{3+}$  sa výrazne prejavili v zmene architektúry koreňového systému explantátov v porovnaní s kontrolnými regenerantami. Štruktúrne adaptácie koreňových buniek na nepriaznivé podmienky prostredia sa odohrávajú aj v bunkových stenách. Najčastejšie dochádza k zhrubnutiu bunkových stien. Nepravidelné zhrubnutia bunkových stien sú

výsledkom akumulácie sekundárnych metabolitov, napr. kalóza pri toxickom účinku hliníka /8/.

*Tab. 2: Morfologicko-anatomické parametre explantátovej kultúry Magnolia x soulangiana Soul.-Bod. ovplyvnené zvýšenou koncentráciou iónov  $Al^{3+}$  a  $Ca^{2+}$  v kultivačnom médiu v procese multiplikácie*

<i>Variant</i>	<i>dĺžka výhonku (mm)</i>	<i>počet výhonkov</i>	<i>počet listov</i>	<i>dĺžka koreňa (mm)</i>	<i>počet koreňov</i>	<i>čerstva hmotnosť (mg)</i>	<i>hmotnosť sušiny (mg)</i>
<b>KONTROLA</b>	40.5±1.1d	5.5±0.5a	12.5±1.2d	25.5±0.5b	3.0±0.5a	455±10.1d	195±10.5d
<b>WPM + 5 mg <math>Al^{3+}</math>. l<sup>-1</sup></b>	45.5±0.5a	6.5±1.0b	16.5±0.5b	35.5±0.5a	3.5±0.5b	349±10.8c	165±5.5b
<b>WPM + 10 mg <math>Al^{3+}</math>. l<sup>-1</sup></b>	25.5±1.5d	3.5±0.5a	9.8±0.3a	20.5±1.0c	2.5±0.5b	327±8.5c	154±4.5b
<b>WPM + 20 mg <math>Al^{3+}</math>. l<sup>-1</sup></b>	21.5±0.9b	1.5±0.6a	4.5±0.5e	10.5±1.5b	1.5±0.6a	186±10.9d	105±5.5b
<b>WPM + 400 mg <math>Ca^{2+}</math>. l<sup>-1</sup></b>	44.0±1.4b	6.5±0.2a	10.2±0.5b	22.0±0.5b	4.5±0.2a	436±15.5b	145±5.5b
<b>WPM + 800 mg <math>Ca^{2+}</math>. l<sup>-1</sup></b>	43.5±0.5a	8.1±0.5a	14.2±0.8d	23.5±0.4a	4.1±0.5a	421±16.6d	115±8.8c
<b>WPM + 1200 mg <math>Ca^{2+}</math>. l<sup>-1</sup></b>	40.5±1.2d	5.9±0.9c	11.1±0.6d	20.0±1.4b	4.0±0.9c	324±9.5b	125±6.5b
<b>WPM + 5 mg <math>Al^{3+}</math>. l<sup>-1</sup> + 400 mg <math>Ca^{2+}</math>. l<sup>-1</sup></b>	25.9±1.5d	6.5±0.5a	10.0±0.8d	23.0±0.6b	3.5±0.5a	342±10.3b	105±10.5d
<b>WPM + 10 mg <math>Al^{3+}</math>. l<sup>-1</sup> + 800 mg <math>Ca^{2+}</math>. l<sup>-1</sup></b>	23.9±1.0b	5.9±0.4a	8.5±0.8d	24.0±0.8b	3.0±0.5a	355±6.5c	118±5.9b
<b>WPM + 20 mg <math>Al^{3+}</math>. l<sup>-1</sup> + 1200 mg <math>Ca^{2+}</math>. l<sup>-1</sup></b>	21.5±0.9b	4.8±0.5b	6.9±1.0d	15.0±0.6b	2.5±0.6b	310±11.2d	105±10.5d

Rozdiely v hodnotách označených rovnakými písmenami(a) – (d) v rovnakom stĺpci, nie sú štatisticky preukazné na 95 % hladine významnosti (Duncanov test)

*Tab. 3: Vplyv zvýšenej koncentrácie iónov  $Al^{3+}$  a  $Ca^{2+}$  na produkciu etylénu v explantátovej kultúre Magnolia x soulangiana Soul.-Bod. v procesoch multiplikácie a rizogenézy*

<b>Priemerné množstvo etylénu vyprodukované explantátovou kultúrou <i>M. x soulangiana</i></b>		
<b>Varianty</b>	<b>v procese multiplikácie v ml.g<sup>-1</sup>.h<sup>-1</sup></b>	<b>v procese rizogenézy v ml.g<sup>-1</sup>.h<sup>-1</sup></b>
<b>KONTROLA</b>	8,10 . 10 <sup>-4</sup>	12,60 . 10 <sup>-4</sup>
<b>WPM + 5 mg <math>Al^{3+}</math>. l<sup>-1</sup></b>	10,05 . 10 <sup>-4</sup>	36,05 . 10 <sup>-4</sup>
<b>WPM + 10 mg <math>Al^{3+}</math>. l<sup>-1</sup></b>	37,75 . 10 <sup>-4</sup>	55,55 . 10 <sup>-4</sup>
<b>WPM + 20 mg <math>Al^{3+}</math>. l<sup>-1</sup></b>	78,90 . 10 <sup>-4</sup>	88,99 . 10 <sup>-4</sup>
<b>WPM + 400 mg <math>Ca^{2+}</math>. l<sup>-1</sup></b>	12,95 . 10 <sup>-4</sup>	18,45 . 10 <sup>-4</sup>
<b>WPM + 800 mg <math>Ca^{2+}</math>. l<sup>-1</sup></b>	8,20 . 10 <sup>-4</sup>	21,15 . 10 <sup>-4</sup>
<b>WPM + 1200 mg <math>Ca^{2+}</math>. l<sup>-1</sup></b>	18,50 . 10 <sup>-4</sup>	20,50 . 10 <sup>-4</sup>
<b>WPM + 5 mg <math>Al^{3+}</math>. l<sup>-1</sup> + 400 mg <math>Ca^{2+}</math>. l<sup>-1</sup></b>	34,15 . 10 <sup>-4</sup>	35,50 . 10 <sup>-4</sup>
<b>WPM + 10 mg <math>Al^{3+}</math>. l<sup>-1</sup> + 800 mg <math>Ca^{2+}</math>. l<sup>-1</sup></b>	36,15 . 10 <sup>-4</sup>	45,05 . 10 <sup>-4</sup>
<b>WPM + 20 mg <math>Al^{3+}</math>. l<sup>-1</sup> + 1200 mg <math>Ca^{2+}</math>. l<sup>-1</sup></b>	37,25 . 10 <sup>-4</sup>	55,45 . 10 <sup>-4</sup>

Na toxicitu hliníka najcitlivejšie reagujú najmladšie bunky koreňového apexu, kým dospelé, diferencované bunky sa zdajú byť nezmenené. S ohľadom na polohu buniek voči zdroju stresovej záťaže sú najcitlivejšie pokožkové bunky koreňa, kým bunky centrálneho valca si nezmenené štruktúrne vlastnosti zachovávajú dlhšie /2/.

### LITERATÚRA

- /1/ Abdel-Basset, R., S. Ozuka, T. Demiral, T. Furuichi, I. Sawatani, T. I. Baskin, H. Matsumoto & Y. Yamamoto: Aluminium reduces sugar uptake in tobacco cell cultures: a potential cause of inhibited elongation but not of toxicity. *Journal of Experimental Botany*, 61, 2010:1597-1610.
- /2/ Cai, M. Z., S. N. Zhang, C. H. Xing, F. M. Wang, N. Wang & L. Zhu : Developmental characteristics and aluminum resistance of root border cells in rice seedlings. *Plant Science*, 180, 2011: 702-708.
- /3/ Čiamporová, M., Dekánková,, K.: Effects of chilling on root system morphogy and anatomy of the sensitive plants. *Biologia* 53, 1998.
- /4/ Chen, Y. M., T. M. Tsao, C. C. Liu, K. C. Lin & M. K. Wang: Aluminium and nutrients induce changes in the profiles of phenolic substances in tea plants (*Camellia sinensis* CV TTES, No. 12 (TTE)). *Journal of the Science of Food and Agriculture*, 91, 2011: 1111-1117.
- /5/ Horst, W. J., Y. X. Wang & D. Eticha : The role of the root apoplast in aluminium-induced inhibition of root elongation and in aluminium resistance of plants: a review. *Annals of Botany*, 106, 2010: 185-197.
- /6/ Kamenická, A., Valka, J.: Cultivation and propagation of magnolias. Technical University Publishers, Zvolen, 1997: p. 16-17.
- /7/ Lloyd, G.B., McCown, B.H.: Commercially feasible micropropagation of mountain laurel, *Kalmia latifolia*, by use of shoot-tip culture. *Proc. Int. Plant. Prop. Soc.*, 30, 1980: 421 – 427.
- /8/ López-Serreno, M.: Ca and Mg ions counteract the reduction by fosetyl-Al (aluminumtriethylphosphonate) of peroxidase activity from suspension-cultured grapevine cells. *Plant Cell, Tissue and Organ Culture*, 47, 1997: p. 207-212.
- /9/ Panda, S.K., Baluska, F., Matsumoto, H: Aluminium stress signalling in plants *Plant Signaling & Behavior* 4:7, 2009: 592-597.

### Poděkovanie

Uvedená práca vznikla za finančnej podpory projektu VEGA 2/0072/16 Biologicky aktívne látky vo vybraných druchoch okrasných drevín rodu *Magnolia*.

**DĽŽKOVÝ POLYMORFIZMUS RETROTRANSPOZÓNU SUKKULA V  
GENÓME PŠENICE S RÔZNOU ODOLNOSŤOU VOČI SUCHU**

**THE RETROTRANSPOSON SUKKULA LENGTH POLYMORPHISM IN WHEAT  
GENOME WITH VARIOUS DROUGHT RESISTANCE**

Matúš Kysel', Jana Žiarovská, Veronika Štefúnová, Katarína Ražná

Slovenská poľnohospodárska univerzita v Nitre, FAPZ, Katedra genetiky a šľachtenia rastlín, Tr. A. Hlinku 2, 949 76 Nitra, mat.kysel@gmail.com

***Summary***

Genomic length polymorphism of wheat with different drought-resistance was monitored on the varieties Aladin, Seladon, and Dagmar after application of PEG 6000 to the culture medium. Responses to this were detected by the IRAP analysis at DNA level and cDNA level. Primer derived from the Sukkula element identified 122 fragments with 81 – 92 % polymorphism at the DNA level and 59 – 73 % polymorphic fragments at the cDNA level in the wheat genome. The copy number variation and the primer binding sites in the genome increased under culture conditions not just right in time but also with the increasing concentration of PEG 6000.

*Key words:* retrotransposon *Sukkula*, wheat, drought resistance, IRAP polymorphism

***Súhrn***

Celogenómový polymorfizmus pšenice s rôznou odolnosťou voči suchu bol sledovaný na odrodách Aladin, Seladon a Dagmar po aplikácii PEG 6000 do kultivačného média. Prejavy odpovede na sucho boli sledované na úrovni DNA a cDNA analýzou IRAP. Prajmerom odvodeným od elementu *Sukkula* bolo rozpoznaných v genóme pšenice 122 fragmentov s polymorfizmom 81 – 92 % na úrovni DNA a 59 fragmentov s polymorfizmom 73 – 81 % na úrovni cDNA. Variabilný počet kópií a počet väzbových miest pre prajmery v genóme sa v kultivačných podmienkach zvyšuje nielen v čase, ale aj s rastúcou koncentráciou PEG 6000.

*Kľúčové slová:* retrotranspozón *Sukkula*, pšenica, suchovzdornosť, IRAP polymorfizmus

## ÚVOD

Pšenica je jedna z potravinársky významných a neoceniteľných komodít. V meniacich sa klimatických podmienkach je nevyhnutné, aby výskum v oblasti rastlinnej odpovedi na stresové podmienky dokázal reagovať intezívne a efektívne. Webová lokalita <https://www.wheatgenome.org/> prezentuje výsledky projektu identifikácie a priradenia pozícii jednotlivým zložkám genómu v referenčnom genóme pšenice kultivaru čínska jarná /1/. V genóme sa nachádzajú aj neautonómne mobilné elementy v dôsledku absencie génov zodpovedných za ich vlastnú transpozíciu. Element *Sukkula* [sook-koo-la], vo finštine „kyvadlová doprava“, patrí k hybridným retrotranspozónovým rodinám a je najpohyblivejším mobilným elementom a zároveň najpočetnejším elementom skupiny veľkých derivátov retrotranspozónov (LARD) v jačmeni /2/. Tak ako ostatné LARD má vysoký stupeň konzervativity sekvencie LTR a oblastí primárnej a sekundárnej štruktúry RNA. Vnútorný región tiež zahŕňa konzervatívnejšie oblasti na základe čoho je odhadovaná až 50-percentná konzervativita /2, 3/. Fluorescenčnou hybridizáciou za použitia prajmerov odvodených od

sekvencií *Sukkula* a LTR sa zistilo, že *Sukkula* sa vyskytuje v najväčšom počte v tých istých častiach chromozómov ako *BARE-1* /2/. Fyziologická charakteristika pšenice je v súčasnosti predmetom spracovania spoluriešiteľského pracoviska. Cieľom tejto práce je participovať na genomickej charakterizácii odpovede na sucho a rozpoznať príznaky expresných zmien alwbo genomickej prestavby.

## MATERIÁL A METÓDA

Biologický materiál predstavujú odrody pšenice letnej Seladon (ako náchylné na sucho) a odrody Aladin a Dagmar (odolné suchu) poskytnuté spoluriešiteľským pracoviskom VÚRV, Piešťany. Protokol sterilizácie semien etanolom, kultivácie v médiu podľa Murashige a Skoog obohateného o PEG 6000 (0, 5 a 10 %), 24-hodinová inkubácia a prenos do kontrolovaných podmienok bol prevzatý od autorského kolektívu /5/.

Tab. 1: Parametre PCR analýzy

PCR zmes			Režim PCR analýzy		
Zložka	Koncentrácia	Objem	Kroky (2. – 4.) opakované 44x	Teplota	Čas
dH <sub>2</sub> O	-	4,8 uL	1.Denaturácia	95 °C	300 s
DNA/cDNA	30 ng	1,2 uL	2.Amplifikácia	95 °C	60 s
2x MyTaq™ Mix (Bioline, Meridian Life Science® Company)	1 U polymerázy	7,5 uL	3.Anealing	50 °C	60 s
Prajmer HV-Sukkula (Microsynth)	200 nM	1,5 uL	4.Polymerácia	72 °C	120 s
			5.Renaturácia	72 °C	600 s
			6.Uchovanie	12 °C	∞
			Objem PCR		15 uL

Na extrakciu DNA/RNA metodikou podľa autorov /6/ sa použili mladé listy a semená 6 týždňových rastlín. Pred následnou amplifikáciou bola RNA prepísaná do cDNA pomocou protokolu Tetro cDNA Synthesis Kit (Bioline, Life Science® Company). PCR zmesi pri reakčných podmienkach (Tab. 1) úspešne vygenerovali amplifikačné produkty (MJ Mini Personal Thermal Cycler, Biorad), ktoré boli kontrolované horizontálnou agarózovou elektroforézou (1,5 %). Tá prebehala pri konštantnom napätí 80 V a prúde 30 mA v rozpätí 2 – 4 hodiny. Rozdelené fragmenty vizualizované v transiluminátore (Transiluminator UVP) a hodnotené na základe amplifikačných produktov analýzou čierno-bielych výstupov analytickým softvérom GeneSnap (dokumentačný systém G-Box, Syngene) a komerčne dostupným softvérom GelAnalyzer 2010 (GelAnalyzer.com).

## VÝSLEDKY A DISKUSIA

Markérovací systém IRAP sleduje polymorfizmy v inzerčných miestach medzi retrotranspozónmi. Mutačné zmeny vyvolané vplyvom stresových podmienok sa prejavujú hlavne v blízkosti kódujúcich oblastí, kde manifestujú v podobe expresných zmien a genomickej prestavbe /7/. Limitujúcim faktorom retrotranspozómových markérov je nutnosť sekvenovania koncových úsekov retrotranspozónov – dlhých tandemových repetícií (LTR) pre voľbu alebo návrh prajmerov /8, 9/.

Prajmer sekvencie 5'-TGTGACAGCCCCATGCCG-3' odvodený od elementu *Sukkula* bol schopný rozpoznať v genóme pšenice 122 fragmentov na úrovni DNA a 59 fragmentov na úrovni cDNA (Tab. 2). Len jeden fragment na každej úrovni možno považovať za monomorfický (240 bp na úrovni DNA a 20 bp na úrovni cDNA) ako ukázali dátá po úprave molekulárnych veľkostí fragmentov získaných programom GelAnalyzer. Opakované amplifikácie potvrdili, že genóm odrody Dagmar vytvára menej reprodukovateľné

profily na úrovni DNA a z toho dôvodu bola amplifikácia triplikovaná zatiaľ čo pri odrodách Aladin a Seladon iba duplikovaná. Amplifikácia na úrovni cDNA nebola reprodukovaná čo sa prejavilo v celkovom počte fragmentov (Tab. 2).

Tab. 2: Parametre fragmentov amplifikovanej DNA a cDNA markérom IRAP

Úroveň DNA					Úroveň cDNA				
Profil	Počet	Rozsah (bp)	Priemer (bp)	GTS (%)	Profil	Počet	Rozsah (bp)	Priemer (bp)	PIC (%)
1/0	11	18>1169	454,27	91,55	1/0	8	81>798	341,38	76,92
1/5	13	18>1189	360,38	88,73	1/5	6	81>558	252,67	76,92
1/10	14	18>1279	353,29	85,92	1/10	7	80>530	214,71	80,77
2/0	11	19>402	217,27	85,92	2/0	7	82>537	278,57	80,77
2/5	11	19>400	194,09	85,92	2/5	6	82>551	242,33	76,92
2/10	11	19>417	205,55	85,92	2/10	5	73>551	209,00	80,77
3/0	18	20>725	195,83	81,69	3/0	5	74>562	211,60	80,77
3/5	17	19>1224	398,76	90,14	3/5	8	75>551	186,38	73,08
3/10	16	20>780	183,69	81,69	3/10	7	71>530	182,86	73,08
Sum	122	18>1279	284,79		Sum	59	71>798	235,50	

Označenie profílov: 1/0, 1/5 a 1/10 – odroda Aladin; 2/0, 2/5 a 2/10 – odroda Seladon; 3/0, 3/5 a 3/10 – odroda Dagmar; 1/0, 2/0 a 3/0 – bez PEG 6000; 1/5, 2/5 a 3/5 – s 5 % PEG 6000 a 1/10, 2/10 a 3/10 – s 10 % PEG 6000. GTS (Stabilita genomického templátu) vyjadrené ako 100-(100 x a/n), kde a je počet polymorfnych fragmentov a n je celkový počet fragmentov.

Tabuľkové vyobrazenie elektroforetogramov s odhadovými hodnotami rozsahu veľkostí fragmentov a priemernej veľkosti fragmentu na príslušný profil DNA dokumentuje interakciu medzi rastúcou koncentráciou PEG v kultivačnom médiu a variabilným počtom kópií (CNV) elementu *Sukkula* v genóme pšenice. Jav bol sledovaný na úrovni DNA aj cDNA a potvrzuje reakciu elementu *Sukkula* na navodený stres. Každá z odrôd pšenice reagovala na úrovni DNA na stres zvýšením aktivity retrotranspozónov (odrody Aladin a Dagmar) alebo zmenou amplifikovaného profilu (odrody Seladon a Dagmar) (Tab. 2). Naopak na úrovni cDNA všetky odrody vykazujú rovnakú reakciu so znižujúcou sa priemernou veľkosťou fragmentov o 2 – 35 % ku 5-percentnej koncentrácií PEG a o 15 – 59 % ku 10 % koncentrácií PEG. Celkový polymorfizmus v genóme pšenice sa pohybuje medzi 81 – 92 % v DNA a 73 – 81 % v cDNA. Štúdia elementu *Sukkula* na kultúrach starnúcich kalusových materiálov jačmeňa ukazujú polymorfizmus 61 – 70 % /10/. Na druhej strane najnovšia štúdia zaoberajúca sa elementom *Sukkula* vyčislila jeho polymorfizmus na 8 – 100 % v rozsahu 350 – 1500 bp v ľudskom genóme 12 mužov a 12 žien /11/. Posledné výskumy ukazujú, že CNV sa v kultivačných podmienkach v čase zvyšuje čím dochádza k rozširovaniu genómu /12/ následkom čoho sa zvyšuje počet väzbových miest pre prajmery v genóme a znižuje veľkosť amplifikačných produktov. Suchovzdornosť je na natoľko komplexný znak, ktorý potrebuje mať definovanú odpoveď na všetkých úrovniach rastlinného organizmu od DNA až po biologickú niku. Až potom je možné formulovať stanoviská v kontexte celistvého rastlinného organizmu a jeho interakcie s okolím.

## LITERATÚRA

- /1/ IWGSC (International Wheat Genome Sequencing Consortium): A chromosomebased draft sequence of the hexaploid bread wheat (*Triticum aestivum*) genome. Science, 345 (6194), 2014: 1251788.  
 /2/ Kalendar, R., Vicent, C. M., Peleg, O., Anamthawat-Jonsson, K., Bolshoy, A., Schulman, A. H.: Large Retrotransposon Derivatives? Abundant, Conserved but Nonautonomous Retroelement of Barley and Related Genomes. Genetics, 166 (3), 2004: 1437 – 1450.

- /3/ Shirasu, K., Schulman, A. H., Lahaye, T., Schulze-Lefert, P.: A Contiguous 66-Kb Barley DNA Sequence Provides Evidence for Reversible Genome Expansion. *Genome Research*, 10 (7), 2000: 908 – 915.
- /5/ Nawaz, S., Ahmed, N., Iqbal, A., Khaliq, I.: Optimization of regeneration protocols for wheat under drought and salt stress. *Pakistan Journal of Agricultural Sciences*, 50 (4) 2013: 663 – 670.
- /6/ Rogers, S. O., Bendich, A. J.: Extraction of total cellular DNA from plants, algae and fungi. *Plant Molecular Biology Manual*, Springer Netherlands, 1994: 183 – 190.
- /7/ Salazar, M., González, E., Casaretto, J. A., Casacuberta, J. M., Ruizlara, S.: The promoter of the TLC1. 1 retrotransposon from *Solanum chilense* is activated by multiple stress-related signaling molecules. *Plant Cell Reports*, 26 (10), 2007: 1861 – 1868.
- /8/ Kalendar, R., Grob, T., Regina, M., Suoniemi, A., Schulman, A. H.: IRAP and REMAP: Two New Retrotransposon-Based DNA fingerprinting Techniques. *Theoretical and Applied Genetics*, 98 (5), 1999: 704 – 711.
- /9/ Kalendar, R., Antonius, K., Smýkal, P., Schulman, A. H.: iPBS: A Universal Method for DNA Fingerprinting and Retrotransposon Isolation. *Theoretical and Applied Genetics*, 121 (8), 2010: 1419 – 1430.
- /10/ Kartal-Alacam, G., Yilmaz, S., Marakli, S., Gozukirmizi, N.: Sukkula retrotransposon insertion polymorphism in barley. *Russian Journal of Plant Physiology*, 61 (6), 2014: 828 – 833.
- /11/ Cakmak, B., Marakli, S., Gozukirmizi, N.: Sukkula retrotransposon movements in the human genome. *Biotechnology & Biotechnological Equipment*, 31 (4), 2017: 756 – 760.
- /12/ Gozukirmizi, N.: Retrotransposon Based Markers And Their Applications In Barley (*Hordeum Vulgare L.* Cvs.) Tissue Culture. International Symposium On Sustainable Development. 2014: 1 – 7.

### Podčakovanie

Riešenie práce bolo finančne podporené projektom APVV-15-0156 Genomická selekcia obilnín na suchovzdornosť. Autori by radi vyjadrili podčakovanie p. Helene Csámpaiovej za kultiváciu rastlín a Ing. Beate Kováčovej za technickú asistenciu.

## PORASTY BORIEVKY OBYČAJNEJ V ROZDIELNYCH NADMORSKÝCH VÝŠKACH

### STANDS OF JUNIPER AT A RANGE OF ALTITUDES

Vladimíra Vargová, Ľubica Jančová

Národné poľnohospodárske a potravinárske centrum – Výskumný ústav trávnych porastov a horského poľnohospodárstva, Mládežnícka 36, 974 21 Banská Bystrica, vargova@vutphp.sk

#### *Summary*

The aim of research was to review botanical and soil characteristics as well as the quality of grassland at the sites where the high incidence of juniper (*Juniperus communis* L.) was found. The following research sites with different altitude were monitored: Donovaly (960 m a.s.l.), Kráľová pri Zvolene (650m a.s.l.), Priechod (578m a.s.l.), and Horné Lazy (656m a.s.l.).The following research sites were monitored: Donovaly (960 m), Kráľová pri Zvolene (650 m), Priechod (578 m) and Horné Lazy (656 m). The botanical composition of grassland and quality ( $E_{GQ}$ ) was determined. The results of monitoring showed the valuable to the less-valuable grassland ( $E_{GQ}$  58.63 – 61.38) at all the sites. The best value of grassland was found at the sites of Horné Lazy and Kráľová pri Zvolene, although the soil acidity was very high at the Kráľová site. At the other sites, the soil was characterized by a neutral soil reaction, with a high content of humus and nitrogen (N), a low to very low content of phosphorus (P), a good to a high content of potassium (K) and a very high content of magnesium (Mg).

*Key words:* grassland, *Juniperus communis* L., altitude, botanical composition, soil reaction

#### *Súhrn*

Cieľom výskumu bolo posúdiť botanické a pôdne charakteristiky a kvalitu trávneho porastu na lokalitách hromadného výskytu borievky obyčajnej (*Juniperus communis* L.). Boli monitorované lokality v rozdielnych nadmorských výškach: Donovaly (960 m ), Kráľová pri Zvolene (650 m), Priechod (578 m) a Horné Lazy (656 m). Botanické zloženie trávneho porastu a kvalitu sme stanovili pomocou metódy projektívnej dominancie a bonitácie trávneho porastu ( $E_{GQ}$ ). Výsledky monitorovania ukázali hodnotný až menej hodnotný trávny porast ( $E_{GQ}$  58.63 – 61.38) na všetkých lokalitách. Najlepšie hodnotený trávny porast bol na lokalitách Horné Lazy a Kráľová pri Zvolene, na ktorom bola pôdna reakcia silne kyslá. Na ostatných lokalitách bola pôda charakterizovaná neutrálou pôdnou reakciou, s vysokým obsahom humusu a dusíka (N), nízkym až veľmi nízkym obsahom fosforu (P), dobrým až vysokým obsahom draslíka (K) a veľmi vysokým obsahom horčíka (Mg).

*Kľúčové slová:* trávny porast, *Juniperus communis* L., nadmořská výška, botanika, pôdna reakcia

## ÚVOD

V súčasnosti sa v podmienkach miernej klímy borievka obyčajná nachádza najčastejšie na ťažko prístupných lokalitách, pričom v minulosti sa vyskytovala na využívaných a prístupných pasienkoch. Pri zavedení agrolesníckych systémov s borievkovými pasienkami sa zlepší využívanie trávnych porastov hospodárskymi zvieratami a zároveň sa zabezpečí produkcia plodov borievky /1/. Borievka obyčajná je málo konkurenčný ihličnatý vždyzelený ker s tvrdými, pichľavými ihlicami v trojpočetných praslenoch. Vyskytuje sa tam kde je

dostatok svetla, je nenáročná na pôdu a vlahu. Je to dvojdomá rastlina, s produkciou plodov na samičích jedincoch raz za dva až tri roky. Na jednom kríku sa môžu vyskytnúť zelené bobuľky a dozrievajúce modré bobuľky s voskovým nádychom. Plody borievky obyčajnej sú nevyhnutné pre výrobu destilátov, likérov, sirupov a iných produktov a v súčasnosti sa zabezpečujú výlučne dovozom z Albánska a Macedónska. Dovážajú sa prevažne plody borievky červenoplodej (*Juniperus oxycedrus* L.) s väčším obsahom cukru, ale s nižším obsahom aromatických látok v porovnaní s plodmi borievky obyčajnej. Okrem toho sa borievka využíva aj v kozmetickom, potravinárskom a farmaceutickom priemysle. Jej domáca produkcia je minimálna, aj keď je na Slovensku dostaok vhodných pôdnoklimatických podmienok na jej intenzívne pestovanie. Cieľom tohto príspevku je zhodnotenie floristického zloženia a pôdnich podmienok výskytu borievky obyčajnej v rôznych nadmorských výškach.

## MATERIÁL A METÓDA

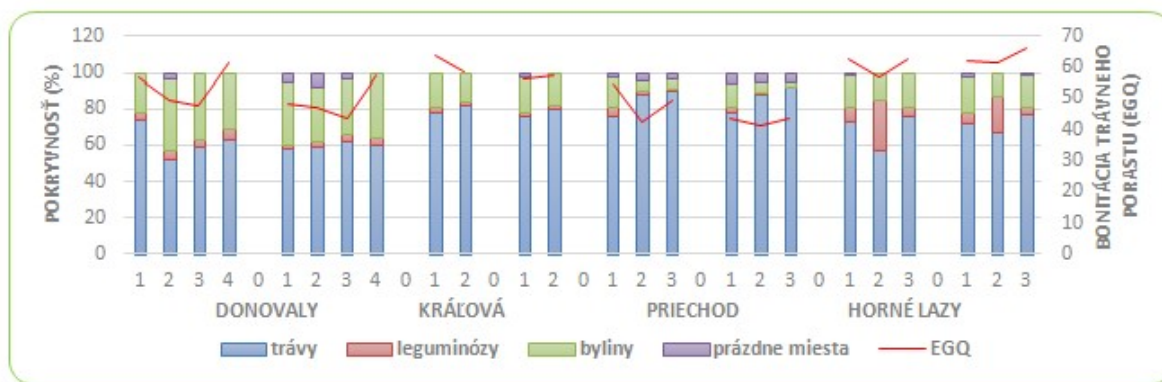
Monitoring výskytu borievok na trávnom poraste sme realizovali v rokoch 2015 - 2017 na štyroch lokalitách v rozdielnych nadmorských výškach – *Donovaly* (960 m), *Kráľová pri Zvolene* (650 m), *Priechod* (578 m) a *Horné Lazy* (656 m). Analyzovali sme botanické zloženie pomocou redukovanej projektívnej dominancie podľa Malocha /3/. Na základe podielov rastlín a kŕmnych hodnôt jednotlivých druhov sme určili bonitáciu trávneho porastu E<sub>GQ</sub> podľa /5/. Pôdne vzorky sme odoberali v jesennom období (október) z hĺbky 0 - 150 mm. Z odobratých pôdnich vzoriek sme stanovili pH v KCl, C<sub>ox</sub>, N, P, K a Mg, z ktorých sme určili štatistickú významnosť rozdielu jednotlivých lokalít metódou analýzy rozptylu ANOVA pomocou Tukeyovho testu na hladine významnosti 0,05 v programe STATGRAPHIC Centurion XVI.I.

## VÝSLEDKY A DISKUSIA

Porasty borievky obyčajnej sa nachádzali v rozdielnych nadmorských výškach od 578 – 960 m n. m na Slovensku. Výskyt borievky obyčajnej na Kopaoniku bol v nadmorských výškach od 420 m – 1420 m /7/. Na lokalite *Donovaly* bol skupinovitý výskyt borievky obyčajnej. *Kráľová pri Zvolene* s hlúčikovitým výskytom, *Priechod* s plošnou a *Horné Lazy* s ostrovčekovitou formou výskytu borievky obyčajnej.

Lokalitu *Donovaly* sme monitorovali na jar a jeseň na štyroch stanovištiach. Porasty boli využívané lesnou zverou. Na začiatku vegetačného obdobia dominovali trávy od 52 – 74 % a bylinky 22 – 40 % (graf 1). Leguminózy mali 4 – 6 %-né zastúpenie s prevahou *Anthyllis vulneraria* L. (2 %) a *Trifolium montanum* L. (2 %). Z tráv prevládali *Arrhenatherum elatius* L. (19 %), *Bromus inermis* L. (8 %) a *Briza media* L. (6 %) a z bylín *Calamintha alpina* L. (3 %), *Salvia verticillata* L. (2 %), *Thymus pulegioides* L. (1 %). Ku koncu vegetácie sa zastúpenie tráv mierne znížilo a zvýšil sa podiel bylín. Bonitácia trávneho porastu na jar mala hodnoty E<sub>GQ</sub> 47,50 – 61,50, čo znamená menej hodnotný až hodnotný trávny porast, ktorý bol aj na jeseň.

Lokalita *Kráľová pri Zvolene* bola v dolnej časti využívaná pasením oviec a hovädzieho dobytka. V poraste na začiatku vegetácie dominovali najmä trávne druhy (*Arrhenatherum elatius* L. - 19 %, *Trisetum flavescens* (L.) P. Beauv. - 13 % a *Poa pratensis* L. - 8 %) a bylinky (*Cruciata glabra* L. - 2 %, *Galium verum* L. - 2 %, *Hypericum perforatum* L. - 1 %). Na jeseň mierne stúplo zastúpenie bylín a výskyt prázdnych miest (2 %) z dôvodu odstraňovania borievok pod elektrickým vedením. Pokryvnosť leguminóz bola nízka (2 %) s výskytom *Trifolium repens* L. a *Trifolium pratense* L. Bonitácia trávneho porastu na jar mala hodnoty E<sub>GQ</sub> 58,75 – 63,75, čo znamená menej hodnotný až hodnotný trávny porast. Ku koncu vegetačného obdobia boli hodnoty o niečo nižšie (E<sub>GQ</sub> 56,25 – 57,75), ale s rovnakou kvalitou.



Graf 1: Floristické zloženie a bonitácia trávneho porastu

Na lokalite **Priechod** dominovali trávy a bylinky. Z tráv na jar prevládali *Festuca rubra* L. (24 %), *Bromus ramosus* L. (15 %), *Arrhenatherum elatius* L. (14 %) a *Bothiochloa ischaemum* (L.) Keng. (9 %) a z leguminóz *Anthyllis vulneraria* L. (3 %) a *Medicago falcata* L. (2 %). Na konci vegetačného obdobia mierne stúpol podiel tráv a prázdnych miest (5 – 6 %), ktoré vznikli pre rozrýtie porastu diviakmi. Zvýšil sa podiel trávnych druhov *Bromus ramosus* L. (17 %) a *Bothiochloa ischaemum* (L.) Keng (15 %). Bonitácia porastu na jar mala hodnoty EGQ 42,50 – 54,38, čo znamená menejhodnotný až hodnotný trávny porast, ktorý bol aj na jeseň, no s nižšími hodnotami EGQ. Porast bol využívaný pasením oviec. Na poraste v lokalite **Horné Lazy**, pasené mladým HD, dominovali trávy. Ich podiel ku koncu vegetácie mierne stúpol. Z trávnych druhov v poraste prevládali *Bromus inermis* L. (25 %), *Arrhenatherum elatius* L. (12 %) a *Briza media* L. (6 %). Na jar mali leguminózy vyššie zastúpenie (28 %) s dominanciou *Anthyllis vulneraria* L. (25 %), ktoré sa počas vegetácie znížilo. Pri hodnotení trávneho porastu pomocou bonitácie, bol porast menejhodnotný až hodnotný s hodnotami EGQ od 57,00 do 66,13. Tieto hodnoty odpovedajú nižšiemu zastúpeniu vysokohodnotných druhov tráv s vysokou kŕmnou hodnotou /6/.

Pôdna reakcia na lokalite **Donovaly** bola neutrálna od 6,70 – 7,09. Obsah humusu bol stredný až veľmi vysoký, s nízkym obsahom fosforu a draslíka v pôde. Zásoba fosforu a draslíka bola nízka až dobrá. Obsah priateľného horčíka sa zistil veľmi vysoký. Na lokalitách spásaných lesnou zverou bol vyšší obsah Mg, K a humusu. Reakcia pôdy na lokalite **Kráľová** bola silne kyslá s priemernou hodnotou pH 4,58, s vysokým obsahom humusu a dusíka. Nízke hodnoty pôdnej reakcie sa štatisticky preukazne potvrdili (tab. 1) voči ostatným lokalitám. Zásoba fosforu v pôde bola veľmi nízka s hodnotami len 1,88 - 1,94 g.kg<sup>-1</sup>. Veľmi vysoký bol obsah K, čo bolo aj signifikantne potvrdené ( $P < 0,05$ ) voči ostatným lokalitám. Pôdna reakcia na lokalite **Priechod** bola neutrálna (6,67 – 6,92). Obsah humusu aj dusíka bol vysoký, zásoba P v pôde nízka a obsah priateľného K dobrý až vysoký. Zaznamenala sa veľmi vysoká zásoba Mg s najväčšou priemernou hodnotou 1169,91 mg.kg<sup>-1</sup>, čo sa aj štatisticky preukazne potvrdilo. Lokalita **Horné Lazy** mala pôdnú reakciu neutrálnu (6,69 – 6,71), s veľmi vysokým obsahom humusu a dusíka. Obsah fosforu v pôde bol veľmi nízky, dobrý obsah draslíka a veľmi vysoký obsah priateľného horčíka. Naše pôdy sú dobre zásobené horčíkom čo potvrdzujú aj naše zistenia /2/. Vysoký obsah humusu, priateľného N, K a horčíka v pôde súvisí s pasením zvierat, čím sa ich zásoby živín zvyšujú. Dostupnosť živín v pôde sa môže meniť aj vplyvom zrážok, teploty, pôdneho typu a pôdnej reakcie /4/.

Tab 1: Priemerné hodnoty agrochemických vlastností pôdy

Lokalita	pH/KCl	Cox g.kg <sup>-1</sup>	N g.kg <sup>-1</sup>	P mg.kg <sup>-1</sup>	K mg.kg <sup>-1</sup>	Mg mg.kg <sup>-1</sup>
<b>Donovaly</b>	6,89 <sup>b</sup>	45,69 <sup>a</sup>	4,57 <sup>a</sup>	1,81 <sup>a</sup>	123,61 <sup>a</sup>	1098,11 <sup>ab</sup>
<b>Kráľová</b>	4,58 <sup>a</sup>	37,65 <sup>a</sup>	3,01 <sup>a</sup>	1,91 <sup>a</sup>	345,18 <sup>b</sup>	312,19 <sup>a</sup>
<b>Priechod</b>	6,78 <sup>b</sup>	41,71 <sup>a</sup>	3,98 <sup>a</sup>	1,56 <sup>a</sup>	241,08 <sup>ab</sup>	1169,91 <sup>b</sup>
<b>Horné Lazy</b>	6,73 <sup>b</sup>	54,33 <sup>a</sup>	4,83 <sup>a</sup>	1,42 <sup>a</sup>	171,67 <sup>a</sup>	1056,25 <sup>ab</sup>

Rozdielne indexy znamenajú štatisticky preukazné rozdiely medzi úrovňami faktorov (Tukey t -test, P = 0,05).

## ZÁVER

Porasty borievky obyčajnej boli monitorované v rôznych nadmorských výškach (578 – 960 m) s rôznou formou výskytu. Na lokalite Donovaly bol skupinovitý výskyt, v Kráľovej pri Zvolene hlúčikovitý, v Priechode plošný a na Horných Lazoch s ostrovčekovitým výskytom. Lokality sa vyznačovali neutrálou pôdnou reakciou, okrem lokality Kráľová pri Zvolene, kde bolo silne kyslé pH, čo bolo aj signifikantne potvrdené. Pôdy boli charakteristické vysokým obsahom humusu, dusíka, nízkym až veľmi nízkym obsahom priateľného fosforu v pôde, s dobrým až vysokým obsahom draslíka a veľmi vysokým obsahom horčíka. Trávny porast pri výskyte borievky obyčajnej bol hodnotený ako hodnotný až menej hodnotný. Najlepšia kvalita trávneho porastu bola na lokalitách Horné Lazy a Kráľová pri Zvolene, kde boli tieto porasty využívané pasením mladého HD a ovcami. Naše zistenia potvrdili, že nadmorská výška a agrochemické vlastnosti pôdy nemajú vplyv na výskyt borievky obyčajnej. Jej pestovanie na produkciu plodov by malo byť manažované v súčinnosti s pasením hospodárskych zvierat (Silvopasture), tak ako je to na monitorovaných lokalitách. Uvedené lokality sú dobrým príkladom agrolesníctva, pri ktorom si farmári môžu svoju produkciu diverzifikovať a tým si zvýšiť príjmy.

## LITERATÚRA

- /1/ Jankovič J et al. : Poznatky z mapovania borievkových porastov na Slovensku. In *Dlhodobý ekologický výskum a monitoring lesov. Súčasné poznatky a výzvy do budúcnosti* : zborník recenzovaných príspevkov z konferencie. Zvolen: NLC, 2017: 67-71.
- /2/ Kobza, J. et al.: Aktuálny stav a vývoj obsahu fosforu, draslíka a horčíka v polnohospodárskych pôdach Slovenska. In *Agrochémia*, 50 (1), 2010: 3-8.
- /3/ Maloch, M.: *Krmovinárstvo*. II. diel. Bratislava : SPN, 1953: 616.
- /4/ Maathuis, F.: Physiological function of mineral macronutrients. In *Current Opinion in Plant Biology*, 12 (3), 2009: 250-258.
- /5/ Novák, J.: Evaluation of grassland quality. In *Ekológia (Bratislava)*, 23, (2), 2004: 127-143.
- /6/ Novák, J. 08: *Pasienky, lúky a trávniky*. Prievidza : Patria I. spol. s r. o. , 2008: 708.
- /7/ Vasic P. et al.: The effect of altitude on the presence of plant species in stands for Juniperus L., plant species on Kopaonik. In *The University Thought – Publication in Natural Sciences*,, 6, (2), 2016: 5-10.

## Poděkování

Príspevok bol spracovaný vďaka podpore projektu APVV-14-0843 „Výskum možnosti pestovania borievky (*Juniperus communis L.*) na produkciu plodov“.

# AKUMULÁCIA A FYZIOLOGICKÉ ÚČINKY VYBRANÝCH ŤAŽKÝCH KOVOV NA RAST A VÝVIN BRUSNICE ČUČORIEDKOVEJ (*VACCINIUM MYRTILLUS* L.)

## ***ACCUMULATION AND PHYSIOLOGICAL IMPACT OF SELECTED HEAVY METALS ON BLUEBERRY (*VACCINIUM MYRTILLUS* L.) GROWTH AND DEVELOPMENT***

Natalia Maximová, Michaela Saganová, Ľudmila Slováková, Marek Vaculík

Univerzita Komenského v Bratislave, PriF UK, Katedra fyziológie rastlín, Ilkovičova 6, 842 15  
Bratislava, vaculik@fns.uniba.sk

### *Summary*

Using soil elements analysis we found out high accumulation of Pb in the soil from localities Vysoké Tatry (Litvorová dolina  $110.4 \text{ mg kg}^{-1}$ ; Velická dolina  $104.4 \text{ mg kg}^{-1}$ ) and Veľká Fatra (Krížna  $88.09 \text{ mg kg}^{-1}$ ). Nevertheless, it was not recorded increased concentrations of Pb in the particular bluberry plant tissues. The highest Pb concentration was recorded in stems ( $1.14; 0.82; 0.77 \text{ mg kg}^{-1}$ ). Cd concentration on the monitored localities was relative low ( $0.8; 2.6; 0.88 \text{ mg kg}^{-1}$ ) which corresponded with its low accumulation in plants. In the laboratory experiments stress level of plants cultivated on Hoagland nutrient medium supplemented with  $\text{CdCl}_2$  ( $1 \text{ mg l}^{-1}$ ) a  $\text{Pb}(\text{NO}_3)_2$  ( $30 \text{ mg l}^{-1}$ ) was manifested by significant decreasing of photosynthesis activities compared with control plants. Values of QY max ( $\text{C} - 0.76 \pm 0.02$ ; Cd –  $0.60 \pm 0.09$ ; Pb –  $0.62 \pm 0.06$ ) a  $\Phi_{\text{PS II}}$  ( $\text{C} - 0.68 \pm 0.03$ ; Cd –  $0.53 \pm 0.05$ ; Pb –  $0.34 \pm 0.05$ ) significantly decreased whereas values of NPQ ( $\text{C} - 0.19 \pm 0.04$ ; Cd –  $0.46 \pm 0.15$ ; Pb –  $0.49 \pm 0.06$ ), expressing degree of stress, significantly increased.

**Key words:** blueberry plants, *Vaccinium myrtillus*, Pb and Cd accumulation, photosynthesis, stress

### *Súhrn*

Analýzou prvkového zloženia pôdy z oblastí Vysoké Tatry (Litvorová dolina  $110,4 \text{ mg kg}^{-1}$ ; Velická dolina  $104,4 \text{ mg kg}^{-1}$ ) a Veľká Fatra (Krížna  $88, 09 \text{ mg kg}^{-1}$ ) sme zistili vysokú koncentráciu Pb. Napriek tomu sme zvýšené koncentrácie Pb v jednotlivých častiach rastlín brusnice čučoriedkovej nezaznamenali. Najvyššia koncentrácia bola v stonkách ( $1,14; 0,82; 0,77 \text{ mg kg}^{-1}$ ). Koncentrácia Cd pôd sledovaných stanovišť bola nízka ( $0,8; 2,6; 0,88 \text{ mg kg}^{-1}$ ) a tomu zodpovedala aj nízka akumulácia do jednotlivých častí rastlín. Miera stresu pôsobením  $\text{CdCl}_2$  ( $1 \text{ mg l}^{-1}$ ) a  $\text{Pb}(\text{NO}_3)_2$  ( $30 \text{ mg l}^{-1}$ ) v živnom médiu v laboratórnych experimentoch sa prejavila preukazným znížením fotosyntetickej aktivity rastlín. Hodnoty QY max ( $\text{K} - 0,76 \pm 0,02$ ; Cd –  $0,60 \pm 0,09$ ; Pb –  $0,62 \pm 0,06$ ) a  $\Phi_{\text{PS II}}$  ( $\text{K} - 0,68 \pm 0,03$ ; Cd –  $0,53 \pm 0,05$ ; Pb –  $0,34 \pm 0,05$ ) preukazne klesali, zatiaľ čo hodnoty NPQ ( $\text{K} - 0,19 \pm 0,04$ ; Cd –  $0,46 \pm 0,15$ ; Pb –  $0,49 \pm 0,06$ ), vyjadrujúce mieru stresu, preukazne stúpali.

**Kľúčové slová:** čučoriedka, *Vaccinium myrtillus*, Pb a Cd akumulácia, fotosyntéza, stres

## **ÚVOD**

Hoci sú horské lokality polohou vzdialené od zdrojov znečistenia, patria do územia, intenzívne vystavenému kontaminácii atmosférickými polutantmi. Množstvo ťažkých kovov sa môže viazať s jemnými aerosólovými časticami, čo umožňuje ich transport na dlhé

vzdialenosť a depozíciu vo vysokých nadmorských výškach /1/. Rastliny sú schopné absorbovať ďažké kovy z pôdy a akumulovať ich v koreni alebo v nadzemných častiach. Zvýšené koncentrácie Pb, Cd a Zn v machoch korelujú s rastúcou nadmorskou výškou vo Vysokých Tatrách /2/. Región na hraniciach Slovenska, Poľska a Českej republiky predstavuje druhý "čierny trojuholník" v Európe s relatívne vysokou koncentráciou ďažkých kovov, ktorá je synonymom kontaminácie prostredia kyslými dažďami a vzdušnými emisiám /3/. Horské obasti Tatier a Veľkej Fatry sú výbornými modelovými lokalitami pre štúdium distribúcie vzdušných polutantov. Vysoké Tatry zachytávajú vzdušné emisie ďažkých kovov zo svero-západných zdrojov (Ostrava, Małopolský okres na juhu Poľska a Moravskosliezsky kraj) /4/. Veľkú Fatru ovplyvňujú emisie z industriálnych zón v Martine, Žiline, Považskej Bystrici, Katowiciach a z Ostravska /5/. Čučoriedka obyčajná (*Vaccinium myrtillus* L.) je ker z čeľade Ericaceae. Tvorí rozsiahle porasty v rôznych lesných typoch v studenom a miernom klimatickom pásme. Má dôležitú úlohu v prirodzenej sukcesii a v regulácii toku živín lesných ekosystémov a v ich produktivite /6/. Vďaka rozsiahlému výskytu a schopnosti akumulovať ďažké kovy sa využíva ako indikátor kontaminácie v environmentálnom monitoringu /6, 7/. Má vysokú rezistenciu voči znečisteniu, čím úspešne osídľuje kyslé a ďažkými kovmi kontaminované pôdy /6/.

Cieľom práce bolo porovnať akumuláciu vybraných ďažkých kovov a zistiť mieru kontaminácie vysokohorských oblastí Slovenska, sledovať schopnosť akumulácie ďažkých kovov a ich vplyv na fotosyntetickú aktivitu brusnice čučoriedkovej.

## MATERIÁL A METÓDA

Kontamináciu pôd a rastlín brusnice čučoriedkovej (*Vaccinium myrtillus* L.) z rôznych lokalít (Litvorova dolina, Velická dolina – Vysoké Tatry, Krížna – Veľká Fatra; nadmorská výška 1500 – 1900 m.n.m) sme stanovili metódou emisnej spektrometrie s indukčne viazanou plazmom (ICP-OES). Kompozitná vzorka predstavovala plne vyzreté a zdravo vyzerajúce jedince zbierané v mesiacoch august a september. Rastliny pre zistenie vplyvu Cd a Pb na fotosyntetickú aktivitu sme vypestovali v laboratórnych podmienkach zo semien z prírody odobratých plodov. Dvoj-mesačné rastliny sme pestovali v kontajneroch 10x10 cm v perlite v kontrolovaných podmienkach (intenzita osvetlenia  $200 \mu\text{mol}\cdot\text{m}^{-2}\cdot\text{s}^{-1}$ , fotoperiód 16/8, teplota 22-23 °C). Po dobu 2 mesiace sme rastliny 2x týždenne zalievali 100 ml  $\frac{1}{2}$  Hoaglandovho /8/ živného roztoku – K a s pridaním  $\text{CdCl}_2$  (1 mg l<sup>-1</sup>) a  $\text{Pb}(\text{NO}_3)_2$  (30 mg l<sup>-1</sup>). Ovplynenie fotosyntetickej aktivity (maximálny kvantový výťažok – QYmax; efektívny kvantový výťažok fotosystému II –  $\Phi_{\text{PSII}}$ ; nefotochemické zhášanie – NPQ) sme sledovali pomocou infračerveného analyzátoru (Ciras-2, PP-Systém). Získané výsledky sme vyhodnotili analýzou variancií (Statgraphics Centurion XV v.15.2.05).

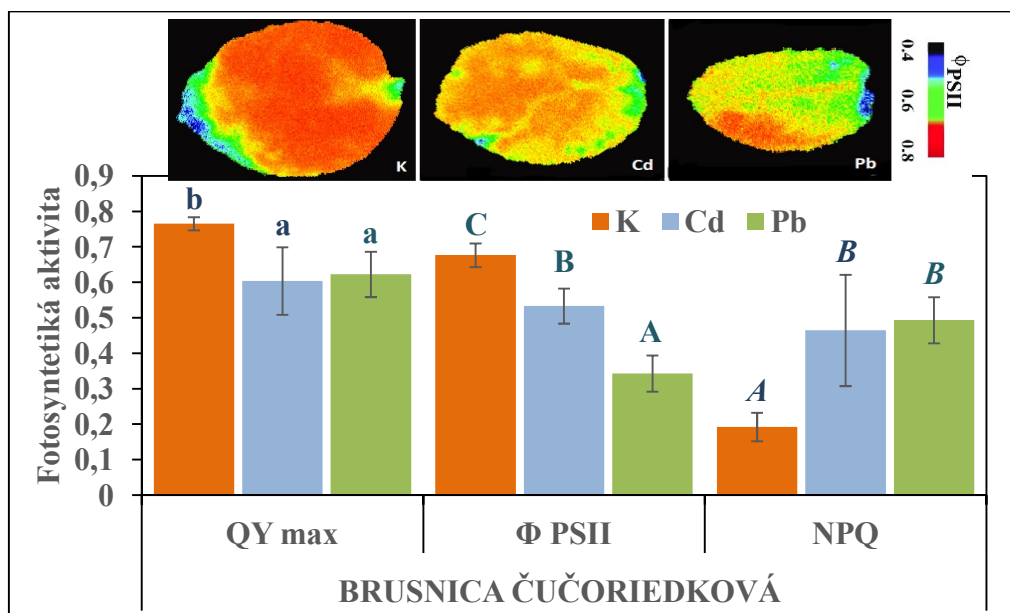
## VÝSLEDKY A DISKUSIA

Analýza distribúcie vybraných prvkov v jednotlivých orgánoch brusnice čučoriedkovej (korene, konáriky, listy) z troch študovaných lokalít (Velická dolina, Litvorová dolina a Krížna) ukázala (tab. 1), že najväčšia koncentrácia prvkov bola v pletivách koreňa a klesala od konárikov k listom. Výnimku tvoril Zn, ktorý dosahoval najvyššie koncentrácie v konárikoch. Pravdepodobne to spôsobil Zn viažuci sa na sekundárne bunkové steny xylému v zdrevnatených častiach. V prípade Hg sme zaznamenali najvyššiu koncentráciu v listoch (v priemere  $0,027 \text{ mg kg}^{-1}$ ), kým koncentrácia Hg v koreňoch rastlín na študovaných lokalitách dosahovala cca.  $\frac{1}{4}$  koncentrácie v listoch. Predpokladáme, že zdrojom Hg vo vysokohorskom prostredí Slovenska je atmosférická depozícia a čučoriedky ju prijímajú prednostne foliárnnou cestou. Koncentrácia Hg však nedosiahla hodnotu typickú pre lesné druhy rastúce na našom území /9/. Zaznamenali sme zvýšené hodnoty koncentrácie Pb v pôdach vo všetkých lokalitách (priemerne  $101 \text{ mg kg}^{-1}$ ). Priemerná hodnota Pb v nekontaminovaných pôdach je

približne  $17 \text{ mg kg}^{-1}$  /10/. Je však známe, že Pb sa podobne ako Hg do pôd dostáva aj atmosférou /11/.

Tab. 1: Obsah a akumulácia toxických kovov v pôdach a častiach rastlín *Vaccinium myrtillus L.* z vysokohorských oblastí Vysokých Tatier a Veľkej Fatry.

		<i>prvky</i>	<i>Mo</i>	<i>Cu</i>	<b>Pb</b>	<i>Zn</i>	<i>As</i>	<b>Cd</b>	<i>Sb</i>	<i>Cr</i>	<i>Hg</i>	
<i>Litvorova dolina</i>	<i>pôda</i>	$\text{mg kg}^{-1}$		0,6	8,12	<b>110,4</b>	32,7	5,3	<b>0,81</b>	1,88	7,2	0,263
	<i>listy</i>			0,05	8,06	<b>0,4</b>	13,7	0,1	<b>0,01</b>	0,02	1,6	0,019
	<i>stonky</i>			0,02	7,8	<b>1,14</b>	82,3	0,3	<b>0,08</b>	0,02	1,5	0,012
	<i>korene</i>			0,05	8,54	<b>3,67</b>	15,4	0,1	<b>0,14</b>	0,03	2,8	0,005
<i>Velická dolina</i>	<i>pôda</i>	$\text{mg kg}^{-1}$		0,58	10,78	<b>104,4</b>	120	4,6	<b>2,6</b>	1,63	6,4	0,214
	<i>listy</i>			0,07	5,73	<b>0,32</b>	12	0,1	<b>0,02</b>	0,02	1,8	0,026
	<i>stonky</i>			0,03	5,99	<b>0,82</b>	97,8	0,1	<b>0,11</b>	0,02	1,8	0,013
	<i>korene</i>			0,05	7,45	<b>0,72</b>	21,7	0,1	<b>0,02</b>	0,02	2,4	0,005
<i>Križna</i>	<i>pôda</i>	$\text{mg kg}^{-1}$		0,49	32,25	<b>88,09</b>	147,5	16,5	<b>0,88</b>	6,75	9,9	0,139
	<i>listy</i>			0,05	9,14	<b>0,36</b>	13,1	0,3	<b>0,04</b>	0,02	1,7	0,018
	<i>stonky</i>			0,02	14,51	<b>0,77</b>	50,2	0,1	<b>0,26</b>	0,02	2,3	0,015
	<i>korene</i>			0,02	15,34	<b>0,59</b>	14,5	0,2	<b>0,25</b>	0,02	3,8	0,005



Graf 1: Vplyv  $\text{Cd}^{2+}$  ( $1 \text{ mg l}^{-1}$ ) a  $\text{Pb}^{2+}$  ( $30 \text{ mg l}^{-1}$ ) na parametre fotosyntetickej aktivity brusnice čučoriedkovej. Stĺpce vyjadrujú priemerné hodnoty dvoch opakovanie  $\pm \text{sd}$ ,  $n = \text{min. } 4$ . Rozdielne písmená nad stĺpcami poukazujú na hladinu významnosti rozdielov pri  $p < 0,05$ .

Zvýšené koncentrácie Pb sme však v jednotlivých častiach rastlín nezaznamenali. Koncentrácia Cd pôd sledovaných stanovišť bola relatívne nízka a tomu zodpovedala aj nízka akumulácia do jednotlivých častí rastlín. Sledovaním čiastkových parametrov fotosyntetickej aktivity rastlín (graf 1) pestovaných v médiu s pridaním iónov Cd a Pb sme zaznamenali

preukazné zníženie ako maximálného kvantového výťažku, tak aj efektívneho kvantového výťažku PSII oproti kontrole. Nefotochemické zhášanie, ako miera stresu, bolo preukazne vyššie v oboch prípadoch oproti kontrole. Ako vidno z obrázku v grafe 1, Pb v aplikovanej koncentrácii bolo pre rastliny brusnice čučoriedkovej väčším stresom ako Cd. Pôsobenie Cd a Pb vyvoláva v rastlinách oxidačný stres /12/, na ktorý citlivu reagujú znížením fotosyntetickej aktivity /13/.

### LITERATÚRA

- /1/ Loewen M. D., Sharma, S., Tomy, G., Wang, F., Bullock, P., Wania, F.: Persistent organic pollutants and mercury in the Himalaya. *Aquatic Ecosystem Health & Management*, 8, 2005: 223 – 233.
- /2/ Šoltés, R., Gregušová, E., Šoltésová, A.: Bioidication of chemical elements deposition in the High Tatras (Slovakia) based on *Calluna vulgaris* (L.) Hull; comparative levels after the improvement of emissions. *Carpathian Journal of Earth and Environmental Sciences*, 9, 2014: 5 – 14.
- /3/ Markert, B., Herpin, U., Berlekamp, J., Oehlmann, J., Grodzinska, K., Mankovska, B., Suchara, I., Siewers, U., Weckert, V., Lieth, H.: A comparison of heavy metal deposition in selected Eastern European countries using the moss monitoring method, with special emphasis on the ‘Black Triangle’. *Science of The Total Environment*, 193, 1996: 85 – 100.
- /4/ Rak, J., Závodský, D., Marečková, K., Sladká, M.: Znečistenie ovzdušia v oblasti Vysokých Tatier. Záverečná správa výskumnej úlohy. 1982, Uložené v knižnici Tatranského národného parku v Tatranskej Lomnici.
- /5/ Pastuszka, J. S., Okada, K.: Features of atmospheric aerosol particles in Katowice, Poland. *The Science of the Total Environment*, 175, 1995: 19 – 188.
- /6/ Mróz, L., Demczuk, M.: Contents of phenolics and chemical elements in bilberry (*Vaccinium myrtillus* L.) leaves from copper smelter area (SW Poland). *Polish Journal of Ecology*, 58, 2010: 475 – 486.
- /7/ Kukla, M., Kuklová, J.: Growth of *Vaccinium myrtillus* L. (Ericaceae) in spruce forest damaged by air pollution. *Polish Journal of Ecology*, 56, 2008: 149-155.
- /8/ Hoagland, D. R., Arnon, D. I.: The water-culture method for growing plants without soil: circular. *California Agricultural Experimental Station*, 347, 1950: 1 – 32.
- /9/ Maňkovská, B.: Geochemický atlas Slovenskej republiky. Časť II. Lesná biomasa. GS SR Bratislava, 1996, 87 p.
- /10/ Steinnes, E.: Lead. In: Alloway BJ & Trevors JT, Eds. *Heavy Metals in Soils*. Springer Dordrecht, 2013: p. 395-411.
- /11/ Čurlík J., Jurkovič, L.: Pedogeochémia. Univerzita Komenského v Bratislave, 2012: 228 p.
- /12/ Kandziora-Ciupa, M., Nadgórska-Socha, A., Barczyk, G., Ciepał, R.: Bioaccumulation of heavy metals and ecophysiological responses to heavy metal stress in selected populations of *Vaccinium myrtillus* L. and *Vaccinium vitis-idaea* L. *Ecotoxicology*, 26, 2017: 966 – 980.
- /13/ Dezhban, A., Shirvany, A., Attarod, P., Delshad, M., Matinizadeh, M., Khoshnevis, M.: Cadmium and lead effects on chlorophyll fluorescence, chlorophyll pigments and proline of *Robinia pseudoacacia*. *Journal of Forest Research*, 26, 2015: 323 – 329.

### Poděkovanie

Práca bola súčasťou riešenia grantu VEGA 1/0605/17.

# VPLYV RÔZNYCH KONCENTRÁCIÍ KADMIA NA AKTIVITU CHITINÁZ VO VYBRANÝCH ODRODÁCH SÓJE

## ***THE EFFECT OF VARIOUS CONCENTRATIONS OF CADMIUM ON THE ACTIVITY OF CHITINASES IN SELECTED SOYBEAN CULTIVARS***

Michaela Lukáčová, Patrik Mészáros

Univerzita Konštantína Filozofa v Nitre, Katedra botaniky a genetiky, Nábrežie mládeže 91, 949 74 Nitra, pmeszaros@ukf.sk

### ***Summary***

The aim of this work was to monitor the impact of various concentrations of cadmium on the activity of defense enzymes - chitinases, in five selected cultivars of soybean (Cardiff, Cordoba, Gallec, Kent, Mentor). Cadmium applied in concentrations of 0, 50 and 300 mg.l<sup>-1</sup> Cd<sup>2+</sup> caused increased respectively reduced activity of chitinases. Activity of individual isoforms of chitinases was not united across all tested cultivars, by this we point out the complexity of the plant's response to stress. From our results we can conclude that there is not a correlation between the activity of the individual isoforms of chitinases and concentration of applied cadmium, generally valid to all soybean cultivars. Concurrently, we did not confirm any relationship between accumulation of individual isoforms of chitinases and sensitivity of selected cultivars of soybean.

*Key words:* soybean, heavy metals, PR-proteins, stress

### ***Súhrn***

Hlavným zámerom práce bolo monitorovať vplyv rôznych koncentrácií kadmia na aktivitu obranných enzýmov – chitináz, v kľúčoch piatich vybraných odrôd sóje fazuľovej (Cardiff, Cordoba, Gallec, Kent, Mentor). Kadmium, aplikovaný v koncentráciách 0, 50 a 300 mg.l<sup>-1</sup> Cd<sup>2+</sup>, indukoval zvýšenú resp. zníženú aktivitu chitináz. Aktivita jednotlivých izoforiem chitináz nebola jednotná naprieč všetkými testovanými odrodami, čím poukazujeme na komplexnosť obrannej odpovede rastliny voči stresu. Z našich výsledkov môžeme usúdiť, že neexistuje vzájomný vzťah medzi aktivitou jednotlivých izoforiem chitináz a koncentráciou aplikovaného kadmia, všeobecne platný pre všetky odrody sóje. Zároveň sme nepotvrdili žiadnu súvislosť medzi akumuláciou jednotlivých izoforiem chitináz a citlivosťou vybraných odrôd sóje.

*Kľúčové slová:* sója fazuľová, ťažké kovy, PR-bielkoviny, stres

## **ÚVOD**

Chitinázy sú hydrolytické enzýmy patriace medzi PR-proteíny (z angl. „pathogenesis related“). V závislosti od organizmu, majú tieto enzýmy rôzne funkcie. Bakteriálne chitinázy sú zapojené predovšetkým do metabolických procesov. V kvasinkách a plesniach sa zúčastňujú morfogenézy – zohrávajú úlohu pri remodelácii bunkovej steny, pri separácii dcérskej bunky. U rastlín a zvierat zohrávajú dôležitú úlohu v rastových a vývinových procesoch, ale sú tiež zapojené do obranných mechanizmov. Regulácia a expresia jednotlivých chitináz je vysoko citlivá na rôzne environmentálne podnety (patogén, infekcia, rana, sucho, chlad, ťažké kovy) a je zároveň pletivo- a orgán-špecifická /1,2/. Úloha chitináz počas stresu spôsobeného ťažkými kovmi ešte nebola úplne objasnená, predpokladá sa ich

účasť na obrane pri modifikácii vlastností bunkovej steny (zníženie prieplustnosti pre kovy) alebo na tvorbe signálnych molekúl spúšťajúcich ďalšiu obrannú odpoved' /3, 4/.

## MATERIÁL A METÓDY

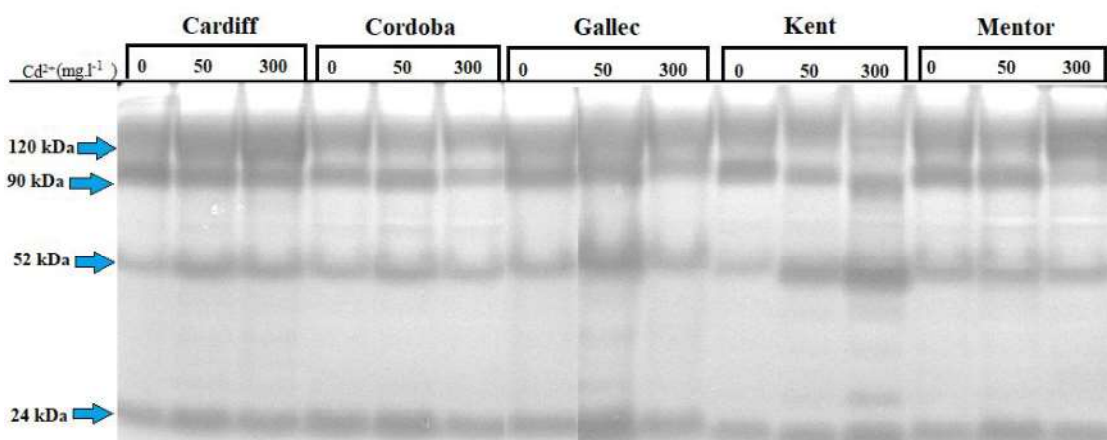
Korene testovaných odrôd sóje fazuľovej (*Glycine max* L. CARDIFF, CORDOBA, GALLEC, KENT, MENTOR) sme vystavili účinkom 0, 50, 300 mg.l<sup>-1</sup> Cd<sup>2+</sup> kadmia aplikovaného vo forme roztokov CdCl<sub>2</sub>.2H<sub>2</sub>O po dobu 48 hodín. Aktivitu jednotlivých izoforiem celkových chitináz sme stanovili po elektroforetickej separácii hrubého proteínového extraktu z koreňov na denaturovaných polyakrylamidových géloch podľa /5, 6/. Intenzitu proteínových pásov (bandov) na polyakrylamidovom géle zodpovedajúcej miere akumulácie chitináz sme vyzualizovali vo fotodokumentačnom prístroji UVP Bio Doc-It System (Ultra-Violet Products Ltd, UK) a vyhodnotili softvérom Scion Image 4.

Získané údaje sme podrobili štatistickým analýzam využitím programu MS Excel. Štatistickú významnosť rozdielov pri porovnávaní súborov sme stanovili Studentovým t-testom.

## VÝSLEDKY A DISKUSIA

Na klíčkoch koreňov 5 odrôd sóje sme testovali účinky rôznych koncentrácií kadmia, ktoré predstavovali rôznu mieru toxicity: i) prostredie bez kadmia = kontrola, ii) 50 mg.l<sup>-1</sup> Cd<sup>2+</sup> = mierny stres pre rastlinu, iii) 300 mg.l<sup>-1</sup> Cd<sup>2+</sup> = silný stres pre rastlinu. Schopnosť sóje prijať, akumulovať a následne tolerovať kadmium skúmali /7/ na 22 odrôdach pestovaných v Európe. Niektoré odrody z ich výskumu sa zhodovali s nami skúmanými odrodomami sóje. Ich výsledky dokumentujú, že tolerančný index (%) odrody Cardiff voči Cd je 86,10%, odrody Cordoba 98,97% a odrody Kent 97,35%. Z týchto výsledkov vyplýva, že Cordoba a Kent patria k tolerantnejším odrôdam voči účinku kadmia a odrada Cardiff je menej tolerantná.

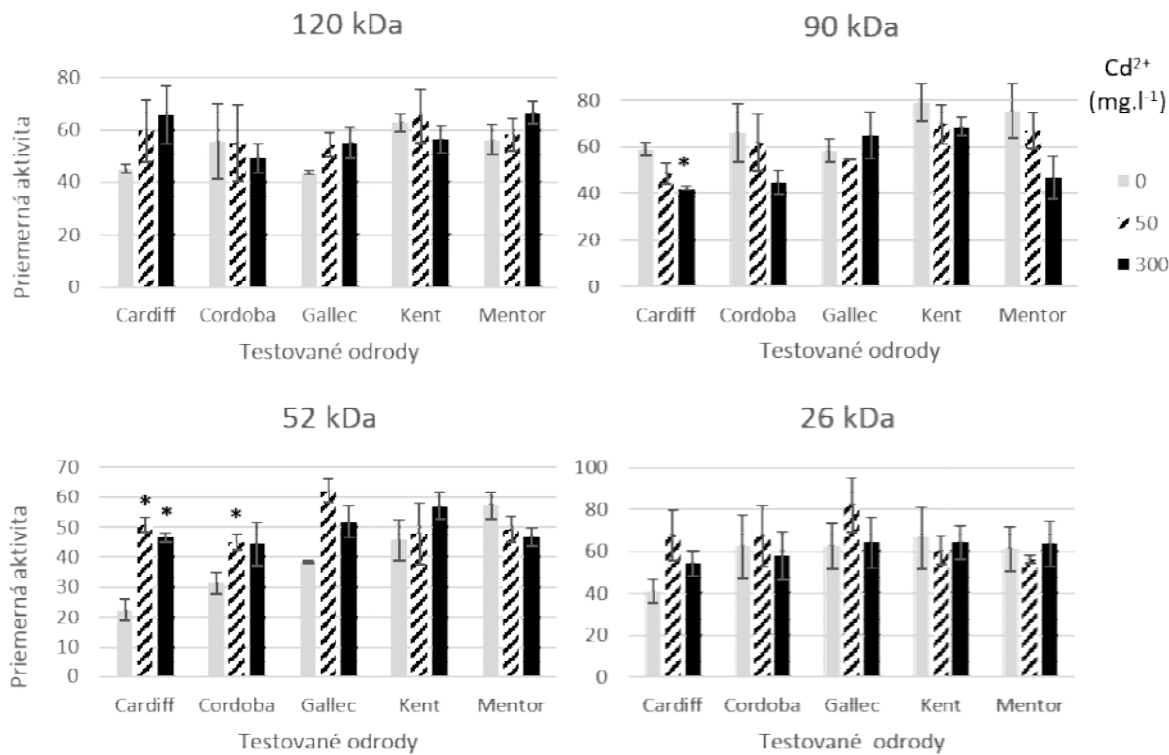
Hrubé proteínové extrakty vyzolované z testovaných odrôd sóje Cardiff, Cordoba, Gallec, Kent a Mentor, boli separované na denaturovaných polyakrylamidových géloch. V študovaných odrôdach sme identifikovali prítomnosť 4 chitinázových izoforiem so stabilou akumuláciou a molekulovými hmotnosťami cca. 120 kDa, 90 kDa, 52 kDa, 24 kDa (obr. 1).



Obr. 1: Detegované izoformy proteínov s celkovou chitinázovou aktivitou vo vybraných odrôdach sóje fazuľovej po vystavení rôzny koncentráciám kadmia.

Každá izoforma bola detegovaná vo všetkých kontrolných aj v stresovaných rastlinách. Ich aktivita sa menila v dôsledku aplikovaných koncentrácií kadmia. V chitinázovom profile jednotlivých vzoriek sa objavovali aj ďalšie izoformy chitináz (obr. 1), ich akumulácia v

jednotlivých biologických opakovaniach však nebola stabilná, a daný experimentálny postup neumožnil ich presnú detekciu a kvantifikáciu.



*Graf 1: Prehľad aktivít detekovaných izoforiem chitináz vo vybraných odrodách sóje fazuľovej vystavenej rôznym koncentráciám kadmia. Veľkosť stĺpcov (os Y = hustota v pixeloch) predstavuje priemernú hodnotu aktivity danej izoformy. Chybové úsečky znázorňujú strednú chybu priemeru z 3 opakovanií. Štatisticky významný rozdiel oproti kontrole je vyjadrený: \* P≤0,05).*

Fragment s hmotnosťou 120 kDa neprekázal významné zmeny pri aplikácii rôznych koncentrácií kadmia v porovnaní s kontrolou vzorkou ani v jednej zo sledovaných odrôd sóje (graf 1).

Pre chitinázovú izoformu s molekulovou hmotnosťou 90 kDa bola charakteristická všeobecne znížená aktivita pod vplyvom oboch testovaných koncentrácií kadmia, takmer vo všetkých testovaných odrodách (výnimku predstavuje odroda Gallec). Jediná štatisticky významná zmena bola preukázaná pri odrode Cardiff. Pri koncentrácií kadmia 300 mg·l⁻¹ nastal pokles aktivity o 28 % (P≤0,05) (graf 1).

Aktivita izoformy 52 kDa sa všeobecne zvyšovala pri strese kadmioom. Výnimkou bola odroda Mentor. Štatisticky preukázateľnú zvýšenú akumuláciu (P≤0,05) tejto izoformy sme zistili v odrode Cardiff pôsobením 50 mg·l⁻¹ Cd<sup>2+</sup> o 126 % a vplyvom 300 mg·l⁻¹ Cd<sup>2+</sup> o 106 %; a tiež v odrode Cordoba pri aplikácii 50 mg·l⁻¹ Cd<sup>2+</sup>, kedy jej aktivita stúpla o 43 % (graf 1).

Aktivita izoformy 24 kDa nebola štatisticky významne ovplyvnená testovanými koncentráciami kadmia ani v jednej zo študovaných odrôd (graf 1).

Aktivitu chitináz v rámci celej rastliny pozorovali /2/. Okrem fragmentov chitináz 66, 42, 21 odhalili aj izoformy 50 a 35 kDa v odrodách sóje Bólyi 44 a Cordoba. Prítomnosť alebo absencia izoformy závisela na type listu, no každá z nich bola prítomná v korení. Pri daných podmienkach výskumu, chitinázy v koreňoch neboli ovplyvnené, až na jednu

výnimku – izoforma 21 kDa bola inhibovaná v tolerantnejšej odrôde (Cordoba). Mohlo by sa uvažovať, že takáto supresia môže znížiť permeabilitu bunkovej steny pre ľažké kovy. Tento predpoklad sa zhodoval s nižším príjomom kovov cez korene, v porovnaní s druhou odrodou. Fragment s chitinázovou aktivitou o veľkosti 42 kDa bol najčastejšie indukovaný vplyvom kadmia vo všetkých typoch listov v senzitívnejšej odrôde Bólyi 44. Zdá sa, že tieto 2 izoformy sú zapojené do obrany voči ľažkým kovom oveľa špecifickejšie a je preto opodstatnený ich ďalší výskum. Pri expozícii sóje arzénom, olovom aj kadmiom /9/ vyzolovali niekoľko fragmentov chitináz - 66, 56, 42, 35, 32, 30, 25, 21 kDa – s rôznou aktivitou pri jednotlivých kovoch. 66, 42, 21 kDa izoformy boli prítomné v koreňoch, pričom iba fragment 42 kDa bol významne indukovaný v prítomnosti As a Cd. Akumulácia chitináz 56 a 25 kDa bola spustená len v prítomnosti určitého kovu, nie v prítomnosti ostatných. /8/ poukázal na to, že vyšší počet izoforiem chitináz môže poukazovať na vyššiu senzitivitu v rastline, a bohatý chitinázový profil vznikol v dôsledku evolučnej adaptácie rastliny na rôzne stresy. Z doterajších výsledkov mnohých renomovaných štúdií vyplýva, že jednotlivé odrody rastlín nemožno mechanicky zaradiť medzi tolerantné resp. citlivé iba na základe prítomnosti alebo aktivity určitej konkrétnej celkovej izoformy.

Podľa nami zvoleného experimentálneho postupu sme nezistili všeobecnú závislosť medzi akumuláciou izoforiem chitináz, citlivosťou testovaných odrôd a aplikovanou koncentráciou kadmia. Štatisticky významné zmeny akumulácie chitináz sme zistili na úrovni konkrétnej izoformy a len vo vybraných odrôdach bez preukázania nejakej zákonitosti. Zároveň sme potvrdili prítomnosť chitináz v sóji, ktorá nie je vystavená stresovým podmienkam a teda fakt, že sa zúčastňujú procesov rastu a vývoja (v našom prípade klíčenia).

## LITERATÚRA

- /1/ Kasprzewska, A.: Plant chitinases – regulation and function. *Cellular & Molecular Biology Letters*, 8, 2003: 809-824.
- /2/ Gálusová, T., Rybanský, L., Mészáros, P. et al.: Variable responses of soybean chitinases to arsenic and cadmium stress at whole plant level. *Plant Growth Regulation*, 76, 2015: 147-155.
- /3/ Sharma, P., Jha, A.B., Dubey, R.S. et al.: Reactive Oxygen Species, Oxidative Damage, and Antioxidative Defense Mechanism in Plants under Stressful Conditions. *Journal of Botany*, 2012.
- /4/ Mészáros, P., Rybanský, L., Hauptvogel, P. et al.: Cultivar-specific kinetics of chitinase induction in soybean roots during exposure to arsenic. *Molecular Biology Report*, 40, 2013: 2127-2138.
- /5/ Pan, S.Q. et al.: A technique for detection of chitinase, beta-1,3-glucanase, and protein- patterns after a single separation using polyacrylamide-gel electrophoresis or isoelectrofocusing. *Phytopathology*, 81, 1991:970-974.
- /6/ Laemmli, U. K.: Cleavage of structural proteins during the assembly of the head of bacteriophage T4. *Nature*. 227, 1970: 680-685.
- /7/ Socha, P. – Bernstein, N. – Rybanský, L. Et al.: Cd accumulation potential as a marker for heavy metal tolerance in soybean. *Israel Journal of Plant Sciences*, 62, 2015: 160-166.
- /8/ Mészáros, P.: Genotypová variabilita v odpovedi koreňov sóje fazuľovej na ióny ľažkých kovov: dizertačná práca. Nitra: Univerzita Konštantína Filozofa v Nitre, 2012, 117 s.
- /9/ Békésiová, B. – Hraška, Š. – Libantová, J. et al.: Heavy-metal stress induced accumulation of chitinase isoforms in plants. *Molecular Biology Reports*, 35, 2008: 579-588.

## Poděkování

Práca vznikla za finančnej podpory projektov VEGA 1/0415/18 a UGA VIII/14/2017.

## REAKCE PTERIS CRETICA NA CHRONICKÝ STRES ARSENEM

### ***REACTION OF PTERIS CRETICA TO CHRONIC STRESS BY ARSENIC***

Veronika Zemanová<sup>1</sup>, Milan Pavlík<sup>1</sup>, Daniela Pavlíková<sup>2</sup>, František Hnilička<sup>3</sup>, Marek Popov<sup>4</sup>, Pavel Kotrba<sup>4</sup>

<sup>1</sup>Ústav experimentální botaniky AV ČR, v. v. i., Izotopová laboratoř, Vídeňská 1083, 142 20 Praha 4 - Krč, zemanova@ueb.cas.cz

<sup>2</sup>Česká zemědělská univerzita v Praze, FAPPZ, Katedra agroenvironmentální chemie a výživy rostlin, Kamýcká 129, 165 00 Praha 6 – Suchdol

<sup>3</sup>Česká zemědělská univerzita v Praze, FAPPZ, Katedra botaniky a fyziologie rostlin, Kamýcká 129, 165 00 Praha 6 – Suchdol

<sup>4</sup>Vysoká škola chemicko-technologická v Praze, Fakulta potravinářské a biochemické technologie, Ústav biochemie a mikrobiologie, Technická 3, 166 28 Praha 6 – Dejvice

#### ***Summary***

The pot experiment with fern *Pteris cretica* (L.) var. Albo-lineata was focused on changes of plant metabolism affected by As chronic stress. Soil used in experiment was spiked by 100 mg As/kg of soil. The plants were harvested after 122 days of cultivation. Chronic stress showed decrease of biomass yield of As variant - by 15 % in contrast to control and increase of As content in plant biomass. *P. cretica* accumulated more than 2000 mg As/kg in dry biomass. The content of 5-methylcytosine for determination of DNA methylation statuses in As variant showed decline by 10 % in contrast to control. The contents of chlorophyll a and b were decreased by 34 % on average and reduction of the photosynthetic parameters - the net photosynthetic rate and the rate of transpiration – was found. The changes of macro- and microelements contents in relation to As content in plants were unambiguous.

**Key words:** epigenetics, hyperaccumulator, elements, stress metabolism, *Pteridaceae*

#### ***Souhrn***

V nádobovém pokusu byla studována reakce na chronický stres vlivem As u kapradiny *Pteris cretica* (L.) var. Albo-lineata. Arsen byl aplikován v dávce 100 mg As/kg půdy a listy byly odebrány po 122 dnech vegetace. V listech byl stanoven obsah 5-metylcytosinu pro určení stupně metylace DNA. Dále byl změřen obsah prvků, fotosyntetických pigmentů a vybraných parametrů fotosyntézy. Listy *P. cretica* z As varianty akumulovaly více jak 2000 mg As/kg suché biomasy. Akumulace As snížila obsah 5-metylcytosinu o 10 %. Chronický stres vlivem As se projevil snížením výnosu biomasy o 15 %. Vlivem As byl zvýšen obsah mikro- a makroprvků v průměru o 35 a 26 % s výjimkou Fe a K. Obsah těchto prvků byl snížen. Také byl snížen obsah chlorofylu a a b v průměru o 34 %. Chronický stres vlivem As se projevil u fotosyntetických parametrů snížením rychlosti fotosyntézy a transpirace.

**Klíčová slova:** epigenetika, hyperakumulátor, prvky, stresový metabolismus, *Pteridaceae*

## **ÚVOD**

Hyperakumulátory arsenu (As) jsou schopné v listech akumulovat více jak 1000 mg As/kg suché biomasy /1/. Prvním objeveným hyperakumulátorem As je *Pteris vittata* /2/. V současné době je známo přes 12 druhů hyperakumulátorů As z rodu *Pteridaceae* /3-5/. U hyperakumulátorů As je málo dostupných informací o interakci s dalšími prvky /3/. Toxicita As zvyšuje tvorbu reaktivních forem kyslíku, které reagují s lipidy, proteiny, pigmenty a

nukleovými kyselinami a způsobují peroxidaci lipidů, poškození membrán a inaktivaci enzymů, které ovlivňují životaschopnost buněk /5/. Akumulace As u rostlin může vést k inhibici fotosyntézy, růstu a vývoje /5, 6/.

## MATERIÁL A METODA

Rostliny *Pteris cretica* L. var. Albo-lineata (*Pc-A*) byly pěstovány 122 dní v nádobovém pokusu s černozemí modální (5 kg; pH<sub>KCl</sub> = 7,2; KVK = 258 mmol<sub>+</sub>/kg; C<sub>org.</sub> = 1,83 %; As = 16 ± 1,7 mg/kg) a dávkou živin 0,5 g N, 0,16 g P a 0,4 g K na 1 kg půdy (jako NH<sub>4</sub>NO<sub>3</sub> a K<sub>2</sub>HPO<sub>4</sub>). Arsen byl aplikován v dávce 100 mg/kg půdy (As<sub>100</sub>, roztok Na<sub>2</sub>HAsO<sub>4</sub>·7H<sub>2</sub>O). Kontrolou byla půda bez aplikace As. Obsah prvků byl stanoven metodou ICP-OES po nízkotlakém mikrovlnném rozkladu. Sadou NucleoSpin Plant II molecular kit byla z listů extrahována DNA, která byla použita na stanovení DNA metylace 5-metylcytosinu (5mC) pomocí MethylFlash Methylated DNA Quantification Kit (Fluorometric). Fluorescence byla měřena na přístroji SpectraMax MiniMax 300 Imaging Cytometer při 530EX/590EM nm. Obsah fotosyntetických pigmentů byl stanoven fotometricky na přístroji Evolution 2000 UV-Vis. Na přístroji LCpro+ byly stanoveny fotosyntetické parametry: rychlosť fotosyntézy (P<sub>N</sub>), transpirace (E), koncentrace CO<sub>2</sub> v listech (C<sub>i</sub>) a vodivost průduchů (g<sub>s</sub>). Data byla vyhodnocena v programu Statistica 12.0 (neparametrický Kruskal-Wallisův test; lineární korelace).

## VÝSLEDKY A DISKUSE

Chronický stres As negativně ovlivnil výnos biomasy listů *Pc-A*. Vysoký obsah As v listech snížil výnos o 15 % oproti kontrole (tab. 1). U varianty As<sub>100</sub> byl obsah As >2000 mg/kg suché biomasy. Obdobné výsledky zjistili Zhao et al. /7/. Akumulací As v listech se snížil obsah 5mC o 10 % v porovnání s kontrolou (tab. 1). Tento pokles nebyl statisticky průkazný. Snížení metylace DNA u *Pc-A* a lineární korelace mezi As a 5mC (r=-0,58; p=0,048) naznačují, že *Pc-A* je ovlivňována toxicitou As nepřímo přes epigenetické změny. U *Pc-A* se změna v metylaci DNA projevila snížením výnosu biomasy. Dle Shen et al. /8/ je zvýšená metylace DNA spojena s růstem rostlin a heterosis efektem.

Změny v obsahu pigmentů vlivem As ukazují významné snížení obsahu chlorofylu a o 40 % a chlorofylu b o 28 % (tab. 1). Statisticky neprůkazný byl pokles obsahu karotenoidů (tab. 1). Zvýšený obsah fotosyntetické pigmenty při dávce 200 mg As/kg půdy byl pozorován u *P. vittata* po 14 dnech vegetace /5/. Se zvyšující se dávkou As v půdě obsah pigmentů klesal. Mezi obsahem As a chlorofylem a a b byla prokázána negativní korelace (r=-0,77; p=0,003 a r=-0,61; p=0,035). Je prokázáno, že As nepříznivě ovlivňuje fotosyntetický aparát /9/. U *Zea mays* L. bylo pozorováno snížení P<sub>N</sub>, E a g<sub>s</sub> vlivem zvyšující se dávky As v půdě /10/. Také u hyperakumulátoru As *P. vittata* došlo k poklesu E vlivem vyšších dávek As (20 a 40 mg/L), zatímco nižší dávky As (5 a 10 mg/L) transpiraci zvyšovaly v porovnání s kontrolou /11/. Naše výsledky ukázaly, že v listech *Pc-A* varianty As<sub>100</sub> byla statisticky významně snížena P<sub>N</sub> a E o 6,5 a 4 %. Obsah As významně negativně koreloval s P<sub>N</sub> (r=-0,99; p=0,001). Koncentrace CO<sub>2</sub> v listech byla u As<sub>100</sub> zvýšena o 5 %, avšak statisticky neprůkazně (tab. 1). Výsledky g<sub>s</sub> se statisticky nelišily (tab. 1). U vodního hyacintu byl zjištěn podobný trend - zvýšení C<sub>i</sub> a snížení g<sub>s</sub> již po krátkodobém (4 dny) vystavení As /12/.

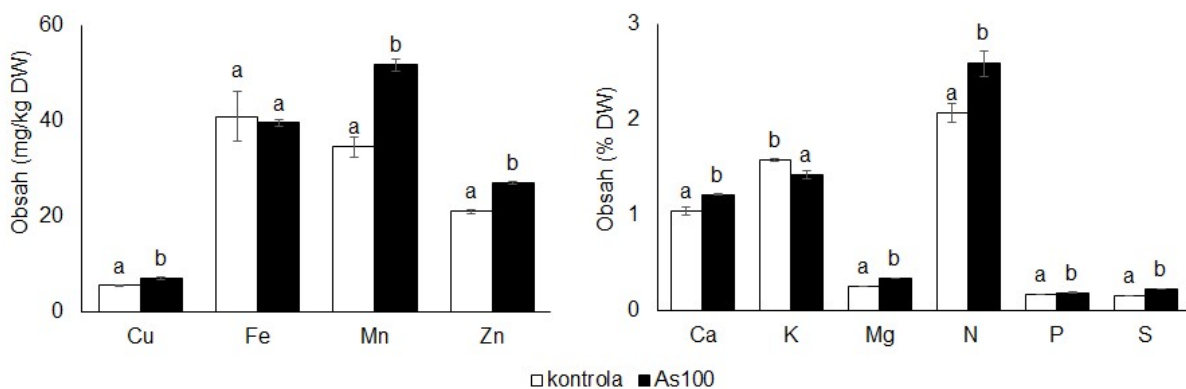
Obsah mikroprvků (Cu, Fe, Mn a Zn) a makroprvků (Ca, K, Mg, N, P a S) v *Pc-A* uvádí graf 1. Jak z grafu vyplývá, As zvyšoval obsah jednotlivých prvků s výjimkou Fe a K, jejichž obsah byl snížen o 3 a 9,5 % oproti kontrole. Pokles K vlivem As u *P. cretica* stanovili Srivastava et al. /4/. Arsen koreloval s většinou prvků pozitivně (r=0,92-0,99; p<0,001), ale negativně s K (r=-0,92; p=0,001). Obsah Fe nekoreloval s As. Stejný výsledek byl pozorován u *P. vittata* a *P. cretica* /3/. Tito autoři stanovili v listech *P. cretica* vysoký

obsah Fe (637-3369 mg/kg) a naznačují možnou roli Fe při toleranci a akumulaci As v hyperakumulátorech.

Tab. 1: Výnos biomasy, fotosyntetické parametry, obsah As, pigmentů a 5-metylcytosinu v listech *P. cretica Albo-lineata* po 122 dnech vegetace.

parametr	kontrola	$\text{As}_{100}$
výnos (g/nádoba FW)	$58,2 \pm 0,7^b$	$49,1 \pm 3,9^a$
As (mg/kg DW)	$12 \pm 0,1^a$	$2034 \pm 47^b$
5mC (%)	$25 \pm 4,4^a$	$15 \pm 5,6^a$
chlorofyl a (nmol/ml)	$2,6 \pm 0,6^b$	$1,5 \pm 0,4^a$
chlorofyl b (nmol/ml)	$2,6 \pm 0,7^b$	$1,9 \pm 0,4^a$
karotenoidy (nmol/ml)	$0,5 \pm 0,2^a$	$0,3 \pm 0,1^a$
$C_i$ (vpm)	$308 \pm 86^a$	$313 \pm 64^a$
E (mmol H <sub>2</sub> O/m <sup>2</sup> /s)	$0,8 \pm 0,1^b$	$0,7 \pm 0,1^a$
g <sub>s</sub> (mol/m <sup>2</sup> /s)	$0,039 \pm 0,01^a$	$0,037 \pm 0,01^a$
P <sub>N</sub> (μmol CO <sub>2</sub> /m <sup>2</sup> /s)	$7,7 \pm 0,04^b$	$7,2 \pm 0,03^a$

Statisticky významný rozdíl ( $\alpha < 0,01$ ) mezi variantami vyjadřuje rozdílná písmena za průměry ( $\pm SD$ ,  $n=6$ ).



Graf 1: Obsah mikro- a makroprvků v listech *P. cretica Albo-lineata* po 122 dnech vegetace. Statisticky významný rozdíl ( $\alpha < 0,01$ ) mezi variantami vyjadřuje rozdílná písmena nad sloupcí.

Po 122 dnech růstu v kontaminované půdě byl obsah Ca, Mg, N, P, S, Cu, Mn a Zn zvýšen o 17, 33, 25, 12, 44, 27, 50 a 28 %. Zvýšení obsahu Ca, K, P a Mn bylo pozorováno u *P. vittata* na půdách s vysokým obsahem As /3/. Naopak snížení obsahu Ca, Mg a P vlivem As a negativní korelace mezi As a Mg bylo zjištěno u *P. cretica* /4/. Vyšší akumulaci S a P v listech kontrolní varianty *Pc-A* stanovili Zhao et al. /8/, nepotvrzdili však vliv As na obsah S a P ani korelací mezi nimi. Z dalších prvků se statisticky lišil obsah Na, který byl u varianty  $\text{As}_{100}$  cca 4krát vyšší ( $1529 \pm 7$  mg/kg DW) v porovnání s kontrolou ( $389 \pm 3$  mg/kg DW). Byla vypočítána významná korelace mezi As a Na ( $r=0,99$ ;  $p=0,001$ ).

Akumulace prvků byla pravděpodobně zvýšena pro využití v antioxidačním systému hyperakumulátoru v důsledku stresového metabolismu vyvolaného As. Některé mikroprvky (Cu, Mn a Zn) a makroprvky (Mg a S) jsou důležitými kofaktory antioxidačních metaloenzymů nebo jsou součástí neenzymových antioxidantů /13, 14/. Obsah prvků v listech kontroly klesal v pořadí: N>K>Ca>Mg>P>S>Na>Fe>Mn>Zn>As>Cu. Vliv chronického stresu As změnil pořadí prvků: N>K>Ca>Mg>S>As>P>Na>Mn>Fe>Zn>Cu. Výsledky

ukazují, že i přes hyperakumulační schopnost a toleranci *Pc-A* dochází při dlouhodobém stresu vlivem As k narušení fyziologických a metabolických procesů u této kapradiny.

## LITERATURA

- /1/ Campos NV, Araújo TO, Arcanjo-Silva S, Freitas-Silva L, Azevedo AA, Nunes-Nesi A: Arsenic hyperaccumulation induces metabolic reprogramming in *Pityrogramma calomelanos* to reduce oxidative stress. *Physiologia Plantarum*, 157, 2016: 135-146
- /2/ Kramer U: Metal hyperaccumulation in plants. *Annual Review of Plant Biology*, 61, 2010: 517–534
- /3/ Wei CY, Wang C, Sun X, Wang WY: Arsenic accumulation by ferns: a field survey in southern China. *Environmental Geochemistry and Health*, 29, 2007: 169-177
- /4/ Srivastava M, Ma LQ, Santos JAG: Three new arsenic hyperaccumulating ferns. *Science of the Total Environment*, 364, 2006: 24-31
- /5/ Singh N, Raj A, Khare PB, Tripathi RD, Jamil S: Arsenic accumulation pattern in 12 Indian ferns and assessing the potential of *Adiantum capillus-veneris*, in comparison to *Pteris vittata*, as arsenic hyperaccumulator. *Bioresource Technology*, 101, 2010: 8960-8968
- /6/ Tu C, Ma LQ: Effects of arsenic concentrations and forms on arsenic uptake by the hyperaccumulator ladder brake. *Journal of Environmental Quality*, 31, 2002: 641-647
- /7/ Zhao FJ, Dunham SJ, McGrath SP: Arsenic hyperaccumulation by different fern species. *New Phytologist*, 156, 2002: 27-31
- /8/ Shen H, He H, Li J, Chen W, Wang X, Guo L, Peng Z, He G, Zhong S, Qi Y, Terzaghi W, Deng XW: Genome-wide analysis of DNA methylation and gene expression changes in two *Arabidopsis* ecotypes and their reciprocal hybrids. *Plant Cell*, 24, 2012: 875-892
- /9/ Pisani T, Munzi S, Paoli L, Backor M, Loppi S: Physiological effects of arsenic in the lichen *Xanthoria parietina* (L.) Th. Fr.. *Chemosphere*, 82, 2011: 963-969
- /10/ Mehmood T, Bibi I, Shahid M, Niazi NK, Murtaza B, Wang HL, Ok YS, Sarkar B, Javed MT, Murtaza G: Effect of compost addition on arsenic uptake, morphological and physiological attributes of maize plants grown in contrasting soils. *Journal of Geochemical Exploration*, 178, 2017: 83-91
- /11/ Wan XM, Lei M, Chen TB, Yang JX, Liu HT, Chen Y: Role of transpiration in arsenic accumulation of hyperaccumulator *Pteris vittata* L.. *Environmental Science and Pollution Research*, 22, 2015: 16631-16639
- /12/ Meneguelli-Souza AC, Vitoria AP, Vieira TO, Degli-Esposti MSO, Souza CMM: Ecophysiological responses of *Eichhornia crassipes* (Mart.) Solms to As<sup>5+</sup> under different stress conditions. *Photosynthetica*, 54, 2016: 243-250
- /13/ Cakmak I: Tansley review No. 111. Possible roles of zinc in protecting plant cells from damage by reactive oxygen species. *New Phytologist*, 146, 2000: 185-205
- /14/ Fernández-Ocaña A, Chaki M, Luque F, Gómez-Rodríguez MV, Carreras A, Valderrama R, Begara-Morales JC, Hernández LE, Corpas FJ, Barroso JB: Functional analysis of superoxide dismutases (SODs) in sunflower under biotic and abiotic stress conditions. Identification of two new genes of mitochondrial Mn-SOD. *Journal of Plant Physiology*, 168, 2011: 1303-1308

## Poděkování

Uvedená práce vznikla za finanční podpory projektu GA ČR č. 17-10591S.

## PESTICIDY A STROMY POBŘEŽNÍHO PÁSMA LEŠA: BIOTRANSFORMACE TEBUKANAZOLU

### PESTICIDES AND TREES OF RIPARIAN CORRIDORS: BIOTRANSFORMATION OF TEBUCONAZOLE

Radka Podlipná, Tereza Zunová, Petr Marsík

Laboratoř rostlinných biotechnologií, Ústav experimentální botaniky AV ČR, v.v.i., Rozvojová 263,  
165 02 Praha 6, podlipna@ueb.cas.cz

#### *Summary*

Pesticides used in agriculture are transported to both surface and ground waters and so they endanger wildlife as well as human health. One possibility of stream protection are riparian corridors. Trees can act as hydraulic pumps and their dense root system is able to take large quantities of contaminated water. Thus, applications of these systems prevent spreading of contamination. Tebuconazole is a triazole fungicide used agriculturally to treat plant pathogenic fungi. Due to the potential for endocrine-disrupting effects, tebuconazole may still pose a risk. In our study we tested the uptake and biotransformation as well as Phytotoxicity of tebuconazole using the suspension culture of poplar (*Populus nigra*). The highest concentration of tebuconazole in cells was measured 24 hours later and further decreased. The presence of tebuconazole at a concentration of 1 mg/L induced increased activity of antioxidant enzymes and caused a reduction in biomass growth.

*Key words:* pesticides, tebuconazole, *Populus nigra*, cell suspension

#### *Souhrn*

Pesticidy používané v zemědělství jsou přepravovány jak do povrchových, tak do podzemních vod, a tak ohrožují volně žijící zvířata i lidské zdraví. Jednou z možností ochrany jsou pobřežní pásma lesa. Stromy mohou působit jako hydraulická pumpa a jejich rozsáhlý kořenový systém je tak schopen odebírat velké množství kontaminované vody. Aplikace těchto systémů tak zabraňuje šíření kontaminace. Tebukonazol je triazolový fungicid používaný v zemědělství k léčbě rostlinných patogenních hub. Vzhledem k potenciálním účinkům narušujícím endokrinní funkci může tebukonazol stále představovat riziko. V naší studii jsme testovali vychytávání a biotransformaci, jakož i fytotoxicitu tebuconazolu s použitím suspenzní kultury topolu (*Populus nigra*). Nejvyšší koncentrace tebuconazolu v buňkách byla naměřena hned po 24 hodinách a dále klesala. Přítomnost tebuconazolu v koncentraci 1 mg/L vyvolala zvýšenou aktivitu antioxidačních enzymů a způsobila redukci v nárůstu biomasy.

*Klíčová slova:* pesticides, tebukonazol, *Populus nigra*, buněčná suspenze

## ÚVOD

Moderní zemědělství využívá velké množství různých pesticidů na ochranu zemědělských plodin před škůdci a na kontrolu plevelů což vede k rozvoji plošného (difúzního) znečištění vodních toků /1/. Difúzní znečištění představuje velký problém postihující více než 90% evropských povodí. Kontaminanty se do povrchových vod dostávají především splachem z okolní zemědělsky obdělávané půdy, případně aplikací rozstříkem, atmosférickou depozicí a v neposlední řadě i přísunem znečištění z rozptýlených zdrojů splaškových vod (volné kanalizační výusti v obcích, zasakování nečištěných splaškových vod

do horninového prostředí). Plošným znečištěním dochází ke kontaminaci vod zejména dusíkem, fosforem a pesticidy. Jednou z možností ochrany vodních toků před difuzním znečištěním je tvorba pobřežních pásem lesa. Díky bohatému kořenovému systému dosahujícímu do velké hloubky stromy mohou působit jako účinná bariéra v šíření kontaminace.

Mezi pesticidy patří látky s rozmanitým chemickým složením i s různými účinky (herbicidy, fungicidy, insekticidy), avšak téměř vždy se jedná o látky perzistentní, které po vstupu do potravního řetězce ohrožují necílové organismy včetně člověka /1/ a /2/. Triazolové fungicidy, mezi které patří tebukonazol, sou v půdě velmi perzistentní a mají sklon tvořit dlouhodobě funkční residua, jejich typické hodnoty DT50 (poločas rozkladu) se pohybují od 120 dnů do 1 roku. Různé rostlinné druhy se velmi liší v odolnosti na chemický stres v závislosti na schopnosti určitého druhu cizorodé látky přijímat, akumulovat či biotransformovat /3/ a /4/. Proto je pro efektivní fungování pobřežní bariéry velmi důležitý výběr vhodných dřevinných druhů.

## MATERIÁL A METODA

### 1. Pěstování rostlinného materiálu a rozvržení pokusů.

Buněčné kultury byly odvozeny z hypokotylů *in vitro* kultivovaných topolů (*Populus nigra*) a jsou udržovány pravidelným pasážováním. Kultury byly inkubovány s tebukonazolem v koncentracích 0,1 a 1 mg/L (rozpuštěno v DMSO). Ke kontrolám bylo přidáno DMSO, ve stejné koncentraci. Vzorky buněčné suspenze byly odebírány ve třech intervalech - 1., 4. a 8. den.

### 2. Analýza obsahu sledovaných látek v rostlině

Ze suspenze byl odebrán 1g buněk a vysušen pomocí lyofilizace. Tebukonazol byl z homogenizovaného rostlinného materiálu extrahován metodou QuEChERS a SPE extrakcí (kolonky OASIS HLB). Kvantitativní stanovení v takto pročištěných extraktech bylo prováděno pomocí kapalinové chromatografie spojené s tandemovou hmotnostní spektrometrií (LC-MS/MS, Q-Trap 4000, AB Sciex) a jejich identifikace byla provedena porovnáním s dostupnými standardy a následnou analýzou přesné molekulové hmotnosti pomocí systému kapalinové chromatografie s hmotnostním spektrometrem s velmi vysokým rozlišením a vysokou přesností určení hmotnosti (LC-MS/MS-HRAM, Orbitrap Exactive, Thermo).

### 3. Měření aktivity antioxidačních proteinů.

Proteiny ze vzorku rostlinné tkáně (0,5g) byly extrahovány do 3ml fosfátového pufuru, koncentrace proteinů byla stanovena spektrofotometricky dle Bradfordové. Aktivita enzymů byla měřena pomocí spektrofotometru TECAN Infinite N200 na mikrodestičkách. Sledovaným parametrem byla změna absorbance směsi vzorku a příslušného substrátu v závislosti na čase při 25 °C. Stanovovány byly následující enzymy: peroxidáza, kataláza, askorbát peroxidáza, superoxidismutáza.

## VÝSLEDKY A DISKUSE

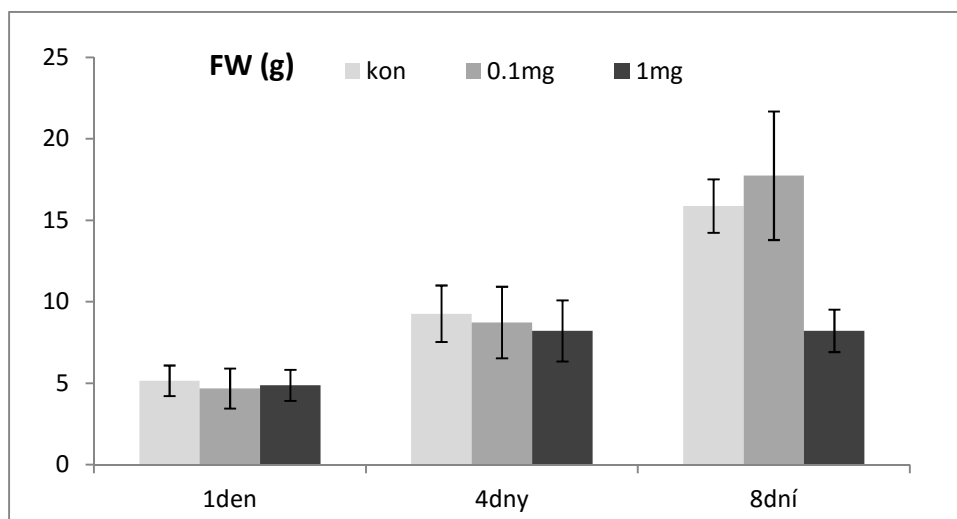
Vliv tebukonazolu na růst buněčné suspenze byl pozorován pouze u vyšší koncentrace (1mg/L), kdy byla zaznamenána zřetelná redukce v nárůstu suspenze po 8 dnech od aplikace. Hmotnost suspenzí byla poloviční oproti jak kontrole, tak suspenzím kultivovaným na médiu s přídavkem tebukonazolu v koncentraci 0,1 mg/L (graf 1). Snížený nárůst biomasy pod vlivem tebukonazolu (10 mg/L) byl popsán orobince a sítiny /5/.

Při aplikaci nízké koncentrace tebukonazolu (0,1 mg/L) bylo naměřeno nejvyšší množství tebukonazolu v buňkách za 24 hodin po aplikaci (0,18 µg/g FW), což bylo 18 % z celkového množství, koncentrace tebukonazolu v dalších dnech klesala (graf 2). Při použití počáteční koncentrace tebukonazolu 1mg/L byla naměřena nejvyšší koncentrace v buňkách opět hned po 1dni (2,27 µg/g FW) což odpovídalo 27 % z celkového množství aplikovaného

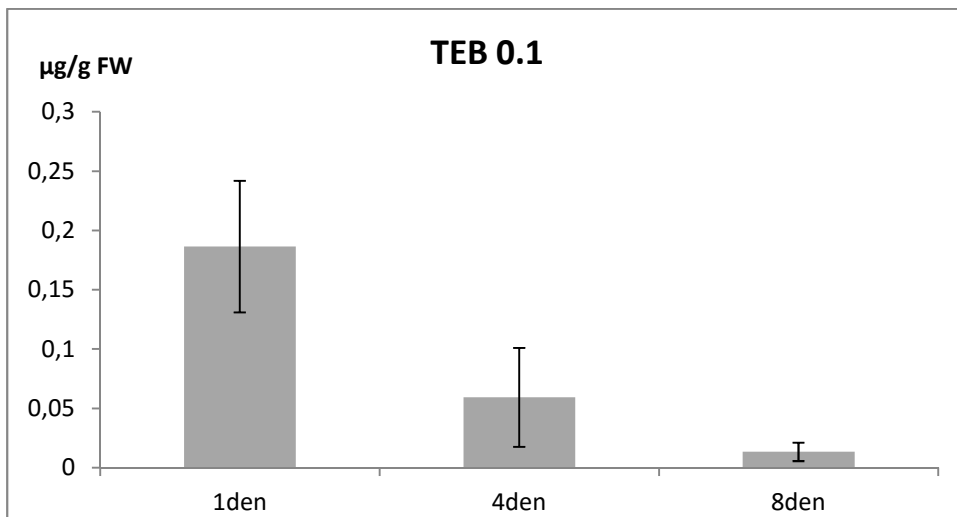
tebukonazolu (graf 3). Podobná kinetika příjmu tebukonazolu byla popsána u rákosí (*Phragmites australis*) /6/.

Dle literárních zdrojů např. /7/ tebukonazol u rostlin může vyvolat různé fyziologické změny; my jsme se zaměřili na změny v aktivitě antioxidačních enzymů. Na grafu 4 je vidět zvýšená aktivity peroxidázy v buněčné suspenzi po 1 a 4 u obou použitých koncentrací. Po 8 dnech kultivace se zvyšuje aktivita peroxidázy i u kontrolních rostlin, pravděpodobně z důvodu vyčerpání živin z média. Naproti tomu kataláza je mírně zvýšena u obou pokusných rostlin již po 1 dni a i nadále zůstává oproti kontrole zvýšená (graf 5.).

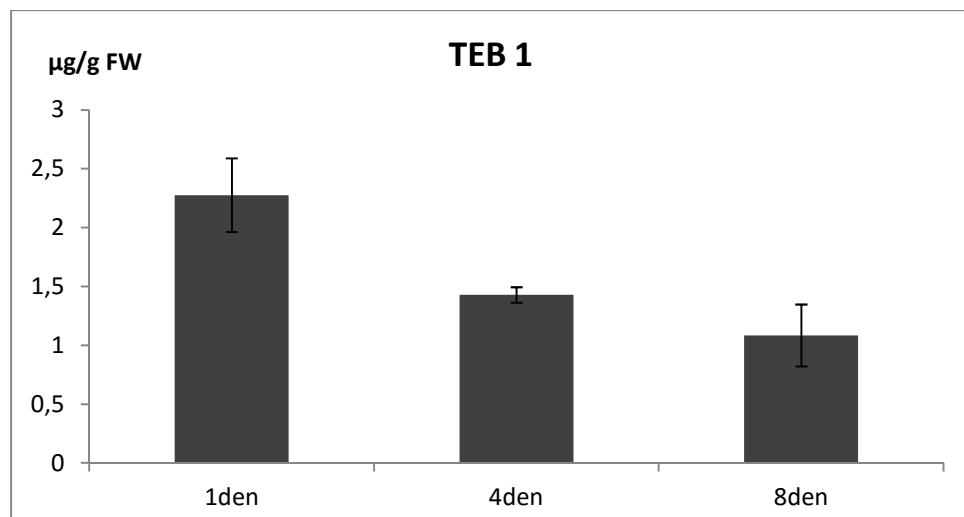
Závěrem lze konstatovat, že tebukonazol, který buněčné suspenze topolu ochotně přijímají, způsobuje u rostlin stres, který se při vyšší koncentraci projevil snížením růstu. Lze předpokládat, že tebukonazol podobný efekt vyvolá i u rostlin *in natura*.



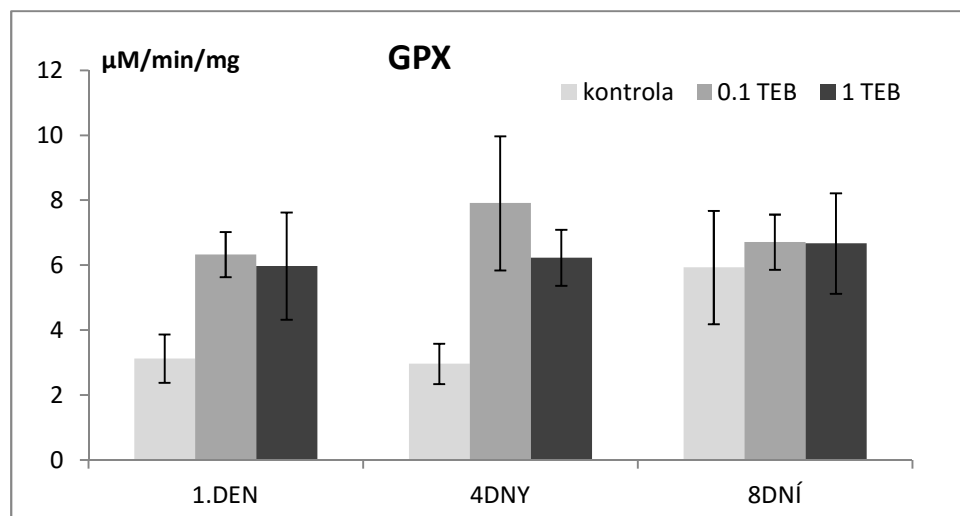
Graf 1: Hmotnost suspenze v den odběru vzorků.



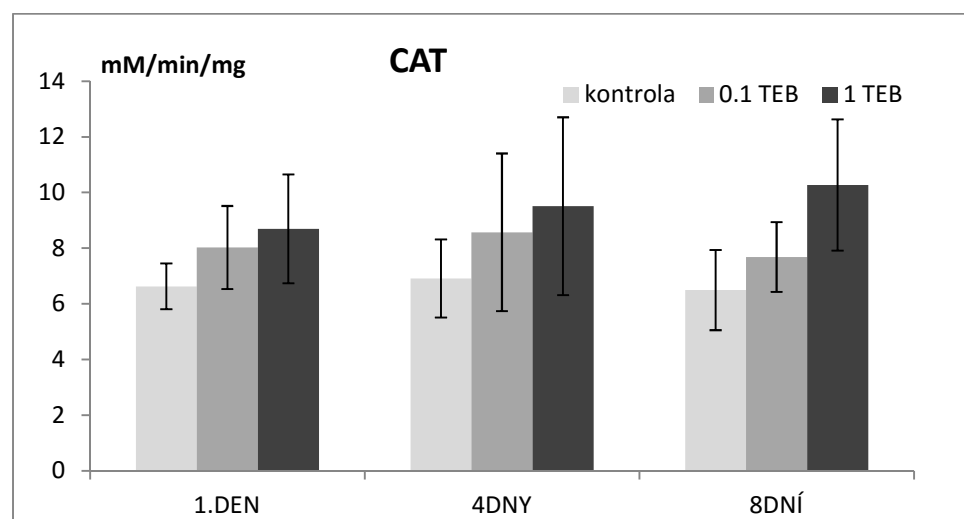
Graf 2: Obsah tebukonazolu v buňkách při aplikaci teb. v koncentraci 0,1 mg/L



Graf 3: Obsah tebuconazolu v buňkách při aplikaci teb.v koncentraci 1 mg/L



Graf 4: Aktivita peroxidázy po aplikaci tebuconazolu v koncentracích 0,1 a 1 mg/L.



Graf 5: Aktivita katalázy po aplikaci tebuconazolu v koncentracích 0,1 a 1 mg/L.

**LITERATURA**

- /1/ Helander, M., Saloniemi, I., Saikkonen, K.: Glyphosate in northern ecosystems. *Trends in Plant Science* 17, 2012: 569–574.
- /2/ Dévier, M. H., Mazellier, P., Ait-Aissa, S., Budzinski, H.: New challenges in environmental analytical chemistry: identification of toxic compounds in complex mixtures. *Comptes Rendus Chimie* 14, 2011: 766–779.
- /3/ Couée, I., Serra, A. A., Ramel, F., Gouesbet, G., Sulmon, C.: Physiology and toxicology of hormone-disrupting chemicals in higher plants. *Plant Cell Reports* 32, 2013: 933–941.
- /4/ Ramel, F., Sulmon, C., Serra, A. A., Gouesbet, G., Couée, I.: Xenobiotic sensing and signalling in higher plants. *Journal of Experimental Botany* 63, 2012: 3999–4014
- 
- .5/ Lv, T., Zhang, Y., Casas, M. E., Carvalho, P. N., Arias, C. A., Besterm K., Brix, H.: Phytoremediation of imazalil and tebuconazole by four emergent wetland plant species in hydroponic medium.
- Chemosphere*
- , 148, 2016: 459-466
- /6/ Lv, T., Carvalho, P. N., Casas, M. E., Bollmann, U. E., Arias, C. A., Brix, H., Bester, K.: Enantioselective uptake, translocation and degradation of the chiral pesticides tebuconazole and imazalil by *Phragmites australis*. *Environmental Pollution*, 229, 2017: 362-370
- /7/Serra, A. A., Couee, I., Renault, D., Gouesbet, G., Sulmon, C.: Metabolic profiling of *Lolium perenne* shows functional integration of metabolic responses to diverse subtoxic conditions of chemical stress. *Journal of Experimental Botany*, 66, 2015: 1801-1816

**Poděkování**

Tato práce vznikla za podpory grantu MŠMT č. LTC 17033.

# LÉČIVY INDUKOVANÉ ZMĚNY V RŮSTU A MORFOLOGII KOŘENŮ KUKUŘICE A HRACHU

## **PHARMACEUTICALS-INDUCED CHANGES IN ROOT GROWTH AND MORPHOLOGY IN MAIZE AND PEA PLANTS**

Markéta Hájková<sup>1</sup>, Marie Kummerová<sup>1</sup>, Štěpán Zezulka<sup>1</sup>, Kateřina Svobodová<sup>2</sup>, Ján Šmeringai<sup>1</sup>

<sup>1</sup> Masarykova univerzita Brno, Přírodovědecká fakulta, Ústav experimentální biologie – oddělení fyziologie a anatomie rostlin, Kotlářská 2, 611 37 Brno, hajkova.marketa@email.cz

<sup>2</sup> Laboratoř metabolomiky a izotopových analýz, Ústav výzkumu globální změny, AV ČR, v.v.i., Bělidla 4a, 603 00 Brno

### **Summary**

Diclofenac (DCF) and paracetamol (PCT) (1 and 10 mg/L) negatively affected the growth and morphology of roots of two model plants – maize (*Zea mays* L.) and pea (*Pisum sativum* L.). Significant decrease in primary root length and dry weight of roots was found in both species, especially under 10 mg/L both DCF and PCT treatment. Pea took up more PCT, on the other hand maize took up more DCF.

*Key words:* *Zea mays, Pisum sativum, diclofenac, paracetamol, root system*

### **Souhrn**

Diklofenak (DCF) a paracetamol (PCT) negativně ovlivnily růst a morfologii kořenů dvou modelových rostlin – kukuřice (*Zea mays* L.) a hrachu (*Pisum sativum* L.). Významné snížení délky primárního kořene a sušiny kořenového systému bylo zjištěno u obou druhů zejména při zatížení 10 mg/l jak DCF, tak PCT. Hrách přijal více PCT, kukuřice naopak více DCF.

*Klíčová slova:* *Zea mays, Pisum sativum, diklofenak, paracetamol, kořeny*

## **ÚVOD**

Zvyšující se stupeň zatížení životního prostředí léčivy, významnými antropogenními polutanty, vyvolává nutnost analyzovat jejich vliv na necílové organismy včetně rostlin, které je mohou přijímat i akumulovat a jako primární producenti přenášet do vyšších trofických úrovní /1/. Ke kontaminaci půd dochází především v důsledku aplikace nedokonale vycištěných odpadních vod a kalů a profylaktickou léčbou hospodářských zvířat /2/. Fytotoxicita léčiv závisí zejména na rostlinném druhu, stupni ontogeneze a na fyzikálně-chemických vlastnostech látky, koncentraci, délce expozice a environmentálních podmínkách. Vedle vody a živin kořeny přijímají, akumulují, transformují a transportují významná množství xenobiotik do nadzemních částí rostlin. Změny ve struktuře a funkci kořenového systému vyvolané přítomností léčiv se mohou projevit ovlivněním růstu rostlin a výnosu hospodářských plodin. Jedním z parametrů pro posouzení environmentálního stresu by proto mělo být i hodnocení růstových a morfologických změn kořenů rostlin.

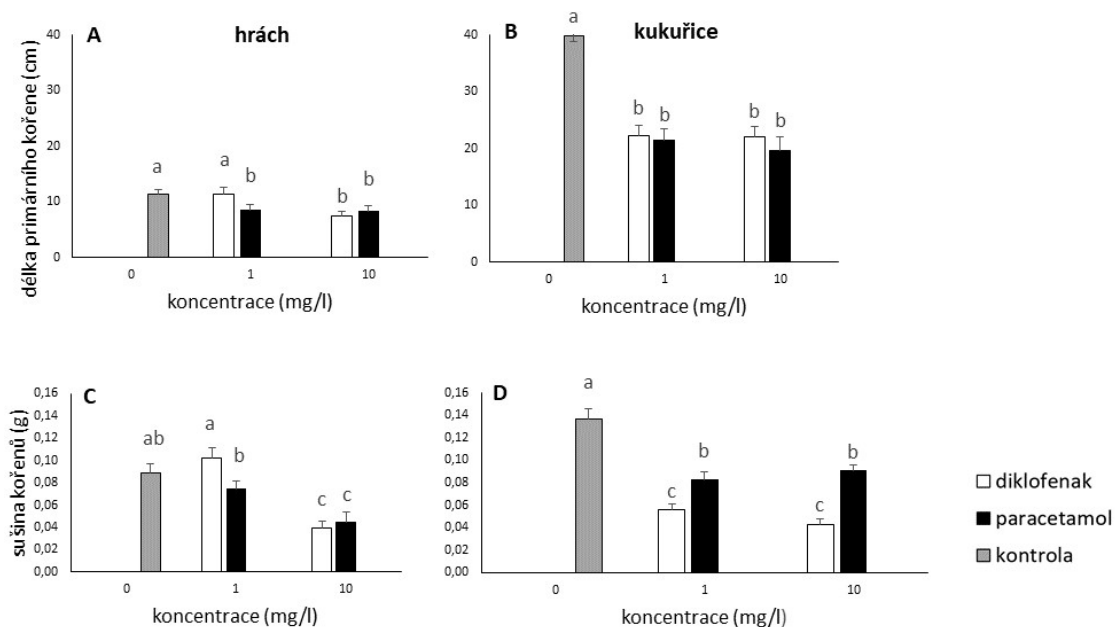
Cílem této studie bylo charakterizovat růst kořenového systému u hrachu a kukuřice kultivovaných v přítomnosti dvou nesteroidních léčiv – diklofenaku (DCF) a paracetamolu (PCT). Tato léčiva byla vybrána na základě dosavadních zjištění týkajících se jejich výskytu, toxicity a pseudoperzistence v životním prostředí /2/. Použité koncentrace DCF a PCT simulovaly běžné až vyšší zatížení prostředí (1 a 10 mg/l).

## MATERIÁL A METODA

Rostliny hrachu setého (*Pisum sativum*, cv. Oskar) a kukuřice seté (*Zea mays*, cv. Agnan) byly kultivovány v Reid-York živném roztoku bez (kontrola) a s přídavkem léčiva. DCF a PCT byly rozpuštěny v acetolu (Labscan, Ireland) a dodány do živného roztoku ve finálních koncentracích 1 a 10 mg/l. Po 20 dnech kultivace v řízených podmínkách (teplota  $20\pm2^{\circ}\text{C}$ , relativní vzdušná vlhkost 60 %, ozářenost 150–200  $\mu\text{mol}/\text{m}^2/\text{s}$ , fotoperioda 14/10; provzdušňování; výměna média po 7 dnech) byly u 5 rostlin z každého zatížení hodnoceny délka primárního kořene, hmotnost sušiny kořenového systému a zdokumentována jeho morfologie. V sušině kořenů byl metodou kapalinové chromatografie detekován obsah obou léčiv. Výsledky byly vyhodnoceny jednocestnou analýzou rozptylu (ANOVA) a Tukey HSD testem při  $P<0,05$ .

## VÝSLEDKY A DISKUSE

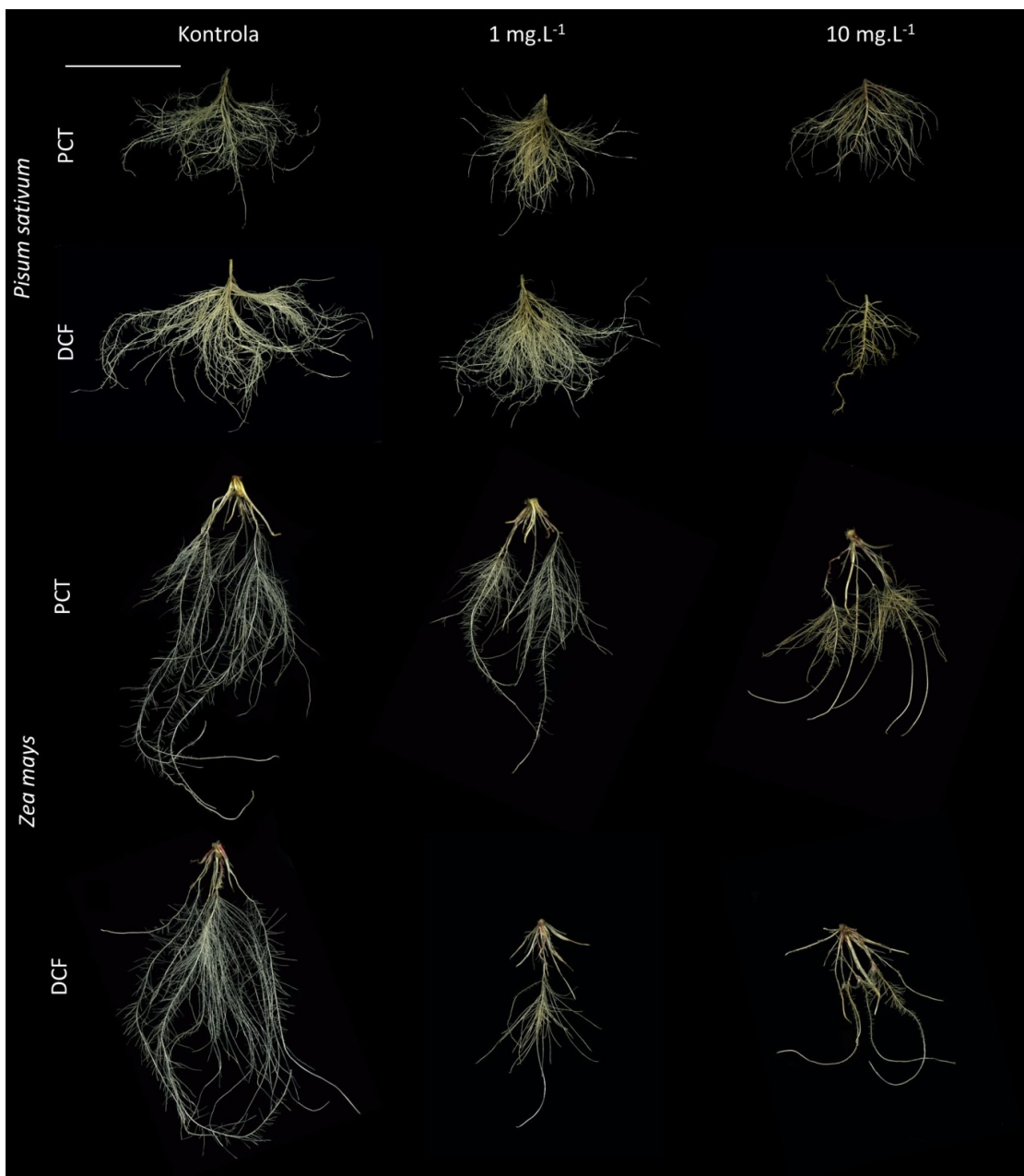
Rostliny jsou od počátku své ontogeneze v přírodě vystaveny synergickému působení široké skupiny polutantů. Proces tvorby a růstu kořenového systému závisí na množství vzájemně propojených molekulárně-biologických, biochemických a fyziologických pochodů. Jeho ovlivnění přítomnosti stresoru se odrazí v morfologii kořene. DCF i PCT ovlivnily architekturu kořenového systému – jak délku primárního kořene, tak i tvorbu laterálních kořenů hrachu i kukuřice (Obr. 1). Inhibice primárního kořene vede ke zvýšené tvorbě laterálních kořenů, ale pouze do určité úrovně environmentálního zatížení (Obr. 1).



Obr. 2: Délka primárního kořene (A, B) a hmotnost sušiny kořenů (C, D) u hrachu a kukuřice po 20 dnech kultivace v Reid-York živném roztoku bez (kontrola) a s DCF nebo PCT (1 a 10 mg/l). Hodnoty reprezentují průměr z 5 opakování, chybové úsečky značí směrodatnou odchylku. Písmena značí statisticky významné rozdíly při  $P<0,05$  (ANOVA, Tukey HSD test).

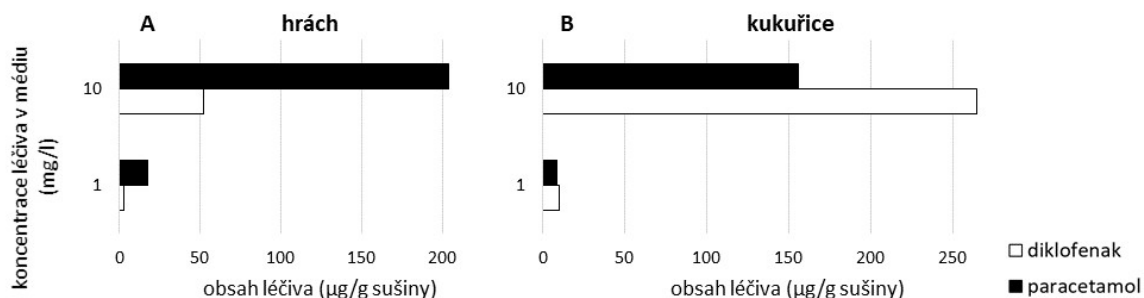
Inhibice iniciace tvorby kořenových primordií a redukovaný růst laterálních kořenů jsou výsledkem redukce kořenového meristému, inhibice dělení buněk a jejich dlouživého růstu [3]. Významná inhibice délky primárního kořene hrachu byla zjištěna při koncentraci 10 mg/l DCF (o 34 %) i PCT (o 27 %) (obr. 2A). Citlivější odezva byla zjištěna u kukuřice již při

konzentrací 1 mg/l DCF (o 44 %) (Obr. 2B). Přítomnost delších laterálních kořenů v blízkosti báze kořene u obou rostlinných druhů (Obr. 1) může souviset jak se stimulačním účinkem nižší koncentrace léčiv, tak i se zvýšeným transportem IAA k apikální části primárního kořene, ukazujícím na disbalanci hormonálního systému /4/. Růst primárního a laterálních kořenů je řízen různými mechanismy. Zvýšená délka laterálních kořenů patrná u rostlin zatížených nízkou koncentrací léčiv by mohla představovat adaptaci rostlin na nízkou kontaminaci. Tvorba laterálních kořenů je také spojena se schopností rostlin zvýšit hodnotu pH v rhizosféře, která je významná pro příjem iontů /5/.



Obr. 1: Kořeny rostlin hrachu (A) a kukuřice (B) kultivované 20 dnů při zvyšující se koncentrací PCT a DCF (1 a 10 mg/l). Měřítko = 8 cm.

Ovlivnění biochemických a fyziologických procesů léčivy, anebo produkty jejich transformace, je zřejmé z významně nižší hmotnosti sušiny kořenů (obr. 2C, 2D). Nízké koncentrace polutantů mohou dočasně stimulovat růst rostlin, což naznačuje vyšší hmotnost sušiny kořenů u hrachu při 1 mg/l DCF (Obr. 2C). Kukuřice reagovala citlivěji na přítomnost obou léčiv. Ve srovnání s hrachem byla hmotnost sušiny kořenů významně nižší, až o 69 % při 10 mg/l DCF a 39 % při 10 mg/l PCT vůči kontrole. Kořeny rostlin hrachu (dvouděložná rostlina) akumulovaly více PCT než rostliny kukuřice (o 24 %). Kořeny kukuřice (jednoděložná rostlina) oproti tomu akumulovaly více DCF než rostliny hrachu (o 80 %) (Obr. 3A,B), z čehož je patrná jejich rozdílná citlivost vůči vybraným xenobiotikům.



Obr. 3: Obsah DCF a PCT v kořenech hrachu a kukuřice po 20 dnech kultivace v Reid-York živném roztoku bez (kontrola) a s DCF nebo PCT (1 a 10 mg/l). Data reprezentují průměr ze dvou opakování.

Studie dokládá, že formování kořenového systému rostlin je ovlivněno nejen přímým toxickým účinkem léčiv na pletiva a buňky kořenů, ale i nepřímo v důsledku ovlivnění těch biochemických a fyziologických procesů v nadzemních částech rostlin, které se podílí na tvorbě biomasy.

## LITERATURA

- /1/ Christou, A., Antoniou, C., Christodoulou, C., Hapeshi, E., Stavrou, I., Michael, C., Fatta-Kassinos, D., Fotopoulos, V.: Stress-related phenomena and detoxification mechanisms induced by common pharmaceuticals in alfalfa (*Medicago sativa* L.) plants. *Science of the Total Environment*, 557-558, 2016: 652-664.
- /2/ Bartrons, M. et Peñuelas, J.: Pharmaceuticals and personal-care products in plants. *Trends in plant science*, 22 (3), 2017: 194-203.
- /3/ Soukup, A., Votrubaová, O., Čížková, H.: Development of anatomical structure of roots of *Phragmites australis*. *New Phytologist*, 153, 2002: 277-287.
- /4/ Reed, R. C., Brady, S. R., Muday, G. K.: Inhibition of Auxin Movement from the Shoot into the Root Inhibits Lateral Root Development in *Arabidopsis*. *Growth and Development*, 1998.
- /5/ Cheng, Y., Howieson, J. G., O'Hara, G. W., Watkin, E.L.J., Souche, G., Jaillard, B., Hinsinger, P.: Proton release by roots of *Medicago murex* and *Medicago sativa* growing in acidic conditions, and implications for rhizosphere pH changes and nodulation at low pH, *Soil Biology and Biochemistry*, 36 (8): 2004: 1357-1365.

## Poděkování

Uvedená práce byla podpořena projektem GA ČR č. GF 17-33746L.

## ODEZVA ANTIOXIDAČNÍHO ENZYMATICKÉHO APARÁTU U *ARABIDOPSIS THALIANA* NA STRES ZPŮSOBENÝ KONTAMINACÍ NESTEROIDNÍMI ANTIFLOGISTIKY

### ***ENZYMATIC ANTIOXIDANT DEFENCE MACHINERY IN ARABIDOPSIS THALIANA IN RESPONSE TO NSAIDS CONTAMINATION***

Lenka Langhansová, Petr Maršík, Kateřina Motková, Přemysl Landa, Radka Podlipná,  
Tomáš Vaněk

Ústav experimentální botaniky AV ČR, v.v.i., Rozvojová 263, 165 02 Praha 6,  
langhansova@ueb.cas.cz

#### ***Summary***

Nonsteroidal anti-inflammatory drugs (NSAIDs) belong to the remedies with the largest global sales volume and they are the third most used class of pharmaceuticals in the Czech Republic. Increasing amount of the NSAIDs and their metabolites in wastewater represents a significant risk to the environment. Under stress, plants activate either non-enzymatic or enzymatic antioxidant defence machinery. In our research we focus on response of *Arabidopsis thaliana* to ibuprofen and naproxen, related to photosynthetic pigments and antioxidant enzyme activity. Our results indicate slightly higher fytotoxicity of naproxen comparing to ibuprofen. The response was significant mostly in the increased content of photosynthetic pigments and increased activity of catalase.

**Key words:** Nonsteroidal anti-inflammatory drugs, phytoremediation, ibuprofen, naproxen, antioxidant enzymes

#### ***Souhrn***

Nesteroidní antiflogistika (NSAIDs) patří mezi léčiva s největším globálním objemem prodeje a jsou třetí nejužívanější skupinou léčiv v České republice. Nárůst obsahu NSAIDs a jejich metabolitů v odpadních vodách představuje významné riziko pro životní prostředí. Rostliny v reakci na stres aktivují jak enzymatické, tak neenzymatické obranné antioxidační mechanismy. V naší studii jsme se zaměřili na odpověď *Arabidopsis thaliana* na ibuprofen a naproxen, v souvislosti se změnami v obsahu fotosyntetických pigmentů a v aktivitě antioxidačních enzymů. Výsledky prokázaly mírně vyšší toxicitu naproxenu v porovnání s ibuprofenum. Výrazná odpověď byla sledována zejména ve zvýšeném obsahu fotosyntetických pigmentů a zvýšené aktivitě katalázy.

**Klíčová slova:** Nesteroidní antiflogistika, fytořemediace, ibuprofen, naproxen, antioxidační enzymy

## **ÚVOD**

Nesteroidní antiflogistika (NSAIDs) jsou pravděpodobně nejrozšířenějšími léčivy v celé historii lidstva. V České republice patří mezi třetí nejužívanější skupinu léčiv. Jejich celosvětová produkce každoročně narůstá úměrně se stářnutím populace a s nárůstem civilizačních onemocnění. Dle globálních trendů lze očekávat, že nárůst konzumace NSAIDs bude i nadále pokračovat. NSAIDs jsou léčiva inhibující produkci klíčových pro-zánětlivých

enzymů – prostaglandinů, které způsobují bolestivé reakce v organismu, horečky či otoky aj. /1/. Po užití jsou pouze částečně metabolizovány a inaktivovány v játrech a tyto metabolity jsou společně s intaktními NSAIDs vylučovány převážně v moči /2/. Dostávají se takto do odpadních vod, kde se stávají zdrojem budoucí kontaminace spodních vod /3/. Jejich přítomnost jak v nezměněné tak metabolizované formě byla detekována v téměř všech vodních zdrojích (řeky, rybníky, moře, komunální vody atd.) /4,5/. S nárůstem konzumace NSAIDs lze očekávat i jejich vyšší výskyt v odpadních vodách a následně v celém ekosystému. Podle literatury se obsah např. ibuprofenu v evropských řekách pohybuje mezi 5 až 150 ng/L /6/. Je proto důležité získávat hlubší znalosti o dopadu NSAIDs a jejich metabolitů v rostlinách, které jsou základní složkou potravního řetězce v ekosystému.

Fytoremediace jsou jedním z prostředků vedoucím k zvýšení dekontaminace NSAIDs v odpadních vodách. Více než 300 metabolitů ibuprofenu bylo identifikováno v suspensních kulturách *Arabidopsis thaliana* /7/. Z literatury vyplývá rostoucí pozornost na akumulaci farmaceutik v plodinách a jejich možný dopad na lidské zdraví /8/. Pro rostliny farmaceutika představují v menší či větší míře toxický stres způsobující akumulaci volných radikálů. Jedním z obecných indikátorů fyziologické kondice rostlin vystavených stresovým podmínkám, je kvalita fotosyntetických pigmentů (chlorofyl a/b, karotenoidy) /9/. Dalším mechanismem, kterým rostliny udržují equilibrium volných radikálů je zapojení antioxidačních enzymů jako kataláza, peroxidáza, askorbát peroxidáza či superoxid dismutáza /10/.

V naší studii jsme jako hlavní představiteli NSAIDs vybrali ibuprofen, který je druhým nejprodávanějším léčivem v České republice; a dále naproxen, jehož vyšší výskyt v životním prostředí je způsoben nízkou úrovní odbourání v organizmu. Téměř 90% zůstává v moči v nezměněné formě. Dvouděložná rostlina *Arabidopsis thaliana* byla vybrána jako standardní rostlinný model se známým genomem, jednoduchou a rychlou kultivací.

## MATERIÁL A METODA

Buněčné suspense byly sukultivovány v týdenním intervalu ve 100 mL V4 média /11/ v 250 mL erlenmayerových baňkách na horizontálním míchadle (120 rpm) ve tmě při 24 °C. NSAIDs byly sterilně přidány do média v 5 a 50 µM koncentraci po dvou dnech od subkultivace a viabilita byla stanovena po 48 h po ošetření. Vliv NSAIDs byl dále sledován u rostlin pěstovaných v hydroponickém systému v kultivačních nádobách (Araponics SA, Belgie) v 25% roztoku podle Hoaglanda /12/. Čtyři týdny staré rostliny byly vystaveny působení NSAIDs v 5 a 50 µM koncentraci. Změna obsahu fotosynteticky aktivních pigmentů byla stanovena po 7 dnech a reakce antioxidačního enzymatického aparátu po 48 h kultivace s NSAIDs.

K orientačnímu a rychlému stanovení vlivu NSAIDs na viabilitu (životnost) buněk byla použita metoda redukce 2,3,5-trifenyltetrazolium chloridu (TTC test) na červený formazán podle Pollarda a Walkera /13/. Absorbance redukovaného formazánu, zabarvujícího pouze živé buňky je měřena při vlnové délce 485 nm na přístroji Tecan Infinite M200 (Tecan Group, Switzerland).

Obsah fotosynteticky aktivních pigmentů v rostlinách byl stanoven spektrofotometrickou metodou z metanolového extraktu homogenizovaného materiálu /14/. Obsah chlorofylu a, chlorofylu b a celkový obsah karotenů byl vypočítán z naměřených hodnot absorbance při vlnových délkách 470, 653 a 666 nm podle Lichtenhalera /15/.

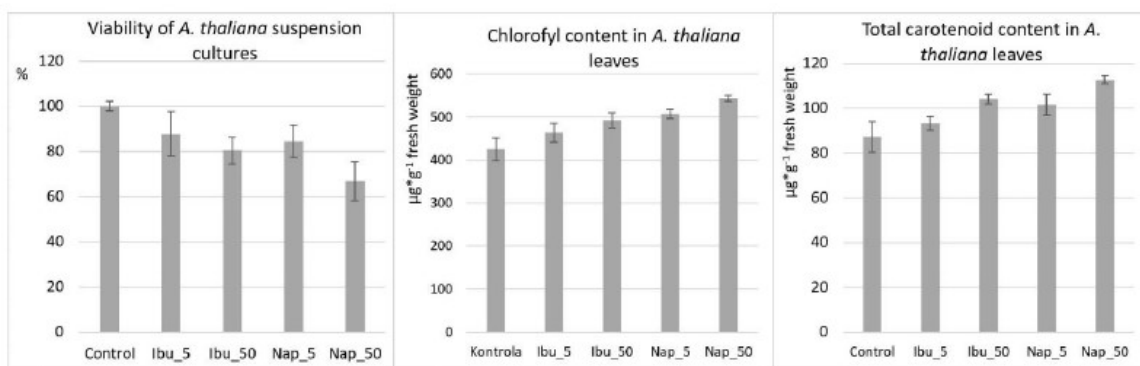
Antioxidační enzymy byly extrahovány z kořínek rostlin pěstovaných v hydroponických kulturách po ošetření NSAIDs pomocí 50 mM fosfátového pufru (pH 7). Koncentrace proteinů byla stanovena dle Bradfordové. Zaměřili jsme se na aktivitu několika základních antioxidačních enzymů, jako peroxidáza (POX), kataláza (CAT), askorbát peroxidáza (APX) a superoxid dismutáza (SOD). SOD byla stanovena pomocí xantine-

xantine oxidázového systému. POX byla stanovena v přítomnosti guaiakolu, APX v přítomnosti kyseliny askorbové a CAT v pufru bez substrátu. U všech enzymů byla sledována kinetika změny absorbance určující rychlosť reakce nastartované peroxidem vodíku nebo xantinem v případě SOD /10/. Absorbance byla měřena pomocí spektrofotometru Tecan Infinite M200 (Tecan Group, Switzerland) na transparentních či UV transparentních (v případě CAT) mikrodestičkách.

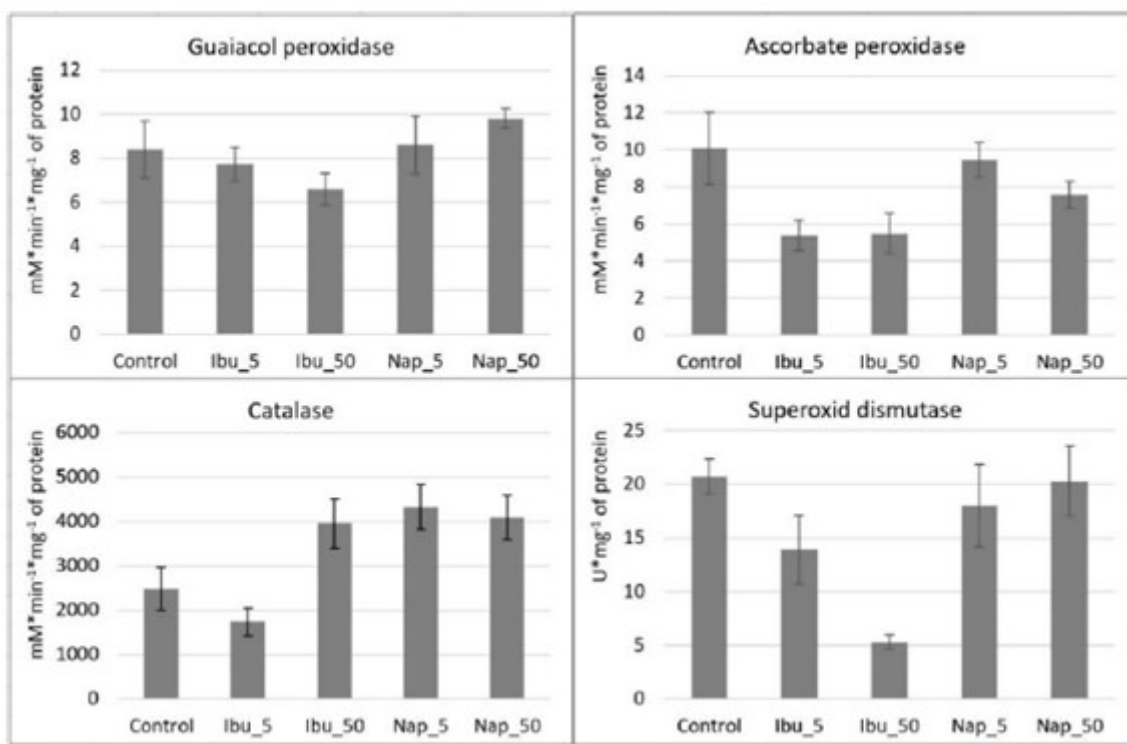
## VÝSLEDKY A DISKUSE

Sledované indikátory fytotoxicity NSAIDs (viabilita a obsah fotosyntetických pigmentů) naznačují, že jak ibuprofen, tak naproxen jsou pro *A. thaliana* mírně toxicke, s tím, že rostliny jsou více citlivé na naproxen (Graf 1). U rostlin nebyla zpozorována statistický významná změna poměru chlorofylu *a/b*, což je běžnejší reakce rostlin na stress /9/. Nicméně celkový obsah chlorofylu i karotenoidů v listech byl zvýšen v lineární závislosti na koncentraci u obou sledovaných NSAIDs. Karotenoidy jsou nejen fotoprotективní pigmenty fotosyntézy, ale také účinné antioxidanty, chránící rostliny vystavené při stresu před zvýšenou akumulací volných radikálů /16/.

Obecně farmaceutika mnohdy nepředstavují pro rostliny velký stres výrazně inhibující růst nebo klíčení /17/. Citlivost rostlin na farmaceutika neboli úroveň toxicity je nutno stanovit pomocí citlivějších indikátorů, jako je změna exprese RNA či změna v aktivitě antioxidačních enzymů. Předchozí studie již prokázaly transkriptomickou odezvu *A. thaliana* jak na ibuprofen /18/ tak naproxen (publikace v přípravě). Co se týká enzymatické odezvy rostlin, naše výsledky ukázaly, že jak naproxen tak ibuprofen působil u většiny testovaných antioxidačních enzymů spíše represivně (Graf 2). Pouze u CAT bylo pozorováno zvýšení aktivity o 60 – 70 %, a to při aplikaci 50 µM koncentrace ibuprofenu a obou testovaných koncentracích naproxenu. SOD je zapojena v první fázi obrany rostlin proti volným radikálům a primárně katalyzuje superoxid ( $O_2^-$ ) na  $O_2$  a peroxid vodíku ( $H_2O_2$ ).  $H_2O_2$  je konvertován dalšími antioxidačními enzymy. Spolupráce enzymů odbourávajících  $H_2O_2$  (např. POX, CAT, APX) a SOD hraje klíčovou roli při odolnosti rostlin na environmentální stres. POX patří do skupiny cytozolárních enzymů (nejsou přítomné v chloroplastu) odbourávajících  $H_2O_2$ . APX je jedním z nejdůležitějších antioxidačních enzymů odbourávajících  $H_2O_2$  v rostlinách za pomoci askorbátu jako reduktantu. CAT je převážně spojena s odbouráváním  $H_2O_2$  v peroxizomu, vznikajícího během fotorespirace. Zvýšená aktivita katalázy mohla být indukována  $H_2O_2$  produkovaným SOD po aplikaci naproxenu, nikoli pak ibuprofenu, kde byla inhibována až o 74 %. Změna aktivity CAT a SOD může reflektovat dynamiku antioxidačního systému. Obecně je ale tato kooperace pozorována u POX a SOD /19/.



Graf 1: Vliv ibuprofenu (Ibu) a naproxenu (Nap) na životnost buněk a na obsah fotosyntetických pigmentů v listech *Arabidopsis thaliana*. Ibuprofen a Naproxen byly aplikovány do suspensních (viabilita) či hydroponických (otosyntetické pigmenty v listech) kultur do kultivačních médií v koncentracích 5 a 50 µM. Viabilita je stanovena procentuálně jako poměr počtu živých buněk k celkovému počtu buněk v suspensi.



Graf 2: Vliv ibuprofenu (Ibu) a naproxenu (Nap) na aktivitu oxidačních enzymů. Ibuprofen a Naproxen byly aplikovány do hydroponického kultivačního roztoku v koncentracích 5 a 50  $\mu\text{M}$ .

## LITERATURA

- /1/ Martin, P., Leibovich, S. J.: Inflammatory cells during wound, repair: the good, the bad and the ugly. Trends in Cell Biology, 15, 2005: 599-607.
- /2/ Sanoh, S. a kol.: Predictability of metabolism of ibuprofen and naproxen using chimeric mice with human hepatocytes. Drug Metabolism and Disposition, 40, 2012: 2267-2272
- /3/ Verlicchi, P., Al Aukidy, M., Zambello, E: Occurrence of pharmaceutical compounds in urban wastewater: removal, mass load and environmental risk after a secondary treatment—a review. Sci. Total Environ., 429, 2012: 123-155.
- /4/ Wang, C. a kol.: Investigation of pharmaceuticals in Missouri natural and drinking water using high performance liquid chromatography/tandem mass spectrometry. Water Research, 45, 2011: 1818-1828
- /5/ Wiegel, S. a kol.: Determination of selected pharmaceuticals and caffeine in sewage and seawater from Tromsø/Norway with emphasis on ibuprofen and its metabolites. Chemosphere, 56, 2004: 583–592
- /6/ Jux, U. a kol.: Detection of pharmaceutical contaminations of river, pond and tap water from Cologne (Germany) and surroundings. International Journal of Hygiene and Environmental Health, 205, 2002: 393-398
- /7/ Marsik, P. a kol.: Metabolism of ibuprofen in higher plants: A model *Arabidopsis thaliana* cell suspension culture system. Environmental Pollution, 220, 2017: 383-392
- /8/ Miller, E. L. a kol.: Root Uptake of Pharmaceuticals and Personal Care Product Ingredients. Environ Sci Technol., 19, 2016: 525-41.
- /9/ Lichtenthaler, H. K.: Fifty-five years of research on photosynthesis, chloroplasts and stress physiology of plants: 1958-2013. In: Lüttege U and Beyschlag W (eds) Progress in botany: genetics – physiology – systematics – ecology. Vol 76. Springer, Heidelberg, 2014: 3-42
- /10/ El-Shabrawi, H. a kol: Redox homeostasis, antioxidant defense, and methylglyoxal detoxification as markers for salt tolerance in Pokkali rice, Protoplasma, 245, 2010: 85-96
- /11/ Heller, R.: Recherches sur la nutrition minérale des tissus végétaux cultivés in vitro. Ann. Sci. Nat. Bot. Biol. Veg., 14, 1953: 1-223
- /12/ Hoagland, D. R.: Optimum nutrient solutions for plants. Science, 52, 1920: 562-564
- /13/ Pollard, J. W., Walker, J. M.: Method in molecular biology: Plant cell and tissue culture. Clifton, New Jersey: Humana Press., 6, 1991.
- /14/ Rainha, N. a kol.: Antioxidant properties, total phenolic, total carotenoid and chlorophyll content of anatomical parts of *Hypericum foliosum*. Journal of Medicinal Plants Research., 5, 2011: 1930-1940.

- /15/ Lichtenthaler, H., Wellburn, A.: Determination of total carotenoids and chlorophylls A and B of leaf in different solvents. Biochemical Society Transactions., 11, 1985: 591- 592.
- /16/ Larson, R. A.: The antioxidants of higher plants. Phytochemistry, 27, 1988: 969-978
- /17/ Osma, E., Cigir,Y., Karnjanapiboonwong, A., Anderson, A. T.: Evaluation of selected pharmaceuticals on plant stress markers in wheat. International Journal of Environmental Research., 12, 2018: 179-188
- /18/ Landa, P. a kol.: Transcriptomic response of *Arabidopsis thaliana* (L.) Heynh. roots to Ibuprofen. International Journal of Phytoremediation, 19, 2017: 695-700
- /19/ An, J., Zhou, Q., Sun, F., Zhang, L.: Ecotoxicological effects of paracetamol on seed germination and seedling development of wheat (*Triticum aestivum* L.) Journal of Hazardous Material, 169, 2009: 751-757

### Poděkování

Uvedená práce vznikla za finanční podpory poskytnuté Grantovou agenturou České republiky (GAČR) projektů 14-22593S a 18-07724S.

## INTERAKCE DIKLOFENAKU S ROSTLINAMI NA BUNĚČNÉ ÚROVNI: MODEL TABÁKOVÉ SUSPENZE BY-2

### *INTERACTION OF DICLOFENAC WITH PLANTS ON CELLULAR LEVEL: MODEL TOBACCO SUSPENSION BY-2*

Lucie Svobodníková, Štěpán Zezulka, Marie Kummerová

Masarykova univerzita Brno, Přírodovědecká fakulta, Ústav experimentální biologie – oddělení fyziologie a anatomie rostlin, Kotlářská 2, 611 37 Brno, 423626@mail.muni.cz

#### *Summary*

Decrease in density and changes in morphology of tobacco suspension BY-2 were observed from 3<sup>rd</sup> day of cultivation under 1000 µg/l diclofenac (DCF). Decrease by up to 50% in density was found under 5000 and 10000 µg/l DCF. Acute toxicity to BY-2 cells was proved already after 1 hour of exposure at 100 µg/l DCF, after 2 hours the dead cell count correlated with the concentration range except for 1000 µg/l DCF. The obtained results show that cell viability should be monitored within the first 3 days of culture, and the density of the cell suspension within 5 days (the exponential phase).

*Key words:* pharmaceuticals; tobacco cell suspension BY-2; suspension density; cell morphology; cell viability

#### *Souhrn*

Pokles hustoty a změna morfologie tabákové suspenze BY-2 byly zaznamenány již od 3. dne kultivace při 1000 µg/l diklofenaku (DCF). Až 50% pokles hustoty byl zjištěn při 5000 a 10000 µg/l DCF. Akutní toxicita na BY-2 buňky byla prokázána po 1 hodině expozice při 100 µg/l DCF, po 2 hodinách počty mrtvých buněk korelovaly s koncentrační řadou s výjimkou 1000 µg/l DCF. Ze získaných výsledků vyplývá, že v prvních 3 dnech kultivace je vhodné hodnotit viabilitu buněk a v průběhu 5 dnů (exponenciální fáze) i hustotu buněčné suspenze.

*Klíčová slova:* léčiva; tabáková buněčná suspenze BY-2; hustota suspenze; morfologie buněk; viabilita buněk

## ÚVOD

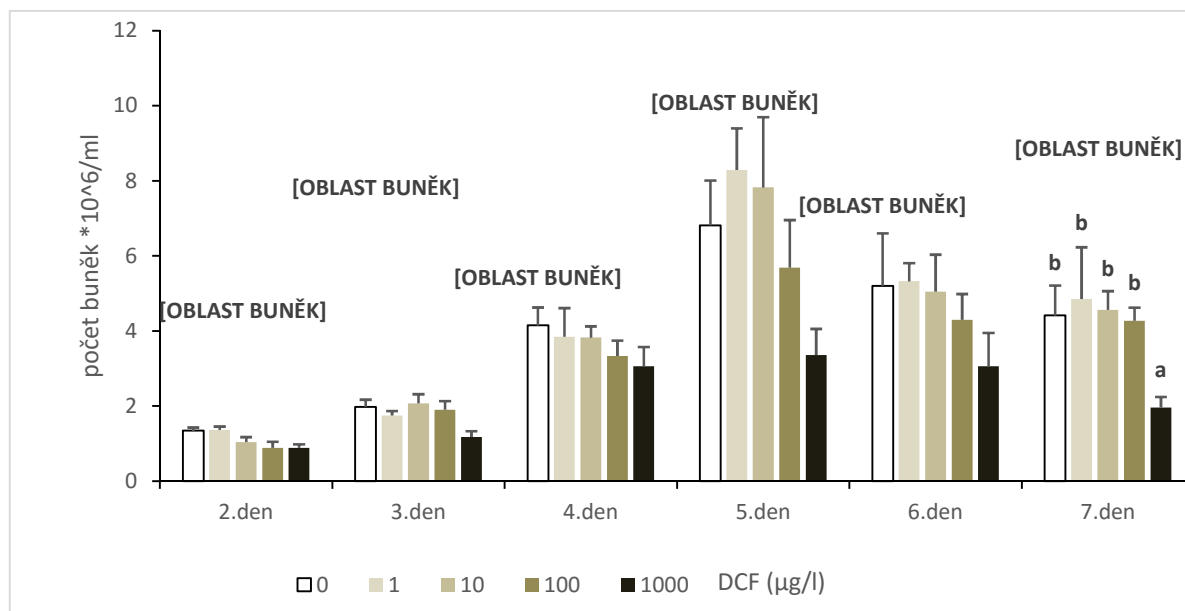
Vzhledem k celosvětově stálé se zvyšující produkci a spotřebě léčiv a nedostatečně účinným technologiím jejich odstraňování jsou léčiva kontinuálně přiváděna do prostředí a dostávají se do kontaktu s necílovými organismy. Trend využívání odpadních kalů a vod kontaminovaných léčivy na hnojení a zavlažování zemědělských ploch rozšiřuje oblast zájmu i na zemědělské plodiny. Je známo, že rostliny léčiva přijímají, akumulují a transformují. Jejich vliv na biochemické a fyziologické procesy rostlin však dosud není dostatečně prozkoumán. Jedním z nejčastěji detekovaných léčiv ve vodním prostředí je diklofenak, nesteroidní protizánětlivý lék, který lze detektovat v jednotkách až stovkách µg/l /1/. Je otázkou, zda pro včasnou indikaci a sledování působení léčiv na rostliny lze využít tabákovou buněčnou suspenzní kulturu BY-2 /2/, která je využívána např. pro studium programované buněčné smrti, projevů genové exprese nebo biosyntetických drah. Koncentrační řada diklofenaku byla zvolena tak, aby simulovala nízké až vyšší zatížení prostředí. Cílem práce bylo prozkoumat interakce diklofenaku a buněčné suspenze tabáku BY-2 a vytipovat vhodný parametr pro včasnou indikaci účinku léčiva.

## MATERIÁL A METODA

Buněčná suspenze BY-2 byla kultivována v LS médiu modifikovaném dle Nagaty et al. /2/ v Erlenmeyerových baňkách (100ml). Médium bylo obohaceno o 30 g/l sacharózy, 370 mg/l KH<sub>2</sub>PO<sub>4</sub>, 1 mg/l thiamin HCl, 100 mg/l myo-inositolu a 0,2 mg/l 2,4-D. Buňky byly kultivovány v řízených podmínkách (tma, teplota 27°C, orbitální třepačka 120 RPM). Zásobní roztok DCF byl připraven jeho rozpuštěním v systému aceton-voda v poměru 1:1 (hm.: obj.) a přidáním k buněčné suspenzi byla připravena koncentrační řada 0, 1, 10, 100, 1000, 5000 a 10000 µg/l. Od 2. dne kultivace byla ve 24-hodinových intervalech hodnocena morfologie a hustota buněčné suspenze BY-2 mikroskopicky pomocí Fuchs-Rosenthalovy počítací komůrky. Akutní toxicita DCF byla hodnocena po 1 a 2 hodinách barvením suspenze fluorescein diacetátem. Data byla statisticky vyhodnocena v programu Statistica analýzou rozptylu (ANOVA) a Scheffeho testem na hladině významnosti P ≤ 0,05.

## VÝSLEDKY A DISKUSE

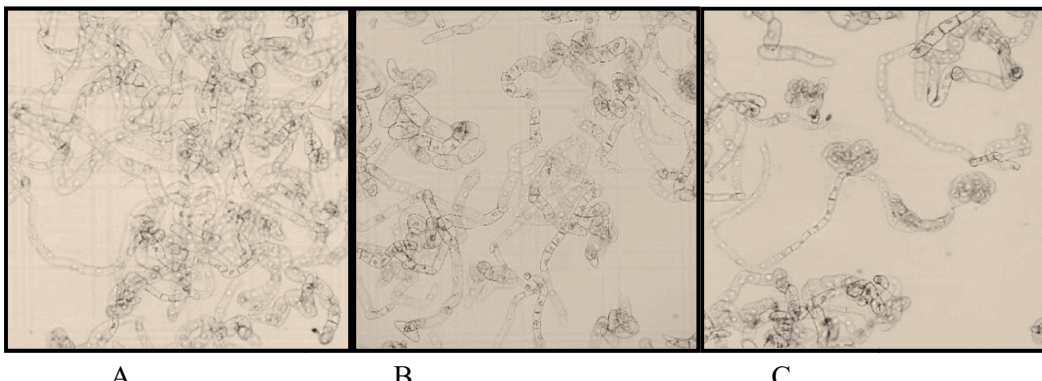
Vliv DCF na BY-2 buněčnou suspenzi byl hodnocen na základě hustoty suspenze a morfologie buněk. Z obr. 1 je patrný přibližně stejný tvar růstové křivky u kontroly a suspenzí zatížených 1, 10 a 100 µg/l DCF. Nejnižší hustota buněk byla zaznamenána v exponenciální fázi, 3. - 5. den, při 1000 µg/l DCF a to již od 3. dne kultivace. Podobně Gratao *et al.* /3/ zaznamenali po 3. dni kultivace stimulaci růstu BY-2 při 0,1 mM CdCl<sub>2</sub> a 0,075 mM NiCl<sub>2</sub> a významný pokles hustoty suspenze při vyšším zatížení (0,2 mM CdCl<sub>2</sub> a 0,75 mM NiCl<sub>2</sub>). Negativní vliv na hustotu buněčné suspenze BY-2 během 3. dne kultivace zaznamenali i Poborilova *et al.* /4/ při 100 µg/ml Al<sub>2</sub>O<sub>3</sub>. Při 1000 µg/l DCF nebyl pozorován typický sigmoidní tvar růstové křivky, mezi 3. a 4. dnem kultivace se mírně zvýšil počet buněk, avšak poté už růst suspenze stagnoval a 7. den se hustota suspenze snížila.



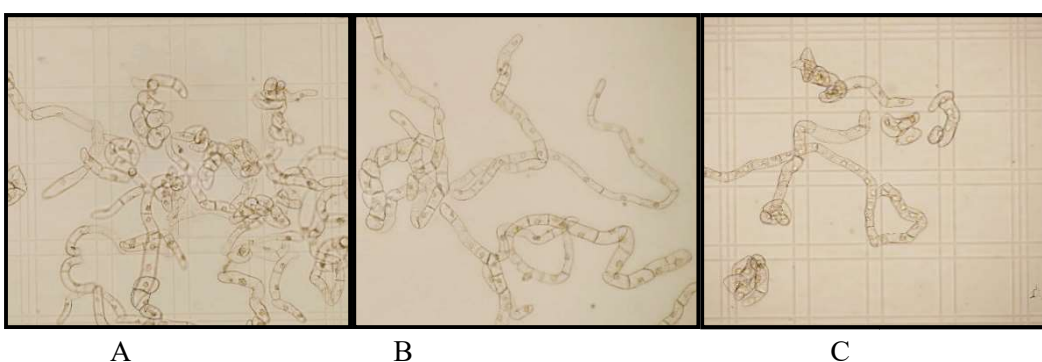
Obr. 1: Hustota BY-2 buněk při 0, 1, 10, 100 a 1000 µg/l DCF během 7-denní kultivace. Data představují průměr z osmi opakování, chybové úsečky označují směrodatné od-chylky. Písmena značí statisticky významné rozdíly při P<0,05 (ANOVA, Scheffého test).

Z morfologického hlediska, u všech zatížení DCF byla zřejmá tvorba dlouhých řetízků v kombinaci s menšími shluky, a to i přes snižující se počet buněk. Tato skutečnost byla při zatížení 1000 µg/l DCF pozorována již od 4. dne (obr. 2C) a při zatížení 1, 10 a 100 µg/l DCF od 5. dne kultivace (obr. 3). Po 6. dni se u kontroly s klesajícím počtem buněk dlouhé řetízky

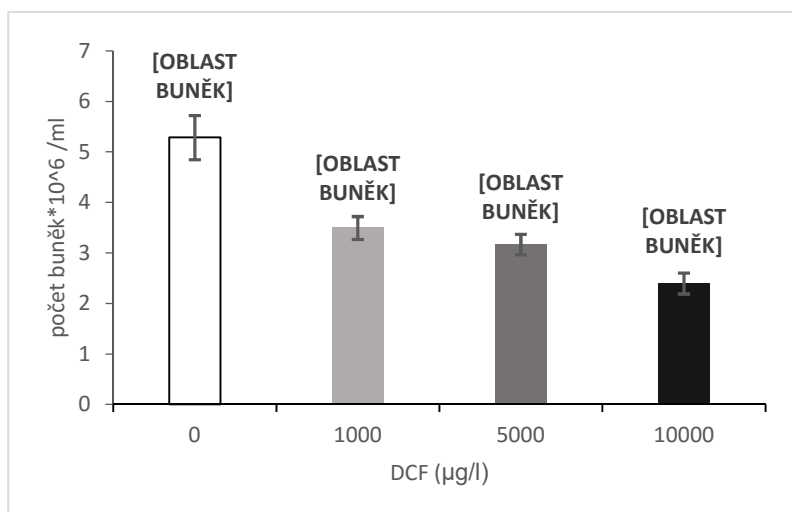
rozpadaly na kratší a případně se tvořily i větší shluky. Od 2. dne byl u všech zatížení DCF pozorován také výskyt atypických tvarů a abnormalních velikostí buněk včetně přetravávající tvorby shluků (obr. 2 a 3).



Obr. 2: Morfologie BY-2 buněk 4. den kultivace, A= kontrola; B= 1  $\mu\text{g/l}$  DCF; C= 1000  $\mu\text{g/l}$  DCF; A a B zvětšení 100x; C zvětšení 200x; ředění 3x.



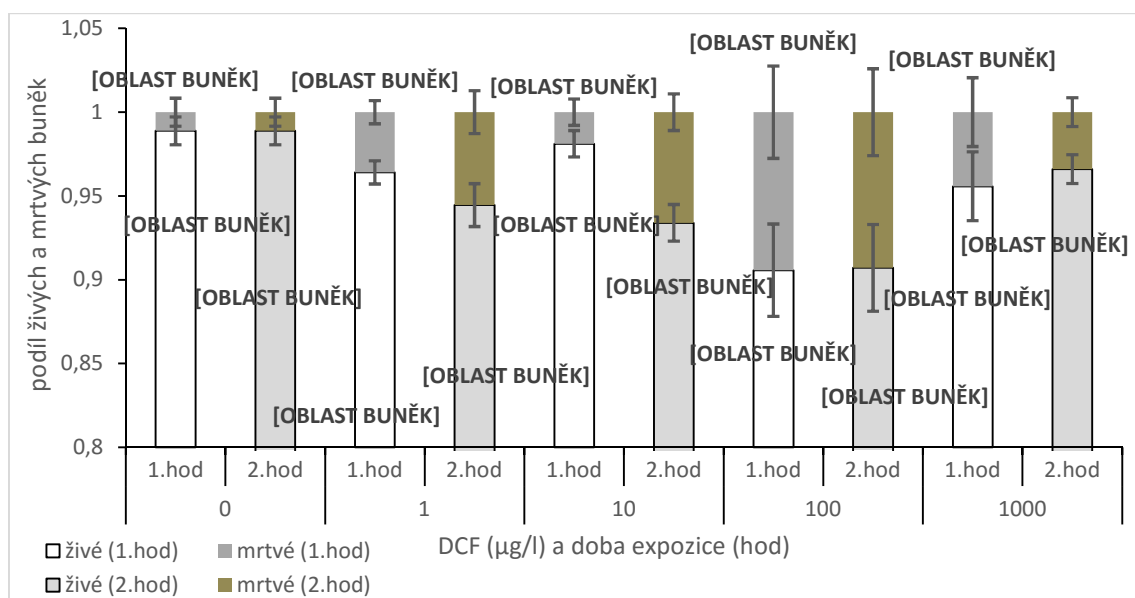
Obr. 3: Morfologie BY-2 buněk 5. den kultivace, A= kontrola; B= 1  $\mu\text{g/l}$  DCF; C= 1000  $\mu\text{g/l}$  DCF; zvětšení 100x; 10x ředění.



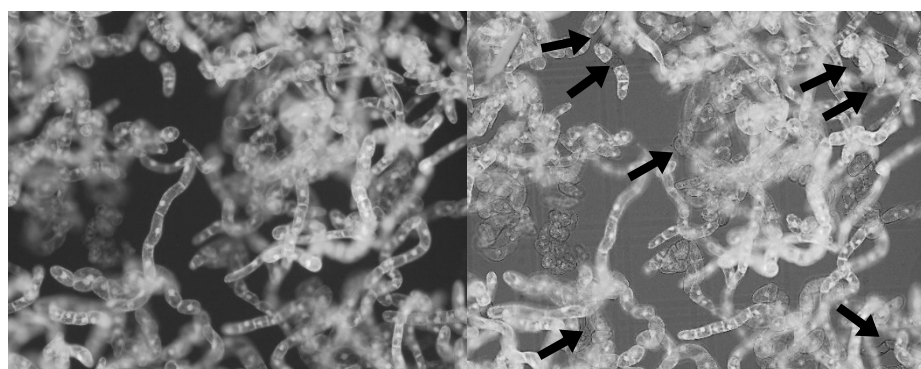
Obr. 4: Hustota BY-2 buněk při zvyšujícím se zatížení DCF (0, 1000, 5000 a 10 000  $\mu\text{g/l}$ ) po 4 dnech. Data představují průměr z deseti opakování. Směrodatné odchylky jsou označeny chybovými úsečkami. Písmena značí statisticky významné rozdíly při  $P < 0,05$  (ANOVA, Schefféuv test).

Vliv vyššího zatížení DCF (5000 a 10000 µg/l) na hustotu suspenze byl hodnocen 4. den kultivace. Z obr. 4 je zřejmý významný vliv DCF, při zatížení 10 000 µg/l DCF byla hustota buněk BY-2 dokonce poloviční oproti kontrole.

Akutní toxicita DCF (0, 1, 10, 100 a 1000 µg/l) byla hodnocena po 1 a 2 hodinách expozice (obr. 5). Zatímco po 1 hodině byla patrná odezva buněk BY-2 pouze při zatížení 100 µg/l DCF (obr. 6), po 2 hodinách podíl mrtvých buněk v suspenzích koreloval se zvyšujícím se zatížením s výjimkou 1000 µg/l DCF. Po 2 hodinách expozice byl podíl mrtvých buněk při 1 a 10 µg/l DCF prokazatelně vyšší oproti kontrole, nejvyšší pak u 100 µg/l DCF. Oproti očekávání bylo u nejvyššího zatížení 1000 µg/l DCF pozorováno menší procento výskytu mrtvých buněk než u ostatních zatížení. Uvedená skutečnost může souviset s rychlým odumřením a následným rozpadem buněk BY-2 (nemohly proto být započteny do podílu živých a mrtvých buněk). Při dlouhodobějším testování viability například i Poborilova *et al.* /4/ prokázali významný pokles po 24 hodinách při 100 µg/ml Al<sub>2</sub>O<sub>3</sub>, po 48 hodinách při 20 a 50 µg/ml a v případě 10 µg/ml až po 72 hodinách. Také Gratao *et al.* /3/ prokázali významný pokles viability při působení 0,2 mM CdCl<sub>2</sub> a 0,75 mM NiCl<sub>2</sub> po 36 hodinách kultivace.



Obr. 5: Viabilita BY-2 buněk při vlivu akutní toxicity DCF (0, 1, 10, 100 a 1000 µg/l DCF) po 1 a 2 hodinách kultivace. Data představují průměr z šesti opakování. Směrodatné odchylky jsou označeny chyboucími úsečkami. Písmenka značí statisticky významné rozdíly při  $P<0,05$  (ANOVA, Schefféuv test).



Obr. 6: Viabilita BY-2 buněk při zatížení 100 µg/l po 1. hodině (šipky ukazují polohu mrtvých neobarvených buněk); zvětšení 100x.

Zatímco na počátku expozice je tedy vhodné hodnotit viabilitu buněk, po delší době působení léčiva je spolehlivým ukazatelem i hustota buněčné suspenze.

#### LITERATURA

- /1/ Michelová, M.: Výskyt farmak v prostředí a jejich interakce s organismy. 2011. Bakalářská práce. Masarykova univerzita, Přírodovědecká fakulta.
- /2/ Nagata, T., Nemoto, Y., Hasezawa, S.: Tobacco BY-2 cell line as the “HeLa” cell in the cell biology of higher plants. International Reviews of Cytology – A Survey of Cell Biology, 132, 1992: 1-30.
- /3/ Gratao, P.L., Pompeu, G.B., Capaldi, F.R., Vitorello, V.A., Lea, P.J., Azevedo, R.A.: Antioxidant response of *Nicotiana tabacum* cv. Bright Yellow 2 cells to cadmium and nickel stress. Plant Cell, Tissue and Organ Culture, 94, 2008: 1-73.
- /4/ Poborilova, Z., Opatrilova, R., Babula, P.: Toxicity of aluminium oxide nanoparticles demonstrated using a BY-2 plant cell suspension culture model. Environmental and Experimental Botany, 91, 2013: 1-11.

#### Poděkování

Práce byla podpořena projektem GAČR GF17-33746L.

# HLOUBKA KOŘENŮ POLNÍCH PLODIN A ZELENIN A STANOVENÍ ZÁVLAHOVÉ HLOUBKY

## ***ROOT DEPTH OF FIELD CROPS AND VEGETABLES AND DETERMINATION OF DEPTH OF IRRIGATION***

Pavel Svoboda, Jan Haberle, Gabriela Kurešová

Výzkumný ústav rostlinné výroby, v.v.i., oddělení produkční fyziologie a výživy rostlin, Drnovská 507, 161 06, Praha 6 - svoboda@vurv.cz

### ***Summary***

The root depth of plants is an important indicator for effective irrigation. Experimental data of root depths of selected field crops and vegetables were compared with values of effective depth of irrigation as defined by Czech norm ČSN 75 0434 and as used in irrigation rates calculation programme IRRIPROG.

*Key words:* water stress, water demand, soil texture, root distribution

### ***Souhrn***

Hloubka kořenů rostlin je důležitým ukazatelem pro efektivní zavlažování. Byly porovnány experimentální údaje o hloubce kořenů vybraných plodin a zelenin a hodnoty účinné hloubky navlažení podle ČSN 75 0434 a hloubky zavlažování v programu IRRIPROG.

*Klíčová slova:* stres suchem, potřeba vody, půdní druh, distribuce kořenů

## **ÚVOD**

Zemědělství, především zavlažování plodin, představuje celosvětově dvě třetiny spotřebované vody. Změna klimatu a časté periody sucha, které způsobují až miliardové škody (naposledy v roce 2017), ukazují na rostoucí potřebu závlah i v našich klimatických podmínkách. Efektivní využití závlahové vody vyžaduje správnou dávku a hloubku zavlažení. Příliš vysoká dávka způsobuje ztráty průsakem mimo dosah kořenů dané plodiny, nízká dávka znamená dřívější vyčerpání vody v případě sucha a vyžaduje více aplikacích dávek.

Česká norma ČSN 75 0434 /1/ uvádí hodnoty účinné hloubky navlažení a pro výpočet směrodatné závlahové dávky se uvádí koeficient  $h_u$  přímo jako „účinná nebo maximální hloubka zakořenění dané plodiny v kritickém období“. V programu pro výpočet potřeby závlah IRRIPROG /3/ je maximální hloubka zavlažení počítána pro vrstvu půdy odpovídající (aktuální) hloubce kořenů. Tyto a ještě údaje o hloubce kořenů z hlediska využití půdního N v podorničí kořeny různých plodin /2/, jsou shrnuty v tab. 1. V příspěvku poukazujeme i na vliv závlahy a stresu suchem na dosahovanou hloubku kořenů.

Cílem tohoto příspěvku bylo porovnat indikativní tabulkové údaje o hloubce zavlažení s experimentálními údaji o hloubce kořenů.

## **MATERIÁL A METODA**

V polních pokusech VÚRV, v.v.i. a na pozemcích zemědělských podniků v různých agroklimatických regionech ČR byla v minulých letech sledována distribuce (hustota) a hloubka kořenů vybraných polních plodin a zelenin. Kořeny byly sledovány převážně po kvetení, v období zrání plodiny, kdy dosahují největší hloubky. Vzorky půdy byly odebírány

po vrstvách 10 cm až do hloubky bez výskytu kořenů, kořeny byly vyplaveny vodou, byla určena jejich celková délka podle Tennanta /7/ a vypočtena hustota kořenů ( $\text{cm}/\text{cm}^3$ ).

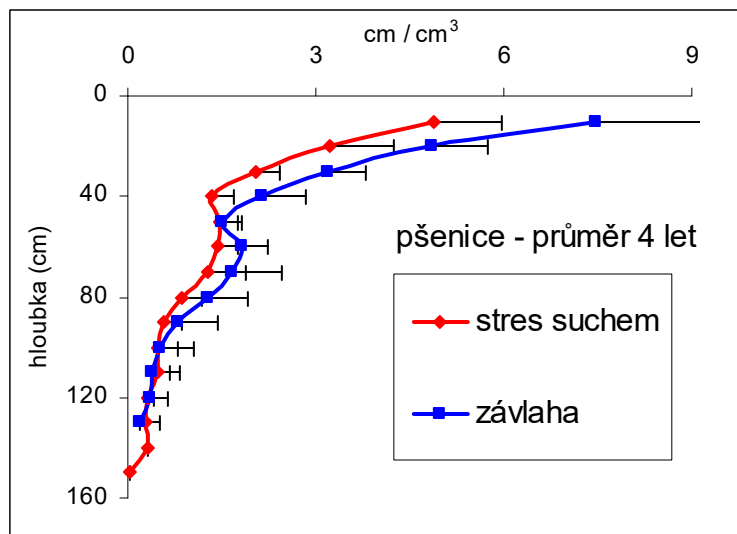
U ozimé pšenice byl sledován růst kořenů zavlažovaných a suchem stresovaných rostlin (nedostatek vody byl navozen po metání s pomocí mobilního krytu). U brambor byl sledován růst kořenů na zavlažovaném a na kontrolním nezavlažovaném porostu.

## VÝSLEDKY A DISKUSE

Pozorované **maximální hloubky kořenů** plodin se pohybovaly v určitém rozsahu, největší vliv na hloubku mělo zpravidla složení a mocnost půdních horizontů /6/. Hustota kořenů plodin s postupující hloubkou klesala a tak distribuce kořenů měla u středně i hlubokokořenících plodin zpravidla exponenciální průběh. Poněkud jiný průběh byl zaznamenán u slunečnice, kdy v ornici byla vyšší hustota jako u jiných plodin, ale v podorničných vrstvách byla přibližně stejná (nižší) hustota až do hloubky 180 cm /6/.

U širokorádkových plodin byla hustota kořenů v horních vrstvách půdy v meziřadí zpravidla menší. To se nejvíce projevovalo u zelenin (graf 3), kukuřice, brambor (graf 2) a slunečnice. Nerovnoměrnost v hustotě kořenů plodin může mít negativní vliv na využití vody a živin.

**Stres suchem** ovlivnil hustotu kořenů pšenice ve všech 4 sledovaných ročnících. Na zavlažované variantě byla do hloubky až 90 cm vždy zaznamenána větší hustota kořenů než při suchu. Hloubka kořenů se mezi variantami průkazně lišila jen v jednom roce ze čtyř, kdy u stresovaných rostlin byla zjištěna hloubka kořenů 125 cm, oproti 100 cm na variantě s dostatečnou zásobou vody (graf 1).



Graf 1: Průměrná hustota a hloubka kořenů ozimé pšenice při závlaze a indukovaném stresu suchem (Ruzyně, průměr 4 let).

**Závlaha** brambor výrazně posílila růst kořenů v horní 20 cm vrstvě půdy oproti nezavlažované kontrole a snížila délku (hustotu) kořenů v hlubších vrstvách půdy, zvláště ve větší vzdálenosti od rostliny; celková délka kořenů v celém půdním profilu byla na obou variantách podobná (graf 2).

U většiny druhů lze konstatovat přibližnou shodu mezi údaji z různých zdrojů, které vycházejí z hloubky kořenů, a experimentálními údaji alespoň na úrovni zařazení do skupin s různým dosahem kořenů. Pozorované maximální hloubky jsou většinou větší než hloubky stanovené pro účinnou závlahu, což odpovídá poznatkům o využití vody z hlubokých vrstev, kde je menší hustota kořenů (tab. 1).

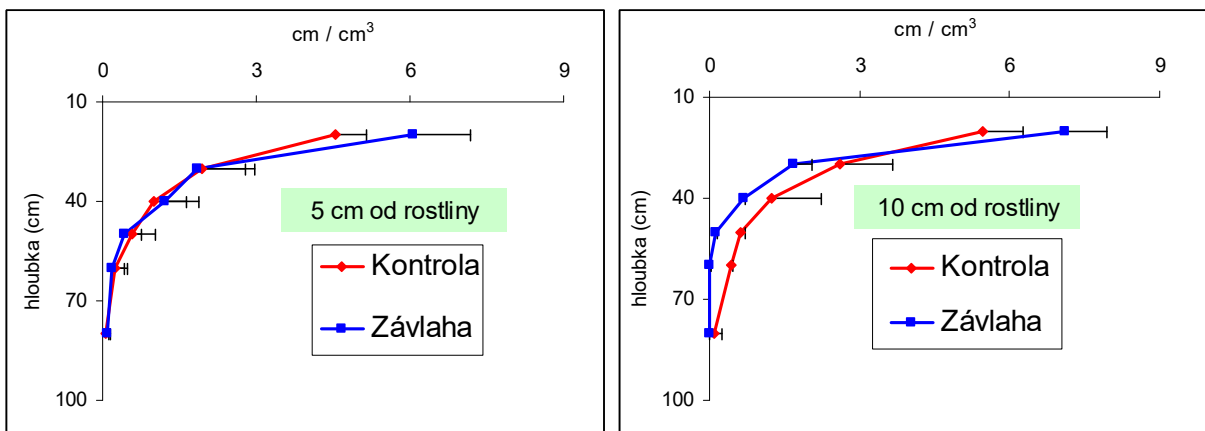
Tab. 1: Porovnání hloubky kořenů a hloubky zavlažení z různých zdrojů.

/1/: ČSN 75 0434. Meliorace; /2/: Fertiliser Manual (RB209); /3/: Metodika řízení závlahového režimu plodin výpočetním programem IRRIPROG; ČR: Získané experimentální údaje

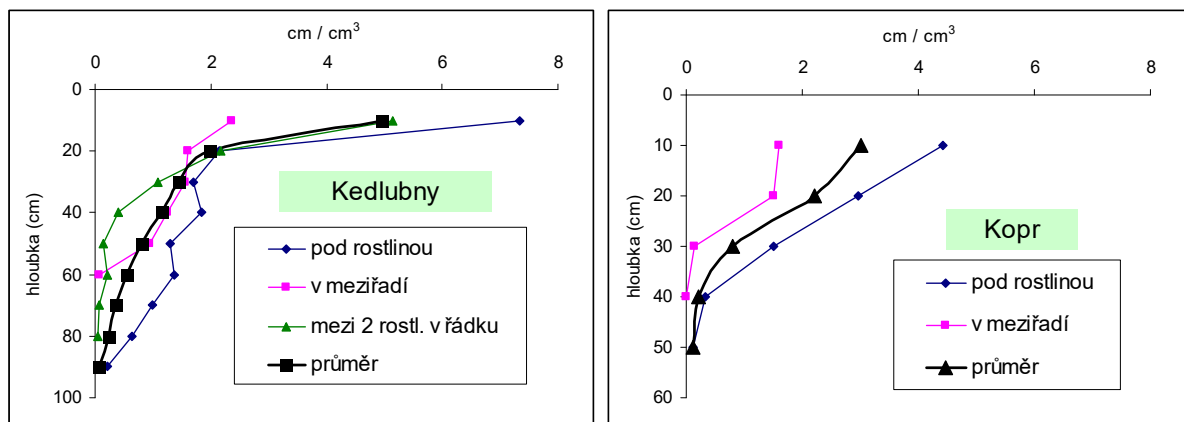
Zdroj:	různé zdroje:	/1/	/3/	/2/	ČR
Skupina plodin	Charakteristika hloubky kořenů	Účinná hloubka navlažení (cm)	Hloubka zavlažení (max.)	Hloubka kořenů (cm)	Experiment. údaje (cm)
salát, ředkvička	mělký		20	30	30
salát ledový	mělký		20	45	30-40
špenát			20		30
hrách na zeleno	mělký				50-60
luštěniny	mělký-střední	30-70	30		
hrách na zrno, soja		50			50-70
kopr	mělký				40
cibuloviny (cibule, česnek)	střední			60	40-60
cibule svazečková na zeleno	mělký			30	30
brambory rané, rychlené	mělký	40	40		40-50
brambory polarané	mělký-střední	50	50		50-60
brambory pozdní	střední	60	60		60-80
celer s natí	střední				50-70
celer (pro bulvy)	střední-hluboký		45	90	
červená řepa	střední-hluboký			60	60-80
mrkev	střední-hluboký		40	90	50-70
rajče	střední-hluboký		30	90	
tykvovité zeleniny	střední		30-35		
koštálkoviny	střední-hluboký			75	
brokolice	střední-hluboký				80-90
bruķev-kedlubna	střední		30		60-80
zelí (na uskladnění aj.)	hluboký		40		
květák (letní a zimní)	střední-hluboký		30		
listová kapusta	střední		40	45 - 60	
bruķev žlutá, tuřín	střední			90	
petržel kořenová, pastinák	střední-hluboký				70-90
mák (ozimý)					60-80
jar. obiln. (ječm., pšen., oves)	střední-hluboký	60	60		60-100
jarní řepka, hořčice	střední-hluboký				65 - 75
oz. pšenice	hluboký	80	80		80-150
řepka ozimá	hluboký	60	60		80-120
kukuřice	hluboký	80	80		60-140
kukuřice na siláž			60		
slunečnice	velmi hluboký	80	80		90-180
cukrovka, krmná řepa	hluboký	80	80	100-180	
jednoleté pícniny	střední	60			
jetel červený, jetelotráva	hluboký	80			
vojtěška	velmi hluboký	80-100	80-100		

**Výraznější rozdíl** je vidět u koštálkovin (kedlubna, brokolice), které mají jako další brukvovité druhy hlubší kořenový systém. Pozorované průměrné rozsahy hloubek kořenů daného druhu se v rámci odrůdové, ročníkové a stanovištní variability většinou pohybovaly v rozmezí 20 - 30 cm, což dává předpoklad, že průměrné hodnoty reprezentují daný druh nebo skupinu plodin.

Sledování byla prováděna na běžných půdách, bez výskytu výrazně nepříznivých faktorů, jako je utužení půdy, zamokření, nízké pH. Spolehlivější určení hloubky kořenů a závlahové hloubky by vyžadovalo určení půdních podmínek na daném pozemku, především případných faktorů omezujících růst kořenů, nebo přímé pozorování kořenů např. na stěně půdního profilu /4/. Údaje o hloubce kořenů jsou důležité nejen pro efektivní využití doplňkové závlahy, ale i z hlediska redukce rizika vyplavení nitrátů z kořenové zóny /5/.



Graf 2: Hustota a hloubka kořenů brambor při závlaze a na kontrole (Benátky n/J 2017)



Graf 3: Příklady distribuce a dosahované hloubky kořenů u zelenin (kedlubny a kopra).

## LITERATURA

- /1/ ČSN 75 0434. Meliorace - Potřeba vody pro doplňkovou závlahu. 2017.
- /2/ Fertiliser Manual (RB209). DEFRA 2011. Dostupné na: <http://www.ahdb.org.uk/rb209>
- /3/ Spitz, P., Zavadil, J., Duffková, R., Korsuň, S., Nechvátal, M., Hemerka, I.: Metodika řízení závlahového režimu plodin výpočetním programem IRRIPROG. Certifikovaná metodika. VÚMOP, v.v.i., 2011
- /4/ Středa, T., Haberle, J., Klimešová, J., Svoboda, P., Středová, H., Khel, T.: Metodika odběru a hodnocení koř. systému polních plodin. Cert. metodika. Mendelova Univerzita v Brně, VÚRV, v.v.i. Praha, 2017.
- /5/ Svoboda, P., Kurešová, G., Neumannová, A., Haberle, J.: Riziko vyplavení nitrátů u zelenin a plodin s různou hloubkou kořenů. Úroda, 65, 2017: 493-496.
- /6/ Svoboda, P., Haberle, J.: Hloubka kořenů polních plodin. Úroda, 62, 2014, (CD).
- /7/ Tennant, D.: A test of a modified line intersect method of estimating root lenght, Journal of Ecology, 63, 1975: 995–1001.

## Poděkování

Příspěvek byl podpořen projekty MZe ČR QK1720285 a RO0418.

## FLAVONOIDY A PRODUKCIA BIOMASY V PODMIENKACH SUCHA A MYKORÍZY

### FLAVONOIDS AND BIOMASS PRODUCTION IN DROUGHT AND WITH MYCORRHIZA

Erik Chovanček, Marek Živčák, Marián Breštič, Katarína Olšovská, Lenka Botyanszká,  
Marek Kovár  
Slovenská poľnohospodárska univerzita, FAPZ, Katedra fyziológie rastlín, Trieda A. Hlinku 2, 949 76  
Nitra, Slovenská republika, e.chovancek@gmail.com

#### **Summary**

The symbiosis of plant roots with arbuscular mycorrhizae fungi alleviates the level of abiotic and biotic stress in various agricultural and horticultural crops. It affects not only biomass production, but also the content of nutritionally valuable compounds, such as flavonoids. Flavonoids are strong antioxidants with a key role in plant defense mechanisms in response to various stressors. The dynamics of flavonoids can be efficiently screened by non-invasive fluorescence-based method using a portable non-contact sensor. The purpose of this study was to evaluate the effect of mycorrhizae fungi of the genus *Glomus* on the production of biomass of lettuce plants *Lactuca sativa* L. in normal and drought conditions, and on dynamics of flavonoids in the leaves of these plants. Our results confirm that the fast non-invasive fluorescence sensor can be used for phenotyping of plant-stress interactions as well as plant-microbial interactions.

*Key words:* mycorrhizae fungi, flavonoids, non-invasive methods, drought, lettuce

#### **Súhrn**

Symbióza koreňov rastlín s arbuskulárno-mykoríznymi hubami znižuje úroveň abiotického a biotického stresu pri viacerých poľnohospodárskych a záhradníckych plodinách. Neovplyvňuje len produkciu biomasy, ale aj obsah nutrične hodnotných zlúčenín, ako sú napríklad flavonoidy. Flavonoidy sú silné antioxidanty, ktoré zohrávajú dôležitú úlohu v obranných mechanizmoch rastlín v ochrane pre rôznymi stresormi. Zmeny obsahu flavonoidov v rastlinách môžu byť zachytené pomocou nedeštrukčných metód založených na meraniach pomocou bezkontaktných svetelných senzorov. Cieľom tejto práce bolo zhodnotiť účinok mykoríznych hub rodu *Glomus* na produkciu biomasy šalátov *Lactuca sativa* L. pri bežnej zálievke a v podmienkach simulovaného sucha, a tiež na obsah flavonoidov v listoch šalátov. Naše výsledky potvrdzujú, že bezkontaktné fluorescenčné senzory môžu byť použité na fenotypovanie vplyvu abiotických stresorov a interakcií medzi rastlinami a mikroorganizmami.

*Kľúčové slová:* mykorízne huby, flavonoidy, nedeštrukčné metódy, sucho, šalát

## ÚVOD

Rastliny rastú v určitom optimálnom rozmedzí environmentálnych faktorov, ako sú svetelná radiácia, teplota, vlhkosť vzduchu a pôdna zásoba vody. Aj slabá fluktuácia týchto faktorov ovplyvňuje rast a produktivitu. Zmeny fotoperiody, množstva radiácie a jej spektra, nutričnej zásobenosťi, rýchlosťi vetra, extrémne teploty a extrémy v zásobe vody, všetky tieto abiotické faktory pôsobia na rastliny ako stresový faktor /1/.

Sucho patrí medzi významné abiotické stresové faktory, ktoré negatívne ovplyvňujú rast a metabolizmus rastlín. Deficit vody v pôde môže byť chronický v regiónoch s nízkymi vodnými zrážkami, alebo náhodný pri nepredvídateľných zmenách počasia. S rastúcim nedostatkom vody pod vplyvom klimatickej zmeny sa očakáva nárast vplyvu sucha na úrody pestovaných plodín, preto je výskum stresových procesov pod vlyvom sucha aktuálnou témou /2/.

Voda je limitujúcim faktorom rastlinnej produkcie a je jedným z hlavných faktorov regulujúcich distribúciu rastlinných druhov. Vyše 35 % zemskej súše patrí do aridných alebo semiaridných oblastí, ktoré sú kvôli nízkym zrážkam z poľnohospodárskeho hľadiska nepoužiteľné. Zrážky však nie sú rovnomerné ani v oblastiach vhodných pre poľnohospodárstvo. Aj poľnohospodárske oblasti bývajú vystavené periódam sucha, ktoré môžu znížovať úrodu až o 50 % /3/.

Flavonoidy sú veľkou a diverzifikovanou skupinou fenolických látok, ktoré sú prevažne produktami sekundárneho metabolismu. To značí, že ich produkcia priamo nesúvisí s rastom a vývinom rastlín. Ich funkcia nie je vždy známa, ale ich produkcia väčšinou súvisí s aklimáciou a adaptáciou k pôsobeniu rôznych environmentálnych stresov, či už abiotických alebo biotických. Zohrávajú úlohu pri pigmentácii (antokyany), zvyšovaní obranyschopnosti proti skrmovaniu zvieratami (taníny) a izoflavonoidy sú často súčasťou obranného mechanizmu rastlín, a to buď priamo alebo ako signálne molekuly /4/.

Mykorízne huby vytvárajú symbiotické vzťahy s koreňmi rastlín podobne ako nodujúce baktérie s leguminózami. Arbuskulárno-mykorízna symbioza je najčastejším typom mykorízy - viac ako 80 % cievnatých rastlín žije v symbioze s arbuskulárno-mykoríznymi hubami (AMH). AMH sú obligátni mutualisti z kmeňa *Glomeromycota* s globálnym rozšírením, ktorí poskytujú hostiteľským rastlinám fosfor, dusík a dôležité minerály výmenou za uhlíkové zlúčeniny, na ktorých sú závislé. K výmene živín dochádza v štruktúrach nazývaných arbuskuly, ktoré sa tvoria prerastaním hýf húb do medzibunkového priestoru kortexu koreňov hostiteľských rastlín /5/.

Symbioza AMH s rastlinami sa neobmedzuje len na výmenu živín. Symbionti si naviac vzájomne zvyšujú aj možnosti prežitia a ekologického rozšírenia. AMH tiež spôsobujú, že hostiteľské rastliny majú vyššiu toleranciu na sucho. Predpokladá sa, že mechanizmy tohto pôsobenia prebiehajú na fyzikálnej, nutričnej, fyziologickej a bunkovej úrovni /6/.

## MATERIÁL A METÓDY

Pre účely experimentu sme vybrali dve odrody šalátu: Tarzan - letný hlávkový ľadový od firmy Nohel Garden, Rosemary - celoročný červený kučeravý od firmy Nohel Garden. Semená boli vysiate do sadbovočov a pestované pri izbových podmienkach, t.j. teplota cca 24 °C, relatívna vzdušná vlhkosť cca 60 %, hojná zálievka a prirozené denné osvetlenie. Keď mali priesady dva pravé listy, boli jednotené, a 35 dní od sejby boli presadené do samostatných kvetináčov so sterilizovanou pôdou určenou pre záhradkárske účely.

Polovina vzoriek bola inokulovaná prípravkom Symbivit® (výrobca: Symbiom) s obsahom 6 druhov mykoríznych húb (*Glomus mosseae*, *G. intraradices*, *G. cladoideum*, *G. microaggregatum*, *G. caledonium* a *G. etunicatum*) a ďalej rozdelená, rovnako ako neinokulovaná, do dvoch variantov - kontrolného a variantu vystaveného simulovanému suchu. Maximálna saturácia pôdy vodou bola stanovená na začiatku pokusu rozdielom hmotnosti nasýtenej a vysušenej pôdy. Saturácia vzoriek bola potom stanovená a udržiavaná vážením vzoriek a následnou kalkuláciou, pričom cielová úroveň vodného stavu kontrolného variantu bola 70 % a variantu vystavenému suchu 30 %, a bola dosahovaná vypočítanou zálievkou dvakrát do týždňa. Všetky vzorky boli uložené na okennú rímsu južnej strany univerzitnej budovy. Po ukončení priebežných meraní flavonoidov boli nadzemné časti rastlín oddelené, zväžené, pri teplote 80 °C vysušené v laboratórnych sušiarňach a znova zväžené.

*Stanovenie obsahu flavonoidov:* Estimácia flavonolov a antokyanov bola realizovaná neinváznym *in vivo* spôsobom pri dennom svetle prístrojom Multiplex® (Force-A, Francúzsko). Multiplex je ručný prenosný prístroj, ktorý zabezpečuje excitáciu molekúl a následne zaznamenáva spektrum odrazenej optickej fluorescencie. Na prístroji sa nachádza šesť diód emitujúcich UV žiarenie s vlnovou dĺžkou 375 nm, tri LED-matice emitujúce farebné svetelné žiarenie s tromi rôznymi vlnovými dĺžkami - 470 nm (modrá), 516 nm (zelená) a 635 nm (červená), a tri synchronizované diódy detekujúce fluorescenciu v troch oblastiach spektra - žltej, červenej (R - red) a vzdialenej červenej (FR - far-red). Rôzne kombinácie signálov R a FR fluorescencie pri rôznych excitačných pásmach indikujú prítomnosť rôznych zlúčenín, napríklad flavonolov a antokyanov /7/.

Indexy flavonolov a antokyanov môžeme vyjadriť meraním fluorescenčných signálov vzdialenej červenej (FRF), a to FRF excitovanom červeným svetlom (R - red) - FRF\_R, FRF excitovanom zeleným (G - green) svetlom - FRF\_G a FRF\_UV, ktoré je excitované UV žiareniom.

Flavonoly majú schopnosť pohlcovať UV žiarenie. Preto obsah flavonolov v listoch, alebo FLAV index, počítame pomocou dekadického logaritmu pomery FRF signálu, ktorý bol excitovaný červeným (R) svetlom, a FRF signálu, ktorý bol excitovaný UV žiareniom.

Obsah antokyanov, ANTH index, počítame dekadickým logaritmom pomery FRF signálu, ktorý bol excitovaný červeným (R) svetlom, a FRF signálu, ktorý bol excitovaný zeleným (G) svetlom.

## VÝSLEDKY A DISKUSIA

Sucho je významným stresorom rastlín. Vplyv vodného deficitu ako stresoru na metabolismus rastlín je však závislý nielen od jeho úrovne a trvania, ale aj od tolerancie druhu alebo odrody. Vodný deficit môže znižovať produkciu biomasy šalátu až o 39 %; na druhej strane, vodný deficit môže zvýšiť obsah fenolických látok v šalátoch o 11 % /8/.

Vodný deficit v našich podmienkach znížil produkciu biomasy oproti kontrolným vzorkám dobre zásobených vodou celkom v priemere o 59 %, o 56 % pri odrade Rosemary a 62 % pri odrade Tarzan. Odroda Tarzan produkuje v podmienkach sucha preukázaťne menej biomasy ako odrada Rosemary (ANOVA,  $p = 0,05$ ), čo tiež značí, že odrada Tarzan bola vystavená pri rovnakých podmienkach vyšej úrovni stresu zo sucha a je menej rezistentná voči suchu.

Stres z vodného deficitu redukuje listovú plochu šalátov, čo je mechanizmus vyhýbania sa stresu zo sucha, pretože ovplyvňuje schopnosť rastlín udržať si vysoký vodný potenciál v pletivách v podmienkach sucha. V kombinácii s vysokými teplotami naviac sucho výrazne redukuje aj biomasu šalátov, aj keď listy oproti kontrolným hrubnú /9/.

O hrubnutí pletív pri vodnom deficite vypovedá nárast obsahu sušiny v podmienkach sucha. Nárast oproti dobre zásobeným variantom predstavoval pri odrade Rosemary 27 % a pri odrade Tarzan až 38 %. Nárast obsahu sušiny sa vysvetľuje vyššou akumuláciou asimilátov, ktoré sú potrebné k ochrane pred dehydratáciou. Týmito asimilátmami môžu byť karbohydráty a rôzne osmoprotektanty. Na druhej strane, vyšší nárast obsahu sušiny pri odrade Tarzan značí vyššiu produkciu hydrofóbnych molekúl, ktoré môžu byť zložkami bunkových stien (napríklad lignín) /8/.

Sucho zvyšuje koncentráciu fenolických látok a ich antioxidačnú kapacitu, a to zvýšením aktivity enzýmu PAL (fenylalanín-lyáza/deamináza), na ktorý tiež významne vplýva intenzita a spektrum svetelného žiarenia /10/. Zvýšenie hladiny flavonolov vo vzorkách šalátov vystavených suchu sme však pozorovali len pri odrade Rosemary, kde rozdiel bol zrejmý najmä v posledných fázach experimentu. V deň zberu bol tento rozdiel 27 %.

Je známe, že symbióza rastlín s AMH zvyšuje prírastok biomasy a zlepšuje aklimáciu rastlín k niektorým stresovým faktorom, ako je napríklad sucho. Nie všetky druhy myko-

ríznych húb majú však rovnaký účinok na hostiteľské rastliny. Napríklad, kým sym-bióza šalátu s druhom *Glomus occultum* zvýšila prírastok biomasy 4-násobne, pri symbioze s druhom *Glomus deserticola* bol prírastok až 10-násobný; pri šalátoch vystavených stresu zo sucha bol prírastok ešte väčší /11/.

Kombinácia šiestich druhov mykoríznych húb prítomných v prípravku Symbivit zvýšila produkciu biomasy šalátov v našich pokusných podmienkach v prípade kontrolných vzoriek dobre zásobených vodou o 10 % pri odrôde Rosemary a 4 % pri odrôde Tarzan. Pri vzorkách vystavených suchu bol rozdiel oproti neinokulovaným vzorkám štatisticky významný (ANOVA,  $p = 0,05$ ), 17 % pri odrôde Rosemary a 25 % pri odrôde Tarzan.

Mykoríza môže zvýšiť obsah fenolických zlúčenín v hostiteľských rastlinách /12/. Asociácia rastlín s AMH nemusí vždy v hostiteľských rastlinách zvyšovať produkciu sekundárnych metabolítov, ako sú flavonoidy /13/. Inokulácia mykoríznym prípravkom Symbivit nemala počas sledovanej doby významný vplyv na obsah flavonolov ani antokyanov v listoch obidvoch odrôd šalátu. Celkovo sme pozorovali mierny a prechodný nárast hodnôt indexov krátko po inokulácii, s návratom do normálnych hodnôt v priebehu pokusu. Nemôžeme preto ani potvrdiť ani vyvrátiť vplyv mykorízy na koncentráciu flavonoidov v pletivách šalátu a obranyschopnosť inokulovaných rastlín vo všetkých fázach vývoja.

## LITERATÚRA

- /1/ Rao, D. E., Chaitanya, K. V. Photosynthesis and antioxidative defense mechanisms in deciphering drought stress tolerance of crop plants. *Biologia Plantarum*, 60, 2015: 201-218.
- /2/ Harb, A., Krishnan, A., Ambavaram, M. M. R., Pereira, A. Molecular and physiological analysis of drought stress in *Arabidopsis* reveals early responses leading to acclimation in plant growth. *Plant Physiology*, 154, 2010: 1254-1271.
- /3/ Wood, A. J. Eco-physiological adaptions to limited water environments. In Jenks, M. A., Hasegawa, P. M. *Plant Abiotic Stress*. India, Blackwell Publishing, 2005: 1-13. ISBN 978-14051-2238-2
- /4/ Jones, R., Ougham, H., Thomas, H., Waaland, S. *The molecular life of plants*. USA, Wiley, 2013. ISBN 978-0-470-87012-9
- /5/ Siddiqui, Z. A., Pichtel, J. The molecular components of nutrient exchange in arbuscular mycorrhizal interactions. In Siddiqui, Z. A. a kol. *Mycorrhizae: Sustainable Agriculture and Forestry*, USA, Springer, 2008: 1-35. ISBN 9781402087691
- /6/ Marulanda, A., Azcón, R., Ruiz-Lozano, J. M. Contribution of six arbuscular mycorrhizal fungi isolates to water uptake by *Lactuca sativa* plants under drought stress. *Physiologia plantarum*, 119 (4), 2003: 526-533.
- /7/ Ghozlen, N. B., Cerovic, Z. G., Germain, C., Toutain, S., Latouche, G. Non-destructive optical monitoring of grape maturation by proximal sensing. *Sensors*, 10 (11), 2010: 10040-10068.
- /8/ Eichholz, I., Förster, N., Ulrichs, C., Schreiner, M., Huyskens-Keil, S. Survey of bioactive metabolites in selected cultivars and varieties of *Lactuca sativa* L. under water stress. *J. of Appl. Bot. & Food Qual.*, 87, 2014.
- /9/ Galieni, A., Stagnari, F., Specia, S., Pisante, M. Leaf traits as indicators of limiting growing conditions for lettuce (*Lactuca sativa*). *Annals of Applied Biology*, 169 (3), 2016: 342-356.
- /10/ Oh, M., Carey, E., Rajashekhar, C.B. 2010. Regulated water deficits improve phytochemical concentration in lettuce. *J. of the American Soc. for Hort. Science*, 135 (3), 2010: 223-229.
- /11/ Ruiz-Lozano, J. M., Azcon, R., Gomez, M. Effects of arbuscular-mycorrhizal *Glomus* species on drought tolerance: physiological and nutritional plant responses. *Appl. and Environ. Microbiol.*, 61, 1995: 456-460.
- /12/ Gabriele, M., Gerardi, C., Longo, V., Lucejko, J., Degano, I., Pucci, L., Domenici, V. The impact of mycorrhizal fungi on Snagiovese red wine production: phenolic compounds and antioxidant properties. *LWT- Food Sc. and Tech.*, 72, 2016: 310-316.
- /13/ Da Silva, F. A., Da Silva, F. S. B. Is the application of arbuscular mycorrhizal fungi an alternative to increase foliar phenolic compounds in seedlings of *Mimosa tenuiflora* (Wild.) Poir., Mimosoidae? In *Braz. J. of Botany*, 2016: 1-5.

## Poděkovanie

Práca vznikla za finančnej podpory projektov VEGA-1-0923-16 a APVV-15-0721.

## MULTISPEKTRÁLNA INDUKOVANÁ FLUORESCENCIA VYUŽITÁ PRI FENOTYPIZÁCII STRESOVÝCH ÚČINKOV SUCHA V ODRODÁCH PŠENICE

### ***MULTISPECTRAL INDUCED FLUORESCENCE USING IN THE FIELD PHENOTYPING OF DROUGHT STRESS EFFECTS OF WHEAT VARIETIES***

Lenka Botyanszka<sup>1</sup>, Marek Živčák<sup>1</sup>, Marián Breštič<sup>1</sup>, Erik Chovanček<sup>1</sup>, Pavol Hauptvogel<sup>2</sup>

<sup>1</sup> Slovenská poľnohospodárska univerzita v Nitre, FAPZ, Katedra fyziológie rastlín, Trieda A. Hlinku 2, 949 76 Nitra, Slovenská republika, xbotyanszka@is.uniag.sk

<sup>2</sup> Národné poľnohospodárske a potravinárske centrum, Výskumný ústav rastlinnej výroby Piešťany, Bratislavská cesta 122, 921 68 Piešťany, Slovenská republika

#### ***Summary***

One of the challenges of phenotyping is to characterize the drought responses of numerous genebank accessions in the field. To examine this issue, we tested 25 winter wheat in the collection of National Genebank in Piestany (Slovakia) genebank accessions grown in field trials in two variants: the irrigated variant and the variant without irrigation. During the spring season, the plants were monitored weekly using fast non-invasive methods based multispectral measurements. In addition to field measurements, the leaf samples were taken and additional analysis in the laboratory were performed photosynthetic pigment analysis. Our results demonstrated that estimations of chlorophyll contents based on fluorescence excitation ratio were more reliable when done in laboratory conditions on detached leaves compared to field recordings. On the other hand, some of the numerous parameters derived from field measurements were able to recognize drought effects, even in the early stages of drought stress.

**Key words:** *phenotyping, multispektral induced fluorescence, drought stress effects, wheat varieties*

#### ***Súhrn***

Jednou z úloh fenotypovania je charakterizovať reakcie na suchá z množstva prístupov genetických báň v teréne. Na preskúmanie tohto problému sme testovali súbor 25 odrôd pšenice v zbierke Génovej banky NPPC-VÚRV Piešťany (Slovensko), ktoré boli pestované v polných podmienkach v dvoch variantoch: zavlažovaný variant a variant bez zavlažovania. Počas jarnej sezóny boli rastliny monitorované týždenne pomocou rýchlych neinvazívnych metód založených na multispektrálnych meraniach. Vzorky listov sa zhromažďili aj v laboratóriu, kde boli vykonané analýzy fotosyntetického pigmentu. Naše výsledky preukázali, že odhady obsahu chlorofylu na základe pomery excitácie fluorescencie boli spoľahlivejšie, ak boli vykonané v laboratórnych podmienkach na odobratých listoch v porovnaní so záznamami v teréne. Na druhej strane niektoré z mnohých parametrov odvodnených z polných meraní dokázali rozpoznať účinky sucha.

**Kľúčové slova:** *fenotypovanie, multispektrálna indukovaná fluorescencia, stresové účinky sucha, odrody pšeníc*

## ÚVOD

Globálne potreby produkcie rastlinnej výroby v dôsledku nárastu ľudskej populácie určujú predpokladané zdvojnásobenie produkcie významných plodín do roku 2050 oproti dnešnej produkcií, zároveň prebiehajúca zmena klímy zhorší túto výzvu vystavením poľných plodín abiotickým stresovým podmienkam /1, 2/. V tejto súvislosti je potrebné systematicky určiť a charakterizovať reálne rastové a fyziologické prejavy v čase a priestore. To viedie k nevyhnutnému rozvoju metód fenotypovania genetických zdrojov, ktoré sú založené prevažne na nedeštrukčných technikách, od optického snímania rastu až po náročnejšie metódy hodnotenia fyziologických prejavov rastlín v poľných podmienkach /3/. V súčasnosti je schopnosť fenotypovania plodín v poľných podmienkach značne obmedzená dostupnými platformami /4/ a dobehnutie vplyvov globálnej klimatickej zmeny si vyžaduje zariadenia, ktoré zhodnotia veľké množstvá genotypov v reálnom prostredí /5/. V našej práci sme sa zamerali na aplikáciu rýchlych metód fenotypovania pre detekciu poľných stresových účinkov sucha a to s využitím nedeštrukčným meraním obsahu asimilačných pigmentov v porovnaní s deštrukčným stanovením. Cieľom práce bolo vyhodnotiť spoľahlivosť multispektrálnej indukovej fluorescencie v poľných podmienkach na pšenici a otestovať jej potenciálnu využiteľnosť pri detekcii stresu rastlín.

## MATERIÁL A METÓDY

Poľné merania a následné analýzy boli realizované na 25 genotypoch v rámci maloparcelových poľných experimentov v kolekcii pšenice (*Triticum* sp.) v rámci Génovej banky Slovenskej republiky. Pre meranie obsahu asimilačných pigmentov sa využili prístroj MULTIPLEX-3 (Force-A, Francúzsko) a deštrukčné stanovenie obsahu chlorofyllov bolo realizované meraním absorbancie jednotlivých pigmentov v acetónovom extrakte /6/.

## VÝSLEDKY A DISKUSIA

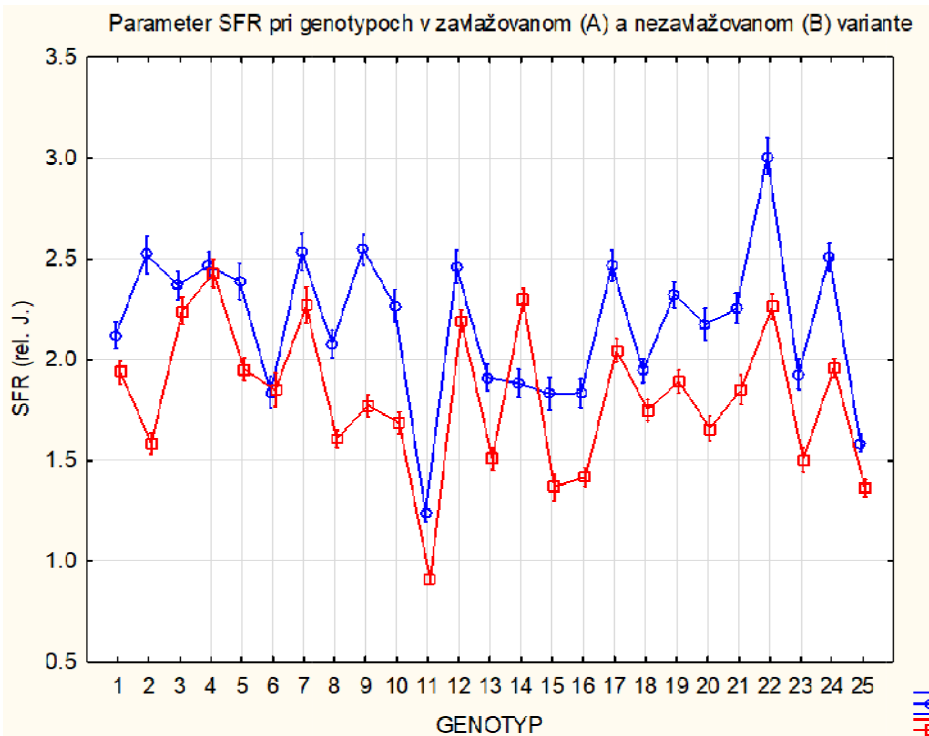
Merania multispektrálne indukovej fluorescencie sú pre svoju jednoduchosť, rýchlosť a bezkontaktnosť považované pre poľné fenotypovanie za mimoriadne vhodné a perspektívne /7, 8/. V rámci poľných experimentov sme realizovali tak bodové merania na odobratých listoch v laboratóriu, ako aj poľné merania tzv. priebehovou metódou, pri ktorej bol prístroj posúvaný nad porastom, pričom boli zaznamenávané hodnoty fluorescencie vo frekvencii 20 záznamov za sekundu. Na základe meraní bol vypočítaný index SFR, ktorý bol navrhnutý pre nedeštrukčné hodnotenie obsahu chlorofyllov v listoch.

Na obr. 1 je znázornený rozdiel medzi variantami A/B pričom variant A bol zavlažovaný a variant B nezavlažovaný na oboch variantoch bolo rovnakých 25 genotypov pšenice. Sumárne výsledky z viacerých meraní tak ukazujú preukazný rozdiel hodnôt medzi zavlažovaným a nezavlažovaným variantom.

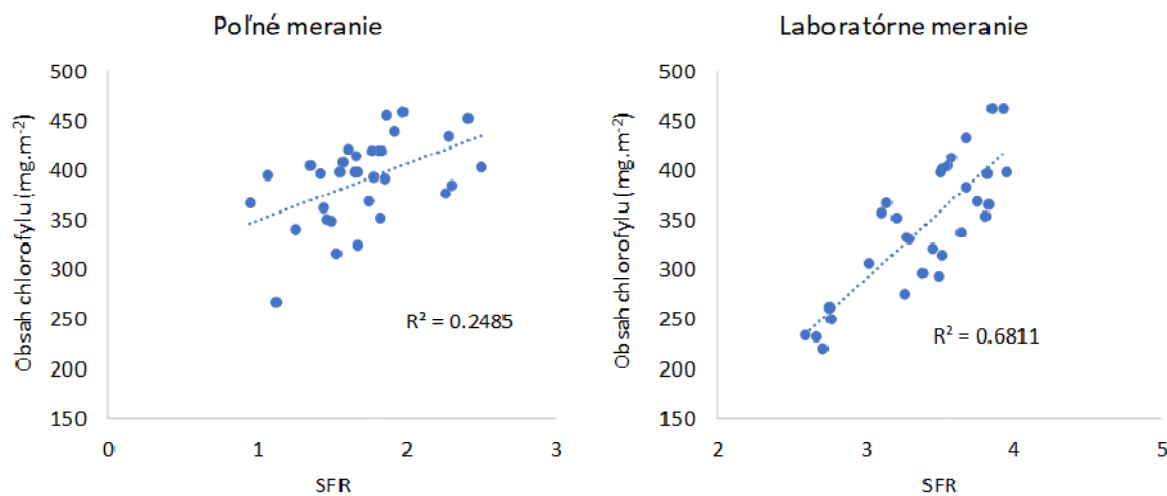
Otázkou je, či namerané hodnoty spoľahlivo odrážajú rozdiely v obsahoch chlorofyllov, ktoré sme stanovovali konvenčnými metódami.

Výsledky ukazujú, že korelácia pri poľnom meraní je pomerne nízka, zatiaľ čo pri laboratórnych meraniach je pomerne uspokojuvá až dobrá. Ukazuje sa teda, že pri poľných meraniach ovplyvňuje výsledky ďalší faktor.

Výsledky teda naznačujú, že meranie multispektrálnej indukovej fluorescencie kontinuálnou metódou nemôže slúžiť na spoľahlivý odhad obsahu chlorofyllov. Na druhej strane, metóda spoľahlivo odlišila zavlažovaný a nezavlažovaný variant, čo poukazuje na jej potenciálnu využiteľnosť pri detekcii účinkov stresu (sucha) rastlín.



Obr. 1: Priemerné hodnoty parametra SFR odvodeného od meraní multispektrálne indukovej fluorescencie chlorofylu prístrojom MULTIPLEX-3. Meranie bolo realizované v kontinuálnom móde pri frekvencii meraní  $20\text{ s}^{-1}$  a plynulom pohybe prístroja nad porastom. Priemerná hodnota vypočítaná zo 150-300 záznamov pri každom genotype.



Obr. 2: Korelácie medzi hodnotami SFR a obsahom chlorofylu. Pri poľnom meraní boli hodnoty merané kontinuálnou metódou na poli, následne boli z každého polička odobrané listy a stanovený obsah chlorofylu. Pri laboratórnom meraní, hodnoty boli merané na listoch v laboratóriu.

## LITERATÚRA

- /1/ Christensen, J. H., Hewitson, B., Busuioc, A., Chen, A., Gao, X., Held, I., Jones, R., Kolli, R. K., Kwon, W. T., Laprise, R.: "Regional climate projections." Climate Change. The Physical Science Basis, Chapter 11. 2007: 847–940.

- /2/ Tilman, D., Balzer, C., Hill, J., Befort, B. L.: Global food demand and the sustainable intensification of agriculture. *Proc Natl Acad Sci USA*, 108, 2011: 20260–20264
- /3/ Rascher, U., Blossfeld, S., Fiorani, F., Jahnke, S., Jansen, M., Kuhn, A. J., Müller-Linow, M.: Non-invasive approaches for phenotyping of enhanced performance traits in bean. *Functional Plant Biology*, 38, 2011: 968-983.
- /4/ Araus, J. L., Cairns, J.E.: Field high-throughput phenotyping: the new crop breeding frontier. *Trends Plant Sci*, 19, 2014: 52–61.
- /5/ Ainsworth, E. A., Beier, C., Calfapietra, C., Ceulemans, R., Durand-Tardif, M., Farquhar, G. D., Godbold, D. L., Hendrey, G. R., Hickler, T., Kaduk, J.: Next generation of elevated [CO<sub>2</sub>] experiments with crops: a critical investment for feeding the future world. *Plant Cell Environ*, 31, 2008: 1317–1324.
- /6/ Lichtenthaler, H. K.: Chlorophylls and Carotenoids: Pigments of Photosynthetic Biomembranes. *Methods in enzymology*, 148, 1987:, 350 - 382.
- /7/ Thatcher, J. E., Squiers, J. J., Kanick, S. C., King, D. R., Lu, Y., Wang, Y., DiMaio, J. M.: Imaging Techniques for Clinical Burn Assessment with a Focus on Multispectral Imaging. *Advances in Wound Care*, 5, 2016: 360–378.
- /8/ Quemada, M., Gabriel, J. L., Zarco-Tejada, P.: Airborne hyperspectral images and ground-level optical sensors as assessment tools for maize nitrogen fertilization. *Remote Sensing*, 6, 2014: 2940-2962

### Poděkovanie

Práca vznikla za finančnej podpory projektov APVV-15-0721, APVV-15-0562 a VEGA- 1-0923-16, VEGA-1-0831-17.

## **HYPERSPEKTRÁLNE ZOBRAZOVANIE – NÁSTROJ PRE NEDEŠTRUKČNÉ HODNOTENIE OBSAHU VODY V RASTLINE**

### ***HYPERSPECTRAL IMAGING – TOOL FOR NON-DESTRUCTIVE EVALUATION OF WATER CONTENT IN PLANT***

Marek Kovár<sup>1</sup>, Marián Breštič<sup>1</sup>, Marek Živčák<sup>1</sup>, Katarína Olšovská<sup>1</sup>, Oksana Sytar<sup>1</sup>, Lenka Botyanszká<sup>1</sup>, Erik Chovanček<sup>1</sup>, Viliam Bárek<sup>2</sup>

<sup>1</sup> Slovenská poľnohospodárska univerzita v Nitre, FAPZ, Katedra fyziológie rastlín, Tr. A. Hlinku 2, 949 76 Nitra, Slovensko, marek.kovar@uniag.sk

<sup>2</sup> Slovenská poľnohospodárska univerzita v Nitre, FZKI, Katedra krajinného inžinierstva, Tr. A. Hlinku 2, 949 76 Nitra, Slovensko

#### ***Summary***

Expeditive and non-destructive evaluation of water content in plants is an important part of the study of drought resistance mechanisms in biological research of plants as well as rational irrigation management in precision agriculture. Utilizing the PlantScreen™ phenotyping platform in the AGROBIOTECH Research Center at the Slovak University of Agriculture in Nitra, we have studied water content changes in leaf tissue using the hyperspectral imaging of soybean and tomato plants in the VNIR and SWIR spectral ranges of radiation. Study has shown that non-structural analysis of hyperspectral reflection can be successfully used to monitor water content parameters. The closest correlation relationships have been observed between the Water-1 parameter, which is calculated from the reflection in the SWIR spectral region and the effective water thickness (ETW) in the tissue sheet.

*Key words:* phenotyping, PlantScreen™, hyperspectral imaging, water, drought

#### ***Súhrn***

Rýchle a nedeštrukčné hodnotenie obsahu vody v rastlinách je dôležitou súčasťou štúdia mechanizmov suchovzdornosti rastlín v biologickom výskume, ako aj racionálneho riadenia závlah v precíznom poľnohospodárstve. Využijúc PlantScreen™ fenotypovaciú platformu vo Výskumnom centre AGROBIOTECH na Slovenskej poľnohospodárskej univerzite v Nitre sme pomocou hyperspektrálneho zobrazovania rastlín sóje a rajčiaku vo VNIR a SWIR spektrálnej oblasti žiarenia študovali zmeny obsahu vody v pletivách listov. Práca ukázala, že nedeštrukčná analýza hyperspektrálnej reflektancie môže byť úspešne použitá na monitorovanie parametrov obsahu vody. Najtesnejšie korelačné vzťahy boli pozorované medzi parametrom Water-1, ktorý je kalkulovaný z reflektancie vo SWIR spektrálnej oblasti a efektívnej hrúbke vody (ETW) v pletive listu.

*Kľúčové slová:* phenotyping, PlantScreen™, hyperspektrálne zobrazovanie, voda, sucho

## **ÚVOD**

Voda je jednou z najdôležitejších zložiek živých organizmov. Medzi abiotickými stresmi je znižená dostupnosť pôdnej vody pre rastliny kľúčovým environmentálnym faktorom, ktorý limituje rast a ich produktivitu /1/. Efektívny manažment obsahu vody v plodinách závisí na presnej aplikácii zavlažovacej dávky. V súčasnom období sa využívajú rôzne metódy detektie vodného stresu rastlín, založené najmä na poznaní obsahu vody v pôde, ale aj v rastline /2, 3/. Meranie hyperspektrálnej reflektancie z listu (porastu) plodín je významným prístupom v nedeštrukčnom hodnotení obsahu vody v rastline /4/, ktorého rozširovanie v praxi narastá

/5/. Zo zosnímaného signálu odrazeného žiarenia z povrchu rastliny boli už v minulosti zavedené do používania mnohé (vegetačné) indexy, ktorými sa hodnotí obsah vody, resp. stupeň vodného stresu rastliny /5/. Progres v informačných technológiach a v konštrukcii a citlivosti hyperspektrálnych kamier umožňuje plošné zobrazenie signálu z celistvých rastlín v 2-D alebo 3-D priestore. To otvára priestor pre vývoj spoločnejších a precíznejších techník hodnotenia obsahu vody v rastline, s vyššou citlivosťou identifikácie stupňa vodného stresu v priestorovej škále rastliny a/alebo porastu /5, 6/. Cieľom našej práce tak bolo kvantifikovať vzťahy medzi vybranými indexami kalkulovanými z VNIR (*visible and near-infrared*) a SWIR (*shortwave infrared*) reflektancie a obsahom vody v rastlinách ovplyvnených rýchlosťou, ako aj postupnou dehydratáciou. Na základe korelačnej a regresnej analýzy sme následne testovali validitu použitého nedeštrukčného prístupu hodnotenia obsahu vody v rastline.

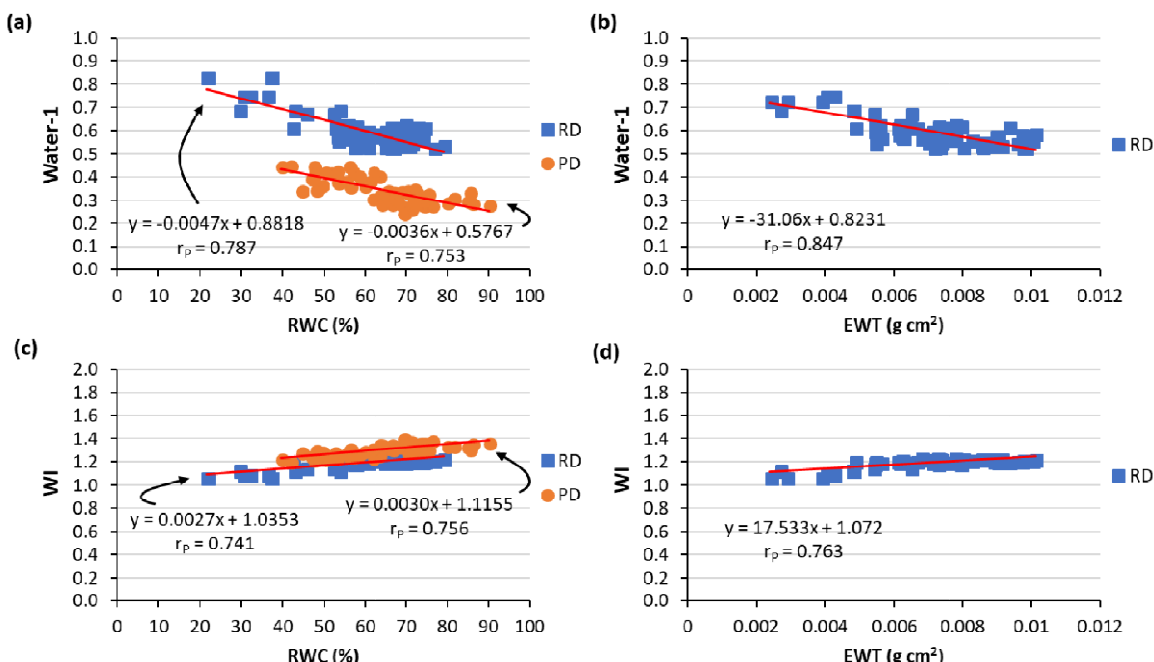
## MATERIÁL A METÓDA

Rastliny sóje fazuľovej [*Glycine max* (L.) Merrill, cv. SA-029] a rajčiaku jedlého [*Solanum lycopersicum*, cv. Moneymaker] boli pestované v rašelinovom substráte TS-3 (Klasmann-Deilmann GmbH, Geeste, Germany) v pestovateľskom priestore fenotypovacej platformy PlantScreen™ (PSI, Drašov, Česká republika) v podmienkach osvetlenia  $400 \mu\text{mol} \cdot \text{m}^{-2} \cdot \text{s}^{-1}$ , fotoperiode 14 / 10 h (deň / noc), teplote a vlhkosti prostredia 23 / 17 °C resp. 40 / 45 %. Prvá časť rastlín rastla v podmienkach dobrej vodnej zásobenosť (70 % PVK) a druhá časť bola vystavená postupnej dehydratácii substrátu prerušením zavlažovania (12 dní sója a 8 dní rajčiak). Pre kalibráciu vzťahov medzi parametrami hyperspektrálnej reflektancie a obsahu vody boli použité dva experimentálne prístupy: (i) individuálne listy dekapitovaných a dobre hydratovaných listov sóje boli položené na platňu s čiernym pozadím a vystavené rýchlej dehydratácii a (ii) celistvé rastliny rajčiaku ovplyvnené postupnou dehydratáciou. Individuálne rastliny (resp. listy) boli automaticky fenotypované využijúc dve zobrazovacie hyperspektrálne kamery (PSI, Drašov, Česká republika) v konfigurácii pre vrchný pohľad. VNIR kamera zaznamenávala reflektanciu v spektrálnom rozsahu 340-900 nm, v spektrálnom rozlíšení 0,8 nm a rozlíšení obrazu  $640 \times 480$  pixelov s frekvenciou 60 fps. SWIR kamera zaznamenáva reflektanciu v spektrálnom rozsahu 1100-1700 nm, v spektrálnom rozlíšení 1,2 nm a rozlíšení obrazu  $640 \times 480$  pixelov s frekvenciou 50 fps. Hyperspektrálne kamery boli kalibrované využitím štandardného bieleho referenčného panela pre determináciu reflektancie zo štandardu (Ir). Následne bol zaznamenaný reflektančný signál v tme (Id). Hyperspektrálna reflektancia z rastliny (Is) bola indukovaná žiareniom halogénovej žiarovky systému PlantScreen™. Relatívna reflektancia bola automaticky kalkulovaná ako  $Rs = (Is - Id) / (Ir - Id)$ . Z relatívnej reflektancie boli softvérom PlantScreen™ Data Analyzer automaticky kalkulované parametre: NDVI [ $(R800-R670)/(R800+R670)$ ], MCARI [ $1.2 * (2.5 * (R800-R670) - 1.3 * (R800-R550))$ ], Water-1 [ $R1440/R960$ ] a WI [ $R1529/R1416$ ]. Relatívny obsah vody (RWC; %) v liste bol kvantifikovaný z čerstvej (FW), saturovanej (SW) a suchej (DW) hmotnosti pletiva listu ako:  $RWC = [(FW - DW) / (SW - DW)] \times 100 / 3$ . Ekvivalentná hrúbka vody (EWT;  $\text{g} \cdot \text{cm}^{-2}$ ) bola kalkulovaná ako:  $EWT = (FW - DW) / (dw \times LA)$ , kde dw je hustota vody ( $1,0 \text{ kg} \cdot \text{m}^{-3}$ ) a LA je plocha listu ( $\text{cm}^2$ ). Plocha listu (LA) bola meraná skenovacou metódou a analyzovaná programom ImageJ verzia 1.46. Štatistická analýza experimentálnych údajov bola uskutočnená programom Statistica verzia 10.

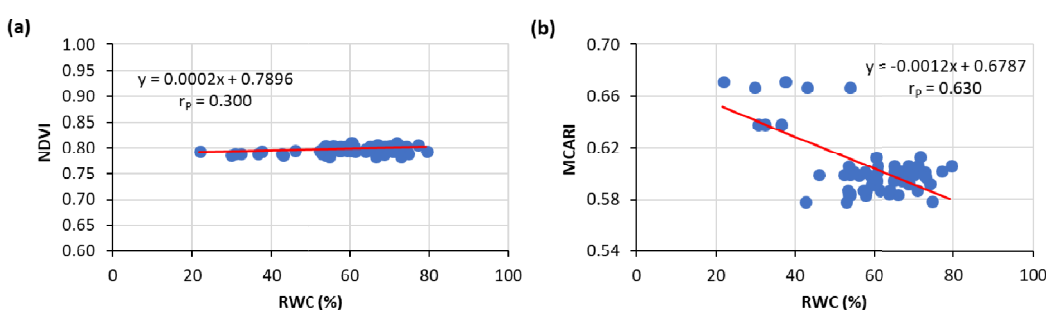
## VÝSLEDKY A DISKUSIA

Voda je hlavným limitujúcim faktorom produktivity a poznanie obsahu a aktivity vody v rastline je dôležitou otázkou v štúdiu odpovedí rastlín na sucho, ako aj v programovaní závlah v precíznom poľnohospodárstve. Pre nedeštrukčnú kvantifikáciu obsahu vody v liste resp. celistvej rastline bolo v minulosti introdukovaných niekoľko desiatok vegetačných indexov, kalkulovaných z meraní využijúc VNIR a SWIR spektrorádiometre, ako aj kamier

hyperspektrálneho zobrazovania, ale s rôznou úrovňou validity /6,7/. V našich experimentoch sme pre kvantifikáciu vzťahov a ich validity použili dva experimentálne prístupy: (i) rýchlu dehydratáciu dekapitovaného listu z dobre hydratovaných rastlín (RD) a postupnú dehydratáciu rastlín (PD). Môžeme konštatovať, že oba prístupy ukázali podobnú koreláciu medzi hodnotami indexov Water-1 a WI a RWC ( $r_p > 0,75$ ;  $p < 0,001$ ). Sklon lineárne závislosti je v oboch prístupoch pri Water-1 indexe veľmi podobný (Graf 1a). Dosiahnuté absolútne hodnoty Water-1 indexu v celistvých rastlinách vystavených postupnej dehydratácii (interval 0,2-0,5) vyplývajú z nižšej intenzity reflektancie pri  $\lambda=1440$  nm (pás absorpcie molekulami vody), čo môže byť vysvetlené vyššou citlivosťou signálu R1440 k vzdialosti kamery (skenovanie celistvej rastliny) a/alebo v dôsledku optických vlastností mezofylu a povrchu listov rajčiaka. Parameter WI takúto nezrovnalosť medzi prístupmi neukázal (Graf 1c). Tiež sme zistili, že oba indexy majú tesnejší vzťah k efektívnej hrúbke vody v listoch (EWT) ako k RWC (Graf 1b, Graf 1d), čo bolo pozorované a vysvetlené v mnohých predchádzajúcich štúdiách s rôznymi plodinami, vrátane sóje /7, 8, 9/.



Graf. 1: Závislosť parametra Water-1 (a,b) a indexu WI (c,d) na relatívnom obsahu vody (RWC) (a,c) a efektívnej hrúbke vody (EWT) (b,d) merané počas rýchlej dehydratácie listu sóje (RD) a postupnej dehydratácie rastlín rajčiaka (PD). Červená čiara = lineárny regresný vzťah.



Graf. 2: Závislosť parametra NDVI (a) a MCARI (b) na relatívnom obsahu vody (RWC) merané počas rýchlej dehydratácie listu sóje. Červená čiara = lineárny regresný vzťah.

Hoci existuje v literatúre popísaných niekoľko indexov kalkulovaných z VNIR spektra s uspokojivými závislosťami ( $r_p > 0,6$ ) k obsahu vody v rastline /9, 10, 11/, naše zistenia to nepotvrdili. V našej štúdii využijúc rýchlu dehydratáciu listov sóje najčastejšie používaný index NDVI ukázal nezávislú reakciu na RWC (*Graf 2a*). Na odhad obsahu vody v rastline sa však oveľa možné použiť index MCARI (*Graf 2b*), ktorý oveľa tesnejšie odráža zmeny v obsahu chlorofylu v rastline ako NDVI /11/.

Záverom môžeme konštatovať, že použitie hyperspektrálneho SWIR zobrazenia listov a celistvých rastlín citlivu odráža obsah vody, najmä vo vzťahu EWT, a je efektívne pre kvantitatívne hodnotenie obsahu vody, ale aj priestorovej heterogenity jej obsahu počas dehydratácie, ako ukazuje *Obr. 1*.



*Obr. 1: Plošné zobrazenie heterogenity parametra Water-I na liste sóje ovplyvnenom rýchlosťou dehydratácie trvajúcou 120 min. V listoch zhora → doprava klesá priemerná hodnota RWC, tmavomodrá farba – vysoká hodnota RWC.*

## LITERATÚRA

- /1/ Blum, A.: Drought resistance – is it really a complex trait? *Functional Plant Biology*, 38, 2011: 753–757.
- /2/ Jones, H. G.: Irrigation scheduling advances and pitfalls of plant-based methods. *Journal of Experimental Botany*, 55, 1994: 2427–2436.
- /3/ Kovár, M., Brestič, M., Olšovská, K.: Drought tolerance mechanisms of spring barley. 1. Osmotic adjustment and methods of its determination. *Acta fytotechnica et zootechnica*, 3, 2003: 76–81.
- /4/ Yi, Q.-X., Bao, A.-M., Wang, Q., Zhao, J.: Estimation of leaf water content in cotton by means of hyperspectral indices. *Computer and Electronic in Agriculture*, 90, 2013: 144–151.
- /5/ Peñuelas, J., Inoue, Y.: Reflectance indices indicative of changes in water and pigment contents of peanut and wheat leaves. *Photosynthetica*, 36, 1999: 355–360.
- /6/ Kim, D.M., Zhang, H., Zhou, H., Du, T., Wu, Q., Mockler, T. C., Berezin, M.Y.: Highly sensitive image-derived indices of water-stressed plants using hyperspectral imaging in SWIR and histogram analysis. *Scientific Reports*, 5, 2015: 15919.
- /7/ Pôcas, I., Rodrigues, A., Gonçalves, S., Costa, P.M., Gonçalves, I., Pereira, L.S., Cunha, M.: Predicting grapevine water status based on hyperspectral reflectance vegetation indices. *Remote Sensing*, 7, 2015: 16460–16479.
- /8/ Rodríguez-Pérez, J.R., Riaño, D., Carlisle, E., Ustin, S., Smart, D.R.: Evaluation of hyperspectral indexes to detect grapevine water status in vineyards. *American Journal of Enology and Viticulture*, 58, 2007: 302–317.
- /9/ Yi, Q.-X., Bao, A.-M., Wang, Q., Zhao, J.: Estimation of leaf water content in cotton by means of hyperspectral indices. *Computer and Electronic in Agriculture*, 90, 2013: 144–151.
- /10/ Rallo, G., Minacapilli, M., Ciraolo, G., Provenzano, G.: Detecting crop water status in mature olive groves using vegetation spectral measurements. *Biosystems Engineering*, 128, 2014: 52–68.
- /11/ Peñuelas, J., Inoue, Y.: Reflectance indices indicative of changes in water and pigment contents of peanut and wheat leaves. *Photosynthetica*, 36, 1999: 355–360.

## Poděkovanie

Práca vznikla za finančnej podpory projektov APVV-15-0721, APVV-15-0562, VEGA-1/0923/16, VEGA-1/0831/17, and UE H2020 project No 731013 (EPPN2020).

## **VPLYV DEFICITU VODY NA VYBRANÉ FYZIOLOGICKÉ PARAMETRE HRACHORA SIATEHO**

### ***INFLUENCE OF WATER DEFICIT ON THE SELECTED PHYSIOLOGICAL PARAMETERS ON GRASS PEA***

Eleonóra Krivosudska

Slovenská poľnohospodárska univerzita v Nitre, Fakulta agrobiológie a potravinových zdrojov, Katedra fyziológie rastlín, Tr. A. Hlinku 2, 949 01 Nitra, Slovensko, eleonora.krivosudska@uniag.sk

#### ***Summary***

During the experiment were monitored the following grass pea genotypes: Staphnac 12, Ifla, Mattar DM-1, Icarda 97 and their reaction to the water stress. At the beginning of the flowering phase, water stress was simulated by suspending the irrigation and preventing any moisture to occur. The water stress had a negative impact on the physiological parameters. Inoculation of seeds mitigate the negative effects of water stress. Inoculated stressed genotypes maintained higher relative water content at the end dehydration, the highest values of SPAD number and lower stress index (S.I.) compared with variants without adding inoculant.

*Key words:* grass pea, water stress, inoculant, stress index, SPAD-number

#### ***Súhrn***

Počas experimentu boli sledované vybrané genetické zdroje hrachora: Staphnac 12, Ifla, Mattar DM-1, Icarda 97 a ich reakcie na vodný stres, ktorý bol simulovaný vo fenofáze kvitnutia zabránením zavlažovaniu a dopadu zrážok. Vodný stres mal negatívne účinky na jednotlivé fyziologické parametre. Inokulácia osiva zmiernila negatívne účinky vodného stresu, pretože pri variantoch s pridaním inokulantu sa v listoch na konci dehydratácie udržal vyšší relatívny obsah vody, vyššie hodnoty SPAD-čísla a hodnota stresového indexu (S.I.) bola nižšia v porovnaní s variantmi bez pridania inokulantu.

*Kľúčové slová:* hrachor, vodný stres, inokulant, stresový index, SPAD-číslo

## **ÚVOD**

Hrachor siaty je suchovzdornou a nenáročnou plodinou, rozšírenou vo viacerých typoch ekosystémov, pričom je dôležité poznať faktory vplývajúce na veľkosť úrody semien použiteľných na potravinárske alebo kŕmne účely, pretože v krajinách, kde sa najčastejšie pestuje, je predpokladateľný intenzívny rast ľudskej populácie a s ňou súvisiacich problémov so zabezpečením dostatočnej výživy obyvateľstva /3/.

Hrachor sa vyznačuje vysokou odolnosťou voči suchu a nepravidelnosti zrážok, kedy priemerný ročný úhrn zrážok môže kolísť medzi 300 až 1500 mm za rok /10/. Nadbytok vody a nedostatok tepla spôsobuje predĺžovanie kvitnutia, nerovnomerné dozrievanie, šírenie hubovitých chorôb, s konečným dopadom na výšku a kvalitu produkcie.

Hrachor siaty je odolnou rastlinou, ktorá obľubuje skôr vlhčie pôdy, avšak môže trpieť dlhodobým zamokrením pôdy, kedy môže úroda suchých semien poklesnúť o 15 až 25 %, pričom zvýšená vlhkosť môže mať vplyv aj na rozvoj hubovitých chorôb /9/. Pre hrachor je kritickým obdobím na vodu obdobie vzchádzania, kvitnutia a nasadzovania strukov, kedy sa nedostatok vláhy prejavuje abortizáciou - čiže odpadávaním kvetov a strukov.

Stres zo sucha sa u hrachora siateho prejavuje intenzívnejším ukladaním osmoticky aktívnych látok a stočením listov, ktoré má za následok zníženie transpirácie vody cez listy. V porovnaní s hrachom siatym je ukladanie osmoticky aktívnych látok intenzívnejšie a u hrachu siateho k stočeniu listov vplyvom stresu zo sucha nedochádza vôbec /5/. Vzhľadom k uvedenému bolo cieľom experimentu zameriť sa na reakcie rastlín hrachora v podmienkach sucha s pridaním očkovacej látky, pretože jej použitím sa vytvorí dostatok životaschopných podmienok pre baktériu Rhizobium, ktoré podporujú tvorbu hrčiek.

## MATERIÁL A METÓDA

Založenie pokusu sa uskutočnilo do nádob s objemom 15 l, pričom do rovnakého substrátu bolo vysiate osivo štyroch genotypov hrachora siateho (Génová banka SR v Piešťanoch) rôzneho pôvodu (Stapnak 12 - Rusko, Ifla-Ukrajina, Mattar DM-1 – Pakistan a Icarda 97 –Sýria). Z každého genotypu bola polovica semien pred výsevom inokulovaná očkovacou látkou Nitrazon pre hrach a hrachor (Agrokomp s.r.o. v Modre). Po vzidení boli rastliny pestované v prirodzených podmienkach pre rast až do obdobia kvitnutia. Vo fenofáze kvitnutia sme realizovali simulovaný stres u vybranej vzorky rastlín s tým, že bol sledovaný zároveň aj rozdiel medzi inokulovanými a neinokulovanými rastlinami v podmienkach stresu a porovnávaný s kontrolnými variantmi, zalievanými počas trvania celého obdobia dehydratácie.

Charakteristika inokulantu:

Inokulant Nitrazon sa vyrába v ČR a pripravuje sa z vybraných kmeňov hrčkotvorných baktérií, ktoré sú špeciálne vyselektované pre jednotlivé druhy motýľokvetých plodín. Ovplyvňuje priamo obsah bielkovín u pestovaných plodín, zvyšuje aj výnosy a prispieva k lepšej mikrobiálnej činnosti pôdy.

V rámci fyziologických meraní sme sledovali:

Relatívny obsah vody v listoch (RWC, %) sme stanovili gravimetricky /2/. V pravidelných časových intervaloch sme sledovali hodnoty SPAD-čísla, ktoré vyjadruje obsah dusíka v listoch pomocou chlorofylmetra SPAD-502 (Minolta, Japan). Metóda je založená na priamom meraní chlorofylu a + b v listoch.

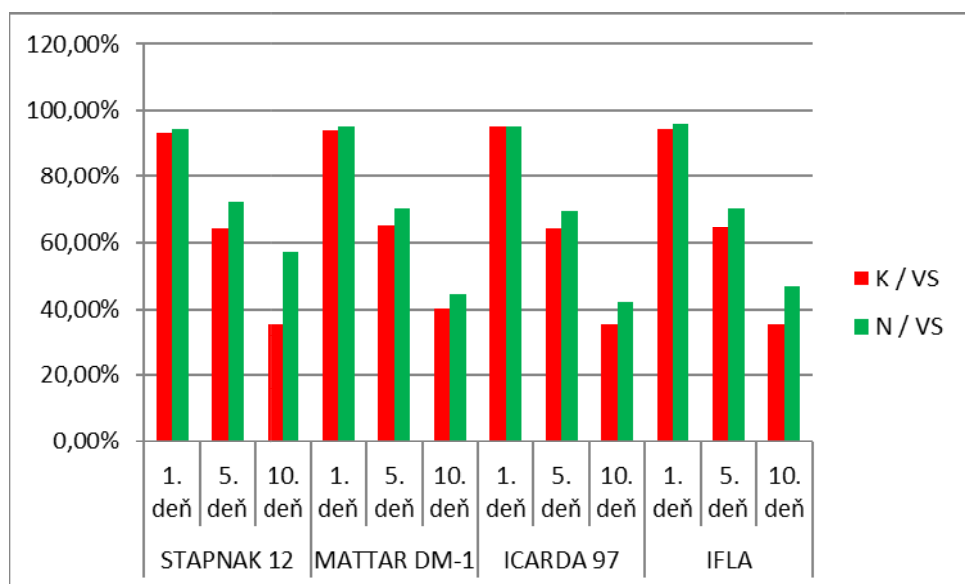
Ďalším hodnoteným parametrom bol stresový index (S.I.), ktorý nám umožňuje porovnávať zmeny nameraných parametrov medzi kontrolou a stresom pre súbor odrôd ako relatívne hodnotenie zmeny – nárast alebo pokles parametra oproti kontrole (upravené podľa /4/).

## VÝSLEDKY A DISKUSIA

V rámci experimentu boli zrealizované 3 kontrolné odbery rastlín a taktiež odbery vzoriek z dehydratovaných rastlín. V rovnakom časovom období boli odoberané vzorky z inokulovaných a taktiež neinokulovaných genotypov v podmienkach stresu i bez stresu. Obdobie dehydratácie trvalo 10 dní, vzhľadom k sledovaným zmenám v rámci meraných parametrov. Porovnaním genotypov sme zistili, že vyššie hodnoty RWC si v podmienkach stresu na konci dehydratácie zachoval genotyp Stapnak 12 s pridaním očkovacej látky Nitrazon (57,14 %) v porovnaní s variantmi bez inokulantu (35,05%). Zvyšné inokulované genotypy si udržali o niečo nižšie hodnoty obsahu vody v listoch (graf 1). Uvedené výsledky sú zhodné s prácammi, napr. /1, 6, 7/.

Pre znaky, ktoré sa vyvíjajú v priebehu stresu je možné vypočítať priemernú hodnotu stresového indexu za sledované obdobie. Táto relatívna veličina nám poskytuje možnosť porovnať citlivosť jednotlivých genotypov v rôznych znakoch. Vzhľadom k hodnoteným parametrom (RWC) sa zo všetkých hodnotených genotypov ako menej citlivý na sucho prejavil genotyp Stapnak 12, v podmienkach s inokuláciou bola hodnota S.I. výrazne nižšia (0,66) ako bez inokulantu (1,04).

Strukoviny sú schopné prijímať atmosferický dusík pomocou fixácie cez hrčky na ich koreňoch pomocou symbiotického vzťahu s baktériami rodu Rhizobium. Pomocou inokulácie sa do pôdy a následne do rhizosféry rastlín efektívne a pomerne ľahko zavádzajú tieto baktérie. Inokulácia prispieva k lepšej tolerancii rastlín voči suchu. Aplikované rizobiá majú väčšiu schopnosť udržať sa v pôde v živom stave aj dlhší čas v podmienkach vodného deficitu /8/.



Graf 1: Relatívny obsah vody v listoch hrachora inokulovaných a neinokulovaných genotypov v podmienkach stresu

K- genotyp bez inokulácie počas vodného stresu (VS), N- genotyp s Nitrazonom počas vodného stresu (VS)

Porovnávaním inokulovaných genotypov s neinokulovanými v podmienkach stresu bol pri hodnotení SPAD - čísla tiež zistený pozitívny vplyv na sledovaný parameter (tab.1)

Rozpoznanie stresového signálu je tlmené pri indukcii tolerancie rastlín na abiotické napätie. Žiaľ, rastliny, ktoré sú dlhší čas vystavené stresu, nepriaznivým dokonca extrémnym poveternostným podmienkam, vždy dosiahnu nižšie výťažky, ako dôsledok adaptácie fyziologického mechanizmu. Všetky živé organizmy reagujú na zmeny v životnom prostredí, ale reakcia je zvyčajne slabá, alebo často neúspešná. Avšak v rámci prirodzenej populácie je reakcia na stresový faktor často úspešná, pretože to umožňuje veľká genotypová rôznorodosť jedinca /11/.

Tab. 1: Vplyv inokulácie na hodnoty SPAD – čísla v podmienkach stresu

genotypy hrachora	1. deň stresu		5. deň stresu		10. deň stresu	
	N	B	N	B	N	B
Stapnak 12	48,4	47,3	46,4	45,0	25,6	23,6
Mattar DM-1	44,5	42,1	43,4	39,3	22,0	19,9
Ifla	51,4	47,6	41,5	34,5	24,4	23,6
Icarda 97	47,3	44,0	34,8	32,4	27,2	12,0

N – s Nitrazonom, B – bez Nitrazonu

## LITERATÚRA

- /1/ Barbosa, M., Lobato, S.: Bradyrhizobium improves nitrogen assimilation, osmotic adjustment and growth in contrasting soybean cultivars under drought. Journal of Crops [online], vol. 13, 2013: 486 - 529 [cit. 2017-03-18]. Dostupné na internete: DOI: org/10.5783/42928
- /2/ Barrs, H. D., Weatherley, P. E.: A re-examination of the relative turgidity technique for estimating waterdeficits in leaves. In Australian Journal of Biological Sciences, 15, 1962: 413-428.
- /3/ Dixit G. P. et al.: Achievements and prospects of grass pea (*Lathyrus sativus L.*) improvement for sustainable food production. In The Crop Journal [online], 4, 2016: 407-416 [cit. 2017-04-21]. ISSN 2214-5141. Dostupné na: <http://doi.org/10.1016/j.cj.2016.06.008>

- /4/ Fischer, R. A., Maurer, R.: Drought resistance in spring wheat cultivars. I. Grain yield responses. In Australian Journal of Agricultural Research, 29, 1978: 897-907.
- /5/ Jiang: Correlation of drought resistance in grass pea (*Lathyrus sativus*) with reactive oxygen species scavenging and osmotic adjustment. In Biologia [online], 68, 2013: 231-240 [cit. 2017-04-22]. ISSN 0006-3088
- /6/ Kirová, E., Neveda, D., Nikolová, A.: Changes in the biomass production and total soluble protein spectra of nitrate - fed and nitrogen – fixing soybeans. Plant Soil Environment [online], 51, 2015: 237–242 [cit. 2017-03-06]. Dostupné na internete: <http://www.sciencedirect.com/science/article/pii/S22145>
- /7/ Klynger, A. et al.: Tolerance to Drought in Legumes Plant Mediated by Rhizobium nad Bradyrhizobium. INTECH Open Acess Publisher [online], 5, 2013: 582-543 [cit. 2017-02-12]. Dostupné na internete: DOI: org./10.5772/54094
- /8/ Mhadhbi, H. et al.: A higly osmotolrant rhizobial strain confors a better tolerance of nitrogen fixation and exances protective activites to nodules of *Phaseolus vulgaris* under drought stress. Afican Journal Biotechnology [online], 10, 2013: 4555–4563 [cit. 2017-03-18]. Dostupné na internete: DOI: 10.1016/j.jprost.2013.12.
- /9/ Patto, V. M. C., Rubiales, D.: Lathyrus diversity: available resources with relevance to crop improvement – *L. sativus* and *L. cicera* as case studies. In Annals of Botany [online], 113, 2014: 895-908 [cit. 2017-04-22]. ISSN 0305-7364 Dostupné na: <https://doi.org/10.1093/aob/mcu024>
- /10/ Urga et al.: Evaluation of lathyrus sativus cultivated in ethiopia for proximate composition, minerals,  $\alpha$ -odap and anti-nutritional components. In AFJAND [online], 5, 2005 [cit. 2017-04-21]. ISSN 1684-5376. Dostupné na: <http://www.afjand.net/ Volume5/No1/Urga1030.pdf>
- /11/ Vukadinović, V. et al.: Ekofiziologija bilja. Osijek : Gradska tiskara. 2014: 225 s. ISBN 978-953-7871-31-4.

### Podčakovanie

Uvedená práca vznikla za finančnej podpory grantovej agentúry VEGA-1-0923-16, VEGA-1-0831-17 a APVV-15-0721. Podčakovanie tiež patrí spoločnosti Agrokomp s.r.o. v Modre, ktorá nám poskytla inokulant Nitrazon.

# TOLERANCIA VOČI SUCHU PRI VYBRANÝCH ODRODÁCH PŠENICE LETNEJ F. OZIMNEJ

## *DROUGHT TOLERANCE IN SELECTED WINTER WHEAT CULTIVARS*

Alžbeta Žofajová<sup>1</sup>, Pavol Hauptvogel<sup>1</sup>, Miroslav Švec<sup>2</sup>

<sup>1</sup>NPPC - Výskumný ústav rastlinnej výroby Piešťany, Bratislavská 122, 921 68 Piešťany

<sup>2</sup>Univerzita Komenského v Bratislave, Šafárikovo nám. 6, P.O.BOX 440, 814 99 Bratislava 1

### *Summary*

In vegetation 2016/17, a set of 24 winter wheat cultivars from Serbia was evaluated in a field experiment (also two standard cultivars were included). The aim of the research was to evaluate the possibility of cultivar utilisation for innovation of local genotypes in terms of drought tolerance. There were significant differences among the cultivars in 12 evaluated traits. Grain yield was the most determined by grain weight, grain number per spike, plant height, and uppermost internode length. By cluster analysis, 7 varieties have been detected that are potentially useful in improving drought tolerance. The results need to be verified in repeated experiments and analysed possible interactions.

*Key words:* grain yield, grain yield formation traits, wheat, stress

### *Súhrn*

Vo vegetácii 2016/17, v polnom pokuse bol hodnotený súbor 24 odrôd pšenice letnej f. ozimnej, ktoré pochádzajú zo Srbska. Do pokusu boli zaradené 2 kontrolné odrody. Cieľom výskumu bolo zhodnotiť možnosť využitia odrôd pre inováciu domáčich genotypov z hľadiska tolerancie voči suchu. V 12 hodnotených znakoch boli medzi odrodami významné rozdiely. Úrodu zrna najviac determinovali hmotnosť zrna, počet zín/klas, výška rastlín a dĺžka internódia pod klasom. Pomocou zhlukovej analýzy bolo detegovaných 7 odrôd, ktoré sú potenciálne využiteľné pri zlepšení tolerancie voči suchu. Výsledky je potrebné overiť v opakovaných pokusoch a analyzovať prípadné interakcie.

*Kľúčové slová:* úroda zrna, úrodotvorné znaky, pšenica, stres

## ÚVOD

Voda sa stáva limitujúcim faktorom pre udržateľnú produkciu pšenice a iných plodín. Preto šľachtenie na zvýšenie tolerancie voči suchu má opodstatnenie pre dosiahnutie vyšej produktivity a potravinovej bezpečnosti. V prostrediacich, kde je významná variabilita zrážok medzi rokmi, ako sú naše agroklimatické podmienky, nie je však žiaduce šľachtiť genotypy s vysokou toleranciou voči suchu, pretože takéto genotypy často nereagujú na priaznivé vlahové podmienky.

Z hľadiska genetického zlepšenia, štúdium znakov, ktoré sú vo väzbe na toleranciu voči suchu je považované za prioritné. Súbor presných, stabilných, jednoduchých a systematických metód pre identifikáciu a selekcii pšenice na toleranciu voči suchu je stále v procese vývoja. Pri selekcii na sucho sú využívané znaky – počet kláškov v klase, počet zín na klas, počet produktívnych odnoží a hmotnosť 1000 zín. Ak šľachtenie je zamerané na terminálne sucho, významnými znakmi sú redukovaný počet dní do klasenia a do zrelosti, nakoľko umožňujú vyhnutiu sa suchu [3]. Okrem úrodotvorných znakov v selekcii genotypov tolerantných voči suchu sú využívané tiež mnohé biochemické analýzy (prolín, manitol ai.)

/5/. Potrebu získania podrobných informácií o povahе a stupni diverzity v kolekcii pšenice pri výbere rodičovských komponentov pre tvorbu nádejných odrôd hodnotili Aharizad /1/.

Cieľom výskumu bolo zhodnotiť možnosť využitia genetickej diverzity odrôd pšenice letnej f. ozimnej zo Srbska pre inováciu domácich genotypov pšenice tolerantných voči suchu pri zachovaní produkčných a kvalitatívnych parametrov. Odrody pšenice letnej f. ozimnej pochádzajúce z bývalej Juhoslávie zohrali u nás v minulom storočí významnú úlohu v pestovaní a v šľachtení.

## MATERIÁL A METÓDA

Súbor odrôd pšenice letnej f. ozimnej, ktorý bol vo vegetácii 2016/17 hodnotený v záhrade VÚRV Piešťany tvorilo 24 odrôd, ktoré boli v rokoch 1988 (Jedina) až 2007 (Isidora) registrované v Srbsku a 2 kontrolné odrody (Dagmar - K1 z ČR, kontrola pre kvalitu, PS Jeldka - K2 zo SR kontrola pre produktivitu). Osivo odrôd bolo získané zo Srbska v rámci bilaterálnej spolupráce. Pokus bol založený v dvoch opakovaniach metódou znáhodnených blokov (plocha parcele cca 1 m<sup>2</sup>). V priebehu vegetácie sme pozorovali obligátne znaky vrátane zdravotného stavu. V klasení sme pomocou prístroja SPAD Minolta 502 nepriamo merali obsah chlorofylu vlajkového listu. V zrelosti sme z každého opakowania odobrali vzorku 30 klasov pre stanovenie základných úrodotvorných znakov – dĺžka klasu, dĺžka internódia pod klasom, počet a hmotnosť zrna na klas, hmotnosť 1 000 zrn. Obsah bielkovín sme stanovili na analyzátori DA 7200 NIR.

Primárne údaje sme spracovali analýzou rozptylu a korelačnou analýzou pomocou programu Statgraphics X64. Pre klasifikáciu odrôd sme použili zhlukovú analýzu a Wardovu metódu.

## VÝSLEDKY A DISKUSIA

Vo vegetácii 2016/17 bol v porovnaní s dlhodobým normálom nedostatok zrážok takmer vo všetkých mesiacoch, okrem októbra 2016 (Tab. 1). Najväčší deficit sme zaznamenali v mesiacoch máj a jún 2017, kedy padlo o 42,8 a 52,6 mm, jednotlivo, zrážok menej. Za celú vegetáciu padlo iba 47,4 % zrážok v porovnaní s dlhodobým normálom, t.j. o 246 mm menej. Priemerná teplota vzduchu bola za celú vegetáciu vyššia o 0,78 °C, pričom najvyššie diferencie boli v mesiacoch január o 4,1 °C nižšia, marec o 3,7 °C vyššia, podobne aj v mesiaci jún o 3,9 °C vyššia. Nedostatok zrážok a vysoké teploty predstavovali dobré selekčné prostredie pre overenie reakcie odrôd na sucho a teplo.

Vo všetkých hodnotených znakoch boli medzi odrodami štatisticky významné rozdiely (výsledky analýzy rozptylu neuvádzame). Priemerné hodnoty a variabilita znakov sú uvedené v Tabuľke 2.

Variačné rozpäťie v znaku vzchádzanie až klasenie bolo 197 až 208 dní. Najskôr klasila Luna, k neskorým odrodám patrila PS Jeldka a Sasanka, ktoré boli o 8 a 7 dní neskôr v porovnaní s kontrolou Dagmar, ktorá klasila 201 dní od vzchádzania, čo bolo približne na úrovni priemeru súboru ( $x=200,6$  dní). K raným odrodám patrili tiež Simfonija, Simonida, a Etida. Súbor poskytuje dobré výberové možnosti pre selekciu odrôd s potenciálom vyhnutia sa suchu. Priemerná výška porastu bola 93,8 cm, s veľkým variačným rozpäťím od 78,4 cm (Luna), po 105,9 cm (Kantata). Mohamamdi /4/ v podmienkach sucha potvrdili, že okrem iných znakov tiež dĺžka klasu, SPAD index, výška rastlín, dĺžka internódia pod klasom a termín klasenia najviac prispeli k úrode zrna tvrdej pšenice.

Počet klasov na m<sup>2</sup> sa pohyboval od 540 (Maja) po 836 (Isidora). Odroda Isidora mala zo srbských odrôd najvyššiu úrodu zrna, tvorenú najmä počtom produktívnych klasov, naopak PS Jeldka vysokú úrodu zrna dosiahla vysokou hmotnosťou zrna. Hodnoty SPAD indexu, znaku ktorý mal nízky variačný koeficient, mali variačné rozpäťie od 39,1 (Milena) po 53,4 (Kantata). Dĺžka internódia pod klasom je dôležitým selekčným znakom /2/. Variačné

rozpäťie bolo od 26,6 cm (Luna) po 37,2 cm (Simonida), pričom 15 odrôd malo nadpriemernú dĺžku. Odrody Sirena a Kantata boli podobné odróde Simonida, ktorá dosiahla maximálnu hodnotu. PS Jeldka mala nadpriemernú dĺžku (34,6 cm) a naopak Dagmar podpriemernú (30,6 cm). Priemerná dĺžka klasu odrôd bola 8,9 cm, pričom domáce kontrolné odrody mali podpriemerné hodnoty. Minimálnu hodnotu ( $x=7$  cm) mala odrôda Maja a maximálnu ( $x=10,7$  cm) odrôda Selekta. Priemerný počet zrn na klas bol 42,5 s variačným rozpätím od 28,5 (Selekta) po 54,7 (Sloga). Znak hmotnosť zrna na klas bol najvariabilnejší zo súboru hodnotených ( $v=24,05\%$ ) a kolísal od 0,84 g (Selekta) po 2,32 g (Kantata).

Kontrola PS Jeldka mala o 27,5 % vyššiu hmotnosť v porovnaní s priemerom súboru. Priemerná HTS súboru bola 40,4 g s variačným rozpätím od 31,8 g (Luna) po 49,8 g (Zlatica). Druhú najvyššiu HTS mala PS Jeldka (48 g), podobne aj druhá kontrola Dagmar patrila k štyrom odródam s najvyššou HTS. Vysoké variačné rozpäťie bolo aj v hodnotách zberového indexu, od 0,253 (Dagmar) po 0,633 (Zlatica), pričom kontrola PS Jeldka patrila k nadpriemerným ( $x=0,480$ ). Úroda zrna sa pohybovala od 5,86 t/ha (Maja) po 11,3 t/ha (PS Jeldka), priemer súboru 8,18 t/ha. Viac ako 9 t/ha dosiahli odrôdy Simonida, Zvezdana, Dejana, Etida a Isidora. Dagmar, kontrola pre kvalitu, podľa očakávania mala úrodu zrna nižšiu ako priemer súboru o 3,42 %. Obsah bielkovín sa pohyboval od 11,9 % (Sloga) po 16,7 % (Barbara). Kontrolné hodnoty mali podpriemerné hodnoty.

Úrodu zrna najviac determinovala hmotnosť zrna ( $R^2$  pre HTS=0,514 a pre hmotnosť zrna/klas  $R^2=0,509$ ). V poradí druhým znakom s najvyšším vplyvom bol počet zrn/klas ( $R^2=0,362$ ). Približne rovnaké determinačné koeficienty sme zistili pri výške rastlín a dĺžke internódia pod klasom ( $R^2=0,278$  a 0,296, jednotlivo).

Zhluková analýza je využívaná v programe šľachtenia pšenice najmä pre výber rodičov /1/. Pomocou tejto štatistickej metódy sme identifikovali odrôdy, ktoré môžu byť klasifikované do hlavných zhlukov na základe indexov podobnosti alebo rôznosti. Odrody, vychádzajúc z hodnotenia 12 znakov boli zaradené do štyroch zhlukov (Graf 1), pričom zhluky boli z hľadiska početnosti rôznorodé, obsahovali od 4 do 10 odrôd. Do zhluku 1 boli zaradené najmä odrôdy s vysokým obsahom bielkovín, prípadne s dlhšou vegetačnou dobou. Odrody zaradené do zhluku 2 mali nízky obsah bielkovín. Z hľadiska sledovaných selekčných znakov zaujímavou je odrôda Soga s najvyšším počtom zrn na klas. V zhluku 3 nachádzame podobnosť odrôd s nízkymi hodnotami úrodotvorných znakov a SPAD indexu. V zhluku 4 na základe indexov podobnosti prípadne rôznosti boli odrôdy (Isidora, Dejana, Zvezdana, Kantata, Etida, Simonida, Sirena, Zlatica), ktoré je možné najmä z hľadiska úrody zrna a znakov, ktoré ju podmieňujú využiť pre inováciu domáčich genotypov pšenice tolerantných voči suchu. Výsledky je potrebné overiť v priestore a čase, aby bolo možné zhodnotiť aj vplyv prípadných interakcií.

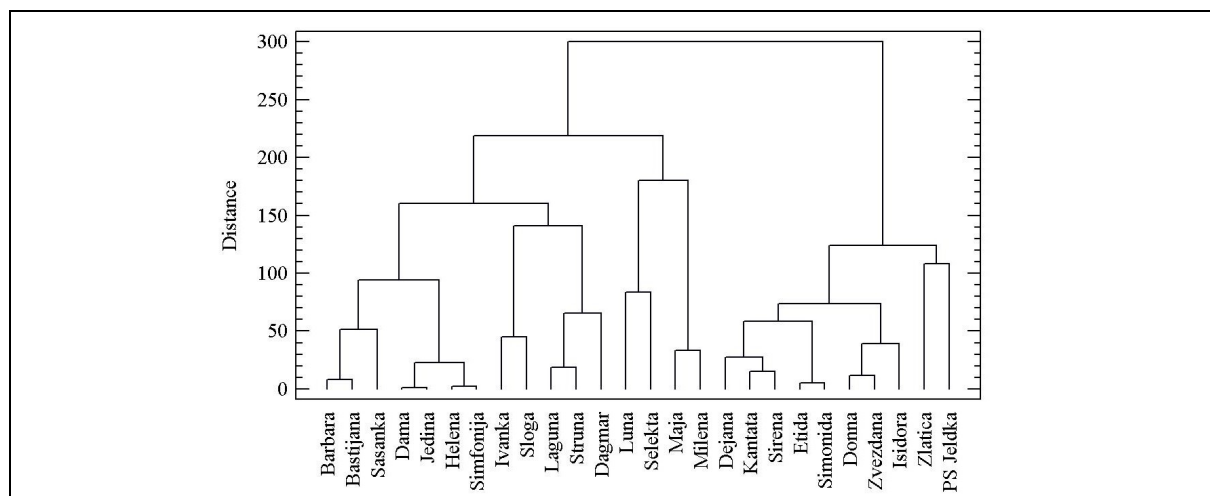
Tab. 1: Zrážky a teplota vo vegetácii 2016/17, Piešťany

Zrážky, teplota	Mesiac										Suma <u>x</u>
	10	11	12	1	2	3	4	5	6	7	
Zrážky: - normál (mm)	40	52	46	32	33	28	40	66	72	59	468
- 2016/17	52,0	42,4	10,8	11, 0	11,2	8,4	24,6	23,2	19,4	19,1	222,1
Teplota: - normál (°C)	9,7	4,2	-0,1	-2,0	0,4	4,5	9,6	14,5	17,4	18,9	7,9
- 2016/17	9,4	4,9	-0,4	-6,1	2,2	8,2	9,7	16,1	21,3	21,5	8,7

Tab. 2: Priemerné hodnoty vybraných znakov odrôd pšenice letnej f. ozimnej a ich variabilita (poľný pokus vo vegetácii 2016/17, Piešťany)

Znak	x	v	min	max	K1 Dagmar	K2 PS Jeldka
Vzchádzanie – klasenie (dni)	200,6	1,19	197,0	208,0	201,0	208,0
Výška porastu (cm)	93,8	7,34	78,4	105,9	94,5	97,6
Počet klasov/m <sup>2</sup>	652	10,64	540	836	576	636
SPAD	48,2	6,83	39,1	53,4	47,6	50,7
Dĺžka internódia (cm)	32,7	8,46	26,6	37,2	30,6	34,6
Dĺžka klasu (cm)	8,9	9,48	7,0	10,7	8,8	8,07
Počet zŕn/klas	42,5	15,51	28,5	54,7	39,8	46,4
Hmotnosť zŕn/klas (g)	1,71	24,05	0,84	2,32	1,83	2,18
Hmotnosť 1000 zŕn (g)	40,4	12,73	31,8	49,8	46,8	48,0
Zberový index	0,421	15,52	0,253	0,633	0,25	0,48
Úroda zrna (t/ha)	8,18	15,92	5,86	11,29	7,90	11,29
Obsah bielkovín (%)	13,8	9,09	11,9	16,7	12,2	13,1

Graf 1: Zhluková analýza (Wardova metóda) 26 odrôd pšenice letnej f. ozimná hodnotených v 12 znakoch (zľava doprava zhluk 1, 2, 3, 4 jednotlivo)



## LITERATÚRA

- /1/ Aharizad, S., Sabzi, M., Mohammadi, S. A., Khodadadi, E.: Multivariate analysis of genetic diversity in wheat (*Triticum aestivum L.*) recombinant inbred lines using agronomic traits. *Annals of Biological Research*, 3, 2012: 2118–2126
- /2/ Chen, X., Min, D., Yasir, T. A., Hu, Y-G.: Evaluation of 14 morphological, yield-related and physiological traits as indicators of drought tolerance in Chinese winter bread wheat revealed by analysis of the membership function value of drought tolerance (MFVD). *Field Crops Research*, 137, 2012: 195–201
- /3/ Lopes, M., Reynolds, M., Jalal-Kamali, M., Moussa, M., Feltaous, Y., Tahir, I., et al.: The yield correlations of selectable physiological traits in a population of advanced spring wheat lines grown in warm and drought environments. *Field Crops Res.* 128, 2012: 129–136. doi: 10.1016/j.fcr.2011.12.017
- /4/ Mohamamdi, R., Etminam, A., Shooshtari, L.: Statistical methods for identifying traits associated with high yield potential in durum wheat under drought conditions. *Indian Journal of Genetics and Plant Breeding*, 77, 2017: 513–523

/5/ Mwadzingeni, L., Shimelis, H., Tesfay, S., Tsilo T. J.: Screening of Bread Wheat Genotypes for Drought Tolerance Using Phenotypic and Proline Analyses. *Front. Plant Sci.* 7, 2016: 1276, doi: 10.3389/fpls.2016.01276

**Poděkovanie**

Výskum bol podporený projektmi APVV-15-0156 a APVV-15-0721.

## Příspěvky do sborníku

# VYUŽITIE POĽNOHOSPODÁRSKÝCH PLODÍN AKO MODELOVÝCH OBJEKTOV NA HODNOTENIE FYTOTOXICITY VYVOLANEJ Cr A Ni

## ***CROPS UTILIZATION AS MODELS FOR PHYTOTOXICITY DETERMINATION AFTER Cr AND Ni APPLICATION***

Agáta Fargašová

Katedra environmentálnej ekológie, Prírodovedecká fakulta UK v Bratislave, Ilkovičova 6, SK-842 15 Bratislava, Slovensko, agata.fargasova@uniba.sk

### ***Summary***

During the study phytotoxicity and genotoxicity of Cr(III), Cr(VI) a Ni(II) metals was determined by using 4 crops *Sinapis alba*, *Vicia sativa*, *Raphanus sativus* and *Zea mays*. Phytotoxicity was determined as IC<sub>50</sub> values for roots and shoots growth inhibition and from these results the following rank order could be arranged: Ni(II) > Cr(VI) > Cr(III). The exception from this rank order was observed only for *S. alba* root growth, when the inhibitory rank order was Cr(VI) ≥ Ni(II) >> Cr(III). Crops sensitivity to individual metals tested was arranged as: Ni(II): *S. alba* ≥ *R. sativus* ≥ *V. sativa* > *Z. mays*; Cr(VI): *S. alba* > *R. sativus* > *V. sativa* > *Z. mays*; Cr(III): *R. sativus* > *V. sativa* = *S. alba* > *Z. mays*. Metals were accumulated more in the roots than in the shoots and Ni translocation to the shoots was nearly 2-times higher than that of Cr. All metals increase frequency of chromosomal aberations in anatelophase cells of *V. sativa*, *R. sativus* and *Z. mays* roots.

**Key words:** *crops, chromium, nickel, growth inhibition, bioaccumulation, genotoxicity*

### ***Súhrn***

V práci sa sledoval fyto- a genotoxický účinok Cr(III), Cr(VI) a Ni(II) na 4 poľnohospodárske plodiny *Sinapis alba*, *Vicia sativa*, *Raphanus sativus* a *Zea mays*. Fytotoxicita sa stanovovala ako IC<sub>50</sub> hodnoty pre inhibíciu rastu koreňa a výhonku a na základe tejto hodnoty sa dá zostaviť nasledovný inhibičný rad: Ni(II) > Cr(VI) > Cr(III). Odlišnosť od tohto radu sa pozorovala len pri inhibíciu rastu koreňa *S. alba*, kde bol inhibičný rad Cr(VI) ≥ Ni(II) >> Cr(III). Citlivosť plodín na jednotlivé kovy bola nasledovná: Ni(II): *S. alba* ≥ *R. sativus* ≥ *V. sativa* > *Z. mays*; Cr(VI): *S. alba* > *R. sativus* > *V. sativa* > *Z. mays*; Cr(III): *R. sativus* > *V. sativa* = *S. alba* > *Z. mays*. Testované kovy sa akumulovali viac v korenoch ako vo výhonoch a Ni sa translokoval do výhonkov v takmer dvakrát väčšom množstve ako Cr. Všetky kovy zvyšovali frekvenciu chromozómových aberácií v anatelofázových bunkách koreňov *V. sativa*, *R. sativus* a *Z. mays*.

**Kľúčové slová:** *poľnohospodárske plodiny, chróm, nikel, inhibícia rastu, bioakumulácia, genotoxicita*

## **ÚVOD**

Cievnaté rastliny sú veľmi vhodným objektom ako na sledovanie tak aj na predikciu stresu vyvolaného v prostredí prítomnosťou kovov. Vďaka ich schopnosti akumulovať akékoľvek toxické látky sú dobrými indikátormi ich prítomnosti v životnom prostredí aj v prípade nízkych koncentrácií kontaminantov /1/. Pokiaľ ide o hodnotenie účinkov kovov, tak je dôležité rozlísiť, či sa jedná o kovy toxické alebo esenciálne.

Hodnotenie fytotoxicity je dôležitou súčasťou ako environmentálneho monitoringu tak aj hodnotenia rizík na lokalitách kontaminovaných ľažkými kovmi. Hoci porovnávacie testy na kontrolu účinkov kontaminantov boli vyvinuté už dávnejšie /2/ údaje hodnotiace fytotoxicitu kovov prostredníctvom štandardných metód nie sú v literatúre veľmi časté. Testy fytotoxicity aj napriek tomu, že fyziologické odpovede rastlín sa v prítomnosti kontaminantov netýkajú len inhibície rastu a produkcie biomasy, využívajú väčšinou ako endpointy len inhibíciu rastu koreňa a výhonku, produkcie biomasy a klíčivosti semien. Na zhodnotenie takých parametrov akými sú fotosyntetická aktivita, produkcia/fluorescencia fotosyntetických pigmentov a aktivita vybraných enzymov v rastlinných tkanivách nie sú vypracované štandardizované postupy /3/. Absentuje aj vzťah medzi toxicitou kovov a ich koncentráciou v rastlinných tkanivách.

Vďaka širokému priemyselnému použitiu sa Cr a Ni považujú za významné environmentálne polutanty ako pôdy tak aj vody. Vplyv Cr na fyziológiu rastlín závisí od jeho mocenstva, ktoré ovplyvňuje jeho mobilitu v prostredí, príjem, transfer a toxicitu v rastlinnom systéme /4/. Jeho toxicita sa prejavuje na mnohých úrovniach – redukcia výnosov, rastu, enzymatickej aktivity až po mutagenézu /5/. Na rozdiel od Cr sa Ni považuje pre rastliny za esenciálny prvk, ktorý je potrebný pre enzymatický rozklad močoviny ureázu, uvoľnenie dusíka vo forme využiteľnej pre rastliny a absorpciu železa. Je potrebný aj pre klíčenie semien. Ako toxicický sa prejavuje od koncentrácie  $100 \text{ mg.l}^{-1}$  a vyššie.

## MATERIÁL A METÓDA

V experimentoch fytotoxicity sa používali 4 druhy poľnohospodárskych plodín: *Sinapis alba* L., *Vicia sativa* L. var. Klára, *Raphanus sativus* L. var. Niger Kerner a *Zea mays* L. Testy, pri ktorých sa hodnotila inhibícia rastu koreňa a výhonku, trvali 72 h a sú presne popísané v práci /6/. Po 10 dňoch rastu sa v plodinách sledovala akumulácia kovov v koreňoch a nadzemných častiach rastlín pomocou AAS /6/. Príjem Cr a Ni v rôznych častiach rastlín z kultivačného média sa prepočítaval cez bioakumulačný faktor BAF /7/ a translokácia kovov z koreňov do nadzemných častí sa vyjadrovala prostredníctvom translokačného faktora TF /8/. Kovy sa používali vo forme p.a. zlúčenín  $\text{NiCl}_2 \cdot 6\text{H}_2\text{O}$ ,  $\text{Cr}(\text{NO}_3)_3 \cdot 9\text{H}_2\text{O}$  a  $\text{CrCO}_3$  a testovali sa v 10 koncentráciách v rozsahu Cr(III) – 25-250, Cr(VI) – 2-200 a Ni(II) – 5-50  $\text{mg.l}^{-1}$ . Všetky experimenty sa robili v 3 opakovaniach vždy s 3 paralelkami. Inhibičné koncentrácie IC<sub>50</sub> sa stanovovali probitovou analýzou a boli doplnené intervalom spoločlivosti (CI) stanoveným regresnou analýzou. Všetky výsledky sa vyhodnocovali štatisticky Studentovým t-testom.

Genotoxicita sa hodnotila na koreňových špičkách *V. sativa*, *R. sativus* a *Z. mays* L. po 72 h rastu podľa metodiky /9/. Chromozómové aberácie sa stanovovali najmenej v 500-anatelofovázoach a kovy sa aplikovali v koncentráciách zodpovedajúcich stanoveným IC<sub>50</sub> hodnotám. Výsledky sa štatisticky vyhodnocovali Studentovým t-testom.

## VÝSLEDKY A DISKUSIA

Výsledky, ktoré sa získali z hodnotenia inhibičného účinku Cr a Ni na rast koreňov a výhonkov testovaných plodín sú uvedené v Tab. 1. Okrem inhibície rastu koreňa *S. alba*, sa ako pre koreň tak aj pre výhonky potvrdil ako toxickejší Ni. Na základe stanovených IC<sub>50</sub> hodnôt a ich štatistického zhodnotenia sa dajú kovy pre všetky testované plodiny a obidve časti rastlín, okrem koreňa *S. alba*, zoradiť do nasledovného inhibičného radu: Ni(II) > Cr(VI) > Cr(III). Koreň *S. alba* bol najsilnejšie inhibovaný Cr(VI) a pre tento parameter bol stanovený inhibičný rad  $\text{Cr(VI)} \geq \text{Ni(II)} \gg \text{Cr(III)}$ . Všetky testované kovy redukovali viac rast koreňa ako výhonku. Nepriaznivý účinok Cr a Ni na rast a vývoj rastlín potvrdili aj práce /6, 10, 11/. Rovnako ako naše výsledky aj /12/ potvrdili, že koreň je na prítomnosť kovov citlivejší ako výhonok, čo sa výraznejšie prejavilo hlavne v prítomnosti Cr.

Tab. 1: IC<sub>50</sub> hodnoty a ich 95 % intervaly spoločlivosti (CI) (mg.l<sup>-1</sup>) pre *V. sativa*, *R. sativus*, *Z. mays* a *S. alba* po 72 h aplikácie Cr a Ni

Plodina	Koreň		
	Cr(III)	Cr(VI)	Ni(II)
	IC <sub>50</sub> ±95 % CI (mg.l <sup>-1</sup> )	IC <sub>50</sub> ±95 % CI (mg.l <sup>-1</sup> )	IC <sub>50</sub> ±95 % CI (mg.l <sup>-1</sup> )
<i>V. sativa</i>	114,41 105,36-119,62	69,69 61,03-78,35	16,46 15,67-17,43
<i>R. sativus</i>	67,23 58,21-70,15	34,25 28,51-37,15	14,62 13,69-15,56
<i>Z. mays</i>	136,16 139,60-186,73	85,96 76,91-94,47	33,18 31,41-34,94
<i>S. alba</i>	115,40 98,73-132,07	9,82 9,39-10,24	12,52 12,05-12,98
Výhonok			
Plodina	Cr(III)		Cr(VI)
	IC <sub>50</sub> ±95 % CI (mg.l <sup>-1</sup> )	IC <sub>50</sub> ±95 % CI (mg.l <sup>-1</sup> )	IC <sub>50</sub> ±95 % CI (mg.l <sup>-1</sup> )
<i>V. sativa</i>	126,21 121,05-137,77	85,96 76,91-94,47	26,55 24,28-28,64
<i>R. sativus</i>	81,62 69,83-93,41	53,15 50,08-56,23	18,72 17,05-20,21
<i>Z. mays</i>	243,38 214,95-271,81	167,79 146,95-188,64	43,61 37,82-49,39
<i>S. alba</i>	136 109,71-162,71	20,89 19,68-22,10	16,55 15,67-17,43

Pokiaľ ide o citlivosť jednotlivých plodín, tak najcitlivejšou bola *Z. mays* (Poaceae) (Tab. 1). Citlivosť plodín na testované kovy sa znižovala v poradí: Ni(II): *S. alba* ≥ *R. sativus* ≥ *V. sativa* > *Z. mays*; Cr(VI): *S. alba* > *R. sativus* > *V. sativa* > *Z. mays*; Cr(III): *R. sativus* > *V. sativa* = *S. alba* > *Z. mays*. Z týchto výsledkov je zrejmé, že senzitivita k jednotlivým kovom je výrazne ovplyvňované druhom plodiny /13/. Aj napriek tomu, že /14/ uvádzajú, že *Z. mays* nie je dobrým fytoextraktorom Cr(VI), v našich testoch sa prejavila z hľadiska rastu ako najmenej citlivá voči Cr(III) aj Cr(VI).

Tab. 2: Koncentrácie Cr a Ni (mg.g<sup>-1</sup>DM) v koreňoch a výhonkoch *V. sativa*, *R. sativus*, *Z. mays* a *S. alba* po 10 dňoch rastu a vypočítané BAF a TF hodnoty

Plodina	Cr(III)				Cr(VI)				Ni(II)			
	Ko	Vy	BAF	TF	Ko	Vy	BAF	TF	Ko	Vy	BAF	TF
<i>V. sativa</i>	18,2	5,9	0,21	0,32	24,3	8,4	0,47	0,35	3,9	2,6	0,39	0,65
<i>R. sativus</i>	11,8	3,3	0,22	0,28	9,2	8,4	0,34	0,27	1,7	0,9	0,18	0,51
<i>S. alba</i>	26,3	8,3	0,30	0,32	3,7	0,8	0,47	0,22	2,2	1,7	0,31	0,77
<i>Z. mays</i>	32,6	18,9	0,38	0,58	31,0	11,2	0,49	0,36	4,0	1,6	0,17	0,40

DM – sušina, BAF – bioakumulačný faktor, TF – translokačný faktor, Ko – koreň, Vy – výhonok

Bioakumulačné (BAF) a translokačné faktory (TF) ako aj koncentrácie kovov v koreňoch a výhonkoch plodín sú uvedené v Tab. 2. Kým Cr sa akumuloval viac v koreňoch, transport Ni z koreňov do výhonkov bol dvakrát vyšší ako transport Cr, čo viedlo ku zvýšenej

akumuláciu Ni vo výhonkoch testovaných plodín. Nakol'ko ale všetky hodnoty transformačných faktorov pre Cr aj Ni boli <1, je transport obidvoch kovov z koreňov do výhonkov považovaný za obmedzený a výsledky sú v zhode s údajmi z literatúry /5, 14/.

*Tab. 3: Výskyt chromozómových aberácií (%) v anatelofázových bunkách koreňových špičiek *V. sativa*, *R. sativus* a *Z. mays* po 72 h pôsobení Cr a Ni*

Koncentrácia kovu ± SD (mg·l <sup>-1</sup> )	Percento aberácií ± SD		
	<i>V. sativa</i>	<i>R. sativus</i>	<i>Z. mays</i>
Kontrola (Cr/Ni)	<0.01/<0.07	2.33±0.23	0.67±0.25
Ni(II)	16.46 ±2.16	3.33±0.25**	2.83±0.50**
Cr(III)	114.41±13.36	2.67±0.25*	1.78±0.21*
Cr(VI)	69.69±8.66	4.33±0.23**	3.85±0.18**

SD – smerodajná odchýlka; \*\* preukaznosť rozdielov v porovnaní s kontrolou  $P < 0.01$ ;

\* preukaznosť rozdielov v porovnaní s kontrolou  $P < 0.05$ ; kontrola – sterilná destilovaná voda

Nakol'ko toxickej účinku kovov, najmä počas chronickej expozície, nie sú okamžite viditeľné, ekotoxikologické štúdie si často vyžadujú aj hodnotenie genotoxicity. Ako uvádzajú /15/ genotoxicické účinky sa dajú pozorovať už pri koncentráciách nižších ako tie, ktoré vyvolávajú fytotoxicke prejavy. Všetky testované kovy v aplikovaných IC50 koncentráciách preukazne zvyšovali frekvenciu výskytu chromozomálnych aberácií vo všetkých 3 testovaných plodinách (Tab. 3), pričom maximum aberácií v anatelofázových bunkách sa pozorovalo v prítomnosti Cr(VI). Poradie kovov, v akom sa frekvencia výskytu chromozómových aberácií v koreňových špičkách plodín znižovala, bolo nasledovné: Cr(VI) > Ni(II) > Cr(III). Simultánnu toxicitu a klastogenitu vyvolanú odpadmi s obsahom Cr a Ni potvrdili pri *V. sativa* aj /16/ a pri *V. faba* a *Allium cepa* /17, 18, 19/.

## LITERATÚRA

- /1/ Ryzhenko, N.O., Kavetsky, S.V., Kavetsky, V.M.: Cd, Zn, Cu, Pb, Co, Ni phytotoxicity assessment as function of its substance polarity shift. International Journal of Bioorganic Chemistry, 2, 2017:163-173.
- /2/ Efroymson, R.A., Will, M.E., Suter, G.W., Wootten, A.C.: Toxicological Benchmarks for Screening Contaminants of Potential Concern for Effects on Terrestrial Plants. Revision Prepared for the US Department of Energy Office of Environmental Management, 1997
- /3/ Hartley-Whitaker, J., Ainsworth, G., Meharg, A.A.: Copper- and arsenate-induced oxidative stress in *Holcus lanatus* L. clones with differential sensitivity. Plant, Cell and Environment, 24, 2001:713-722.
- /4/ Bennicelli, R., Stępniewska, Z., Banach, A., Szajnocha, K., Ostrowski, J.: The ability of *Azolla caroliniana* to remove heavy metals (Hg(II), Cr(III), Cr(VI)) from municipal waste water. Chemosphere 55, 2004:141-146.
- /5/ Shanker, A.K., Cervantes, C., Loza-Tavera, H., Avudainayagam, S.: Chromium toxicity in plants. Environmental International, 31, 2005:739-753.c
- /6/ Szárazová, K., Fargašová, A., Hiller, E., Velická, Z., Pastierová, J.: Phytotoxicity effects and translocation of Cr and Ni in washing wastewaters from cutlery production line to mustard (*Sinapis alba* L.) seedlings. Fresenius Environmental Bulletin, 17, 2008:58-65.
- /7/ Ghosh, M., Singh, S.P.A.: A comparative study of cadmium phytoextraction by accumulator and weed species. Environmental Pollution, 133, 2005:365-371.
- /8/ Tappero, R., Peltier, E., Gräfe, M., Heidel, K., Ginder-Vogel, M., Livi, K.J.T., Rivers, M.L., Marcus, M.A., Chaney, R.L., Sparks, D.L.: Hyperaccumulator *Alyssum murale* relies on a different metal storage mechanism for cobalt than for nickel. New Phytologist, 175, 2007:641-654.
- /9/ Miadoková, E., Svidová, S., Vlčková, V., Dúhová, V., Pražmářiová, E., Tothová, K., Naďová, S., Kogan, G., Rauko, P.: The role of natural biopolymers in genotoxicity of mutagens/carcinogens elimination. Biomedical Papers of the Medical Faculty of the University Palacký Olomouc Czech Republic, 149, 2005:493-496.
- /10/ Fargašová, A., Šmelková, M., Matúš, P.: *Sinapis alba* reactions on the stress induced by chromium and nickel. Fresenius Environmental Bulletin, 20, 2011:3374-3380.

- /11/ Prasad, M.N.V., Greger, M., Landberg, T.: *Acacia nilotica* L. bark removes toxic elements from solution: corroboration from toxicity bioassay using *Salix viminalis* L. in hydroponic system. International Journal of Phytoremediation, 3, 2001:289-300.
- /12/ Chatterje, J., Chatterjee, C.: Phytotoxicity of cobalt, chromium and copper in cauliflower. Environmental Pollution, 109, 2000:69-74.
- /13/ Gabbrielli, R., Pandolfini, T., Vergnano, O., Palandri, M.R.: Comparison of two serpentine species with different nickel tolerance strategies. Plant Soil, 122, 1990:271-277.
- /14/ Gheju, M., Balcu, I., Ciopec, M.: Analysis of hexavalent chromium uptake by plants in polluted soils. Ovidius University Annals of Chemistry 20, 2009:12-131.
- /15/ Mičieta, K., Murín, G.: Tree species of genus *pinus* suitable as bioindicators of polluted environment. Water Air and Soil Pollution, 104, 1998:413-422.
- /16/ Miadoková, E., Dúhová, V., Vlčková, V., Sládková, L., Suchá, V., Vlček, D.: Genetic risk assessment of acid waste water containing heavy metals. General Physiology and Biophysics, 18, 1999:92-98.
- /17/ Chandra, S., Chauhan, L.K.S., Pande, P.N., Gupta, S.K.: Cytogenetic effects of leachates from tannery solid waste on the somatic cells of *Vicia faba*. Environmental Toxicology, 19, 2004:129-133.
- /18/ Quian, X.: Mutagenic effects of chromium trioxide on root tip cells of *Vicia faba*. Journal of Zhejiang University Science, 5, 2004:1570-1576.
- /19/ Chauhan, L.K.S., Saxena, P.N., Sundararaman, V., Gupta, S.K.: Diuron-induced cytological and ultrastructural alterations in the root meristem cells of *Allium cepa*. Pesticide Biochemistry and Physiology, 62, 1998:152-163.

### Poděkovanie

Uvedená práce vznikla za finančnej podpory grantov KEGA 029UK-4/2016 a VEGA 1/0332/18.

***BIOTICKÝ STRESOR LISTOV JASEŇA ŠTÍHLEHO –  
HUBA FUSARIUM sp.***

***BIOTIC STRESS FACTOR OF FRAXINUS EXCELSIOR LEAVES –  
FUNGUS FUSARIUM sp.***

Helena Ivanová

Ústav ekológie lesa SAV Zvolen, Oddelenie fytopatológie a mykológie, Akademická 2, 949 01 Nitra,  
Slovensko, helena.ivanova@ife.sk

***Summary***

Symptomatic leaves of *Fraxinus excelsior* were often colonized by fungi occurring less frequently in the early stages of ash diseases in the past, before the current *Hymenoscyphus fraxineus* epidemic. These fungi other than *H. fraxineus* also occur in large numbers on leaves of the dying ash trees. Symptoms of this disease include the development of yellow colouration of leaves, which eventually die and fall. Diseased plants may die soon after first symptoms. Among some wilt-causing agents, endophytic fungus *Fusarium* sp. is reported as an important limiting factor. Mycological analysis by classical isolation of the most frequently isolated fungus from ash necrotic tissue from leaves, identification of macroscopic characteristics as well as their microscopic features confirmed fungus *Fusarium* sp.

**Key words:** ash trees, endophytic fungus, morphological and mycological characteristics

***Súhrn***

Symptomatické listy *Fraxinus excelsior* sú často kolonizované hubami, ktoré sa vyskytujú v počiatočných štádiach ochorenia jaseňov menej často ako sa prejaví epidemický účinok huby *Hymenoscyphus fraxineus*, hoci sa na listoch týchto odumierajúcich stromov vyskytujú v hojnom počte. Symptómy poškodenia spočívajú vo vzniku žltého zafarbenia listov, ktoré môžu opadať a odumierať podobne ako aj poškodené dreviny. Endofytická huba *Fusarium* sp. pôsobí ako limitujúci faktor spomedzi ostatných iných vplyvov spôsobujúcich chradnutie. Huba izolovaná z listov jaseňov bola potvrdená klasickými fytopatologickými metódami využívajúcimi ich makroskopické aj mikroskopické znaky.

**Kľúčové slová:** jaseň, endofytická huba, morfologické a mykologické charakteristiky

## INTRODUCTION

The most widely distributed native ash species in Europe - *Fraxinus excelsior* L. is planted in parks, along streets, in lawns, and as a shade tree occurs on a wide range of moister soil types and is commonly limited by temperature. This species is less susceptible than many other broadleaved tree species to attack by dangerous pests and pathogens /5/. The situation has changed, however, in the last years when large-scale dieback of *F. excelsior* has been found and observed increasingly in many European countries /1/. In recent years except this disease, characteristic symptoms of wilt and dieback have been observed in clonal seed orchard (Trstice) situated in southwest part of the country. Individual branches or even single leaves may be affected at first. Leaves develop a yellow colour, eventually die and fall. Diseased plants may die soon after first symptoms occur or they may sprout at the base after the top dies. Among some wilt-causing agents, fungus *Fusarium* is reported as an important limiting factor /23/. In the present work the fungus present on declining *Fraxinus excelsior*

leaves was studied and his role in the decline was clarified. Details of fungal occurrence on ash trees with symptoms of dieback were reported. Mycological analysis of the fungal sample isolated from ash necrotic tissue from leaves confirmed *Fusarium* sp.

## MATERIAL AND METHODS

Leaves from *F. excelsior* was collected in Trstice sites (GPS: 48°00'47.0"N 17°47'58.1"E), clonal seed orchard situated in southwest part of Slovakia. From spring to autumn 2017 the segments (1×1 cm) of 10 diseased leaves with visible necrotic lesion were collected from each of 10 living ash trees in the site. Fungal isolates from initial necrotic lesions were obtained from collection of samples *F. excelsior*. To study the growth rates of *Fusarium* spp., leaf segments after initial surface sterilization by soaking for 10 min. in solution of sodium hypochlorite were transferred onto PDA plates and incubated at 24° C at 45% humidity in darkness in a versatile environmental test chamber MLR-351H. Isolates were morphologically assessed and classified into morphological similarity group. The species were identified on the basis of macroscopic characteristics as well as their microscopic features. Identification of species was based on species description by Leslie and Summerell /18/.

## RESULTS AND DISCUSSION

*Fusarium* canker on European ash *Fraxinus excelsior* is caused by *Fusarium oxysporum* which together with *Fusarium lateritium* and *Phoma exigua* are fungi with a worldwide distribution. Fungus *Fusarium* sp. in our experiments on PDA formed sparse white to pale peach aerial mycelium, which is later pink in colour and growing slowly. *Fusarium* isolates produce abundant orange-coloured sporodochia 200 to 400 µm in diameter within 15 days of incubation. Dark blue sclerotial bodies were present in some isolates. Microconidia were ellipsoid to spindle shaped, 0–1 septate, 11.5–15.0 × 2.5–3.0 µm in size. Thick-walled hyaline larger slightly curved macroconidia 40.0–68.0 × 3.8–5.0 µm in size produced from monophialides in sporodochia were fusiform, pointed at the tip, mostly 3–5 septate, sometimes 6 septate, with basal pedicellate cells. Chlamydospores as round, thick-walled spores, produced either terminally or intercalary on older mycelium were present and formed sparsely. Different fungal pathogens were in this work isolated with varying frequencies, but the most frequently isolated fungus from ash leaves was *Fusarium* sp. This fungus belongs to other class of fungi than *H. fraxineus* and together with it plays an important role in the dieback process, on dying stems, twigs and leaves of ash in Slovakia.

*Fusarium* belongs to several species which were isolated as typical bark and wood-decaying or wood-inhabiting fungi. *Fusarium* belongs to endophytes with pathogenic potential and shows significant increases of occurrence in one or several leaf tissues /4/. *Fusarium* sp. isolated in this work together with some fungal species occurred on seed orchard in Slovakia are known plant pathogens likely responsible for the disease symptoms observed on ash leaves. A few studies aimed on the origin of symptomatic *F. excelsior* buds and leaves dieback showed they may be colonized by *Fusarium* (Tab. 1) which was obtained from leaves samples in the present study. The study has revealed rich fungal community inhabiting leaves of declining *F. excelsior*. The coloration of *Fusarium* sp. aerial mycelium is initially white but later becomes purple, with discrete orange sporodochia /28/. Conidiophores are short, single, arranged to densely branched clusters. Fungus growth is very slow, radial colony growth rate at 22°C/12 h of light daily was 5 mm. Fungus formed abundant microconidia never in chains, mostly non-septate, ellipsoidal or cylindrical, straight or curved, 5–12 × 2.3–3.5 µm and fusiform macroconidia, slightly curved, pointed at the tip, mostly three septate, basal cells pedicellate, 23–54 × 3–4.5 µm. Chlamydospores are terminal or intercalary, hyaline, smooth or rough-walled, 5–13 µm. *Fusarium* has been identified as

a pathogen in nurseries and was able to kill of *F. excelsior* seedlings /20/. Fungus was isolate from bark, wood, buds or leaves and necrotic petiole and is famous for causing a condition called *Fusarium* wilt, which is lethal to plants /5, 10, 22/.

*Tab. 1: Origin of dieback on symptomatic tissue types of *Fraxinus excelsior* colonized more often by *Fusarium* species*

reference	origin	fungal taxon	tissue type of <i>F. excelsior</i>
Ivanová <i>et al.</i> 2017 experiment	Slovakia	<b><i>Fusarium</i> sp.</b>	leaves
Pastirčáková <i>et al.</i> 2017	Slovakia	<i>Fusarium</i> sp.	twigs
Trapielo <i>et al.</i> 2017	Spain	<i>F. acuminatum</i> , <i>F. avenaceum</i> , <i>F. lateritium</i> , <i>Fusarium</i> sp., <i>F. tricinctum</i>	leaves
Langer 2017	Germany	<i>F. lateritium</i> , <i>F. solani</i>	leaves
Cross <i>et al.</i> 2017	Norway	<i>Fusarium</i>	leaves
Power <i>et al.</i> 2017	N. Zealand	<i>F. lateritium</i> , <i>F. oxysporum</i> , <i>Fusarium</i> sp.	bud
Kowalski <i>et al.</i> 2017	Poland	<i>F. avenaceum</i> , <i>F. lateritium</i> , <i>F. solani</i>	stem, twigs
Kowalski <i>et al.</i> 2016	Poland	<i>F. avenaceum</i> , <i>F. lateritium</i> , <i>F. solani</i>	stems, twigs
Scholtysek <i>et al.</i> 2013	Germany	<i>F. lateritium</i>	leaves
Davydenko <i>et al.</i> 2013	Ukraine	<i>F. avenaceum</i> , <i>F. lateritium</i> , <i>F. solani</i>	shoots
Chen 2012	N. Zealand	<i>F. lateritium</i> , <i>F. oxysporum</i>	bark, wood, buds, leaves
Bakys <i>et al.</i> 2011	Sweden	<i>F. avenaceum</i> , <i>F. solani</i>	root
Kowalski & Czekaj 2010	Poland	<i>F. lateritium</i> , <i>Fusarium</i> sp.	bark, stem
Bakys <i>et al.</i> 2009a	Sweden	<i>Fusarium</i> sp.	bark, wood
Bakys <i>et al.</i> 2009b	Sweden	<i>F. lateritium</i>	shoots
Ioos <i>et al.</i> 2009	France	<i>F. equiseti</i> , <i>F. lateritium</i> , <i>F. oxysporum</i> , <i>F. semitectum</i> , <i>F. solani</i> , <i>F. sp.</i>	shoots, bark tissue, necrotic petiole
Kowalski & Holdenrieder 2009	Switzerland	<i>Fusarium</i> sp.	
Lygis <i>et al.</i> 2005	Lithuania	<i>F. lateritium</i>	
Kowalski & Łukomska 2005	Poland	<i>F. avenaceum</i> , <i>F. lateritium</i> , <i>F. solani</i> , <i>F. sp.</i>	stem
Pukacki & Przybył 2005	Poland	<i>F. aquaeductum</i> , <i>F. avenaceum</i> , <i>F. sambucinum</i> , <i>F. solani</i> , <i>F. lateritium</i>	shoots
Kowalski & Kehr 1992	Poland	<i>Fusarium</i> sp.	shoots, buds
Przybył 2002a	Poland	<i>F. avenaceum</i> , <i>F. lateritium</i> , <i>F. solani</i>	bark branches, wood,
Przybył 2002b	Poland	<i>F. avenaceum</i> , <i>F. chlamydosporum</i> , <i>F. lateritium</i> , <i>F. oxysporum</i> , <i>F. sambucinum</i> , <i>F. solani</i> , <i>F. sp.</i>	roots
Griffith & Boddy 1991	U.K.	<i>F. lateritium</i>	bark, wood
Hull 1991	U.K.	<i>F. lateritium</i>	buds
Griffith & Boddy 1988	U.K.	<i>F. lateritium</i>	shoots, twigs
Riggenbach 1956	Switzerland	<i>F. lateritium</i>	

## REFERENCES

- /1/ Bakys, R., Vasaitis, R., Barklund, P., Thomsen, I. M., Stenlid, J. Occurrence and pathogenicity of fungi in necrotic and non-symptomatic shoots of declining common ash (*Fraxinus excelsior*) in Sweden. Eur. J. For. Res., 128, 2009a: 51–60.
- /2/ Bakys, R., Vasaitis, R., Barklund, P., Ihrmark, K., Stenlid, J. Investigations concerning the role of *Chalara fraxinea* in declining *Fraxinus excelsior*. Plant Pathology, 58, 2009b: 284–292.
- /3/ Bakys, R., Vasiliauskas, A., Ihrmark, K., Stenlid, J., Menkis, A., Vasaitis, R. Root rot, associated fungi and their impact on health condition of declining *Fraxinus excelsior* stands in Lithuania. Scand. J. For. Res., 26 2011: 128–135.
- /4/ Cross, H., Sønstebo, J.H., Nagy, N.E., Timmermann, V., Solheim, H., Børja, I., Kauserud, H., Carlsen, T., Rzepka, B., Wasak, K., Smith, A.V., Hietala, A.M. Fungal diversity and seasonal succession in ash leaves infected by the invasive ascomycete *Hymenoscyphus fraxineus*. New Phytologist, 213(3), 2017: 1405–1417.
- /5/ Chen, J. Fungal community survey of *Fraxinus excelsior* in New Zealand. Master thesis, Swedish University of Agricultural Sciences, Uppsala, Sweden, 2012, pp. 33.
- /6/ Davydenko, K., Vasaitis, R., Stenlid, J., Menkis, A. Fungi in foliage and shoots of *Fraxinus excelsior* in eastern Ukraine: a first report on *Hymenoscyphus pseudoalbidus*. Forest Pathology, 4, 2013: 462–467.

- /7/ Griffith, G.S., Boddy, L. Fungal communities in attached ash (*Fraxinus excelsior*) twigs. Transaction of the British Mycological Society, 91(4), 1988: 599–606.
- /8/ Griffith, G.S., Boddy, L. Fungal decomposition of attached angiosperm twigs IV. Effect of water potential on interactions between fungi on agar and in wood. New Phytologist, 117, 1991: 633–641.
- /9/ Hull, S.K. A study undertaken in southern Britain to investigate the late-flushing of Hedgerow ash in spring 1987. Forest Oxford, 64(2), 1991: 189–197.
- /10/ Ios, R., Kowalski, T., Husson, C., Holdenrieder, O. Rapid *in planta* detection of *Chalara fraxinea* by a real-time PCR assay using a dual-labelled probe. European Journal of Plant Pathology, 125, 2009: 329–335.
- /11/ Kowalski, T., Bilański, P., Kraj, W. Pathogenicity of fungi associated with ash dieback towards *Fraxinus excelsior*. Plant Pathology, 66(8), 2017: 1228–1238.
- /12/ Kowalski, T., Czekaj, A. Disease symptoms and fungi on dying ash trees (*Fraxinus excelsior* L.) in Staszów Forest District stands. Forest Research Papers, 71 (4), 2010: 357–368.
- /13/ Kowalski, T., Holdenrieder, O. Pathogenicity of *Chalara fraxinea*. Forest Pathology, 39, 2009: 1–7.
- /14/ Kowalski, T., Kehr, R.D. Endophytic fungal colonization of branch bases in several forest tree species. Sydowia, 44, 1992: 137–168.
- /15/ Kowalski, T., Kraj, W., Bednarz B. Fungi on stems and twigs in initial and advanced stages of dieback of European ash (*Fraxinus excelsior*) in Poland. European Journal of Forest Research, 135(3), 2016: 565–579.
- /16/ Kowalski, T., Łukomska, A. The studies on ash dying (*Fraxinus excelsior* L.) in the Włoszczowa Forest Unit stands. Acta Agrobotanica, 59(2), 2005: 429–440.
- /17/ Langer, G. Collar Rots in Forests of Northwest Germany Affected by Ash Dieback. Baltic Forestry, 23(1), 2017: 4–19.
- /18/ Leslie, J.F., Summerell, B.A. The *Fusarium* Lab. Manual. Wiley-Blackw. Ames, Iowa, USA. 2006, 388 p.
- /19/ Lygis, V., Vasiliauskas, R., Larsson, K.H., Stenlid, J. Wood-inhabiting fungi in stems of *Fraxinus excelsior* in declining ash stands of northern Lithuania, with particular reference to *Armillaria cepistipes*. Scandinavian Journal of Forest Research, 20, 2005: 337–346.
- /20/ Mańska, M. Broadleaved tree transplants dieback in spring' 97 in Poland. Phytopathologia Polonica, 13, 1997: 150–151.
- /21/ Pastirčáková, K., Ivanová, H., Pastirčák, M. Species diversity of fungi on ashes (*Fraxinus* spp.) in different types of stands in Slovakia. In: Sitková Z., Pavlenda P. (eds.) Long-term ecological research and monitoring of forest. Present knowledge and appeals for the future. Proceeding of conference review contribution 7. – 8. 11. 2017, pp. 93–99 (in Slovak).
- /22/ Power, M-W.P., Hopkins, A.J.M., Chen, J., Bengtsson, S.B.K., Vasaitis, R., Cleary, M.R. European *Fraxinus* species introduced into New Zealand retain many of their native endophytic fungi. Baltic Forestry, 23(1), 2017: 74–81.
- /23/ Przybył, K. Fungi associated with necrotic apical parts of *Fraxinus excelsior* shoots. Forest Pathology, 32(6), 2002a: 387–394.
- /24/ Przybył, K. Mycobiota of thin roots showing decay of *Fraxinus excelsior* L. young trees. Dendrobiology, 48, 2002b: 65–69.
- /25/ Pukacki, P.M., Przybył, K. Frost injury as a possible inciting factor in bud and shoot necroses of *Fraxinus excelsior* L. Journal of Phytopathology, 153, 2005: 512–516.
- /26/ Riggenbach, A. Untersuchung über den Eschenkrebs. Journal of Phytopathology, 27(1), 1956: 1–40.
- /27/ Scholtysik, A., Unterseher, M., Scholtysik, P., Wirth, C. Spatio-temporal dynamics of endophyte diversity in the canopy of European ash (*Fraxinus excelsior*). Mycological Progress, 12(2), 2013: 291–304.
- /28/ Smith, I. M., Dunez, J., Phillips, D. H., Lelliott, R. A. & Archer, S. A. European handbook of plant diseases. Blackwell Scientific Publications: Oxford, 1988, 583p.
- /29/ Trapiello, E., Schoebel, C.N., Rigling, D. Fungal Community in Symptomatic Ash Leaves in Spain. Baltic Forestry, 23(1), 2017: 68–73.

### Acknowledgements

Supported by the Scientific Grant Agency of the Ministry of Education of the Slovak Republic and the Slovak Academy of Sciences – VEGA Grant No. 2/0062/18.

# FENOLÓGIA VYBRANÝCH LESNÝCH BYLÍN VO VZŤAHU K MENIACEJ SA KLÍME

## ***PHENOLOGY OF SELECTED FOREST HERBACEOUS SPECIES IN RELATION TO CLIMATE CHANGE***

Martin Kubov<sup>1,2</sup>, Branislav Schieber<sup>1</sup>, Rastislav Janík<sup>1</sup>

<sup>1</sup> Ústav ekológie lesa SAV, L. Štúra 2, 960 53 Zvolen, SR, kubov@ife.sk

<sup>2</sup> Technická univerzita vo Zvolene, Lesnícka fakulta, T.G. Masaryka 24, 960 53 Zvolen, SR,  
martin.kubov@tuzvo.sk

### ***Summary***

Paper presents the analysis of the flowering of a selected forest herbs, which represent different phenological groups: *Pulmonaria officinalis* (early spring species), *Carex pilosa* (late spring species) and *Veronica officinalis* (early summer species). Phenological observations were done in the last ten years (2008-2017) in a submountain beech forest at the EES Kremnické vrchy Mts. The onset and process of the full flowering of the study species is significantly influenced by the air temperature. The values of the positive deviations of the mean air temperatures averaged for the period of the last decade were increased in comparison to the long-term periods LP<sub>(1951-1980)</sub>. Onset of full flowering has been shifted earlier calendar dates for all study forest herbaceous species.

**Key words:** *phenology, full flowering, Pulmonaria officinalis, Carex pilosa, Veronica officinalis*

### ***Súhrn***

Predkladaná práca sa zaobrá analýzou kvitnutia vybraných lesných bylín, ktoré predstavujú rozdielne fenologické skupiny: *Pulmonaria officinalis* (skorý jarný druh), *Carex pilosa* (neskorý jarný druh) a *Veronica officinalis* (skorý letný druh). Fenologické pozorovania sa vykonávali v posledných desiatich rokoch (2008–2017) v prostredí submontánnej bučiny na EES Kremnické vrchy. Nástup a priebeh všeobecného kvitnutia sledovaných druhov je výrazne ovplyvnený teplotou vzduchu, ktorá v poslednom desaťročí zaznamenala výrazne kladné odchýlky v porovnaní s dlhodobým priemerom DP<sub>(1951-1980)</sub>. U všetkých druhov sa tento fakt prejavil posunom všeobecného kvitnutia smerom ku skôrším kalendárnym termínom.

**Kľúčové slová:** *fenológia, všeobecné kvitnutie, Pulmonaria officinalis, Carex pilosa, Veronica officinalis*

## **ÚVOD**

V posledných desaťročiach zaznamenávame výrazne zmeny v klimatickom systéme Zeme. Podľa svetových odborníkov /13/ sú tieto zmeny vyvolávané klimatickou zmenou, ako aj samotnými zmenami klímy. Klimatická zmena so sebou prináša celý rad zmien, ktoré sa v súčasnom období prejavujú zmenou cirkulácie a otepľovaním vzduchu /6/, nárastom dezertifikácie územia /20/, zvyšovaním frekvencie výskytu extrémov počasia /29/, nárastom koncentrácie CO<sub>2</sub> /28/, UVB žiarenia /22/, zvýšením koncentrácie ozónu /7/ a iných skleníkových plynov /9/. Tieto zmeny ovplyvňujú fyziologické procesy prebiehajúce v rastlinách, znižujú ich vitalitu a vedú k ich ďalšiemu poškodzovaniu /11/. Pri skúmaní

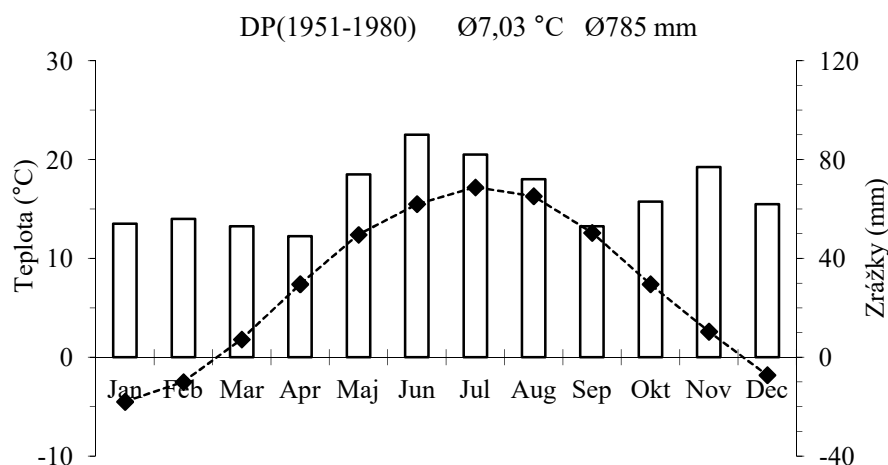
vplyvu klimatickej zmeny, ako aj klímy na lesné ekosystémy nám v ostatnom období výrazne napomáha fenológia, ktorá sa ako aplikovaná vedná disciplína zaobrá štúdiom periodicky sa opakujúcich životných prejavov rastlín (fenologické fázy) v závislosti od sezónnych a medziročných zmien klímy. Zmeny v nástupe a priebehu jednotlivých fenologických fáz sú podľa /27/ vhodným ukazovateľom meniacich sa podmienok prostredia, a preto rastliny, ako aj dreviny predstavujú významný bioklimatologický indikátor klimatických zmien /31/.

Cieľom tohto príspevku je analyzovať variabilitu nástupu kvitnutia vybraných bylinných druhov, ktoré predstavujú rozdielne fenologické skupiny (skorá jar, plná jar a skoré leto) vo vzťahu k teplotným zmenám za 10-ročné obdobie (2008 -2017).

## MATERIÁL A METÓDA

Výskum sa vykonával na Ekologickom experimentálnom stacionári (EES) Kremnické vrchy, ktorý patrí do medzinárodnej siete LTER (*Long-Term Ecosystem Research*). EES sa nachádza v JV časti pohoria Kremnické vrchy v lokalite Suchá dolina ( $48^{\circ} 38' SZS$  a  $19^{\circ} 04' VZD$ ). Geomorfologicky je EES tvorený pravidelným svahom, ktorý je miestami mierne konvexno-konkávny. Výškovo je relatívne málo diferencovaný (450–520 m n.m.). Mezoreliéf EES má Z až JZ expozíciu so sklonom 5 až  $15^{\circ}$ . Materský pôdny substrát predstavujú svahoviny andezitových tufových aglomerátov, z ktorých sa vyvinuli kambizeme s vysokým obsahom skeletu a to hlavne na vrcholovej a podsvahovej časti /17/. Podľa /15/ je vegetácia tvorená mozaikou lesných typov 3. vegetačného stupňa, živného radu B, skupiny lesných typov *Querco-Fagetum* a *Fagetum pauper inferiora*.

Drevinové zloženie je relatívne pestré, tvorené hlavne taxónmi *Fagus sylvatica* L., *Abies alba* Mill., *Quercus dalechampii* Ten., *Carpinus betulus* L. a *Tilia cordata* Mill., primiešané dreviny predstavujú *Salix caprea* L., *Populus tremula* L., *Betula verrucosa* Roth., *Acer pseudoplatanus* L., *Prunus avium* L. a *Picea abies* L. Územie, kde prebiehal výskum, sa nachádza v mierne teplej klimatickej oblasti, mierne teplom a mierne vlhkou vrchovinovom klimatickom okrsku /14/. Obr. 1 poukazuje na priemerná ročná teplota vzduchu, ktorá počas DP<sub>(1951–1980)</sub> dosahuje hodnotu  $7,03^{\circ}\text{C}$ . Priemerné mesačné teploty vzduchu (DP<sub>1951–1980</sub>) sa v januári a v júli pohybujú okolo  $-4,0^{\circ}\text{C}$ , resp.  $+17,0^{\circ}\text{C}$  /14/. Priemerný úhrn zrážok počas obdobia DP<sub>(1951–1980)</sub> dosahuje 785 mm. Ďalšie a detailnejšie informácie sú uvádzané v prácach /25, 2/.



Obr. 1: Klimadiagram EES Kremnické vrchy (490 m n. m.) za obdobie DP<sub>(1951–1980)</sub>

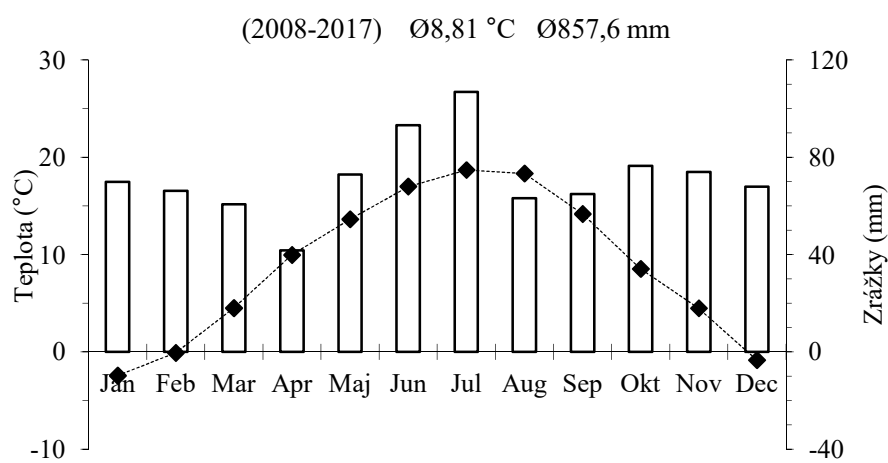
Metodika fenologických pozorovaní vychádzala z „Metodického predpisu“ štandardne používaného v rámci fenologického monitoringu SHMÚ pre pozorovanie lesných rastlín /5/.

Počas desaťročného obdobia (2008–2017) sa v pravidelných intervaloch vykonávali fenologické pozorovania na súbore jedincov vybraných lesných bylín, ktoré charakterizujú konkrétné fenologické obdobie: skorá jar (*Pulmonaria officinalis*), plná jar (*Care xpilosa*) a skoré leto (*Veronica officinalis*). Sledovali a vyhodnocovali sme generatívnu fenologickú fázu BBCH 65 - všeobecné kvitnutie /18/. Za všeobecný nástup fenofázy bol považovaný deň, ked' sa na súbore jedincov pozoroval jej 50%-ný nástup. Termíny nástupu fenologických fáz boli vyjadrené ako poradové dni roka počítané od prvého januára. Základné klimatické dáta vybraných meteorologických faktorov (teplota vzduchu, zrážky) za sledované obdobie (2008–2017), ktoré boli podrobenej ďalšiemu spracovaniu, pochádzali z databázy vedeckých pracovníkov Ústavu ekológie lesa SAV Zvolen. Analyzované údaje boli spracované pomocou základnej deskriptívnej štatistiky (aritmetický priemer, smerodajná odchýlka, variačné rozpätie, variačný koeficient). Tesnosť korelácie (Pearsonov korelačný koeficient) bola spracovaná podľa /30/. Všetky ostatné výsledky sa štatisticky spracovali v programe R (*R Project for Statistical Computing*).

## VÝSLEDKY A DISKUSIA

### Klimatické podmienky – teplota vzduchu a zrážky

Kým generatívny rozvoj sa uskutočňuje iba za istých, veľmi špecifických klimatických a stanovištných podmienok, tak vegetatívny rozvoj rastlinných spoločenstiev prebieha aj pri väčších klimatických výkyvoch, pričom pri niektorých druhoch aj v zimnom období /4/. Z tohto dôvodu sme sa ako prvé snažili charakterizovať klimatické podmienky v sledovanom území. Z Obr.2 je zrejmé, že priemerná ročná teplota vzduchu počas sledovaného obdobia (2008-2017) dosiahla hodnotu  $8,81^{\circ}\text{C}$ , čo je v porovnaní s hodnotou DP<sub>(1951-1980)</sub>, ktorú udáva /26/ mierne vyššia hodnota ( $+1,78^{\circ}\text{C}$ ). Výraznejší rozdiel ( $+2,19^{\circ}\text{C}$ ) sme zaznamenali pri porovnaní teploty počas vegetačného obdobia (apríl až september). Zrážkové úhrny boli medziročne značne rozkolísané a v rámci sledovaného 10-ročného obdobia dosahovali v porovnaní s DP<sub>(1951-1980)</sub> taktiež mierne vyššiu priemernú hodnotu ( $+72,6 \text{ mm}$ ). Do značnej miery to súvisí s priemerným nárastom zrážok v zimnom období (december až marec), ako aj výdatným zrážkovým úhrnom v letných mesiacoch (hlavne jún a júl). Tieto však padajú predovšetkým ako prehánky a búrkové lejaky, teda sú územne nerovnomerné /8/.



Obr. 2: Klimadiagram EES Kremnické vrchy (490 m n. m.) počas sledovaného 10-ročného obdobia (2008 – 2017)

### **Nástup a priebeh kvitnutia počas sledovaného obdobia**

Podľa viacerých odborníkov /10, 23/ sa sezónna dynamika rastlínnych spoločenstiev najvhodnejšie charakterizuje podľa generatívnych fenologických fáz, najmä podľa fenofázy kvitnutia. Kvitnutie rastlín totiž vyjadruje živnosť druhu na istom stanovišti, resp. v istom spoločenstve. Základné štatistické charakteristiky nástupu všeobecného kvitnutia sledovaných bylín počas desaťročného obdobia výskumu (2008–2017) sú uvedené v Tab. 1. Ako je vidieť, najskorší priemerný nástup všeobecného kvitnutia (BBCH 65) bol pozorovaný u druhu, ktorý charakterizuje fenologické obdobie skorej jari, t.j. *Pulmonaria officinalis* (100. deň – 10.apríl). Priemerne o 9 dní neskôr (19.apríl) dosiahlo všeobecne kvitnutie *Carex pilosa*, ktorý charakterizuje fenologické obdobie plnej jari. Priemerný nástup všeobecného kvitnutia u *Veronica officinalis* bol pozorovaný 5.júna (156. deň). Variačné rozpätie sa pohybovalo od 16 dní u *Veronica officinalis* do 34 dní u *Pulmonaria officinalis*. Variabilita v nástupe tejto fenofázy, vyjadrená hodnotou variačného koeficientu dosahovala hodnoty 3,12 % (*Veronica officinalis*), 7,68 % (*Carex pilosa*) a 8,92 % (*Pulmonaria officinalis*).

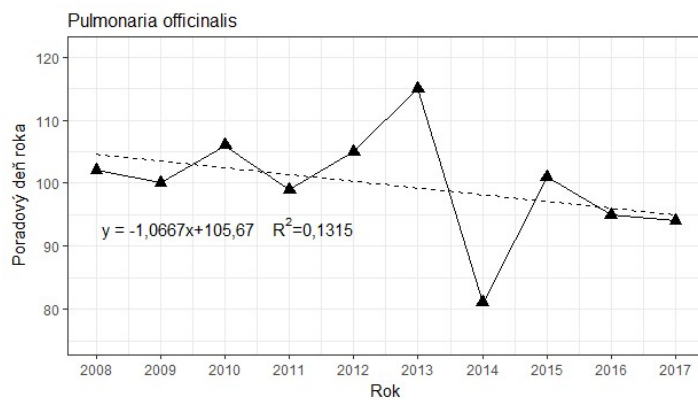
*Tab: 1: Nástup všeobecného kvitnutia vybraných bylín v období 2008 – 2017 (\*PDR – poradový deň roka)*

Druh	Priemer (PDR)	Minimum (PDR)	Maximum (PDR)	STDEV (dni)	Variačné rozpätie (dni)	Variačný koeficient (%)
<i>Pulmonaria officinalis</i>	100	81	115	8,90	34	8,92
<i>Carex pilosa</i>	109	93	115	8,05	22	7,68
<i>Veronica officinalis</i>	156	146	162	4,87	16	3,12

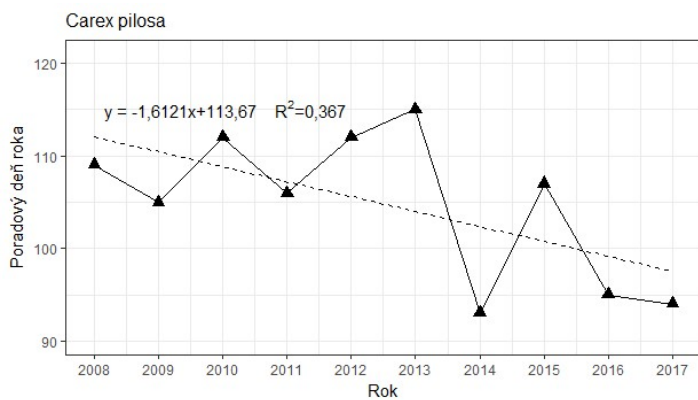
### **Korelačné analýzy a trendy**

Časové trendy nástupu všeobecného kvitnutia u *Pulmonaria officinalis* (Obr. 3) vykazujú mierny posun smerom ku skorším termínom, pričom medziročnú variabilitu v nástupe všeobecného kvitnutia je až 8,9 dňa. Korelačná analýza potvrdila štatisticky významnú ( $p<0,05$ ) a zároveň stredne silnú (mierna závislosť) koreláciu, pričom koeficient korelácie dosahoval hodnotu 0,362. Podobnú hodnotu korelačného koeficientu (0,374) zaznamenal /24/, ktorý sa tak tiež zameral na všeobecné kvitnutie v časovom horizonte 10. rokov (1995-2004). Avšak v jeho prípade vykazuje *Pulmonaria officinalis* mierny posun k neskôršim termínom, teda všeobecne kvitnutie oddáluje. Pri korelačnej analýze nezaznamenal významný vzťah medzi kvitnutím, jarnou teplotou a zrážkami v období február až marec, resp. marec. Predpokladáme, že to súvisí s tzv. adaptáciou a plasticitou predjarných a skorych jarných druhov, keď na ich rozvoj (kvitnutie) vplýva aj relatívne krátkodobé oteplenie. Uvedené fenologické skupiny druhov majú kvetné púčiky založené už v predošлом roku, preto ich reakcia na priaznivé podmienky je pomerne rýchla /4/. Medziročná variabilita v termínoch nástupu kvitnutia je potom u nich vyššia v porovnaní s inými skupinami druhov, čo súvisí so značnou medziročnou variabilitou priebehu klimatických prvkov v jarnom období. V dôsledku toho môžeme pozorovať rýchly rozvoj druhu *Pulmonaria officinalis* v krátkom časovom období s priaznivými teplotnými podmienkami, napriek tomu, že celkové pomery v jarnom období sú menej priaznivé /24/.

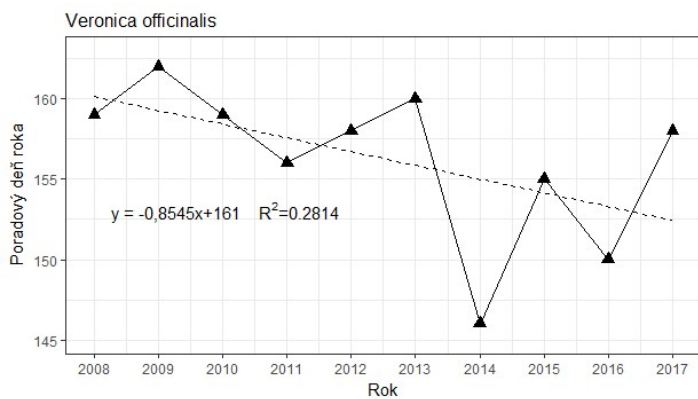
Okrem skoro jarného druhu *Pulmonaria officinalis* sme v jarnom období analyzovali aj ďalší bylinný druh - *Carex pilosa*. *Carex pilosa* reprezentuje dominantný druh asociácie *Carici pilosae-Fagetum* v podmienkach QF a Fp inf. Z fenologického pohľadu patrí k typickým predstaviteľom skupiny druhov plnej jari. Oba druhy *Pulmonaria officinalis* a *Carex pilosa*, sú charakteristické špecifickým životným rytmom, ktorý je v priamej korelácii so zmenami svetelných podmienok pred a po zalistení korún stromov materskym poraste /26/. Z tohto dôvodu musia svoj generatívny rozvoj (kvitnutie) stihnúť do úplneho zalistenia materského porastu, pretože po zalistení sa svetelné podmienky výrazne zmenia - slnečné žiarenie sa v poraste bude vyskytovať len vo forme difúzneho svetla /16/. Celkový priebeh všeobecného kvitnutia *Carex pilosa* počas celého obdobia výskumu je znázormený na Obr. 4, z ktorého je možné vidieť, že *Carex pilosa* reaguje na meniacu sa klímu posunom všeobecného kvitnutia do skorších termínom. Výsledná hodnota koeficientu korelácie dosahuje 0,605 (mierna závislosť).



Obr. 3: Dlhodobý trend nástupu všeobecného kvitnutia u *Pulmonaria officinalis* za obdobie 10 rokov (2008 – 2017)



Obr. 4: Dlhodobý trend nástupu všeobecného kvitnutia u *Carex pilosa* za obdobie 10 rokov (2008 – 2017)



Obr. 5: Dlhodobý trend nástupu všeobecného kvitnutia u *Veronica officinalis* za obdobie 10 rokov (2008 – 2017)

Posledným analyzovaným druhom je *Veronica officinalis* (Obr. 5), ktorá charakterizuje fenologickú skupinu – skoré leto. V tomto období (koniec mája a začiatok júna) už väčšina druhov plnej a neskorej jari odkvitla, čo súviselo s už spomínaným vegetatívnym rozvojom materského porastu (zalistovanie). Na rozdiel od skoro jarných druhov, si tieto druhy zakladajú kvetné púčiky v tom istom roku, preto rozkvitajú pomaly, pričom na to potrebujú dlhší čas a vyššiu teplotu /4/. Samotné kvitnutie je potom predovšetkým ovplyvnené teplotou a zrážkami. /24/ poukazuje na významný vzťah medzi všeobecným kvitnutím *Veronica officinalis* a teplotou vzduchu v máji ( $r=-0,54$ ), resp. apríli až máji ( $r=-0,85$ ). Vplyv zrážok v tomto období však už nebol tak významný ( $r=0,15$ , resp.  $r=0,21$ ). Naše výsledky poukazujú na výrazný posun

všeobecného kvitnutia smerom ku skorším termínom. Korelačný koeficient dosahuje podobne ako v prípade *Pulmonaria officinalis* a *Carex pilosa* stredne silnú závislosť ( $r=0,53$ ). Medziročná variabilita v nástupe všeobecného kvitnutia bola spomedzi všetkých sledovaných druhov najkratšia, keď dosahovala hodnotu len 4,87 dňa.

## ZÁVER

Analýza nástupu všeobecného kvitnutia lesných bylín, ktoré predstavujú rozdielne fenologické obdobia (skorá jar, plná jar, neskoré leto) poukázala na určite rozdiely v nástupe tejto fenofázy. Predpokladáme, že vysoká variabilita nástupu všeobecného kvitnutia ma určitý súvis s tzv. „klimatickými osobitnosťami“, ktoré sme výraznejšie začali sledovať v posledných desaťročiach. Práve od tohto obdobia zaznamenáva výrazne oscilácie v nástupe kvitnutia všetkých sledovaných druhov. Podľa dostupných poznatkov /1, 3/ je zrejmé, že postupným otepľovaním pozorujeme výraznejší posun jarných fenologických fáz ku skorším termínom, čoho dôkazom sú aj nami prezentované výsledky desaťročnej analýzy kvitnutia. Následne oneskorenie nástupu jesenných fenologických fáz /19, 21/, vedie k predĺžovaniu vegetačného obdobia /12/, čo môže výrazne ovplyvniť vitalitu niektorých lesných bylín a prispieť k zmene ich pôvodných areálov.

## LITERATÚRA

- /1/ Amano, T., Smithers, R.J., Sparks, T.H., Sutherland, W.J.: A 250-year index of first flowering dates and its response to temperature changes. Proceeding of the Royal Society B: Biological Sciences, 277, 2010: 2451–2457.
- /2/ Barna, M., Bošel'a, M.: Tree species diversity change in natural regeneration of a beech forest under different management. Forest Ecology and Management, 324, 2015: 92–102.
- /3/ Beaubien, E., Hamann, A.: Spring flowering response to climate change between 1936 and 2006 in Alberta, Canada. BioScience, 61, 2011: 514–524.
- /4/ Bottlíková, A.: Fenologická charakteristika vybraných fytocenóz Liptovskej kotliny. VEDA. Biologické práce, XXI/6, 1975, 81 s.
- /5/ Braslavská, O., Kamenský L.: Fenologické pozorovanie lesných rastlín. Metodický predpis. SHMÚ, Bratislava, 1996, 22 s.
- /6/ Cleland, E.E., Chuine, I., Menezel, A., Mooney, H.A., Schwartz, M.D.: Shifting plant phenology in response to global change. Trends in Ecology and Evolution, 22, 2007: 357–365.
- /7/ Felzer, B.S., Cronin, T., Reilly, J.M., Melillo, J.M., Wang, X.: Impacts of ozone on tree and crops. Comptes Rendus Geoscience, 339, 2007: 784–798.
- /8/ Fendeková, M., Poórová J., Slivová V., (eds.): Hydrologické sucho na Slovensku a prognóza jeho vývoja. Univerzita Komenského v Bratislave, 2018, 300 s.
- /9/ Glatzel, G.: The impact of historic land use and modern forestry on nutrient relations of Central European forest ecosystems. Fertilizer Research, 27, 1991: 1–8.
- /10/ Hroudka, L.: Rastliny luk a pastvin. Academia, 2013, 448 s.
- /11/ Hüttl, R.F., Schaaf, W., (eds.): Magnesium Deficiency in Forest Ecosystems. Nutrients in Ecosystems, 1. Dordrecht, Kluwer Academic Publishers, 1997, 362 p.
- /12/ Chmielewski, F.M., Rötzer, T.: Response of tree phenology to climate change across Europe. Agricultural and Forest Meteorology, 108, 2001: 101–112.
- /13/ IPCC: Climate Change 2014: Synthesis Report. Contribution of Working Groups I, II and III to the Fifth Assessment Report of the Intergovernmental Panel on Climate Change [Core Writing Team, R.K. Pachauri and L.A. Meyer (eds.)]. IPCC, Geneva, Switzerland, 2014, 151 pp.
- /14/ Kolektív.: Atlas krajiny Slovenskej republiky. MNP SR Bratislava, SAÑP Banská Bystrica, 2002, 344 s.
- /15/ Križová, E.: Primary production of the aboveground biomass of a herb layer in selected forest types in EES Kováčová. Acta Facultatis Forestalis, 35, 1993: 99–107.
- /16/ Kubov, M.: Fenológia a dynamika vegetácie podhorskej bučiny. Dizertačná práca, Fakulta ekológie a environmentalistiky TU Zvolen, 2017, 117 s.
- /17/ Kukla, J.: Dynamika geochemických procesov v pôdach vybraných lesných ekosystémov. Zaverečná správa. ÚEL SAV Zvolen, 1990, 102 s.
- /18/ Meier, U. (ed.): Growth stages of Mono and Dicotyledonous plants. BBCH Monograph. 2. Edition, Federal Biological Research Centre for Agriculture and Forestry, Bonn, 2001.

- /19/ Pau, S., Wolkovich, E.M., Cook, B.I., Davies, T.J., Kraft, N.J.B., Bolmgren, K., Betancourt, J.L., Cleland, E.E.: Predicting phenology by integrating ecology, evolution and climate science. *Global Change Biology*, 17, 2011: 3633–3643.
- /20/ Pickup, G.: Desertification and climate change – the Australian perspective. *Climate Research*, 11, 1998: 51–63.
- /21/ Polgar, C.A., Primack, R.B.: Leaf-out phenology of temperate woody plants: from trees to ecosystems. *New Phytologist*, 191, 2011: 926–941.
- /22/ Runeckles, V.C., Krupa S.V.: The impact of UV-B radiation and O<sub>3</sub> on terrestrial vegetation. *Environmental Pollution*, 83, 1994: 191–213.
- /23/ Rybka, V., Joskova, R.: Naša kvetena: Vlhké lúky. Ottovo nakladatel'stvo, 2015, 552 s.
- /24/ Schieber, B.: Changes of flowering phenology of six herbal species in a beech forest (Central Slovakia): a decade analysis. *Polish Journal of Ecology*, 55, 2007: 233–244.
- /25/ Schieber, B., Kubov, M., Pavelka, M., Janík, R.: Vegetation dynamics of herb layer in managed submountain beech forest. *Folia Oecologica*, 42(1), 2015: 35–45.
- /26/ Střelec, J.: Vplyv tāňbového zásahu v bukovom poraste na zmeny osvetlenia. *Lesnícky časopis- Forest Journal*, 38(6), 1993: 551–559.
- /27/ Štefančík, I.: Fenológia v lesníctve 1. Začiatok vegetačnej činnosti. *Lesnícky časopis – Forestry Journal*, 41(2), 1995: 131–139.
- /28/ Taylor et al.: Future atmospheric CO<sub>2</sub> leads to delayed autumnal senescence. *Global Change Biology*, 14, 2008: 264–275.
- /29/ Trenberth, K.E.: The impact of climate change and variability on heavy precipitation, floods, and droughts. *Encyclopedia of Hydrological Science*, M. H. Anderson, (ed.), J. Wiley and Sons, 2008.
- /30/ Ostertagová, A.: Aplikovaná štatistika. Equilibria, Košice, 2013, 218 s.
- /31/ White, M.A, Brusell, N., Schwartz, M.D.: Vegetation Phenology in global change studies. In *Phenology: a integrative environmental science*, Schwartz M.D.(ed.), Cluwer Academic Publishers, Dordrecht, 2003, 453–466 p.

### Poděkovanie

Autori d'akujú agentúre VEGA za finančnú podporu pri riešení projektu č. **2/0120/17**, v rámci ktorého vznikol prezentovaný príspevok.

# VPLYV RÝCHLOSTNEJ CESTY NA AKUMULÁCIU ARZÉNU V LESNÝCH EKOSYSTÉMOCH

## *IMPACT OF EXPRESSWAY ON ACCUMULATION OF ARSENIC IN FOREST ECOSYSTEMS*

Margita Kuklová<sup>1</sup>, Ivica Pivková<sup>1</sup>, František Hnilička<sup>2</sup>, Helena Hniličková<sup>2</sup>,  
Katarína Sládeková<sup>1</sup>, Ján Kukla<sup>1</sup>

<sup>1</sup> Ústav ekológie lesa SAV, L. Štúra 2, 960 53 Zvolen, SR, kuklova@ife.sk

<sup>2</sup> Česká zemědělská univerzita v Praze, Katedra botaniky a fyziologie rostlin, Kamýcká 129, 165 21  
Praha 6 – Suchdol, Česká republika

### *Summary*

In this work we evaluate the impact of polluted air from the expressway R1 in section Nitra – Tekovské Nemce on the content of arsenic in soils and leaves of species *Quercus cerris* L., *Prunus spinosa* L. and *Melica uniflora* Retz., located in the forest geobiocenoses G1 to G4 near the road and in the G5 geobiocenosis, 8 km away. The As content found in O-horizons of soils was generally low ( $0.17 \pm 0.05$  mg/kg). The As contents in the Luvisols (on G1 and G2 plots) peaked in 20–30 cm of layers ( $7.54 \pm 2.4$  –  $8.28 \pm 2.6$  mg/kg), however in Cambisols (on G3 to G5 plots) were higher in 0–5 cm mineral layers ( $5.69 \pm 1.8$  –  $6.84 \pm 2.2$  mg/kg) and towards the lower soil horizons its concentrations mostly declined. The maximum content of As was found in *P. spinosa* leaves (0.24 mg/kg) on plot G2, while on other plots the arsenic levels in plants were quite similar (<0.15).

*Key words:* forest soils, plant species, roadside pollution, arsenic

### *Súhrn*

V práci hodnotíme vzťah imisií z rýchlostnej cesty R1 v úseku Nitra – Tekovské Nemce k obsahu arzénu v pôdných vrstvách a listoch druhov *Quercus cerris* L., *Prunus spinosa* L. a *Melica uniflora* Retz.) v lesných geobiocenózach G1 až G4 situovaných v tesnej blízkosti cesty a v geobiocenóze G5 vzdialenej 8 km. V študovaných geobiocenózach bol obsah As v O-horizontoch pôd celkovo nízky ( $0,17 \pm 0,05$  mg/kg). Obsah As v Luvizemiach (plochy G1 a G2) dosahoval maximum v 20–30 cm pôdných vrstvach ( $7,54 \pm 2,4$  –  $8,28 \pm 2,6$ ), zatiaľ čo v kambizemiach (plochy G3 až G5) bol vyšší v minerálnych vrstvach 0–5 cm ( $5,69 \pm 1,8$  –  $6,84 \pm 2,2$  mg/kg) a smerom k nižším pôdnym horizontom jeho koncentrácia zväčša klesala. Najvyšší obsah As sa zistil v listoch *P. spinosa* (0,24 mg/kg) na ploche G2, kým na ostatných plochách boli hladiny As v rastlinách značne podobné (<0,15 mg/kg).

*Kľúčové slová:* lesné pôdy, rastliny, cestná doprava, arzén

## **ÚVOD**

V prírode sa arzén vyskytuje najmä vo forme sulfidov, najčastejšie ako arzenopyrit. Do ovzdušia sa uvoľňuje pri spracovaní kovových rúd vo forme oxidu arzenitného a zvýšené koncentrácie pochádzajú tiež zo spaľovania fosílnych palív a automobilovej dopravy /1/. Pôdy majú zároveň prirodzený obsah t'ažkých kovov uvoľňovaný z materskej horniny v procese pedogenézy. Rastliny prijímajú prístupné formy As koreňovým systémom. Rýchlosť príjmu závisí od distribučných koeficientov, ktoré sú výrazne ovplyvňované fyzikálno-chemickými vlastnosťami pôdy.

Rýchlosná cesta R1 Nitra – Tekovské Nemce prechádza väčšinou poľnohospodárskou krajinou, v ktorej sa lesné geobiocenózy zachovali v podobe väčších, či menších enkláv. Cesta je dôležitým nástrojom prepravy v tomto regióne od novembra 2011, v dôsledku čoho sú k nej priliehajúce poľnohospodárske a lesné pozemky najviac ohrozené znečistením. V študovanom regióne sa zaznamenal nárast oxidu siričitého ( $\text{SO}_2$ ), oxidu dusíka ( $\text{NO}_x$ ), ozónu ( $\text{O}_3$ ) a tuhých znečistujúcich častíc. Kontaminanty predstavujú hlavne Pb, Cu, Cd a As /2/. Cieľom štúdie preto bolo zistiť, aký vplyv majú emisie produkované cestnou dopravou na znečistenie pôd a dominantných rastlín arzénom.

## MATERIÁL A METÓDA

Obsah arzénu v pôdach (luvizeme, kambizeme) a v asimilačných orgánoch druhov *Quercus cerris* L., *Prunus spinosa* L. a *Melica uniflora* Retz. sa zistoval v segmentoch skupín typov geobiocenóz *Querci-Fageta typica* a *Fagi-Querceta typica* situovaných v tesnej blízkosti rýchlosnej cesty R1, v úseku Nitra – Tekovské Nemce (plochy G1–G4) a v pozadovej zóne vzdialenej 8 km od diaľnice (plocha G5). Základné údaje o plochách sú uvedené v práci /3/.

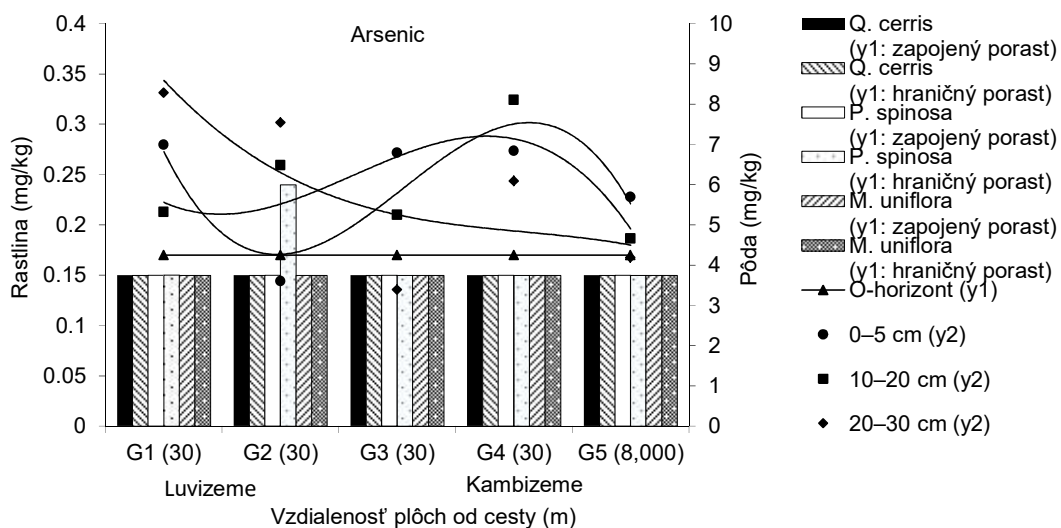
Odber vzoriek sa realizoval začiatkom júla 2016. Vzorky organických (O) horizontov pôd sa odoberali z každej geobiocenologickej plochy v troch opakovaniach. Vzorky minerálnej pôdy boli odobrané z hĺbok 0–5 cm, 10–20 cm a 20–30 cm. Pôdne vzorky sa vysušili na vzduchu, preosiali cez sito a následne sa v suspenzii jemnozemie stanovili hodnoty aktívnej reakcie pôdy potenciometricky, pomocou digitálneho pH-metra Inolab pH 720. Celkový obsah pôdneho arzénu (As) sa stanovil vo výluhu lúčavky kráľovskej metódou AAS-GTA na prístroji GBC SensAA.

Vzorky rastlín boli odobraté tak z okraja lesa, ako aj zo zapojeného porastu. Asimilačné orgány rastlín (listy druhov *Q. cerris* a *P. spinosa*; biele druhu *M. uniflora*) boli odoberané stratifikovaným výberom v troch opakovaniach (100 až 200 kusov jedincov). Celkové obsahy As vo vzorkách boli stanovené v extrakte koncentrovanej  $\text{HNO}_3$  metódou AAS-GTA na prístroji GBC SensAA.

Zo zistených koncentrácií prvkov sa vypočítali základné štatistické charakteristiky a vyhodnotenie výsledkov sa vykonalo v programe Statistica 9 (StatSoft, 2008). Vplyv vzdialenosť plôch od cesty na obsah As v pôdnich vrstvách bol analyzovaný regresnou metódou pomocou polynomických funkcií.

## VÝSLEDKY A DISKUSIA

V tesnej blízkosti cesty ako aj v referenčnej zóne bol obsah As v O-horizontoch pôd celkovo nízky ( $0,17 \pm 0,05 \text{ mg/kg}$ ). V luvizemiach (na plochách G1 a G2) jeho obsah vrcholil v 20–30 cm pôdnich vrstvach ( $7,54 \pm 2,4$  –  $8,28 \pm 2,6 \text{ mg/kg}$ ), avšak v kambizemiach (na plochách G3 až G5) sa vyššie hodnoty zistili v 0–5 cm minerálnej vrstve ( $5,69 \pm 1,8$  –  $6,84 \pm 2,2 \text{ mg/kg}$ ) a smerom k nižším minerálnym horizontom prevažne klesali ( $3,39 \pm 1,1$  –  $6,09 \pm 1,9 \text{ mg/kg}$ ). Variabilita arzénu v pôdach korešponduje s polynomickými funkciami tretieho stupňa, najmä v prípade 0–5 a 10–20 cm pôdnich vrstiev, s kulmináciou na plochách G1 a G4 (Obr. 1). Celkovo vyššie množstvo As zistené v 0–5 cm vrstvach pôd v blízkosti rýchlosnej cesty (plochy G1, G3 a G4) ilustruje znečistenie povrchových vrstiev zapríčinených automobilovou dopravou. Porovnávací výskum lesných porastov v Nemecku ukázal, že v neznečistenej lesnej pôde koncentrácia As narastala od organického (2–10 mg/kg) k minerálnemu horizontu (24 mg/kg). Naopak, v kontaminovanej pôde bol najvyšší obsah As v organickom horizonte (1700 mg/kg) a klesal s hĺbkou pôdneho profilu (50–70 mg/kg) /4/.



Obr. 1: Závislosť obsahu As v pôdnych vrstvach a rastlinných druhoch od vzdialosti lesných plôch od cesty ( $p \leq 0,05$ ).

Tab. 1: Priemerný obsah As v pôdach lesných plôch G1 až G5 (ANOVA, Fisher LSD test:  $F_{(4,15)}=0,2158$ ;  $p>0,05$ ).

Štatistické charakteristiky	G1	G2	G3	G4	G5
Aritmetický priemer ( $\text{mg kg}^{-1}$ )	5,19	4,45	3,90	5,30	3,68
Smerodajná odchýlka	3,6	3,3	2,8	3,5	2,4
Variačný koeficient	68,6	74,2	73,0	66,4	65,8

Štatistické charakteristiky priemerného obsahu arzénu v pôdach lesných ekosystémov sú uvedené v Tab. 1. Na plochách G1 a G4 boli súčasne zistené najvyššie priemerné hodnoty As v profiloch pôd, avšak rozdiely oproti ostatným plochám neboli významné. Hodnoty variačných koeficientov poukazujú na vysokú variabilitu As v pôdnych vrstvach. Priemerný obsah As v zemskej kôre je 1,8–2,5 mg/kg a pôdach sveta 6,83 mg/kg As. V uhlí kolíše obsah As v extrémnom rozsahu 0,5–80 mg/kg a v popolčeku dosahuje priemerne 60 mg/kg /5/. Pozadová (stredná) hodnota As v kambizemiach Slovenska spadá pod 6,9 mg/kg /6/.

Pohyb zlúčenín arzénu v pôdnom profile závisí najmä od fyzikálno-chemických vlastností pôdy (obsahu humusu, živín, vlhkosti, pôdnej reakcie) a klimatických podmienok. Vo vzťahu k pH sú pôdy skúmaných geobiocénóz vo vrstve 0–5 cm kyslé ( $\text{pH}_{\text{H}_2\text{O}} 4,6$ –5,5), v prípade geobiocénózy G3 až veľmi kyslé ( $\text{pH}_{\text{H}_2\text{O}} 4,4$ ), /3/. Vo všeobecnosti platí, že v kyslejších pôdach sa zvyšuje pohyblivosť As, najmä pri pH hodnotách pod 5, čím sa zvyšuje možnosť jeho odberu rastlinami. Výsledky ukázali, že vzdialenosť od cesty najvýraznejšie ovplyvnila obsah As v listoch druhu *P. spinosa* (0,24 mg/kg) a to na ploche G2 (Obr. 1). Na ostatných plochách, vrátane kontrolnej plochy G5 boli hladiny As značne podobné, nižšie ako 0,15 mg/kg. V listoch trnky na ploche G2 bol obsah As približne 2,4 násobne vyšší ako v literatúre uvádzaná hodnota pozadia (0,1 mg/kg) /7/. V pletivách dospelých listov činí normálny obsah As 1–1,7 mg/kg, nadbytočný až toxickej obsah As 5–20 mg/kg a tolerovateľný obsah As v poľnohospodárskych plodinách je 0,2 mg/kg /5/. Obsah As v rastlinách ovplyvňuje tiež akumulácia prachu, ktorej množstvo závisí od prănosti prostredia, tvaru a odenia povrchu rastlín /8/. Vplyv automobilovej dopravy a

kontaminácia ovzdušia polietavým popolom zo spaľovacích procesov môžu odrážať aj zvýšené obsahy As (približne o 50%) v ostatných druhoch rastlín. V oblasti Slovenského stredohoria boli napr. výrazne vyššie hodnoty As v listoch buka (0,13–0,26 mg/kg) zistené vo vzdialosti 1,5 km od hlinikárne v Žiari nad Hronom, zatiaľ čo 18 km od zdroja emisií činili len 0,03–0,09 mg/kg /9/.

## LITERATÚRA

- /1/ Kuklová, M., Kukla, J., Sýkora, A., Pivková, I.: Akumulácia As v pôde a v nadzemnej časti vybraných druhov bylín v bukových geobiocenózach = Accumulation of arsenic in soil and above ground part of selected herb species in beech geobioocoenoses. In Vliv abiotických a biotických stresorů na vlastnosti rostlin 2012. F. Hnilička, J. Novák, Z. Šlégrová. - Praha : Česká zemědělská univerzita, Výzkumný ústav rostlinné výroby, 2012: 77–81.
- /2/ Fazekašová, D., Barančíková, G., Torma, S., Ivanová, M., Manko, P.: Chemical an environmental aspects of the components of the environment and landscape. University of Prešov in Prešov, 2014: 257 pp. [In Slovak].
- /3/ Kuklová, M., Kukla, J., Hnilička, F., Hniličková, H., Pivková, I.: Obsah zinku v pôdach a v listoch druhu *Quercus cerris* L. začažených emisiami z rýchlosnej cesty = Zinc content in soils and *Quercus cerris* L. leaves loaded by emissions from expressway. In Vliv abiotických a biotických stresorů na vlastnosti rostlin 2017 : sborník recenzovaných vedeckých prací. - Praha ; Zvolen : Česká zemědělská univerzita v Praze : Ústav ekológie lesa Slovenskej akadémie vied, 2017: 69–73.
- /4/ Huang, J.H., Matzner, E.: Fluxes of inorganic and organic arsenic species in Norway spruce forest floor. Environmental pollution, 149, 2007: 201–208.
- /5/ Kabata-Pendias, A.: Trace elements in soil and plants. 4th ed. CRC Press, Boca Raton FL., 2011: 520 pp.
- /6/ Čurlík, J., Šefčík, P., Jambor, P.: Geochemický atlas SR, časť V. Pôdy, MŽP, Bratislava, 1999: 99 pp.
- /7/ Markert, B.: Instrumental multielement analysis in plant materials – a modern method in environmental chemistry and tropical systems research. Rio de Janeiro: CETEM/CNPq, (Série Tecnologia Ambiental, 8), 1995: 32 p.
- /8/ Jankowski K., Ciepiela A.G., Jankowska J., Szulc W., Kolczarek R., Sosnowski J., Wiśniewska-Kadžajan B., Malinowska E., Radzka E., Czeluściński W., Deska J.: Content of lead and cadmium in aboveground plant organs of grasses growing on the areas adjacent to a route of big traffic. Environmental Science and Pollution Research, 22, 2015: 978–987.
- /9/ Gašová K., Kuklová M., Kukla J.: Contents of nutrients and arsenic in litterfall and surface humus in mature nudal beech stands subjected to different emission-immission loads. Folia Oecologica, 44, 2017: 11–19.

## Poděkovanie

Táto práca bola podporovaná Vedeckou grantovou agentúrou MŠ SR a SAV (projekt č. 2/0005/17), S grantem MŠMT ČR.

## **OBSAH Ni, Cr A Hg VO VYBRANÝCH RASTLINNÝCH DRUHOCH NA STAREJ ENVIRONMENTÁLNEJ ZÁŤAŽI**

### ***CONTENT OF Ni, Cr AND Hg IN SELECTED PLANT SPECIES AT OLD ENVIRONMENTAL BURDEN***

Hana Ollerová<sup>1</sup>, Andrea Zacharová<sup>1</sup>, Andrea Diviaková<sup>2</sup>, Eva Michalková<sup>3</sup>

<sup>1</sup> Technická univerzita vo Zvolene, FEE, Katedra environmentálneho inžinierstva, T. G. Masaryka 24, 960 53 Zvolen, ollerova@tuzvo.sk; andrea.zacharova@tuzvo.sk

<sup>2</sup> Technická univerzita vo Zvolene, FEE, Katedra UNESCO pre ekologické vedomie a TUR, T. G. Masaryka 24, 960 53 Zvolen, diviakova@tuzvo.sk

<sup>3</sup> michalkova.evka@gmail.com

#### ***Summary***

Old environmental burdens represent a hidden threat to the abiotic and biotic components of the environment as well as to the human. The aim of the paper was to determine Ni, Cr and Hg in selected plant species that naturally colonized the black nickel mud dumps in Sered'. Black nickel mud is waste after the production of nickel and cobalt from imported Albanian iron ore. The risk elements in both plant biomass and black nickel mud were determined by the ICP-MS method. Highest values of Ni and Cr concentration were found in the roots of the species *Calamagrostis epigejos* and *Artemisia vulgaris*. In the above-ground biomass of species we recorded lower values of Ni and Cr. Mercury values were very low in all plant species. The amount of nickel in 2890 mg.kg<sup>-1</sup>, chromium more than 10000 mg.kg<sup>-1</sup> and mercury less than 0.05 mg.kg<sup>-1</sup> in the black nickel mud.

*Key words:* nickel, chromium, mercury, black nickel mud landfill, biomass, accumulation

#### ***Súhrn***

Staré environmentálne záťaže predstavujú skrytú hrozbu pre abiotické i biotické zložky prostredia a samozrejme aj pre samotného človeka. Cieľom príspevku bolo stanovenie Ni, Cr a Hg vo vybraných rastlinných druhoch, ktoré prirodzene osídliili skládku lúženca, ktorý vznikol v procese výroby niklu a kobaltu na báze dovážanej albánskej železoniklovej rudy v Seredi. Rizikové prvky v biomase rastlín i v samotnom lúženci boli stanovené metódou ICP-MS. Najvyššie hodnoty Ni aj Cr boli zistené v koreňoch druhov *Calamagrostis epigejos* a *Artemisia vulgaris*. V nadzemnej biomase sledovaných druhov sme zaznamenali nižšie hodnoty Ni a Cr. Hodnoty ortuti boli vo všetkých rastlinných druhoch veľmi nízke. V samotnom lúženci bola koncentrácia niklu 2890 mg.kg<sup>-1</sup>, chrómu viac ako 10000 mg.kg<sup>-1</sup> a ortuti menej ako 0,05 mg.kg<sup>-1</sup>.

*Kľúčové slová:* nikel, chróm, ortut', skládka lúženca, biomasa, kumulácia

## **ÚVOD**

Banské haldy, skládky priemyselných a teplárenských odpadov, hrádze odkalísk a pod. predstavujú zložité životné podmienky na prežitie rastlín, ktoré ich osídľujú. Rastliny sa musia totiž vyrovnať nielen s nepriaznivými mikroklimatickými podmienkami na stanovišti, ale aj s toxickejmi účinkami kovov obsiahnutých v substráte (zemine). Ich toxickej vplyv sa najčastejšie prejavuje spomaleným rastom /1/. Čažké kovy vo všeobecnosti

ovplyvňujú fyziologické procesy, ako napr. transpiračný prúd /2/, respiráciu, znižujú aktivitu enzýmov a syntézu proteínov alebo ovplyvňujú expresiu génov /3/.

Rastliny, ktoré sú prirodzene tolerantné voči vysokým koncentráciám tiažkých kovov, predstavujú väčšinou ekotypy a sú taxonomicky zaradené medzi variety, subspécie a pod. /4/. Tieto často predstavujú endemické populácie daného druhu. Zaujímavé je, že schopnosť rozvinúť toleranciu voči kovom je len časťou vývoja metal-tolerantného ekotypu. Ingram /5/ poukázal na existenciu druhov, ktoré sú sice tolerantné voči medi, ale nevyskytujú sa v miestach jej tiažby. Tieto druhy sú teda neschopné prispôsobiť sa iným nevyhovujúcim podmienkam prostredia. Evolúcia môže vyúsiť do lokálne adaptovaných ekotypov, ale pri dlhodobej expozícii sa vytvárajú edafické endemity – druhy schopné rásť na pôdach s istými fyzikálno-chemickými vlastnosťami. V niektorých prípadoch sú schopné takéto ekotypy druhov kumulovať v pletivách zvýšené koncentrácie rizikových prvkov obsiahnutých v zemine.

V príspevku sa venujeme obsahu rizikových prvkov, tiažkých kovov Ni, Cr a Hg, v nadzemnej a podzemnej biomase druhov *Robinia pseudoacacia*, *Artemisia vulgaris*, *Xanthium spinosum* a *Calamagrostis epigejos*, ktoré osídľujú skládku lúženca pri Seredi.

## MATERIÁL A METÓDA

Lúženec predstavuje odpad, ktorý vznikol pri výrobe niklu a kobaltu zo železoniklovej lateritickej rudy s obsahom 1 % Ni v tone /6/. Je to petrograficky homogénny materiál s prevahou frakcie pod 0,01mm (jemný a stredný prach s podielom 97%) čiernej farby. Jediná skládka tohto materiálu na Slovensku sa nachádza pri meste Sered' (okres Galanta) v nadmorskej výške 125 m n. m. Skládka má rozlohu 30 ha, pričom objem uloženého materiálu predstavuje 6,5 mil. t lúženca. Priemerná relatívna výška skládky dosahuje 18 m /7/.

Odber rastlinných vzoriek bol uskutočnený na skládke lúženca, ktorá vznikla pri výrobe niklu v niklovej hute, podľa normy STN 48 1001 v roku 2011 /8/. Boli odobraté 3 bylinky *Artemisia vulgaris*, *Xanthium spinosum* a *Calamagrostis epigejos*, nadzemná i podzemná biomasa a listy a konáriky z dreviny *Robinia pseudoacacia*. Rastlinné vzorky boli vysušené v laboratórnych podmienkach a zomleté na guľovom mlyne pri frekvencii 25 Hz. Čas mletia pre listy bol 2 min. a pre konáriky 4 min. Vo vzorkách boli metódou ICP-MS stanovené Ni, Cr, Hg. Navážka 1 g vzorky bola najskôr lúhovaná v 2 M HNO<sub>3</sub>, potom bolo pridaných po 2 ml HCl, HNO<sub>3</sub> a H<sub>2</sub>O, pričom vzniknutá zmes bola vystavená teplote 95 °C po dobu ďalšej hodiny. Po zriedení do 20 ml bola vzorka analyzovaná.

Zmiešaná, reprezentatívna vzorka lúženca bola odobraná z nezrekultivovanej časti skládky so sporadickejmi ostrovmi spontánne sa šíriacej vegetácie. Metódou ICP-MS boli vo vzorke stanovené prvky – Ni, Cr a Hg. Rozklad a analýza vzoriek rastlín a lúženca sa realizoval v akreditovanom laboratóriu Acme Analytical Laboratories Ltd. V Kanade.

Kvantitatívne hodnotenie miery kumulácie sme urobili pomocou dvoch koeficientov:

- translokačný (TK), ktorý vyjadruje podiel obsahu prvku v listoch a koreňoch /9/. TK vyšší ako jedna odzrkadľuje schopnosť prenosu prvku do nadzemných častí biomasy.
- akumulačný (AK) ako podiel obsahu prvku v listoch k celkovému obsahu prvku v substráte /9/. Pomocou AK môžeme identifikovať druhy schopné fytoextrakcie.

## VÝSLEDKY A DISKUSIA

Vo vzorke lúženca sme stanovovali koncentráciu rizikových prvkov s výrazným environmentálnym impaktom – nikel, chróm a ortuť. Koncentrácia niklu bola 2890 mg.kg<sup>-1</sup> a množstvo Cr bolo vyššie ako 10000 mg.kg<sup>-1</sup>. Koncentrácia Hg bola nižšia ako medza stanoviteľnosti (menej ako 0,05 mg.kg<sup>-1</sup>). Michaeli et al. /7/ uvádzajú, že v antrozemiach skládky sa hodnoty niklu pohybujú v rozsahu 198 – 3151 mg.kg<sup>-1</sup> a chrómu v rozpäti od 1443 do 24 300 mg.kg<sup>-1</sup>.

Na nezrekultivovanej časti haldy priemyselného odpadu, lúženca, boli odobrané vzorky 4 rastlinných druhov. Obsah kovov Ni, Cr a Hg v nadzemnej a podzemnej časti biomasy je uvedený v tab. 1.

Tab. 1: Priemerné koncentrácie vybraných prvkov v biomase rastlinných druhov ( $\text{mg} \cdot \text{kg}^{-1}$ )\*

Rastlinný druh	Ni	Cr	Hg
<i>Robinia pseudoacacia</i> , listy	10,0	6,0	0,037
<i>Robinia pseudoacacia</i> , konáriky	12,7	6,8	0,032
<i>Artemisia vulgaris</i> , biele a listy	12,6	21,5	0,009
<i>Artemisia vulgaris</i> , korene	164,1	551,7	0,033
<i>Xanthium spinosum</i> , biele a listy	46,4	170,8	0,017
<i>Xanthium spinosum</i> , korene	68,3	259,5	0,055
<i>Calamagrostis epigejos</i> , biele a listy	77,9	298,1	0,094
<i>Calamagrostis epigejos</i> , korene	429,2	1873,9	0,058

\* Relatívna smerodajná odchýlka paralelných analýz nepresahuje 10 %.

Hodnoty niklu v rastlinách sú dosť variabilné. Najvyššie hodnoty sa vyskytujú v korenoch dvoch druhov bylín *Calamagrostis epigejos* ( $429,2 \text{ mg} \cdot \text{kg}^{-1}$ ) a *Artemisia vulgaris* ( $164,1 \text{ mg} \cdot \text{kg}^{-1}$ ).

Najnižšie hodnoty sa vyskytli v listoch a konárikoch agáta (*Robinia pseudoacacia*) –  $10,0$  a  $12,7 \text{ mg} \cdot \text{kg}^{-1}$ . Pri chróme sme tak isto najvyššie hodnoty zaznamenali v korenoch bylín. Maximálna hodnota  $1873,9 \text{ mg} \cdot \text{kg}^{-1}$  bola zaznamenaná u druhu *Calamagrostis epigejos*. Druhá najvyššia hodnota bola nameraná u druhu *Artemisia vulgaris*  $551,7 \text{ mg} \cdot \text{kg}^{-1}$ . Veľmi nízke hodnoty boli opäť zistené v listoch a konárikoch *Robinia pseudoacacia*. Koncentrácie ortuti sú veľmi nízke, pohybujú sa v intervale od  $0,009$  do  $0,094 \text{ mg} \cdot \text{kg}^{-1}$ .

Obsah sledovaných kovov v biomase druhov zo skládky lúženca odzrkadľuje vyššie hodnoty týchto prvkov v antropogénnom substráte. Beneš /10/ uvádza v sene z trvalých trávnych porastov obsah chrómu  $1,66 \text{ mg} \cdot \text{kg}^{-1}$  a ortuti  $0,023 \text{ mg} \cdot \text{kg}^{-1}$ . Podobne aj Marušková /11/ udáva z haldy Šobov (po ťažbe kremence v oblasti Štiavnických vrchov) v nadzemnej biomase *Calamagrostis epigejos* omnoho nižšie koncentrácie kovov: obsah niklu  $0,5 \text{ mg} \cdot \text{kg}^{-1}$ , chrómu  $1,4 \text{ mg} \cdot \text{kg}^{-1}$  a ortuti  $0,038 \text{ mg} \cdot \text{kg}^{-1}$ .

*Artemisia vulgaris* aj *Calamagrostis epigejos* patria medzi druhy, ktoré bežne osídlujú banské haldy, či inak narušené miesta. Najmä *Calamagrostis epigejos* sa zvykne na takýchto biotopoch správať natol'ko expanzívne, že výrazne spomáluje nástup ďalších druhov. Je to druh, ktorý je schopný rásť v zložitých podmienkach, ale jeho akumulačný potenciál je veľmi nízky (tab. 2).

Tab. 2: Translokačný koeficient (TK) a akumulačný koeficient (AK) pre vybrané rastlinné druhy

Rastlinný druh	Ni		Cr	
	TK	AK	TK	AK
<i>Robinia pseudoacacia</i>	-	0,003	-	$> 0,0006$
<i>Artemisia vulgaris</i>	0,077	0,004	0,39	$> 0,002$
<i>Xanthium spinosum</i>	0,68	0,020	0,66	$> 0,017$
<i>Calamagrostis epigejos</i>	0,18	0,030	0,16	$> 0,030$

Na základe tab. 2 môžeme konštatovať, že vypočítané hodnoty oboch koeficientov neprevyšujú ani v jednom prípade hodnotu 1, z čoho vyplýva, že v nadzemnej biomase

sledovaných rastlinných druhov nedochádza k zvýšenej kumulácii rizikových prvkov a teda nemajú fytoextrakčný potenciál. Keďže ide o druhy nastupujúce v rámci primárnej sukcesie, môžeme predpokladať, že sa dokážu adaptovať na lokálne podmienky a plnia tak fytostabilizačnú úlohu a obmedzujú eróziu, zlepšujú fyzikálno-chemické vlastnosti antrozeme skládky, a zlepšujú mikroklimatické charakteristiky prostredia.

## LITERATÚRA

- /1/ Hu, Y. F., Zhou, G., Na, X. F., Yang, L., Nan, W. B., Liu, X. et al.: Cadmium interferes with maintenance of auxin homeostasis in *Arabidopsis* seedlings. In *J Plant Physiol.*, 170, 2013: :965–975.
- /2/ Ying, R. R., Qiu, R. L., Tang, Y. T., Hu, P. J., Qiu, H., Chen, H. R. et al.: Cadmium tolerance of carbon assimilation enzymes and chloroplast in Zn/Cd hyperaccumulator *Picris divaricata*. In *J Plant Physiol.*, 167, 2010: 81–87.
- /3/ Madhava Rao, K. V.: Introduction. In Madhava Rao, K. V., Raghavendra, A. S., Janardhan Reddy, K. (eds.). *Physiology and Molecular Biology of Stress Tolerance in Plants*. Dordrecht : Springer, 2006: 1 – 14.
- /4/ Brooks, R. R.: *Plants that hyperaccumulate heavy metals*. CAB International, 1998: 357 s.
- /5/ Ingram, C.: *The evolutionary basis of ecological amplitude of plant species*. PhD. dissertation, Liverpool University, 1988.
- /6/ Kalebáč, O., Souček, V., Had, A.: Výroba chrómového surového železa z lúžencového aglomerátu. In *Hutnické listy*, 10, 1987: 705-711.
- /7/ Michaeli, E., Boltižiar, M., Solár, V., Ivanová, M.: Skládka priemyselného odpadu lúženca ako príklad environmentálnej záťaže pri bývalej Niklovej hute v Seredi. In *Životné prostredie*, 46, 2012: 63-68.
- /8/ STN 48 1001. Odber vzoriek asimilačných orgánov na zisťovanie zdravotného stavu lesa.
- /9/ Sasmaz, A., Obek, E., Hasar, H.: The accumulation of heavy metals in *Typha latifolia* L. grown in a stream carrying secondary effluent. In *Ecological engineering*, 33, 2008: 278-284.
- /10/ Beneš, S.: *Obsahy a bilance prvkov ve sférach životního prostředí*. II. část. Praha : Ministerstvo zemědělství České republiky, 1994: 159 s. ISBN 80-7084-090-0
- /11/ Marušková, A.: *Flóra a vegetácia na pôdach starých environmentálnych záťaží v regióne Banská Štiavnica*, 2011: 123 s. ISBN 978-80-228-2234-3

## Poděkovanie

Príspevok bol podporený vedeckou grantovou agentúrou VEGA, projekt č. 1/0111/18 a 1/0096/16.

## DIVERZITA PRIEDUCHOV DVOCH TAXÓNOV TRVÁCICH BIOENERGETICKÝCH TRÁV

### **DIVERSITY OF STOMATA OF TWO TAXA PERENNIAL BIOENERGY GRASSES**

Žaneta Pauková<sup>1</sup>, Zuzana Jureková<sup>2</sup>

Slovenská poľnohospodárska univerzita v Nitre, Fakulta európskych štúdií a regionálneho rozvoja,

<sup>1</sup> Katedra ekológie, Mariánska 10, 949 01 Nitra, +421 37 641 5620, zaneta.paukova@uniag.sk

<sup>2</sup> Katedra regionálnej bioenergetiky, Nábrežie mládeže 85, 949 01 Nitra, +421 37 641 5616,  
zuzana.jurekova@uniag.sk

#### **Summary**

In this study the difference of stomata were determined on two taxa of bioenergy grasses *Arundo donax* L. and *Miscanthus sinensis* × *giganteus* (Geef et Deu) by microrelief method. Shape and number of stomata on the adaxial and abaxial side leaves, morphometric features and size of leaf area were evaluated on arable land in South-Western Slovakia. The statistical analysis confirmed the dependence of the number of stomata on the adaxial and abaxial skin surfaces ( $LSD_{0,05\text{test}} \pm 14.55; 29.02$ ). Morphometric characteristics: length and width of the stomata ( $\mu\text{m}$ ) between the observed taxa and the number of stomata of the leaves on cardinal points were different. Between the number of stomata ( $\text{mm}^{-2}$ ) and leaf area ( $\text{mm}^{-2}$ ) ( $r = 0.29; 0.29$ ), between the length of the stomata and their width ( $r = 0.15; 0.10$ ) were observed low correlations for both observed taxa.

**Key words:** *stomata, number of stomata, Arundo donax, Miscanthus sinensis* × *giganteus, morphometric characteristics*

#### **Súhrn**

V práci sme sledovali odlišnosť prieduchov dvoch taxónov bioenergetických tráv *Arundo donax* L. a *Miscanthus sinensis* × *giganteus* (Geef et Deu) mikroreliefovou metódou. Na listoch rastlín dopestovaných v polných podmienkach juhozápadného Slovenska sme hodnotili tvar a počet prieduchov adaxiálnej a abaxiálnej pokožky, morfometrické znaky a veľkosť listovej plochy. Štatistická analýza potvrdila závislosť počtu prieduchov na adaxiálnom a abaxiálnom povrchu pokožky ( $LSD_{0,05\text{test}} \pm 14,55; 29,02$ ). Z hodnotenia morfometrických znakov vyplývajú rozdiely v dĺžke a šírke prieduchov ( $\mu\text{m}$ ) medzi hodnotenými taxónmi a závislosť počtu prieduchov na orientácii listov k svetovým stranám. Nízke korelačné závislosti sme zistili medzi počtom prieduchov ( $\text{mm}^{-2}$ ) a veľkosťou plochy listu ( $\text{mm}^{-2}$ ) ( $r=0,29; 0,29$ ) a medzi dĺžkou prieduchov a ich šírkou u obidvoch sledovaných taxónov ( $r=0,15; 0,10$ ).

**Kľúčové slová:** *prieduchy, počet prieduchov, Arundo donax, Miscanthus sinensis* × *giganteus, morfometrické charakteristiky*

## **ÚVOD**

Prieduchy majú bazálnu úlohu v najdôležitejších funkčných prejavoch rastlín, akými sú fotosyntéza a transpirácia. Ich morfológia a funkcia sa venuje veľa pozornosti aj preto, lebo hustota a veľkosť prieduchov indikujú aklimáciu a adaptáciu druhov na rozmanité environmentálne podmienky /2/. Význam ich štúdia narastá aj v súvislosti s predpovedami globálnych klimatických zmien, ktoré naznačujú zvýšenie výskytu sucha, extrémnych teplôt

aj koncentrácie tzv. skleníkových plynov. Zvýšenie koncentrácie CO<sub>2</sub> spôsobuje zníženie hustoty prieduchov u tráv, zmenu ich vodného režimu a potenciál ich adaptácie. V prírodnom prostredí ovplyvní klimatická zmena distribúciu mnohých pôvodných druhov, naruší biodiverzitu a potravový reťazec voľne žijúcich zvierat. V súčasnosti sa viacero druhov tráv pestuje na poľnohospodárskej pôde kvôli rýchlemu rastu a schopnosti tvoriť mohutnú biomasu, ktorá sa využíva v bioenergetike /15/. V Európe sa za perspektívny druh považuje *Miscanthus sinensis* (ozdobnica čínska) trváca rizomatázna tráva pôvodom z východnej Ázie, kde je naturalizovaná v širokom klimatickom rozmedzí /3, 7, 13/. *Arundo donax* (trsteník obyčajný) trváca výbežkatá tráva je naturalizovaná v oblastiach okolo Stredozemného mora, kde rastie spontánne a je hojne rozšírená /1, 11/. Na výrobu biomasy je využívaná v subtropických a teplých temperátnych oblastiach, avšak pestovať ju možno najmä pri nižších zemepisných šírkach. Pre prognózy realizácie ich produkčného potenciálu v konkrétnom regióne je potrebná identifikácia základných ekofyziologických vlastností a ich zmien v dôsledku pôsobenia faktorov prostredia. Tvar orgánov, najmä listov často vypovedá o schopnosti adaptovať sa na environmentálne podmienky. Z nich najmä hustota ožiarenia, sucho, extrémne teploty, menia anatómiu a morfológiu listov, hrúbku pokožky, hustotu, veľkosť a otvorenosť prieduchov (stomat). Hustota prieduchov je relatívne plastický znak, ktorý je potenciálne prispôsobivý k zmenám životného prostredia /6, 10/.

V príspevku predstavujeme výsledky štúdia dvoch taxónov energetických tráv pestovaných v podmienkach juhozápadného Slovenska z hľadiska plochy listov, hustoty a veľkosti prieduchov na adaxiálnej a abaxiálnej pokožke ako aj biometrické hodnotenie znakov *Arundo donax* a *Miscanthus sinensis × giganteus*.

## MATERIÁL A METÓDA

**Vymedzenie záujmového územia.** Výskum sa uskutočnil na poľnej pokusnej báze Vysokoškolského poľnohospodárskeho podniku Slovenskej poľnohospodárskej univerzity (SPU), s.r.o. v Kolíňanoch na juhozápadnom Slovensku, 13 km od Nitry (48° 21' 20" S, 18° 12' 23" V). Hlavná pôdna jednotka je fluvizem glejová, podľa zrnitosti patrí k stredne tăžkým pôdam /4, 5/.

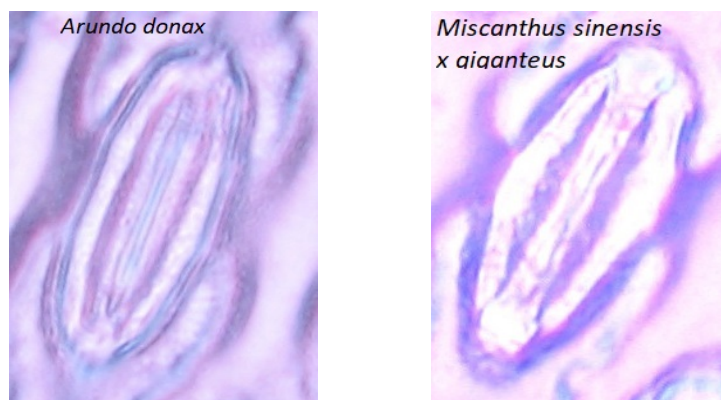
**Organizácia pokusov.** V roku 2016 bol založený poľný pokus výsadbou druhu *A. donax*. Pokusné stanovište bolo v roku výsadby (2016) neobhospodarované. Herbicídy sa neaplikovali. Pred založením pokusu bolo aplikované priemyselné hnojivo 100 kg .ha<sup>-1</sup> N, 60 kg.ha<sup>-1</sup> K, 30 kg.ha<sup>-1</sup> P. Na jar bola pokusná plocha pripravená na výsadbu kyprením do hĺbky 20 cm. Sadenice boli pripravené v Arundo Celluloz farming kft. Hungaria, technológiou *in vitro*. Pred výсадbou boli rastliny aklimatizované v skleníku Botanickej záhrady SPU v Nitre.. Rastliny sme vysadili ručne v spone 1,0 x 1,0 m /8/. V roku 2010 bol založený poľný pokus výsadbou genotypu *M. sinensis × giganteus* v spone 1,0 x 1,0 m na ploche 100 m<sup>2</sup> /5/.

**Charakteristiky adaxiálnej a abaxiálnej pokožky.** Použili sme mikroreliefovú metódu podľa /9/ Mikroreliéfy sme odoberali na 5 a 6 liste v strednej časti listu (mimo hlavného nervu) z adaxiálneho a abaxiálneho povrchu vo vegetačnom období roku 2017. Hustotu a veľkosť prieduchov (dĺžku a šírku v µm) sme hodnotili pomocou optického mikroskopu Axiostar plus, Carl Zeiss, objektívom CP-Achromat 40×/0,65, okulár PI 10×/18, softvérom Canon Utilities Zoom Brower Ex 4.6 a hardware Acer Travel Mate 4600, Canon Power Shot A 95. V odbere sa spracovalo 3 x 72 vzoriek. Preparáty boli hodnotené v laboratóriu Aplikovanej ekológie vo výskumnom centre AgroBioTech v Nitre. Hustotu prieduchov sme vyhodnotili na ploche 1 mm<sup>-2</sup> zo vzťahu: F = z / a<sup>2</sup> štruktúr, F = hustota prieduchov, z = počet štruktúr, a<sup>2</sup> = plocha štvorca (1 mm<sup>-2</sup>). **Veľkosť listovej plochy** (mm<sup>-2</sup>) sme sledovali deštrukčnou metódou na 5 a 6 liste od povrchu pôdy pomocou prístroja Area Meter AM300.

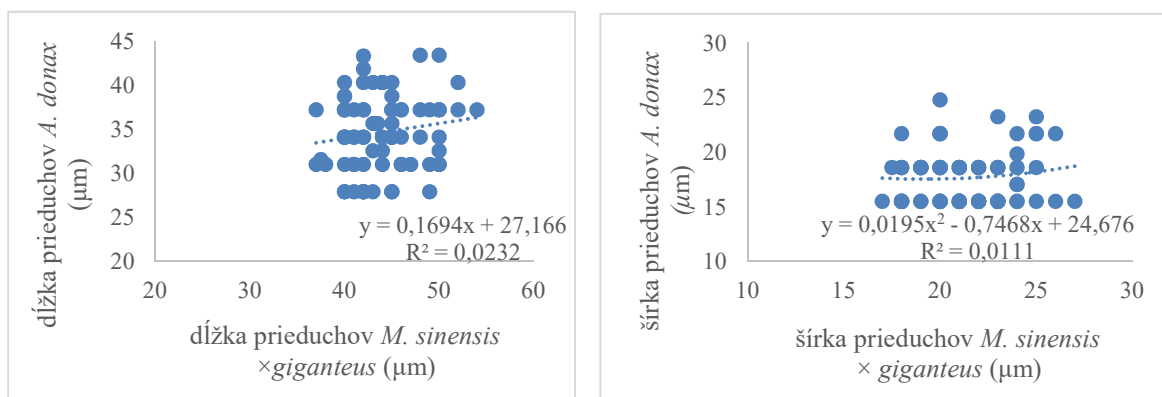
**Štatistická analýza** - základné štatistické hodnotenie sme realizovali v prostredí programu Statgraphics Centurion. Pri analýze hustoty prieduchov sme na testovanie rozdielov medzi sledovanými faktormi použili viacfaktorovú analýzu rozptylu, štatisticky preukazné rozdiely sa testovali LSD testom.

## VÝSLEDKY A DISKUSIA

Charakteristiky pokožky a prieduchového aparátu - Analýza mikroreliefov dovolila hodnotiť usporiadanie a tvary prieduchov skúmaných druhov a potvrdila (obr. 1), že prieduchy sú typu *Graminae* so zatváracími bunkami piškotovitého tvaru usporiadane v pravidelných radoch. Výsledky hodnotenia priemerného počtu prieduchov na odlišných stranach pokožky poukázali na väčšiu variabilitu u ozdobnice čínskej 142/345 (adax/abax) v porovnaní s trsteníkom 203/256 (adax/abax). Štatistická analýza potvrdila, že počet prieduchov skúmaných taxónov bol štatisticky významne ovplyvnený adaxiálnym a abaxiálnym povrchom pokožky ( $LSD_{0,05\text{test}} \pm 14,55; 29,02$ ). Tieto údaje korešpondujú s našimi štúdiami na dvoch genotypoch energetických tráv *M. sinensis* (Tatai) a *M. sinensis* × *giganteus* /5/. Podobné výsledky boli potvrdené aj z iných klimatických regiónov, kde autori /14/ našli koreláciu medzi počtom prieduchov adaxiálneho a abaxiálneho povrchu aj v závislosti na nadmorskej výške. Počet prieduchov na adaxiálnej strane pokožky *Miscanthus* z vysokohorských lokalít bol v porovnaní s nížinnými lokalitami preukazne nižší. Pokožka *A. donax* bola hodnotená aj v práci britských autorov /12/, pričom počet prieduchov na  $\text{mm}^{-2}$  bol výrazne heterogénny (59 až 511).



Obr. 1: Prieduch adaxiálnej pokožky listu *Arundo donax* a *Miscanthus sinensis* × *giganteus*



Graf. 1: Biometrické hodnotenie vzťahov medzi dĺžkou a šírkou prieduchov ( $\mu\text{m}$ ) *Arundo donax* a *Miscanthus sinensis* × *giganteus*

Medzi dĺžkou prieduchov *A. donax* a *M. sinensis × giganteus* sme zistili nízku korelačnú závislosť ( $r=0,15$ ), rovnako aj medzi šírkou prieduchov ( $r=0,10$ ) (Graf 1).

Z hodnotenia morfometrických znakov prieduchov (Tab. 1-3) vyplynulo, že najväčšiu dĺžku prieduchov *A. donax* mali listy orientované na východ (Tab. 2) a pri genotype *M. sinensis × giganteus* na juh a sever (Tab. 3).

*Tab: 1: Morfometrické charakteristiky prieduchov adaxiálnej a abaxiálnej pokožky Arundo donax a Miscanthus sinensis × giganteus*

	<i>Arundo donax</i>		<i>Miscanthus sinensis × giganteus</i>	
	Dĺžka prieduchov (μm)	Šírka prieduchov (μm)	Dĺžka prieduchov (μm)	Šírka prieduchov (μm)
<b>Adaxiálna pokožka</b>	<b><math>44,5 \pm 4,62</math></b>	<b><math>20,9 \pm 2,56</math></b>	<b><math>35,6 \pm 1,90</math></b>	<b><math>19,2 \pm 0,50</math></b>
<b>Abaxiálna pokožka</b>	<b><math>43,2 \pm 3,01</math></b>	<b><math>21,7 \pm 2,22</math></b>	<b><math>32,2 \pm 1,15</math></b>	<b><math>16,7 \pm 0,78</math></b>

*Tab: 2: Morfometrické charakteristiky prieduchov adaxiálnej a abaxiálnej pokožky Arundo donax v závislosti na svetových stranách*

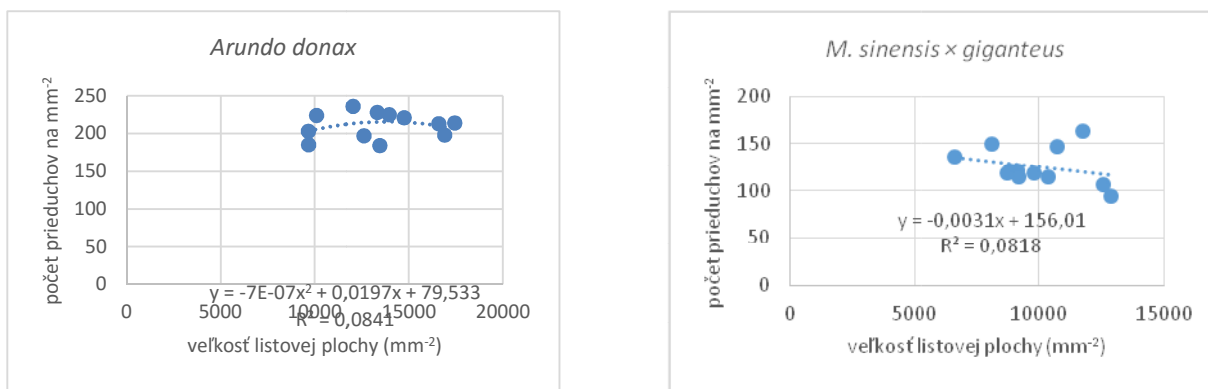
	Orientácia listu v trse							
	Sever		Juh		Východ		Západ	
	Dĺžka (μm)	Šírka (μm)						
<b>Adaxiálna pokožka</b>	<b><math>44,2 \pm 4,18</math></b>	<b><math>18,8 \pm 1,50</math></b>	<b><math>44,8 \pm 6,00</math></b>	<b><math>22,4 \pm 2,51</math></b>	<b><math>45,1 \pm 3,37</math></b>	<b><math>22,8 \pm 1,99</math></b>	<b><math>43,9 \pm 4,94</math></b>	<b><math>19,4 \pm 1,51</math></b>
<b>Abaxiálna pokožka</b>	<b><math>42,6 \pm 2,46</math></b>	<b><math>21,3 \pm 2,24</math></b>	<b><math>43,0 \pm 3,00</math></b>	<b><math>21,3 \pm 1,94</math></b>	<b><math>44,9 \pm 3,69</math></b>	<b><math>22,2 \pm 2,11</math></b>	<b><math>42,4 \pm 2,51</math></b>	<b><math>22,1 \pm 2,76</math></b>

*Tab: 3: Morfometrické charakteristiky prieduchov adaxiálnej a abaxiálnej pokožky Miscanthus sinensis × giganteus v závislosti na svetových stranách*

	Orientácia listu v trse							
	Sever		Juh		Východ		Západ	
	Dĺžka (μm)	Šírka (μm)						
<b>Adaxiálna pokožka</b>	<b><math>33,7 \pm 3,12</math></b>	<b><math>19,8 \pm 2,99</math></b>	<b><math>38,6 \pm 3,45</math></b>	<b><math>18,6 \pm 2,83</math></b>	<b><math>35,7 \pm 1,79</math></b>	<b><math>19,0 \pm 1,78</math></b>	<b><math>37,5 \pm 3,33</math></b>	<b><math>19,2 \pm 2,09</math></b>
<b>Abaxiálna pokožka</b>	<b><math>33,6 \pm 5,17</math></b>	<b><math>16,4 \pm 1,50</math></b>	<b><math>32,5 \pm 3,88</math></b>	<b><math>17,8 \pm 2,45</math></b>	<b><math>31,5 \pm 1,80</math></b>	<b><math>16,3 \pm 1,32</math></b>	<b><math>31,0 \pm 3,27</math></b>	<b><math>16,1 \pm 1,31</math></b>

Štatisticky preukázaný rozdiel sme potvrdili pri počte prieduchov listov *A. donax* medzi jednotlivými svetovými stranami ( $LSD_{0,05} \text{ test} \pm 17,22$ ), s výnimkou východu a západu. Pri genotype *M. sinensis × giganteus* sme zaznamenali štatisticky preukázaný rozdiel medzi listami orientovanými na východ a sever ( $LSD_{0,05} \text{ test} \pm 29,62$ ), východ a juh ( $LSD_{0,05} \text{ test} \pm 17,77$ ), východ a západ ( $LSD_{0,05} \text{ test} \pm 23,70$ ).

Nízke korelačné závislosti medzi počtom prieduchov na  $\text{mm}^{-2}$  ( $r=0,29$ ) a veľkosťou listovej plochy v  $\text{mm}^{-2}$  ( $r=0,29$ ) sme zaznamenali u obidvoch sledovaných taxónov (Graf 2).



Graf 2: Biometrické hodnotenie vzťahov medzi počtom prieduchov na mm<sup>-2</sup> a veľkosťou listovej plochy v mm<sup>-2</sup> Arundo donax a Miscanthus sinensis × giganteus

## LITERATÚRA

- /1/ Angelini, L., G., Ceccarini, L., Bonari, E.: Biomass yield and energy balance of giant reed (*Arundo donax* L.) cropped in central Italy as related to different management practices. Eur. J. Agron., 22, 2005: 375-389.
- /2/ Franks, P. J., Drake, P. L., Beerling, D. J.: Plasticity in maximum stomatal conductance constrained by negative correlation between stomatal size and density: an analysis using *Eucalyptus globulus*. Plant Cell Environ., 32, 2009: 1737-1748.
- /3/ Heaton, E. et al.: *Miscanthus*: A promising Biomass crop. Advances in Botanical research, 56, 2010: 76-124.
- /4/ Jureková, Z., Kotrla, M., Pauková, Ž.: Life cycle of *Miscanthus × giganteus* (Greif et Deu) grown in South-Western Slovakia conditions. Acta regionalia et environmentalica. 10, 2, 2013: 40-43.
- /5/ Jureková, Z., Kotrla, M., Pauková, Ž., Prčík, M.: The growth and yield of different *Miscanthus* genotypes in the conditions of South-Western Slovakia. Acta regionalia et environmentalica, 9, 2, 2012: 29-34.
- /6/ Lake, J. A., Woodward, F. I.: Response of stomatal numbers to CO<sub>2</sub> and humidity: control by transpiration rate and abscisic acid. New Phytologist, 2008: 397-404.
- /7/ Lewandowski, I., Scurlock, J.M.O., Lindwal, E., Christou, M.: The development and current status of perennial rhizomatous grasses as energy crops in the US and Europe. Biomass&Bioenergy, 25, 2003: 335-336.
- /8/ Pauková, Ž., Jureková, Z.: Rast a tvorba biomasy sadeníc *Arundo donax* na juhozápadnom Slovensku. Fast-growing trees and plants growing for energy purposes. 2017.
- /9/ Pazourek, J.: Studium listové epidermis mikroreliefovou metodou. Preslia, 35, 1963: 210-216.
- /10/ Richardson, A. D., Ashton, P.M.S., Berlyn, G. P., McGrody, M. E., Cameron, I. R.: Within – crown foliar plasticity of western hemlock, *Tsuga heterophylla*, in relation to stand age. Annals of Botany, 88, 2001: 1007-1015.
- /11/ Rossa, B., Tuffers, A.V., Naidoo, G., von Willert, D. J.: *Arundo donax* L. (Poaceae) – a C3 species with unusually high photosynthetic capacity. Bot. Acta, 111, 1998: 216-221.
- /12/ Taylor, S. H. et al. : Photosynthetic pathway and ecological adaptation explain stomatal trait diversity amongst grasses. New Phytologist, 2012: 387-396.
- /13/ Vogel, K.P., Jung, H.G. Genetic modification of herbaceous plants for feed and fuel. Critical Reviews in Plant Sciences, 20, 2001: 15-49.
- /14/ Weng, J. H., Hsu, F. H.: Gas exchange and epidermal characteristics of *Miscanthus* populations in Taiwan varying with habitats and nitrogen application. Photosynthetica, 39, 1, 2001: 35-41.
- /15/ Woodward, F. I., Kelly, C. K.: The influence of CO<sub>2</sub> concentration on stomatal density. New Phytologist Trust, 1995: 311-327.

## Poděkovanie

Táto práca bola podporovaná Agentúrou VEGA pod registračným číslom projektu 1/0767/17 a projektom AgroBioTech ITMS 26220220180.

## **HODNOTENIE VPLYVU EXTRAKTU VÝHONKOV REPY CUKROVEJ NA KLÍČIVOSŤ A RAST PŠENICE LETNEJ**

### ***STUDY ON ALLELOPATHY OF SUGAR BEET SHOOT EXUDATES ON GERMINATION AND GROWTH OF WHEAT***

Beáta Piršelová, Libuša Lengyelová, Ludmila Galuščáková, Roman Kuna  
 Univerzita Konštantína filozofa v Nitre, Fakulta prírodných vied, Katedra botaniky a genetiky,  
 Nábrežie Mládeže 91, 949 74 Nitra, Slovenská republika, e-mail: bpirselova@ukf.sk

#### *Summary*

The experiment was carried out to test the allelopathic effects of sugar beet (*Beta vulgaris*, cv. Tatry) shoot extracts (5 and 10 g / l) on germination and growth of roots of three varieties of wheat (*Triticum aestivum*, cv. IS Spirella, cv. IS Mandala and cv. IS Laudis). The germination of seeds of the tested wheat varieties was inhibited by 16-23 %. The given inhibitory effect was manifested in both the germination and root growth phase, we recorded the reduction of the root length and the decrease of the fresh weight of all tested varieties. On the other hand, by applying the dry matter of the shoots to the soil substrate at doses of 10 and 20 g/kg of soil, we observed the stimulation effect on the growth of wheat cv. IS Mandala, which resulted in an increase of length of the shoots and an increase in chlorophyll a by 39 %, chlorophyll b by 27 % and carotenoids by 35,5 % (due to a higher dose). The obtained results can contribute to the correct choice of agro-ecological practices for wheat production.

*Key words:* sugar beet, wheat, allelopathy, growth

#### *Súhrn*

Experimenty boli zamerané na hodnotenie alelopatických účinkov extraktov výhonkov (5 a 10 g/l) repy cukrovej (*Beta vulgaris*, cv. Tatry) na klíčenie a rast koreňov troch odrôd pšenice letnej (*Triticum aestivum*, cvs. IS Spirella, IS Mandala a IS Laudis). Klíčivosť semien testovaných odrôd pšenice bola inhibovaná o 16-23 %. Daný inhibičný účinok sa prejavil vo fáze nakličovania aj na raste koreňov, zaznamenali sme skrátenie koreňov a pokles ich čerstvej hmotnosti. Aplikáciou sušiny výhonkov do pôdneho substrátu v dávkach 10 a 20 g/kg pôdy sme zaznamenali naopak stimulačný účinok na rast pšenice cv. IS Mandala, ktorý sa prejavil nárastom výhonkov a zvýšením obsahu chlorofylu a o 39 %, chlorofylu b o 27 % a karotenoidov o 35,5 % (vplyvom vyššej dávky). Získané výsledky môžu prispieť k správnej voľbe agroekologických postupov pri pestovaní pšenice.

*Kľúčové slová:* repa, pšenica, alelopatia, rast

## **ÚVOD**

Jednou z možností zvýšenia produktivity plodín je využitie vzájomných interakčných vzťahov medzi rastlinami, známych pod pojmom alelopatia /1/. Alelopatiou je všeobecne označovaný špecifický vplyv jedného druhu rastlín na klíčenie, rast a vývoj iného druhu prostredníctvom tzv. alelochemikálií /2/.

Alelopatická inhibícia je komplexná a zahŕňa interakciu rôznych chemických látok, pričom ich účinok je zvyčajne nešpecifický: nízka koncentrácia a krátkodobý účinok stimuluje všetky procesy, pri vyššej koncentráции a dlhšom pôsobení je životná aktivita potlačená, až zastavená. Alelopatiu ako prostriedok súťaživosti využíva mnoho rastlín

s cieľom získať výhody v kompetenčných vzťahoch, pričom alelopatické účinky sa často prejavujú aj na necielených druhoch /2/.

Výsledky štúdií vplyvu alelopatických účinkov rastlín na rast iných rastlín sú často kontroverzné, nakoľko konečný efekt alelopatie závisí od množstva pôsobiacich aleochemikálií a tiež od aktuálnych podmienok prostredia (napr. vlhkosť a zloženie pôdy, hustota porastu, množstvo svetla atď.) a tiež od vývinového štádia akceptorovej rastliny /3/.

Aleochemikálie repy cukrovej sú zatiaľ málo preskúmané, prejavujú väčšinou výrazný inhibičný účinok na klíčenie a rast viacerých plodín /4, 5/. V listových extraktoch cukrovej repy (*Beta vulgaris*, cv. Cicla) bolo identifikovaných a kvantifikovaných osem fenolických zložiek, ako je šikimová kyselina, gáfor, kyselina hydroxybenzoová, p-kumarová a vanilínová a taktiež stopové množstvá kumarínu a protokatechovej kyseliny /6/. Zistilo sa, že tieto fenolové kyseliny zohrávajú dôležitú úlohu v alelopatických interakciách a výrazne vplývajú na rast niektorých obilních a burín. Správne zaradenie repy cukrovej do osevného postupu je jedným z predpokladov vyššej úrody a kvality a obmedzuje rozšírenie chorôb a škodcov, hlavne hádka repného, k čomu dochádza pri prekročení 25 % zastúpenia na ornej pôde. Cukrová repa patrí v rastlinnej výrobe k významným plodinám, ktoré v osevnom postupe pozitívne ovplyvňujú pôdne prostredie, potláčanie burín a kvalitu následnej produkcie /7/.

Cieľom našich analýz bolo zhodnotiť vplyv vodného extraktu výhonkov repy cukrovej na rast vybraných odrôd pšenice letnej.

## MATERIÁL A METÓDA

V rámci experimentov sme testovali alelopatický účinok extraktov výhonkov repy cukrovej (*Beta vulgaris*, cv. Tatry) na rast pšenice letnej (*Triticum aestivum*, cvs.: IS Spirella, IS Mandala, IS Laudis) v dvoch fázach:

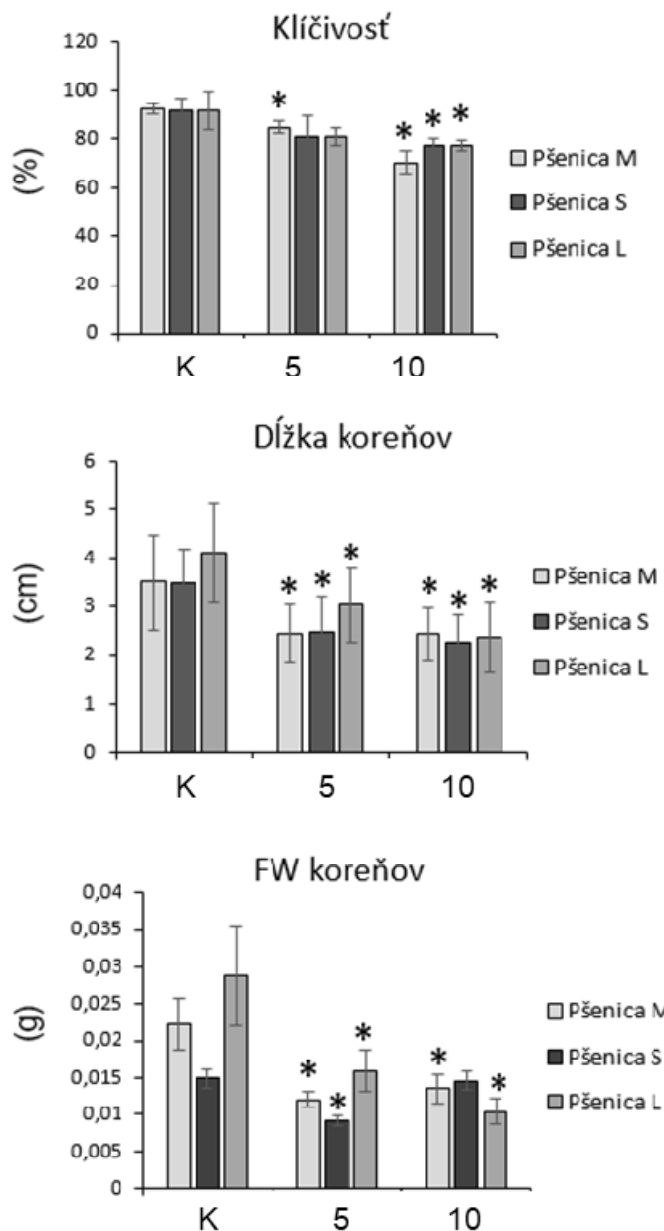
1. Fáza nakličovania: Semená jednotlivých odrôd pšenice letnej sme umiestnili na dve vrstvy filtračného papiera a zaliali destilovanou vodou (kontrola) a vodnými výluhmi výhonkov repy cukrovej (5 g/l a 10 g/l). Po 4 dňoch nakličovania sme stanovili nasledovné parametre: klíčivosť, dĺžka koreňov a čerstvá hmotnosť koreňov (FW). Extrakty z výhonkov repy boli získané 24 hodinovou extrakciou v destilovanej vode.
2. Nádobové pokusy: V rámci nádobových pokusov sme sledovali účinok sušiny repy cukrovej zapracovaný do pôdneho substrátu v dvoch koncentráciách (10 g/kg pôdy a 20 g/kg pôdy) na rast a metabolizmus pšenice letnej (*Triticum aestivum*, cv. IS Mandala). Po 10 dňoch rastu sme výhonky oddelili od koreňov a stanovili nasledovné parametre: dĺžka výhonkov, čerstvá hmotnosť výhonkov a obsah fotosyntetických pigmentov /8/.

Pokus bol pre každý variant opakovany 3x. Klíčivosť semen bola stanovená zo 100-120 semen. Získané údaje boli štatisticky spracované pomocou MS EXCEL. Rozdiely medzi súbormi dát boli hodnotené Studentovým t-testom pri hladine  $\alpha < 0,05$ .

## VÝSLEDKY A DISKUSIA

Vodný extrakt výhonkov repy cukrovej (10g/l) pôsobil 16-23% inhibíciu klíčenia semen jednotlivých odrôd pšenice (Obr. 1). Nižšia dávka pôsobila inhibične aj na klíčenie semen pšenice odrôdy IS Mandala (8% inhibícia). Daný inhibičný účinok sa prejavil aj v ďalšej fáze nakličovania. Vplyvom oboch dávok extraktu repy sme zaznamenali skrátenie koreňov (o 26-30% vplyvom nižšej dávky a o 30-43% vplyvom vyššej dávky) a pokles FW (o 28,6-45,5 % vplyvom nižšej dávky a o 39,4 a 63,8 % vplyvom vyšszej dávky v prípade odrôd IS Mandala a IS Laudis) (Obr. 1).

Fytotoxické účinky listových a koreňových výťažkov cukrovej repy sa prejavili aj na raste koreňov a výhonkov divokého jačmeňa (*Hordeum spotaneum*), pričom bola zaznamenaná aj 50 % inhibícia klíčivosti semien /4/. Väčšina z testovaných rastlinných druhov, ktoré spôsobili redukciu rastu divokého jačmeňa, pôsobili redukčne aj na rast pšenice. Listové extrakty fazule mungo, cukrovej repy, vigny a požltu spôsobili 40% redukciu rastu koreňov pšenice /4/. Inhibičné účinky extraktov repy cukrovej sa prejavili aj na raste bavlníka /9/.

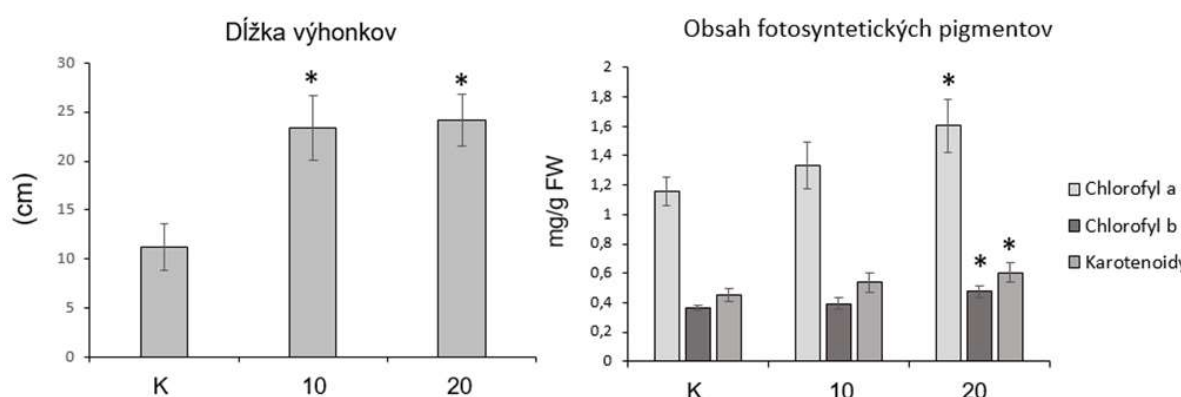


Obr. 1: Vplyv extraktov výhonkov repy cukrovej (5 g/l a 10 g/l) na rastové parametre koreňov troch odrôd pšenice letnej (M - cv. IS Mandala, S – cv. IS Spirella, L – cv. IS Laudis). K – kontrola, FW – čerstvá hmotnosť. \* Štatisticky významné rozdiely pri hladine  $\alpha < 0,05$ .

Vzchádzavosť semien nebola ovplyvnená ani jednou z testovaných dávok sušiny repy, ktorá bola zpracovaná do pôdnego substrátu. Zaznamenali sme však stimulačný účinok testovaných dávok, rastliny boli dvojnásobne vyššie ako kontrola a čerstvá hmotnosť výhonkov bola o 2,3 a 3,1 násobne vyššia (Obr. 2). Štatisticky významne vzrástol aj obsah fotosyntetických pigmentov

vplyvom vyšej dávky: chlorofylu *a* o 39 %, chlorofylu *b* o 27 % a karotenoidov o 35,5 % (Obr. 2).

Vplyv alelochemikálií na fotosyntetickú aktivitu sa môže meniť v závislosti od koncentrácie extraktu a od druhu rastliny z ktorej bol extrakt získaný. Znížený obsah fotosyntetických pigmentov bol napr. preukázaný v listoch cícera a hrachu vplyvom *Chenopodium murale*, 25 % a 50 % vodné roztoky tejto buriny však pôsobia stimulačne na fotosyntetickú aktivitu listov jačmeňa /10/. Na druhej strane fotosyntetická aktivita listov jačmeňa je inhibovaná vodnými extraktmi (25 % a 50 %) *Malva parviflora* /10/.



Obr. 2: Vplyv extraktov výhonkov repy cukrovej (10 g/kg pôdy a 20 g/kg pôdy) na rast (dlžka výhonkov) a obsah fotosyntetických pigmentov v listoch pšenice letnej (cv. IS Mandala). K – kontrola, FW – čerstvá hmotnosť. \* Štatisticky významné rozdiely oproti kontrole pri hladine  $\alpha < 0,05$ .

Naše výsledky naznačujú, že vodný extrakt výhonkov repy pôsobí inhibične na klíčenie a rast koreňov pšenice letnej vo fáze nakličovania. Aplikácia sušiny výhonkov do pôdy naopak pôsobí stimulačne. V danom prípade ide pravdepodobne o stimuláciu rastu dodaním organickej hmoty do pôdy, ktorá prevažuje nad inhibičnými účinkami extraktov repy. Uvedený rozdiel môže byť tiež daný nerovnakou koncentráciou alelopatických látok v aplikovanom extrakte a sušiny repy. Dané predpoklady je nutné preveriť ďalšími analýzami.

## LITERATÚRA

- /1/ Smatana, J., Macák, M., Demjanová, E.: Regulácia zaburinenosti repy cukrovej v agroklimatických podmienkach juhozápadného Slovenska. Listy cukrov. řepař., 127, 2011, 132-137
- /2/ Rice, E.L.: *Allelopathy*. 2nd Edn. Orlando, Florida, USA: Academic Press. 1984, s. 422
- /3/ Dávid, I., Radócz, L.: Az olasz szerbtövis allelopátiájának vizsgálata cukorrépa tesztnövényeken. Agrártudományi Közlemények, 16, 2005, 74-77
- /4/ Miri, H.R.: Allelopathic potential of various plant species on *Hordeum Spontaneum* L. Adv. Environ. Biol., 5, 2011, 3543-3549
- /5/ Dadkhah, A.: Phytotoxic effects of aqueous extract of eucalyptus, sunflower and sugar beet on seed germination, growth and photosynthesis of *Amaranthus retroflexus*. Allelopathy J., 29(2), 2012, 287-296
- /6/ Hegabet, M.M. et al.: Autotoxicity of chard and its allelopathic potentiality on germination and some metabolic activities associated with growth of wheat seedlings. African J. Biotechnol., 7, 2008, 884-892
- /7/ Kováč, K., Klimeková, M.: Pestovanie cukrovej repy pri obmedzených vstupoch v podmienkach ochrany podzemných zdrojov vody. Listy cukrov. řepař., 114(11), 1998, 300 -304
- /8/ Lichtenthaler, H.K., Wellburn, A.R.: Determinations of total carotenoids and chlorophylls *a* and *b* of leaf extracts in different solvents. Biochem. Society Transactions, 11, 1983, 591-592.
- /9/ Kalburji, K.L., Gagianas, A.: Effects of sugar beet as a proceeding crop on cotton. J. Agron. Crop. Sci., 178(1), 1997, 59-63.

/10/ Al-Johani N.S., Aytah, A.A., Boutraa, T.: Allelopathic impact of two weeds, *Chenopodium murale* and *Malva parviflora* on growth and photosynthesis of barley (*Hordeum vulgare*). Pak. J. Bot., 44, 2012, 1865-1872

**Pod'akovanie**

Práca bola podporená projektom VEGA 1/0415/18.

## TRENDY FENOLOGICKÝCH PROJEVŮ ROSTLIN

### ***TRENDS OF PHENOLOGICAL MANIFESTATIONS OF PLANTS***

Eva Stehnová<sup>1</sup>, Jana Klimešová<sup>2</sup>, Hana Středová<sup>1</sup>, Tomáš Středa<sup>2</sup>

<sup>1</sup> Mendelova univerzita v Brně, ústav aplikované a krajinné ekologie, Zemědělská 1, 613 00, Brno – Černá Pole, eva.stehnova@mendelu.cz

<sup>2</sup> Mendelova univerzita v Brně, ústav pěstování, šlechtění rostlin a rostlinolékařství, Zemědělská 1, 613 00, Brno – Černá Pole

#### ***Summary***

The Mann-Kendall test was performed for the phenological phases, agrotechnical operations, intervals between the individual phenophases and the lengths of the vegetation period. Analysis was carried out for winter wheat, spring barley, maize and rapeseed within location Branišovice. It was found that the most significant trends were found in maize. The analysis showed that there was an earlier sowing of maize by 13 (1961–1990) and 18 (1991–2012) days. This is also connected with earlier occurrence of the phenological phases emergence and heading.

**Key words:** *Mann-Kendall test, Branišovice, winter wheat, spring barley, maize, rapeseed*

#### ***Souhrn***

V rámci analýzy byl proveden Mann-Kendallův test pro nástupy fenologických fází, agrotechnické operace, délky intervalů mezi fenofázemi a délky vegetačního období. Analýza byla provedena pro pšenici o zimou, ječmen jarní, kukuřici setou, brukev řepku olejku v rámci fenologické stanice Branišovice. Bylo zjištěno, že největší četnost vysoce významných a významných trendů byla nalezena u kukuřice seté. Bylo zjištěno, že dochází k dřívějšímu výsevu kukuřice a to o 13 (1961–1990) a 18 (1991–2012) dnů a s tímto souvisí i dřívější nástup fenologických fází vzcházení a metání.

**Klíčová slova:** *Mann-Kendallův test, Branišovice, pšenice ozimá, ječmen jarní, kukuřice setá, brukev řepka olejka*

## **ÚVOD**

Fenologická pozorování mají v České republice dlouholetou tradici. V současnosti máme k dispozici data z fenologických stanic od roku 1923, kdy byla pozorování zahájena /1/. V rámci fenologických pozorování jsou pozorovány nástupy fenologických fází. V rámci návodu pro činnost fenologických stanice je fenologická fáze definovaná jako určitý zevně dobré rozpoznatelný, zpravidla každoročně se opakující projev vývinu orgánů rostlin /2/. Fenologická data mají širokou škálu využití jak ve vědeckých kruzích, tak i v zemědělské praxi. Dlouhodobé řady fenologických pozorování mohou sloužit k: studiu změny klimatu /3,4/, stanovení ochranného vlivu vegetace v protierozní ochraně půdy /5/, monitoringu výskytu a redukci dopadů sucha /6/, predikci patogenů /7/, stanovení termínu pro aplikaci přípravků na ochranu rostlin /8/, optimalizaci závlah během kritických fází růstu plodin /9/, stanovení aktuálních pylových alergenů /10, 11/ a agrometeorologickému modelování v rámci modelu AVISO /12/.

## MATERIÁL A METODA

Pro vyhodnocení trendů v rámci fenologických datových řad byl použit Mann-Kendalův test. Tento statistický nástroj je velmi často využíván ve vědeckých oborech, které se zabývají životním prostředím. Pokud jsou hodnoty  $P < 0,01$  jedná se o statisticky vysoce významný lineární trend a jestliže jsou hodnoty  $P < 0,05$  jedná se o významný lineární trend.

V rámci analýzy byla hodnocena fenologická data pro dvě dlouhodobá období (1961–1990 a 1991–2012) pro fenologickou stanici Branišovice (180 m n. m.; průměrná roční teplota vzduchu 9–10°C, průměrný úhrn srážek 450–500 mm /13/). Trendová analýza byla provedena pro hlavní zemědělské plodiny: pšenici ozimou (*Triticum aestivum*), ječmen jarní (*Hordeum vulgare L.*), kukuřici setou (*Zea mays*) a bruķev řepku olejku (*Brassica napus var. napus*). U jednotlivých plodin byly analyzovány vybrané fenologické fáze a agrotechnické operace (Tab. 1). Popis jednotlivých fenologických fází je uveden v Metodickém předpisu ČHMÚ č. 2 (Návod pro činnost fenologických stanic polních plodin). V práci byly hodnoceny trendy nástupů jednotlivých fenologických fází, vegetační období (VO tj. období od setí do sklizně) a délky intervalů mezi nástupy jednotlivých fenologických fází.

Tab. 1: Sledované fenologické fáze u analyzovaných plodin včetně použitých zkratek

Plodina	Analyzované fenologické fáze a agrotechnické operace (zkratka)
pšenice ozimá, ječmen jarní	setí (ST), vzcházení (VZ), odnožování (OD), metání (ME), plná zralost (ZP), sklizeň (SK)
kukuřice setá	setí (ST), vzcházení (VZ), metání (ME), kvetení samčích květů (KA), sklizeň (SK)
bruķev řepka olejka	setí (ST), počátek prodlužování stonku (PP), konec kvetení (KK), sklizeň (SK)

## VÝSLEDKY A DISKUSE

V rámci Mann-Kendalova testu byl u **pšenice ozimé** nalezen vysoce významný lineární trend u fenologické fáze odnožování (tab. 2). Bylo zjištěno, že tato fenofáze se po roce 1971 objevuje až na jaře následujícího roku.

U **ječmene jarního** bylo zjištěno, že v období 1961–1990 dochází k pozdější realizaci sklizně a to o 13 dnů. Ječmen jarní je na stanici Branišovice sklizen v průměru 205. den v roce tj. 24.8.

Analýza trendů **kukuřice seté** ukázala, že v období 1961–1990 docházelo k dřívějšímu výsevu kukuřice a to o 13 dnů. Tento trend byl potvrzen i v období 1991–2012, kde bylo zjištěno, že výsev je o 18 dnů dříve než v roce 1991. S tímto souvisí i dřívější nástup fenologické fáze vzcházení (v roce 1990 o 7 dnů dříve než v roce 1961). Tento trend byl potvrzen i v následujícím období, kdy bylo zjištěno, že v roce 2008 nastává vzcházení kukuřice seté o 17 dnů dříve než v roce 1991. Dál byl zjištěn významný lineární trend u fenologické fáze metání, kde bylo zjištěno, že v roce 1990 nastává tato fenologická fáze o 12 dnů dříve než v roce 1960. Významný trend byl zjištěn i u sklizně kukuřice. Bylo zjištěno, že je sklizeň realizována později než v roce 1991.

Při analýze fenologických dat **bruķev řepky olejky** nebyl nalezen žádný významný trend v nástupu fenologických fází.

U **pšenice ozimé** byl významný trend zjištěn u počtu dnů mezi odnožováním-metáním. Vysoký významný trend byl zjištěn mezi vzcházením-odnožováním v letech 1961–1990. Dále byl zjištěn vysoký významný trend u intervalu mezi plnou zralostí-sklizní a to v obou analyzovaných obdobích. Bylo zjištěno, že dochází ke zvyšování počtu dnů mezi plnou zralostí a sklizní (o 6 dnů v období 1961–1990 a o 17 v období 1991–2012).

Tab. 2: Mann-Kendalův test pro fenologické fáze

Pšenice oziřá								
FF	ST	VZ	OD	ME	ZP	SK		
1961–1990	0,543	0,617	0,003**	0,173	0,224	0,971		
1991–2012	0,216	0,417	0,928	0,467	0,183	0,183		
Ječmen jarní								
1961–1990	0,419	0,201	0,844	0,802	0,203	0,032*		
1991–2012	0,586	0,517	0,726	0,586	0,395	0,164		
Kukurice setá								
FF	ST	VZ	ME	KA	SK			
1961–1990	0,003**	0,038*	0,022*	-	-			
1991–2012	0,025*	0,022*	0,934	0,760	0,023*			
Brukev řepka olejka								
FF	ST	PP	KK	SK				
1961–1990			-					
1991–2012	0,130	0,133	0,452	0,06				

\*\* Vysoko významný lineární trend; \* Významný lineární trend.

Dále bylo zjištěno, že u **ječmene jarního** docházelo v období 1961–1990 k prodloužování VO. Při porovnání délky VO mezi roky 1961 a 1990 bylo zjištěno, že VO bylo v roce 1990 delší a to o 33 dnů. V následujícím období (1991–2012) nebyl tento trend potvrzen. V období 1991–2012 bylo zjištěno, že dochází ke zkracování počtu dní mezi fenologickými fázemi vzcházení-odnožování a to o 8 dnů. Vysoko významný lineární trend byl zjištěn u počtu dnů mezi plnou zralostí-sklizní (prodloužení intervalu o 8 dnů podle roku 1960).

U **kukuřice seté** byl vysoko významný trend zjištěn v období mezi fenologickými fázemi vzcházení-metání. Bylo zjištěno, že v období 1991–2012 dochází k prodloužení doby mezi těmito fenologickými fázemi a to o 17 dnů podle roku 1991. Dále dochází ke zkrajetí počtu dnu mezi fenologickými fázemi metání a počátek kvetení samčích květů a to o 2 dny. Významný trend byl zjištěn i mezi počátkem kvetení samčích květů a sklizní a to o 39 dnů. Vysoko významný lineární trend byl zjištěn i u délky VO. Dochází k prodloužování VO u kukuřice.

Při analýze dat **bruakev řepky olejky** nebyl zjištěn žádný významný trend v rámci intervalů mezi fenofázemi a délkom VO.

Tab. 3: Hodnoty Mann-Kendalova testu pro intervaly mezi fenologickými fázemi, agrotechnickými operacemi a VO

Pšenice oziřá						
FF	ST-VZ	VZ-OD	OD-ME	ME-ZP	ZP-SK	VO
1961–1990	0,566	<0,0001**	0,045*	0,943	0,007**	0,442
1991–2012	0,310	0,607	0,739	0,430	0,004**	0,183
Ječmen jarní						
1961–1990	0,199	0,080	0,541	0,440	0,0002**	0,005**
1991–2012	1,000	0,021*	0,691	0,180	0,248	0,198
Kukurice setá						
FF	ST-VZ	VZ-ME	ME-KA	KA-SK	VO	
1961–1990	0,488	0,881	-	-	-	
1991–2012	0,278	0,004**	0,032*	0,019*	0,007**	
Brukev řepka olejka						
FF	ST-PP	PP-KK	KK-SK		VO	
1961–1990			-		-	
1991–2012	0,462	0,133	0,452		0,086	

\*\* Vysoko významný lineární trend; \* Významný lineární trend.

Důsledky globální změny klimatu spojené s nárůstem teploty vzduchu lze v různých biologických systémech pozorovat již nyní /14/. Na základě zvyšující se teploty vzduchu dochází k ovlivňování a časové variabilitě jednotlivých vývojových fází rostlin /15/. Vědecké práce upozorňují na fakt, že kvůli změně klimatu bude docházet k prodloužování VO. Udává se, že je v současnosti sledován významný trend, kdy dochází k prodloužování VO o 3,26 dnů za desetiletí /17/. Jiní autoři uvádí, že do roku 2020 dojde k prodloužení VO o 21 dnů a do roku 2050 půjde o prodloužení VO až o jeden měsíc /16/. Trend v prodloužování VO byl

potvrzen u kukuřice seté a ječmene jarního. Zásadní dopad na „nastartování“ vegetačního období má trend zvyšování průměrné teploty vzduchu v lednu a únoru o 1 °C. Při oteplení vzduchu o 1°C ve zmíněném období dochází k dřívějšímu nástupu VO a to konkrétně o 7 dnů /18/. Toto může mít vliv na dřívější výsev zemědělských plodin. Významný trend dřívějšího výsevu byl zjištěn u kukuřice seté.

## LITERATURA

- /1/ Nekovář, J., Rožnovský, J.: Fenologická služba Českého hydrometeorologického ústavu. In: Fenologická odezva proměnlivosti podnebí, Brno 22.3.2006 [CD]. Praha: Český hydrometeorologický ústav, 2006.
- /2/ Valter, J.: Metodický předpis č. 2 – Návod pro činnost fenologických stanic. Polní plodiny. Praha: Český hydrometeorologický ústav, 1982.
- /3/ Estrella, N., Menzel, A.: Response of Lea colouring in four deciduous tree species to climate and weather in Germany. *Climate Research*, 32(3), 2006: 253–267.
- /4/ Škvarenina, J., Tomlain, J., Hrvol, J., Škvareninová, J., Nejedlik, P.: Progress in dryness and wetness parameters in altitudinal vegetation stages of West Carpathians: Time-series analysis 1951–2007. *Időjárás*, 113, 2009: 47–54.
- /5/ Stehnová, E., Středová, H.: Fenologie řepy cukrové v kontextu rizika vodní eroze. *Listy cukrovarnické a řepařské*, 132(12), 2016: 380–386.
- /6/ Svacina, P., Středa, T., Chloupek, O.: Uncommon selection by root system size increases barely yield. *Agronomy for Sustainable Development*, 32(2), 2014: 545–551.
- /7/ Středa, T., Vahala, O., Středová, H.: Prediction of adult western corn rootworm (*Diabrotica virgifera virgifera* LeConte) emergence. *Plant Protection Science*, 49, 2013: 89–97.
- /8/ Krédl, Z., Středa, T., Pokorný, R., Kmoch, M., Brotan, J.: Microclimate in the vertical profile of wheat, rape and maize canopies. *Acta Universitatis Agriculturae et Silvicultus Mendelianae Brunensis*, 60(1), 2012: 79–90.
- /9/ Kohut, M., Rožnovský, J., Knozová, G.: Comparison of actual evaporation from water surface measured by GGI-3000 evaporimeter with values calculated by the Penman equation. *Contributions to Geophysics and Geodesy*, 44(3), 2014: 231–240.
- /10/ Stehnová, E., Středová, H., Rožnovský, J., Středa, T.: Phenological observations and their possible use within the monitoring allergens. In: *Public recreation and landscape protection – with nature hand in hand*. Brno: Mendel University in Brno, 2017: 241–248.
- /11/ Stehnová, E., Středová, H., Středa, T.: Determination of the Time of Occurrence of Selected Allergens with Using Long-Term Phenological Series. In: *Public recreation and landscape protection – with nature hand in hand!* Brno: Mendelova univerzita v Brně, 2018: 103–108.
- /12/ Chuchma, F., Středová, H., Středa, T., Rožnovský, J., Svejkovská, A.: Aktualizace klimatických regionů v rámci systému bonitovaných půdně ekologických jednotek. Brno: Mendelova univerzita v Brně, 2017.
- /13/ Tolazs, R.: *Atlas podnebí Česka*. Praha: Český hydrometeorologický ústav, 2007. ISBN 978-80-86690-26-1.
- /14/ Parmesan, C., Yohe, G.: A globally coherent fingerprint of climate change impacts Gross natural systems. *Nature*, 421, 2003: 37–42.
- /15/ Cleland, E.E., Chuine, I., Menzel, A., Mooney, H.A., Schwartz, M.D.: Shifting plant phenology in response to global change. *Trend in Ecology and Evolution*, 22(7), 2007: 357–365.
- /16/ Chmielewski, F.M., Heider, S., Moryson, S., Bruns, E.: International Pheno-logical Observation Networks: Concept of IPG and GPM. In: *Phenology: an integrative environmental science*. Dordrecht: Springer, 2013.
- /17/ Šiška, B., Takáč, J.: *Klimatická zmena a pôľnohospodárstvo Slovenskej republiky: dôsledky, adaptačné opatrenia a možné riešenia*. Bratislava: Slovenská bioklima-tologicá spoločnosť, 2008.
- /18/ Chmielewski, F.M., Rötzer, T.: Response of Tree Phenology to Climate Change Across Europe. *Agricultural and Forest Meteorology*, 2001, 108: 101–112.

## Poděkování

Uvedená práce vznikla za finanční podpory výzkumného projektu QJ1530181.

## REAKCE RŮZNÝCH DRUHŮ BOROVIC NA OŠETŘENÍ CHLADNÝM PLAZMATEM

### ***RESPONSE OF PINE SEEDS TO NON THERMAL PLASMA TREATMENT***

Božena Šerá<sup>1</sup>, Anna Zahoranová<sup>2</sup>, Michal Šerý<sup>3</sup>

<sup>1</sup> Přírodovedecká fakulta, Univerzita Komenského v Bratislavě, Ilkovičova 6, Bratislava

<sup>2</sup> Fakulta matematiky, fyziky a informatiky, Univerzita Komenského v Bratislavě, Mlynská Dolina, 842 48 Bratislava

<sup>3</sup> Pedagogická fakulta, Jihomoravská univerzita v Českých Budějovicích, Jeronýmová 10, České Budějovice

#### ***Summary***

The influence of non thermal plasma treatment (using Diffuse Coplanar Surface Barrier Discharge) on seeds of different pine species was studied. Seedling growth of *Pinus silvestris*, *P. mugo* and *P. nigra* was monitored after treatment time 0 s, 1 s, 5 s, 10 s, 30 s, 60 s in laboratory conditions. It was found that pine seeds respond to stresses in different ways. Positive reaction was recorded in *P. nigra* after 1 s exposure.

**Key words:** pine seedlings, stress, non thermal plasma treatment, early growth

#### ***Souhrn***

Příspěvek studuje reakci semen různých druhů borovic na ošetření netermálním plazmatem (s použitím Difúzního Koplanárního Povrchového Bariérového Výboje). Pokus probíhal v laboratorních podmínkách. Sledován byl index vitality semenáčků borovice lesní (*Pinus silvestris*), borovice kleče (*P. mugo*) a borovice černé (*P. nigra*) po ošetření semen s časem expozice: 0 s, 1 s, 5 s, 10 s, 30 s, 60 s. Bylo zjištěno, že semena borovic reagují na způsobený stres různým způsobem. Pozitivní reakce byla zaznamenána u borovice černé po expozici 1 s.

**Klíčová slova:** semenáčky borovic, stres, ošetření netermálním plazmatem, počáteční růst

## **ÚVOD**

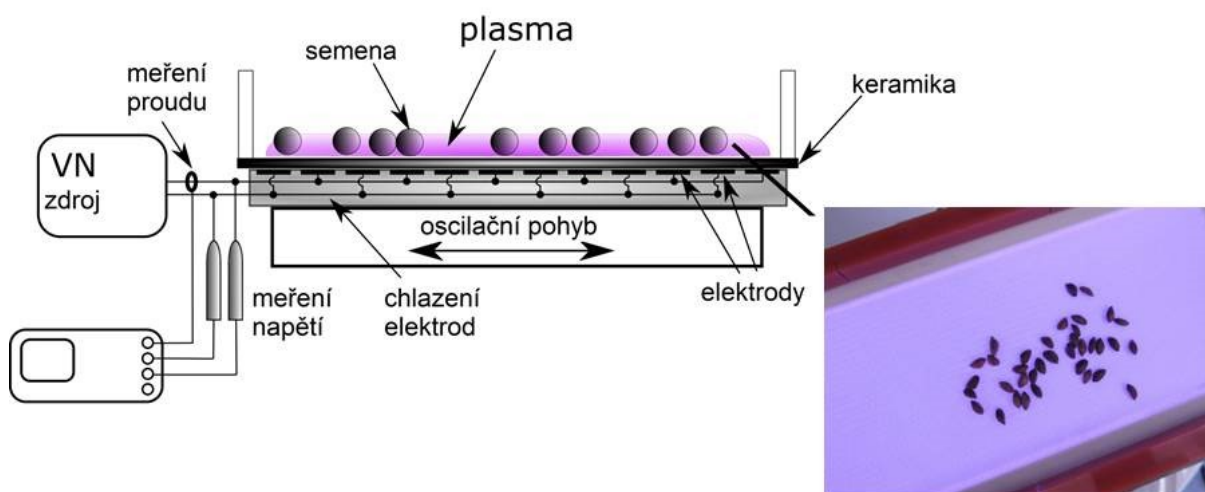
Plazmové technologie patří mezi fyzikální metody, které se studují ohledně možného ošetřování různých druhů především semen v semenářství a zemědělství. O možném použití netermálního plazmatu na semena dřevin pojednává jen málo vědeckých prací, např. o jehličnanech /3, 6, 7/ a o listnáčích /1, 5, 12, 13/. Navíc plazmové technologie lze použít pro dezinfekci různých povrchů /např. 12/.

Motivačním impulsem pro vznik tohoto příspěvku bylo přispět k většímu poznání možné stimulace (případně inhibice růstu nebo stresové odezvy) netermálním plazmatem u semen nahosemenných rostlin. Jako modelový organismus byl vybrán rod borovice, který je charakteristický velkou ekologickou plasticitou a je to běžný hospodářsky využívaný taxon. Předložený text popisuje předběžné výsledky ze série pokusů zaměřených na ošetření semen borovic netermálním plazmatem.

## **MATERIÁL A METODA**

Semená borovic (*Pinus silvestris* L., *P. mugo* Turra and *P. nigra* Arnold) byla dodána firmou Lesy SR š.p. OZ Semenoles. Semena byla ošetřena netermálním plazmatem generovaným pomocí difuzního koplanárního povrchového bariérového výboje, známého pod

zkratkou DCSBD (z angl.. Diffuse Coplanar Surface Barrier Discharge). DCSBD je planárním zdrojem plazmatu, plazma hoří ve vzduchu za atmosférického tlaku a je makroskopicky homogenní. Celková aktivní plocha plazmatu byla 20 cm x 8 cm. Napájecí napětí bylo 20 kV (měřené pík-pík), frekvence 14 kHz a celkový příkon byl 400 W. Při opracování byla semena umístěna na povrch keramiky (Graf 1), přičemž výbojka se pohybovala rotačním pohybem s rychlosí 330 ot/min a semena se homogenně pohybovala v plazmovém poli. Detailně je DCSBD popsán v práci Černák a kol. /2/. Aparatura je znázorněna na Grafu 1.



Graf. 1: Schématické zobrazení aparatury na opracování plazmatem, vpravo fotografie semen během hoření plazmatu na povrchu výbojky.

V den ošetření semen byl založen pokus na počáteční růst v laboratorních podmínkách. Pro každé ošetření plazmatem bylo použito 150 semen a 5 Petriho misek, na misce vždy: 3 filtrační papíry, 6 ml destilované vody, 30 ks semen, režim: tma a teplota cca 22 °C.

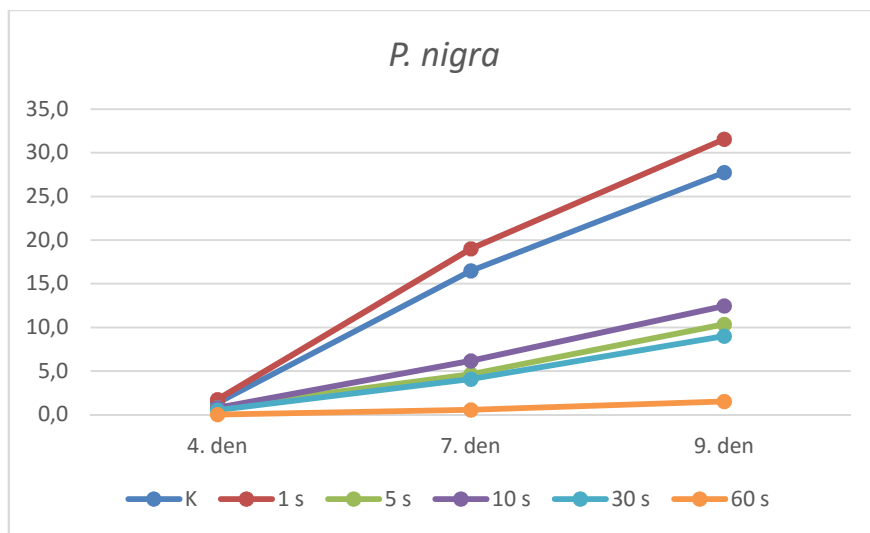
Během klíčení a růstu semenáčků byl ve 4., 7. a 9. dnu kultivace zjištěn počet klíčících semen a délka semenáčků. Pokus byl ukončen 9. den kultivace semen. Ze získaných údajů byla vypočítána klíčivost semen (počet vyklíčených semen v procentech) a index vitality semenáčků (součin klíčivosti a délky semenáčků dělený 100). Získaná data byla normalizována logaritmickou transformací a následně statisticky vyhodnocena dvoufaktorovou analýzou variance (faktory: čas expozice, druh borovice, hladina významnosti 0,05).

## VÝSLEDKY A DISKUSE

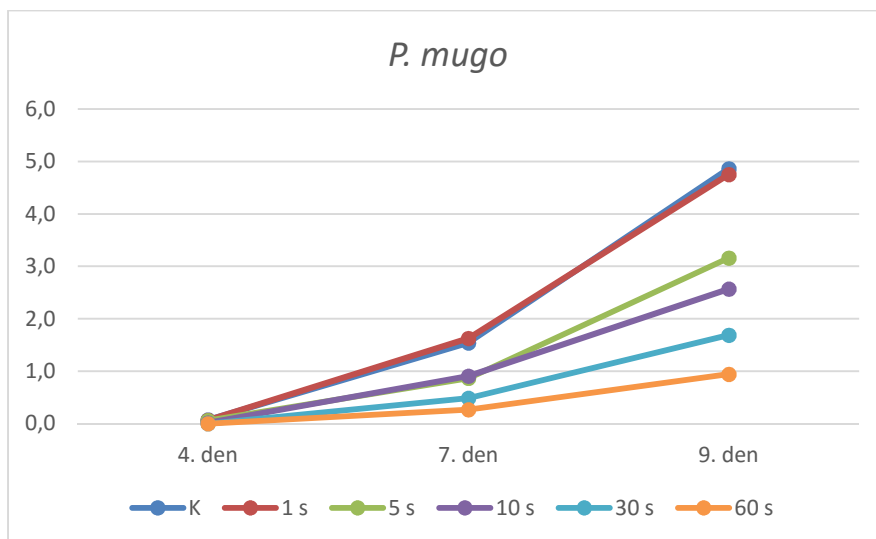
Naměřené hodnoty indexů vitality semenáčků testovaných borovic jsou uvedeny v grafech 2 - 4. Index vitality semenáčků borovice černé po ošetření byl významě vyšší ( $P < 0,05$ ) v porovnání s jinými použitými časy a byl vyšší než index vitality z kontrolního vzorku (nebylo statisticky signifikantní).

Výsledky prezentované v grafech 2-4 jednoznačně ukazují, že nižší časy jsou pro ošetření semen borovic DCSBD plazmatem vhodnější. Nižší časy expozice u DCSBD plazmatu byly výhodnější i u ošetření semen kukuřice seté /4/ a pšenice seté /11/. Udržení vitality semen po aplikaci DCSBD plazmatu je důležitým cílem výzkumu, protože aparatura DCSBD je využitelná pro dezinfekci povrchů semen /11/. Povrch semen borovice paprscité (*P. radiata* D. Don, syn. b. montereyská) kontaminovaný fytopatogenní houbou *Fusarium*

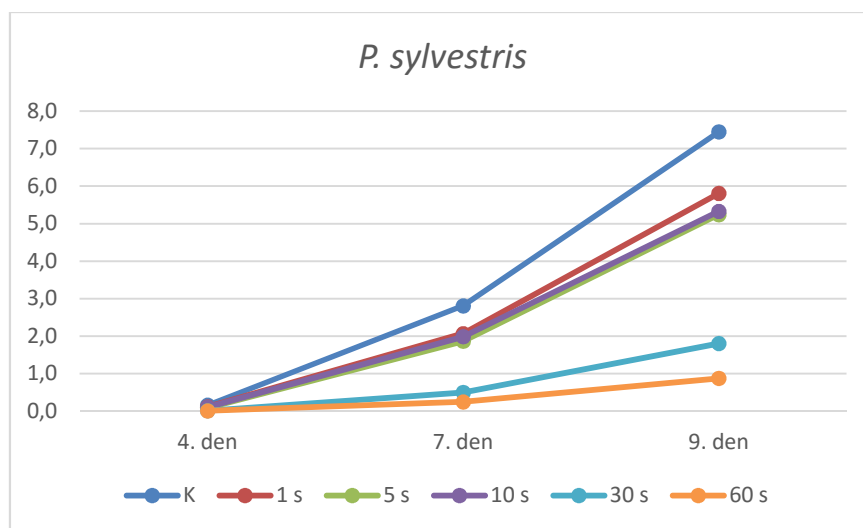
*circinatum* Nirenberg & O'Donnell byl po ošetření DCSBD plazmatem deaktivován (nepublikováno). Série probíhajících pokusů je zaměřena na výzkum desinfekce povrchu semen za udržení parametrů klíčivosti. Prezentovaná data jsou součástí komplexnějšího výzkumu.



Graf. 2: Hodnoty indexu vitality semenáčků borovice černé (*P. nigra*) během kultivace v laboratorních podmínkách.



Graf. 3: Hodnoty indexu vitality semenáčků borovice kleče (*P. mugo*) během kultivace v laboratorních podmínkách.



Graf. 4: Hodnoty indexu vitality semenáčků borovice lesní (*P. sylvestris*) během kultivace v laboratorních podmínkách.

Pozitivní reakci borovice černé lze vysvětlit relativně tvrdým osemením. Borovice lesní i b. kleč mají v porovnání s b. černou osemení měkčí, pro jednotlivé aktivní složky plazmy pravděpodobně prostupnější. Z výsledků vyplývá, že semena borovic reagují na ošetření netermálním plazmatem různým způsobem. Uvedené výsledky odpovídají závěrům z prací, které byly zaměřeny na dvouděložné bylinky: mák setý /9/, konopí seté /10/ a pohanka setá /8/. Clánek přispívá ke zjištění, že různé rostlinné taxony (druhy, kultivary) mohou na ošetření netermálním plazmatem reagovat různým způsobem.

## LITERATURA

- /1/ Chao, L., Walker, D.R.: Effect of a magnetic field on the germination of apple, apricot and peach seeds. HortScience, 1967, 2: 152-153.
- /2/ Černák, M., Černáková, L., Hudec, I., et al.: Diffuse Coplanar Surface Barrier Discharge and its applications for in-line processing of low-added-value materials. European Physical Journal Applied Physics, 2009, 47: 22806.
- /3/ Gavrilova, O.I., Pitukhin, A.V., Zhuravleva, M.V., et al.: Influence of cold plasma spray on germinating ability of seeds and growth of softwood seedlings. Conference: 16th International Multidisciplinary Scientific Geoconference (SGEM 2016) Location: Albena, Bulgaria, Date: JUN 30-JUL 06, Book Series: International Multidisciplinary Scientific GeoConference-SGEM, 2016, 547-554.
- /4/ Henselová, M., Slováková, M., Martinka, M., et al: Growth, anatomy and enzyme activity changes in maize roots induced by treatment of seeds with low-temperature plasma. Biologia, 2012, 67: 490-497.
- /5/ Mildaziene, V., Pauzaite, G., Malakauskiene, A., et al.: Response of perennial woody plants to seed treatment by electromagnetic field and low-temperature plasma. Bioelectromagnetics, 2016, 37: 536-548.
- /6/ Nelson, S.O., Krugman, S.L., Stetson, L.E., et al.: Germination responses of pine seed to radiofrequency, infrared, and gas-plasma-radiation treatments. Forest Science, 1980, 26: 377-388.
- /7/ Pauzaite, G., Malakauskiene, A., Nauciene, Z., et al.: Changes in Norway spruce germination and growth induced by pre-sowing seed treatment with cold plasma and electromagnetic field: Short-term versus long-term effects. Plasma Processes and Polymers, 2018, 15: e1700068.
- /8/ Šerá, B., Gajdová, I., Černák, M., et al.: How various plasma sources may affect seed germination and growth. Proceedings of the International Conference on Optimalisation of Electrical and Electronic Equipment, OPTIM, 2012, 1365-1370.
- /9/ Šerá, B., Gajdová, I., Šerý, M., et al.: New physicochemical treatment method of Poppy seeds for agriculture and food industries. Plasma Science and Technology, 2013, 15: 935-938.
- /10/ Sera, B., Sery, M., Gavril, B., et al.: Seed Germination and Early Growth Responses to Seed Pre-treatment by Non-thermal Plasma in Hemp Cultivars (*Cannabis sativa* L.). - Plasma Chemistry and Plasma Processing, 2016, 37: 207-221.

- /11/ Zahoranová, A., Henselová, M., Hudecová, D., et al.: Effect of Cold Atmospheric Pressure Plasma on the on the Wheat Seedlings Vigor and on the Inactivation of Microorganisms on The Seeds Surface. *Plasma Chemistry and Plasma Processing*, 2016, 36: 397-414.
- /12/ Zivkovic, S., Puac, N., Giba, Z., et al.: The stimulatory effect of non-equilibrium (low temperature) air plasma pretreatment on light-induced germination of *Paulownia tomentosa* seeds. *Seed Science of Technology*, 2004, 32: 693-701.
- /13/ Zivkovic, S., Giba, Z., Grubisi, D., et al.: Low-Temperature Plasma Treatment of Dry Empress-Tree Seeds. In: d'Agostino R., Favia P., Oehr C. (eds), *Plasma Processes and Polymers*, Wiley-VCH Verlag GmbH & Co. KGaA, 2005, 193-203.

### **Poděkování**

Uvedená práce byla podporovaná "Agentúrou na podporu výskumu a vývoja na základě Zmluvy č. APVV-16-0216".

## Sponzoři

 Půda

 Voda

 Rostliny

 Meteorologie

 Sedimenty

 Geotechnika

# EkoTechnika

Ekotechnika spol. s r.o. byla založena v roce 1997.

Nabízíme vzorkovací a měřící přístroje pro pedologii, geologii, hydrogeologii, hydrologii, meteorologii, geotechniku, výzkum rostlin a diagnostiku životního prostředí.

Našimi zákazníky jsou vědecké instituce, vysoké a střední školy, sanacní společnosti, inženýrství geologové, hydrogeologové, státní instituce.

Dodávané přístroje jsou vyráběny předními světovými výrobci ADC Bioscientific Ltd., Delta-T Devices Ltd. a dalšími, které výhradně zastupujeme v ČR a SR.

Vyvíjíme také vlastní přístroje a měřicí zařízení.



[www.ekotechnika.cz](http://www.ekotechnika.cz)

Mgr. Tomáš Havel / [havel@ekotechnika.cz](mailto:havel@ekotechnika.cz) / +420 602 243 447

Název: Vliv abiotických a biotických stresorů na vlastnosti rostlin 2018

Editor: František Hnilička

Vydavatel: Česká zemědělská univerzita v Praze

                  Ústav ekológie lesa Slovenskej akadémie vied

Odborní recenzenti: doc. RNDr. Jan Novák, DrSc.

                  RNDr. Božena Šerá, Ph.D.

Tisk: Power Print

Náklad: 100 ks

Počet stran: 204

Vydání: první

Rok vydání: 2018

ISBN: 978-80-213-2863-1 (Česká zemědělská univerzita v Praze)

ISBN: 978-80-89408-31-3 (Ústav ekológie lesa Slovenskej akadémie vied)

Texty příspěvků neprošly jazykovou úpravou